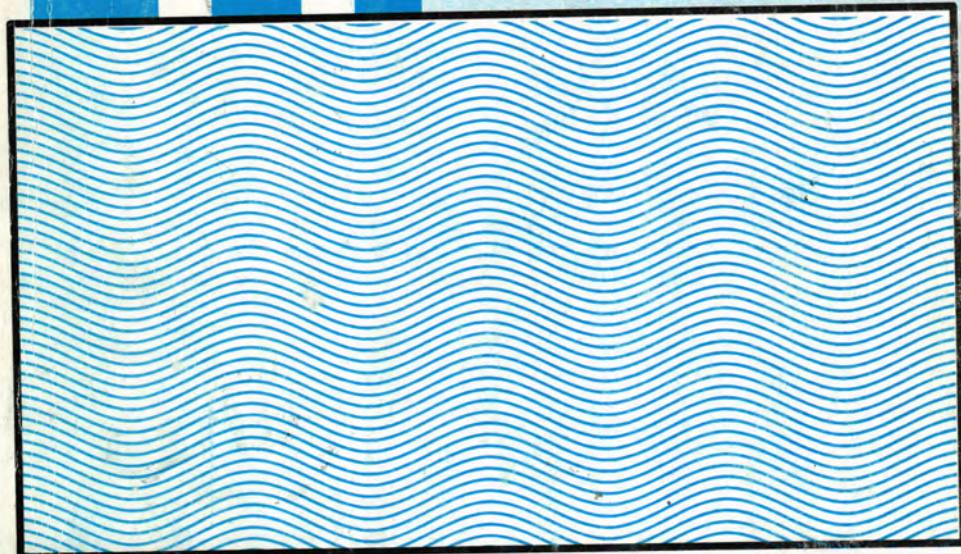


# **Al-Mustansiriya Journal of Science**

**Vol. 13      No. 4      Year 2000**



**Issued by College of Science  
Al-Mustansiriya University**

# **AL-MUSTANSIRIYA JOURNAL OF SCIENCE**

## **Head Editor**

**Prof. Dr.**

**Saad M. Al-Mashhadani**

**Prof. Biology**

## **General Editor**

**Dr.**

**Ridha I. Al-Bayaty**

**Prof. Chemistry**

## **Editorial Board**

**Dr. Ramzy R. Ali**

**Member**

**Dr. Abdul Aziz M. Al-Kubaisy**

**Member**

**Dr. Kais J. Latif**

**Member**

**Dr. Hashim H. Jawad**

**Member**

**Dr. Mahmood Kh. Al-Shemary**

**Member**

## Contents

<u>Item</u>	<u>Page No.</u>
<b>Synthesis of New Cinnolines</b> Redha I.H. Al-Bayati and Olfa A.Al-Janaby	1
<b>Stochastic Model for precipitation in Iraq</b> Hassan H. Salman	9
<b>Enhancement of CR-39 Detector Chemical Etching Using Ultrasonic Environment</b> MUNTHER A.R. IBRAHIM - ABDULLA A. RASHEED MAHDI M. MUTAR	27
<b>Digital Filters for Hit Noise Reduction in some X-ray Imaging Systems</b> Dr. Hashim H. Jawad , Dr.Ali Abid D. AL-Zuky and Firas Sabih M. AL-Wahieb	33
<b>Speckles Noise Reduction Using Non-Adaptive Filters</b> ALI ABID DAWOOD AL-ZUKY, Dr. AMAL M. AL-HILLOU, and ELHAM J. MOHAMMED	45
<b>Inhibition of (Serum, Testicular, Bacterial) Hyaluronidase By The Morin Compound</b> Abdul Kadir M. N. Jassim	63
<b>The Fuzzy External Direct Sum For Some Types Of Fuzzy Submodules</b> Innam M-A. Hadi , Rabee Hadi Jari	75
<b>Polyvinylpyrrolidone as a prophylactic agent against Klebsiella pneumoniae infection</b> Jamela Ghadban A. Al-Grawy	85

**Contents**

<u>Item</u>	<u>Page No.</u>
<b>Preliminary Consideration on Few Active Foci of Visceral Leishmaniasis in the central Region of Iraq SHIHAB AHMED SALMAN</b>	95
<b>ACTIVE CMV INFECTION IN KIDNEY TRANSPLANT RECIPIENTS AL-IZI, SANA M. H.; OMAR, ALI R.; KHAMMAS, KALIL. M.; ABED-AUN ALA'A HUSAIN</b>	101
<b>Preparation of Quality Control Solution for Hematology Tests Sameer J.I.Cheead , Mussab .F.Omer , Enaam .M.Rasheed</b>	109
<b>Carbonic Anhydrase A Histochemical Substrate for Muscle fiber typing HAKI. I. IBRAHIM AND THURAYA. K. FADHIL HAMMAD SHIHAB HOSPITAL</b>	113

## Synthesis of New Cinnolines

**Redha I.H. Al-Bayati and Olfa A.Al-Janaby**

**Dept of chemistry, College of Science,**

**Al- Mustansiriya Univ.**

**Baghdad, Iraq**

### ABSTRACT

Reaction of 4- hydroxy -5- methoxy cinnoline (1) with phosphorus oxy chloride led to the formation of 4- chloro-5-methoxy cinnoline (2), Compound (2) subsequently converted by nucleophilic reaction with thiourea to give 4- thio-5-methoxy cinnoline (3). Compound (3) was used as a good synthon for further formation of cinnoline derivatives (4-8). These compounds were elucidated by using some spectral date (IR, UV) and CHN analysis.

### الخلاصة

يؤدي تفاعل 4- هيدروكسي -5- ميثوكسي سينولين مع اوكسي كلوريد الفسفور الى تكوين 4- كلورو -5- ميثوكسي سينولين (١) والتي تم تحويله بتفاعل نيكروفيلي مع الثايروريا الى 4- ثايو -5- ميثوكسي سينولين (٣). ان المركب (٣) استخدم كمادة اساسية لتكوين سينولات اضافية (٤-٨) . شخصت المركبات المحضرة باستخدام بعض الطرق الطيفية (IR-UV) و التحليل الدقيق للعناصر .

### INTRODUCTION

Many cinnoline derivatives have been found to be considerable interest because of their biological activity<sup>1-3</sup>. Some of these derivatives are useful antihypertensive<sup>4</sup>, analgesic, antipyretic and for their CNS depressant actions and antitubercular activity<sup>6</sup>. Further more, several

derivatives have found to possess antimicrobial, antifungal<sup>7</sup> and anticancer activities<sup>9</sup>.

In the present work, many 4-substituted (C-Cl, -SH, -CH<sub>2</sub>C=CH, CH<sub>2</sub>-C=C-CH<sub>2</sub>NR<sub>2</sub>)-5-methoxy cinnolines were introduced.

## **EXPERIMENTAL**

Melting points were determined on Gallen kamp melting point apparatus and uncorrected IR spectra were recorded on pye Unicam Sp<sup>3</sup>-100 spectrophotometer as KBr discs or films. The UV spectra were performed on a Hitach/UV-2000 spectrophotometer. Elemental analysis were carried out on CHN analyzer type 1106 (Carlo Erba ).

### **Preparation of 4-hydroxy-5-methoxy cinnoline [1].**

A mixture of 2-amino-6-methoxy acetophenone (9.9gm) (0.06 mol) in concentrated hydrochloric acid (250 ml) was diazotised at 0° with sodium nitrite (5 gm) in water (10 ml). Concentrated hydrochloric acid (250 ml) was added and after four days at room temperature, the solution was rapidly evaporated to dryness the residue in boiling water was treated with excess of hot aqueous sodium acetate , and the precipitate was recrystallised (charcoal) from boiling water (table 1).

### **Preparation of 4-chloro-5-methoxy cinnoline [2].**

The pure hydroxy cinnoline (3.4 gm) (0.02 mol) and phosphorus oxy chloride (50ml ) were heated on the steam- bath until dissolution occurred and then heated for a further 3 hrs. The cooled solution was decomposed with ice and 4 N-potassium hydroxide and yielded to ether the white product , see (Table 1 )

### **Preparation of 4-Thio-5-methoxy cinnoline [3].**

A mixture of compound [2] (5.8 gm) (0.03 mole) and thiourea (0.04 ) mole in ethanol (50ml) were heated under reflux for (3 hrs ) with stirring, the excess of ethanol was removed then under vaccum than a concentrated

solution of  $\text{Na}_2\text{CO}_3$  was add on cooling the product was obtained, recrystallized from ethanol to give product (3) Table (1).

### Prepartion of 4-propynyl thio-5- methoxy cinnoline [4]

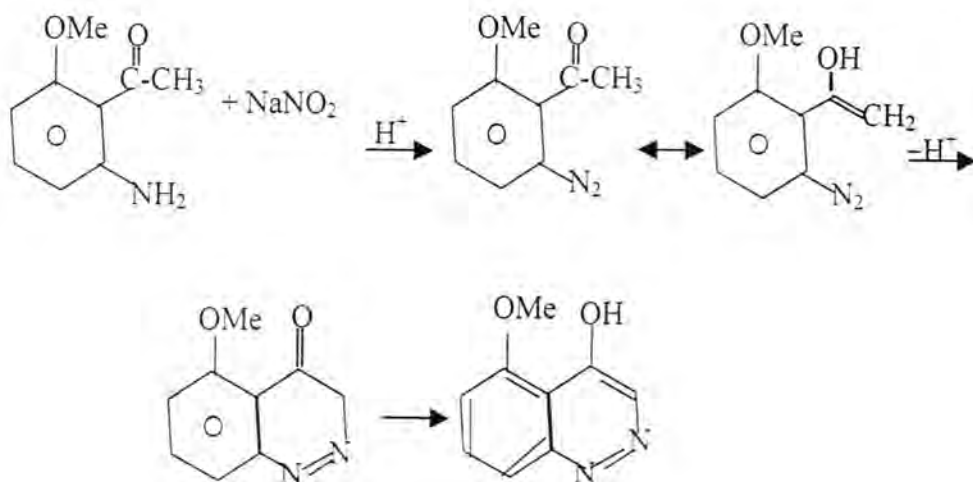
Propargyl bromide (1.92 gm) (0.01 mole) was added dropwise to amixture of compound [3] (0.01 mole) and triethyl amine (0.01 mole) in ethanol (50 ml) with stirring. The mixture was then refluxed for (2hrs) on steam bath and the excess of ethanol was removed, the residue was extracted by benzene, dried over magnesium sulphate on removing, the prouduct was obtained [4] (table 1)

### Preparation of Mannich Bases

A mixture of acetylenic compound [4] (0.001 mole) the appioriate secondray amine (0.001 mole), paraformaldehyde was refluxed (0.001 mole) and cuprous chloride (0.1 gm) in isopropyl alcohol (20 ml) refluxed for (3hrs) filtrated off then, poured into crushed ice and extracted with benzene, dried over calcium chloride, filtered. On removing the solvent, the product were obtained (table 1).

## RESULTS AND DISCUSSION

The compound 4-hydroxy-5-methoxy cinnoline (1)was fristly prepared by the diazotization of 2-amino-6-methoxy acetophenone with sodium nitrite in acidic media and the mechanism of its formation may be followed as:-



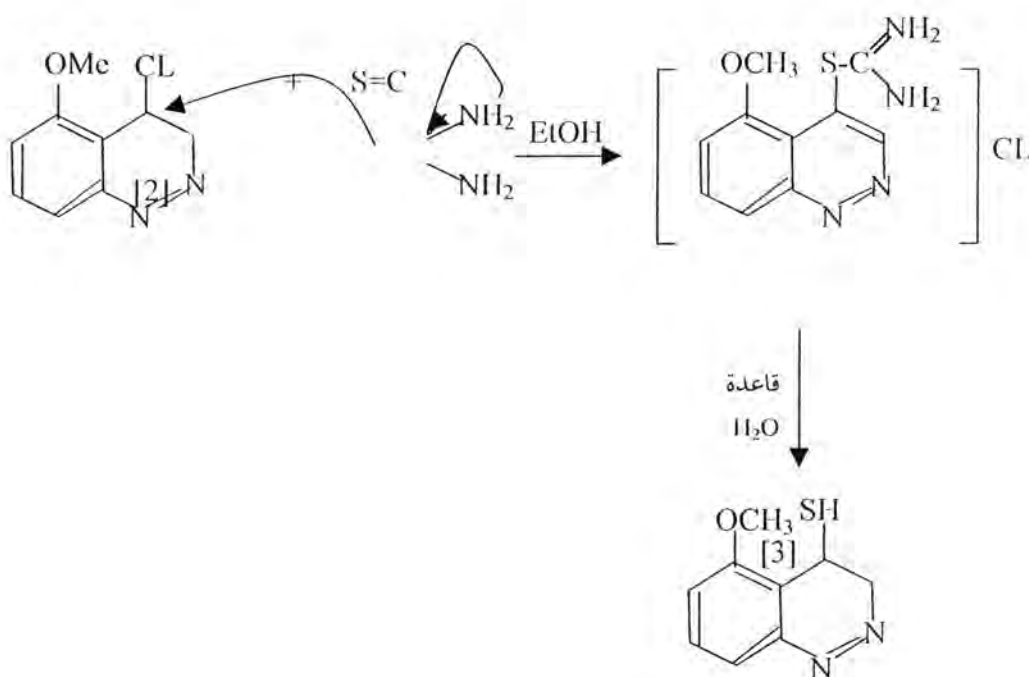
Scheme [1]

This compound is elucidated by its m.p. elemental analysis and, IR spectral, uv spectral data as shown in Table (1-4).

4-chloro-5-methoxy cinnoline (2) is prepared by the reaction of phosphorus oxy chloride with compound [1], the reaction is followed by disappearance of OH absorption band at 3400 cm<sup>-1</sup> and appearance of C-CL absorption band at 780 cm<sup>-1</sup> in its IR spectrum (table 3).

The CL group at position (4) in compound (2) is replaced by SH through nucleophilic substitution reaction with thioarea and give 4-mercaptop-5-methoxy cinnoline(3). The appearance of IR new bands at 2250 and 780 cm<sup>-1</sup> were at tentatively belonged to VS-H and SC-S respectively.

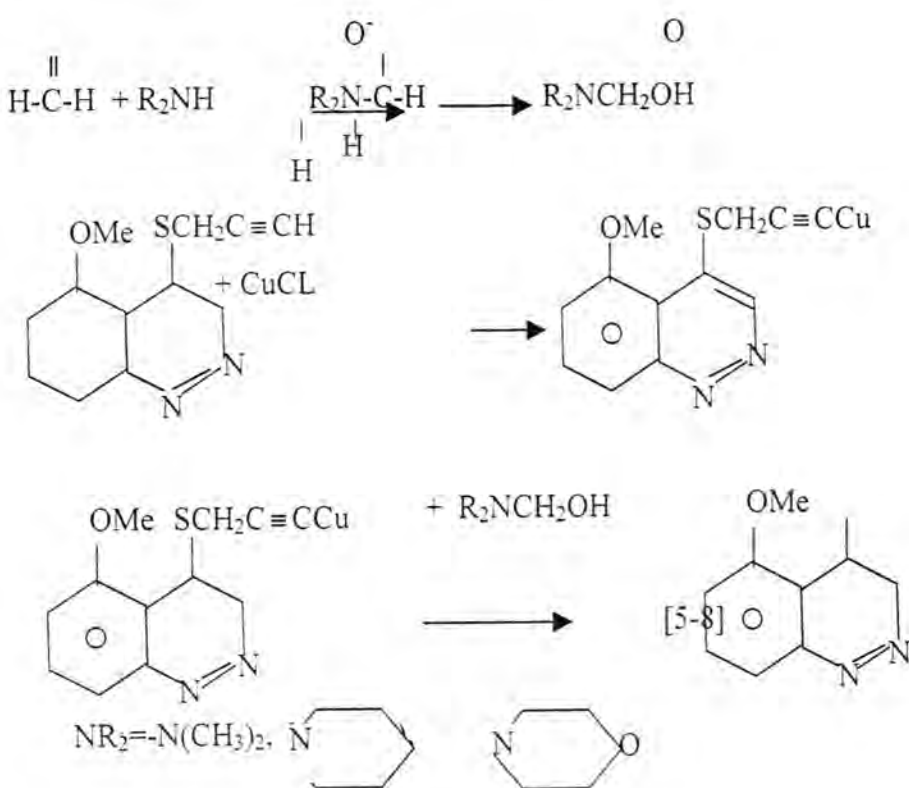
The mechanism of its formation (3) may be followed as:-



Scheme [2]

The chemical reaction of the SH group at position (4) in compound (3) plays a significant role in using this compound as a good synthon in the synthesis of new cinnoline derivatives. So we investigated the reaction of compound (3) with propargyl bromide in the presence of triethyl amine where the product (4) with high yield was formed. The reaction is followed by disappearance of SH absorption band at  $2250\text{cm}^{-1}$  and appearance of two characteristic bands at  $3200$  and  $2150\text{ cm}^{-1}$  in IR spectra, which attributed to  $V \equiv CH$  and  $Vc \equiv c$  respectively (Table 4).

On other hand we investigated the reaction of cinnoline derivative(4) with appropriate secondary amines through Mannich reaction in the presence of  $CuCl$  as shown in scheme (3).



Scheme (3)

The structure of these compounds (5-8) were confirmed by their m.p.s, elemental analysis and some spectral date, the IR showed disapperanse of  $V \equiv CH$  at 3200 and appearanse of new bands formed at  $21500\text{cm}^{-1}$

## REFERENCES

1. Kassim E.M. Kamel M.M. Makhlof A.A, Omer M.T. Die pharmazie 44 62. (1989)
2. Kassim E.M. Kamel M.M. an Khirr Eldin N.Y. pakistan J.Sci Ind 33b 315 (1990)
3. Drain D.J, Seymour D.E. J. chem Soc 852(955)
4. Drvey J, Ringier BH. Helv Chim Acta 34, 195 (1951)
5. Destovent G. Med R Rev 1 73 (1981)

6. Vingkar sharvani K; Bobude A.S, Khadse B.G. Haffkine Indian J. Hetro cycl chem (2001)
7. Gavini, Elisabtta, Juliano Clandia, Mule Antonio, Pirisino, Dipartimento discienze del farmaco, universita sassari, sassari, Italy J. Arch pharm,333, 10 (341-346) (2000)
8. Amer, Atefm. Chemistry department faculty of science, university Zagazig Egypt, Monatsh chem, 132(7)(859-870). (2001).

## Stochastic Model for precipitation in Iraq

Hassan H. Salman

Department of Meteorology, College of Science, Al-Mustansiriyah University-Baghdad, Iraq

### الخلاصة

قدم في هذه الدراسة نموذج للتساقط، تم تطبيقه على أشهر كانون الثاني ونisan، وشرين الثاني لثمان محطات في العراق. يتناول النموذج توزيع الأحتمالية لعدد الأيام الممطرة، وتوزيع الأحتمالية الشرطية لعمق التساقط لعدد معين من الأيام الممطرة وتوزيع الأحتمالية عبر الشرطية لعمق التساقط. استعرضت النتائج بيئة منحنيات الأحتمالية لحالات التي تضمنتها الدراسة.

### ABSTRACT

In this study, A stochastic Model for the precipitation is presented applied for January, April and November in eight stations in Iraq. This Model deals with the probability distribution of number of rainy days, Conditional probability distribution, of precipitation depth given a certain number of rain days, and the unconditional probability distribution of the precipitation depth. Results are given as probability curves for different cases.

### INTRODUCTION

Knowledge about precipitation distribution on temporal and spatial scales represents a vital step in planning for water resources and practicing better control. Precipitation quantity, variability and behavior represent subject of interest for hydrologists, meteorologists, environmental planners, etc. For Iraq, most of the research work on precipitation was descriptive, yet many publications, especially the recent, concentrate on the quantitative aspects.

Hassan A. and Mashkour M. (1972) studied the question of the mean annual precipitation in Iraq by statistical, theissen and isohectal methods. Al-Nuaimi A., et.al.(1993) studied the variation in precipitation associated to

the weather systems affecting different parts of Iraq. Al-Arethy F. (2000) used the ARIMA models for predicting the mean annual precipitation for many stations in Iraq. Salman H. et.al.(2002) found and tested the best fit theoretical probability distribution function for many stations in Iraq, In their study, the synoptic analysis of the distribution of the rainfall is included also.

In this paper, analysis of the precipitation events is presented by a stochastic model which include the probability to have a particular number of days with rainfall exceeding 1 mm in a station in one fixed period of time (rain season). The model includes the distribution function of the total precipitation depth during a particular period of time for a certain number of rainy days (conditional probability). The unconditional probability of precipitation depth in on period of time (one month for example) is also given.

### Model Formulation

Assuming that the probability that a single day with precipitation exceeding 1 mm ( $R > 1 \text{ mm}$ ) in an interval  $(t, t + \Delta t)$  is  $\lambda \cdot \Delta t + b(\Delta t)$  where  $\lambda$  is constant for a particular case and  $b(\Delta t)$  denotes any function having the

$$\lim_{\Delta t \rightarrow 0} \frac{b(\Delta t)}{\Delta t} = 0 \dots \dots \dots \quad (1)$$

property of:

With the assumption that the probability of one day of ( $R > 1$  mm) in  $(t, t + \Delta t)$  is  $b(\Delta t)$ . If the number of days ( $R > 1$  mm) in any time interval is independent of number of days ( $R > 1$  mm) at any other non overlapping time interval:

$$P(\text{1 or more days}) = P(\text{1 day}) + P(\text{>1 day})$$

$$P(1\text{ day}) = \lambda \Delta t + b_1(\Delta t), P(>1\text{ day}) = b_2(\Delta t)$$

$$P(\text{1 or more day}) = \lambda \Delta t + b_1(\Delta t) + b_2(\Delta t) = \lambda \Delta t + b(\Delta t) \dots \dots (2)$$

But  $b_1(\Delta t)$  and  $b_2(\Delta t)$  have the same property (eq.1), so their sum will have the same property:

$$\lim_{\Delta t \rightarrow 0} \frac{b_1 \Delta t + b_2 \Delta t}{\Delta t} = \lim_{\Delta t \rightarrow 0} \frac{b_1 \Delta t}{\Delta t} + \lim_{\Delta t \rightarrow 0} \frac{b_2 \Delta t}{\Delta t} = 0$$

$$P_\theta(t+\Delta t) = P(\text{0 day in time } t+\Delta t)$$

$= P(0 \text{ in time } t), P(0 \text{ day in time } t, t + \Delta t)$

$$= P_{\theta}(t) \cdot [1 - P(1 \text{ or more in } (t, t+\Delta t))]$$

$$= P_{\theta}(t) \cdot [1 - \lambda t - b(\Delta t)]$$

Therefore  $P_\theta(t + \Delta t) - P_\theta(t) = -P_\theta(t) \cdot (\lambda \Delta t + b_2(\Delta t))$

$$\frac{P_0(t + \Delta t) - P_0(t)}{\Delta t} = -P_0(t) \cdot [\lambda + \frac{b(\Delta t)}{\Delta t}]$$

$$\frac{dP_0}{dt} = \lim_{\Delta t \rightarrow 0} \frac{P_0(t + \Delta t) - P_0(t)}{\Delta t} = -P_0(t), [\lambda + 0] = \lambda p_0(t). \dots \dots \dots (3)$$

For the nonoverlapping time intervals  $(0,t)$  and  $(t,t+\Delta t)$ , the only possibilities of getting  $(n)$  days of precipitation in the time  $(0,t+\Delta t)$  are:

n days in  $(0, t)$  and 0 in  $(t, t + At)$

$n-1$  days in  $(0, t)$  and 1 in  $(t, t + \Delta t)$

$n-2$  days in  $(0, t)$  and 2 in  $(t, t+\Delta t)$  and so on.

For mutually exclusive events their probabilities add to get:

$$\text{But } P_0(t) + P_1(t) + P_2(t) + \dots = 1 \dots \dots \dots \dots \dots \quad (5)$$

For small  $t$ ,  $t = \Delta t$ , substituting in eq.2 gives:

$$P_0(A|t) = I - \lambda A t - b(A t) \dots \dots \dots \dots \dots \dots \dots \quad (6)$$

Substituting (eq.6) in (eq.4) gives:

$$P_1(t+\Delta) \equiv P_1(t).(|-\lambda\Delta - b(\Delta)|) + P_{h-1}(t).(\lambda\Delta + b_1(\Delta)) + b_2(\Delta) \dots (7)$$

$$\frac{dP_n}{dt} = \lim_{\Delta t \rightarrow 0} \frac{Pr(t+\Delta t) - Pr(t)}{\Delta t} = \lim_{\Delta t \rightarrow 0} \left( -Pr(t).(\lambda + \frac{b_1(\Delta t)}{\Delta t}) + Pr(t-\Delta t).(\lambda + \frac{b_2(\Delta t)}{\Delta t}) + \frac{b_2(\Delta t)}{\Delta t} \right)$$

$$\frac{dP_n}{dt} = -\lambda P_n(t) + \lambda P_{n-1}(t) \dots \dots \dots \quad (8)$$

Equations (3) and (8) represent a system of differential equations for which the solution requires the following initial conditions:

$$P_0=1, P_1(0)=P_2(0)=\dots \dots \dots, P_n(0) \text{ for } n > 1$$

For eq.(3) the solution with  $P_0(0)=1$  is:  $P_0(t)=e^{-\lambda t}$ , substituting this in eq.(8) with  $n=1$  we get :

$$\frac{dP_1}{dt} + \lambda P_1(t) = e^{-\lambda t}$$

This equation is linear in  $P_1(t)$  with integration factor  $e^{\lambda t}$  and it can be written as:

$$\frac{d}{dt}(e^{\lambda t} P_1(t)) = \lambda$$

Integrating the last equation results in:

$$e^{\lambda t} P_1(t) = \lambda t + C_1$$

$C_1=0$  with  $t=0, P_1(0)=0$ , therefore :

$$P_1(t) = \lambda t e^{-\lambda t}$$

This equation can be substituted into eq.(8) with  $n=2$  and the result is:

$$\frac{dP_2(t)}{dt} + \lambda P_2(t) = \lambda(\lambda t) e^{-\lambda t}$$

Integration gives:

$$e^{-\lambda t} P_2(t) = \frac{\lambda^2 t^2}{2} + C_2$$

With  $P_2(0)=0$        $C2=0$

Proceeding with the same manner gives the generalization:

$$P_n(t) = \frac{(\lambda t)^n}{n!} e^{-\lambda t}, \quad n = 0, 1, 2, \dots \quad (9)$$

The probabilities add up to 1 since:

$$P_0(t) + P_1(t) + \dots = e^{-\lambda t} \left( 1 + \frac{\lambda t}{1!} + \frac{(\lambda t)^2}{2!} + \dots \right)$$

$$P_0(t) + P_1(t) + \dots = e^{-\lambda t} \cdot \sum_{n=0}^{\infty} \frac{(\lambda t)^n}{n!} = e^{-\lambda t} \cdot e^{\lambda t} = 1$$

If the notation:

$E_n^{t_0, t}$  denotes the number of days with ( $R > 1\text{mm}$ ) during the interval  $(t_0, t)$  is exactly  $n$  then

which is the mass probability of the Poisson Type and for which  $\lambda_1$  is given by

$$\lambda_1 = \lim_{\Delta t \rightarrow 0} \frac{P(E_1^{t+\Delta t})}{\Delta t}$$

The distribution function will be:

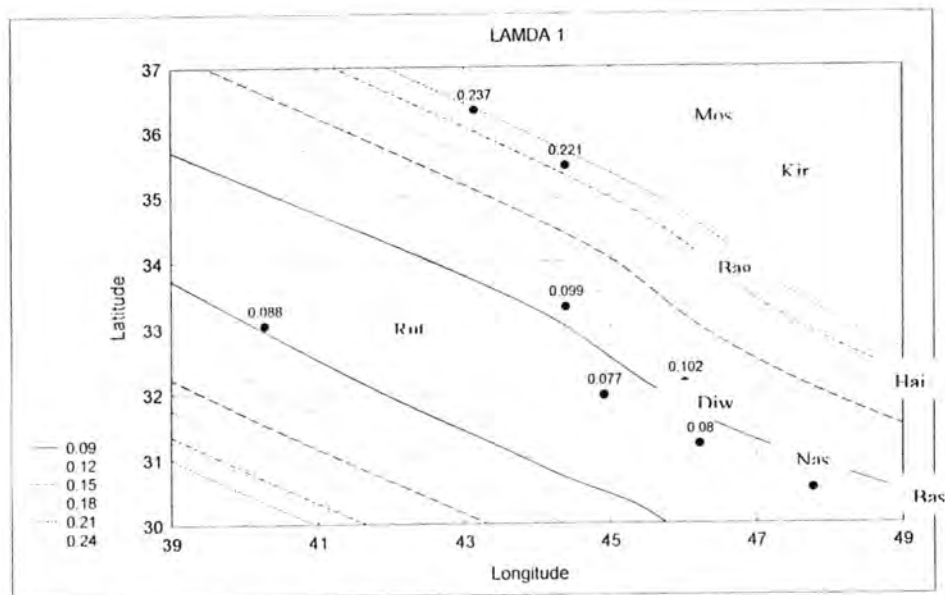
$$F(x) = \sum_{i=1}^n P(E_i^{t_0+\Delta t})$$

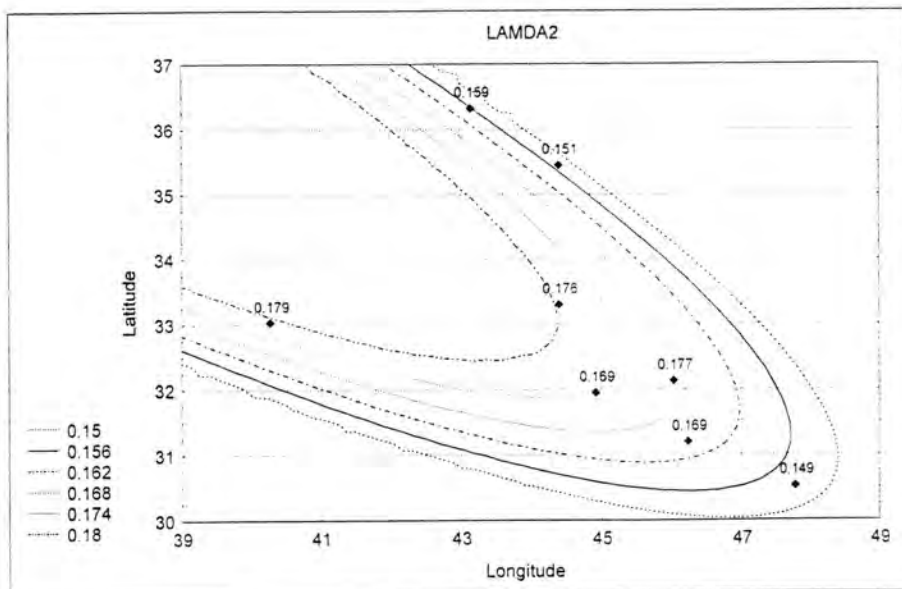
Let  $G_n^{x_0, x}$  means the total precipitation depth accumulates until the  $n$ th day is less than or equal to  $(x - x_0)$  and that accumulated precipitation with the  $n+1$  days is greater than  $x - x_0$  so:

$$\sum_{n=1}^{\infty} P(G_n^{(y),x}) = 1$$

Taking

the appropriate alternative especially for design of irrigation and municipal projects.



Fig.1 Contour Plots of Model Parameters  $\lambda_1$  and  $\lambda_2$

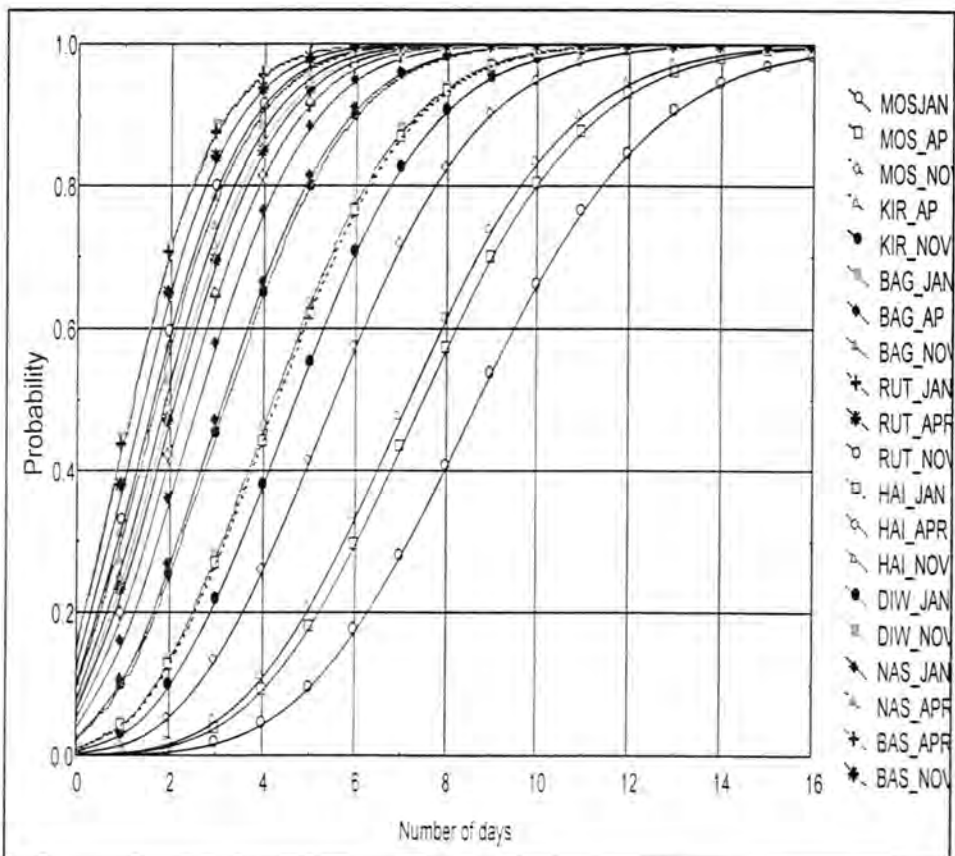
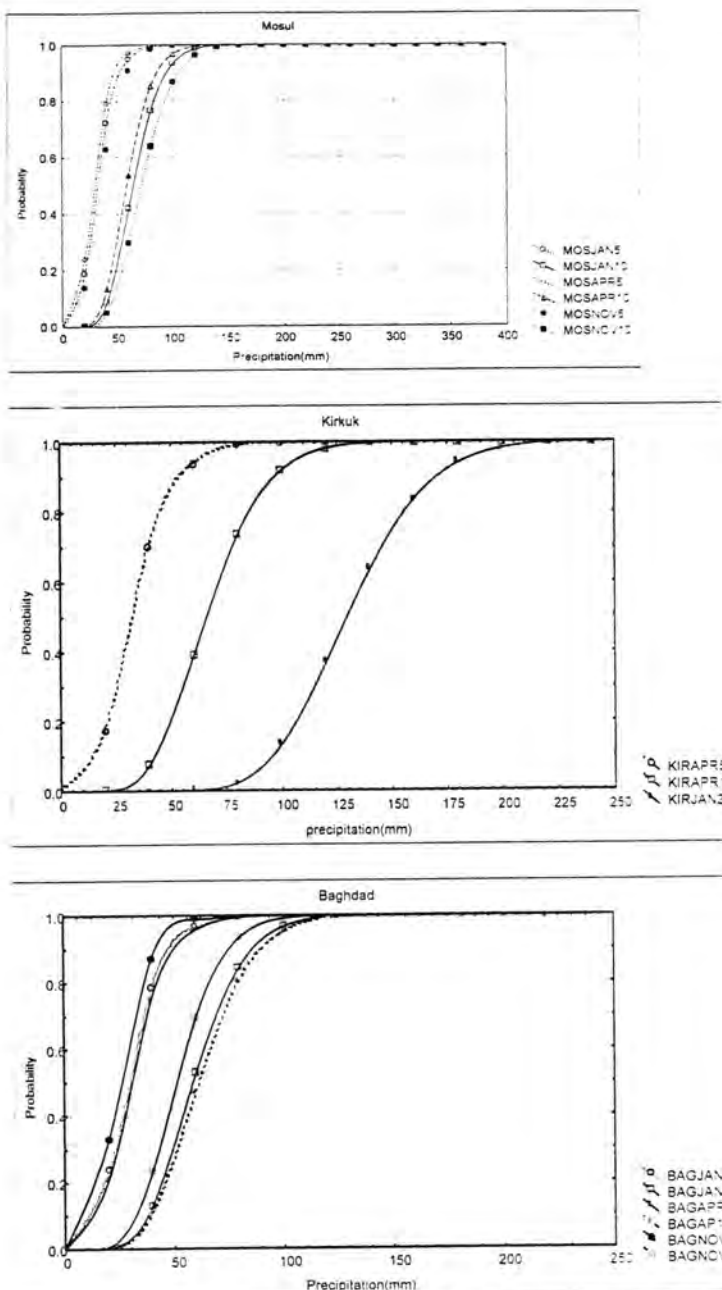


Fig. 2 Probability distribution of number of rainy days



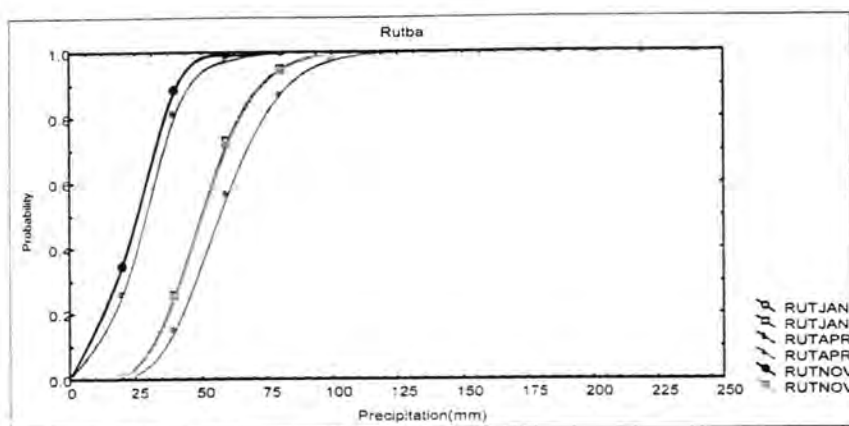


Fig. Conditional Probability of precipitation in Mosul ,Kirkuk, Baghdad and Rutba

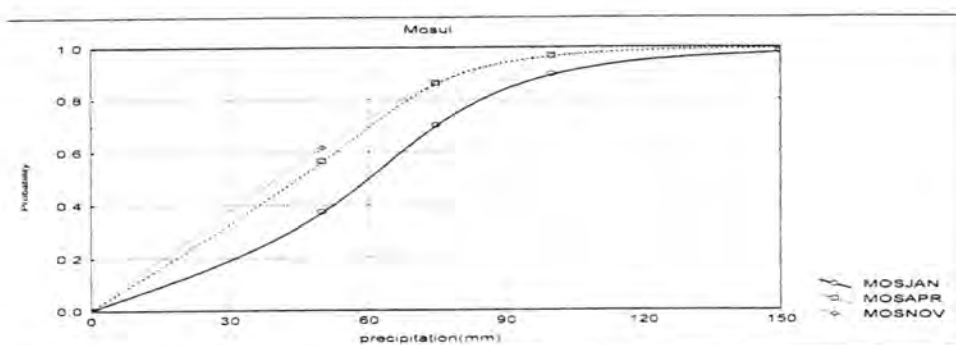
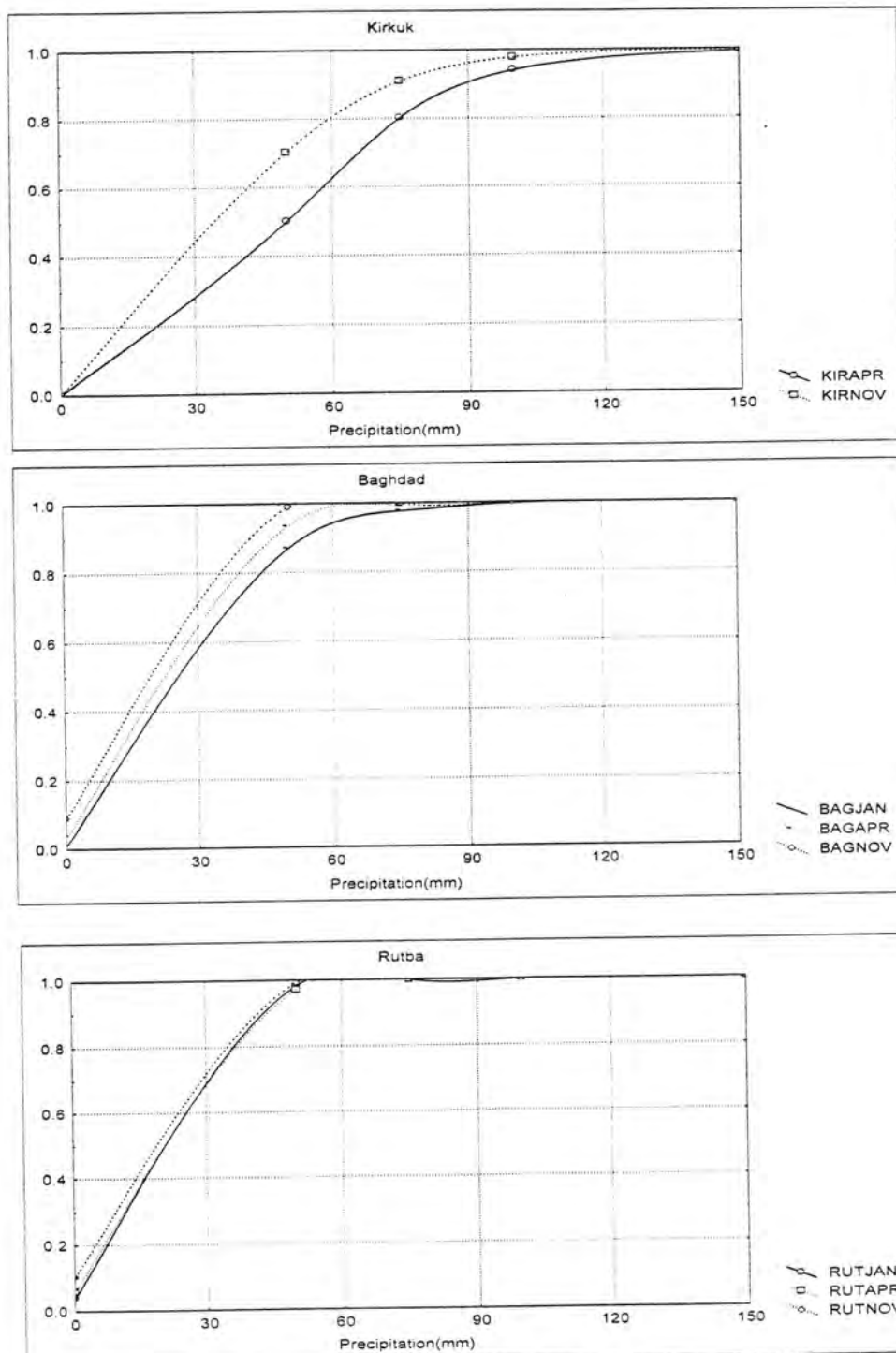
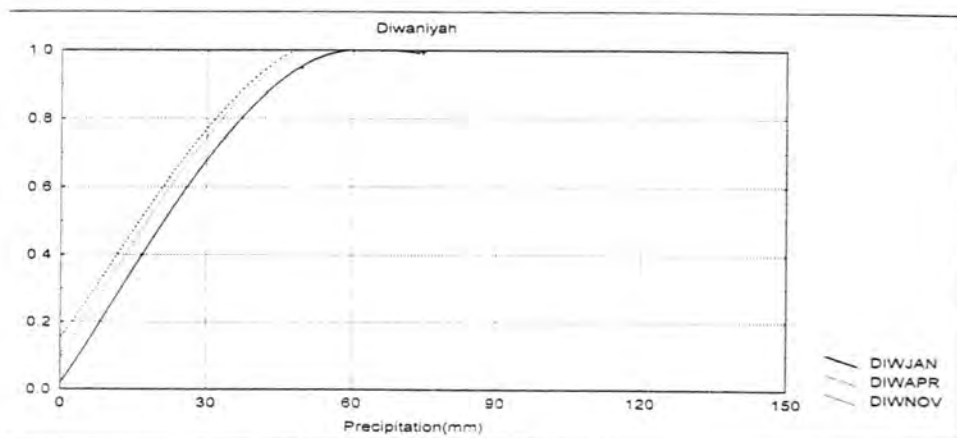
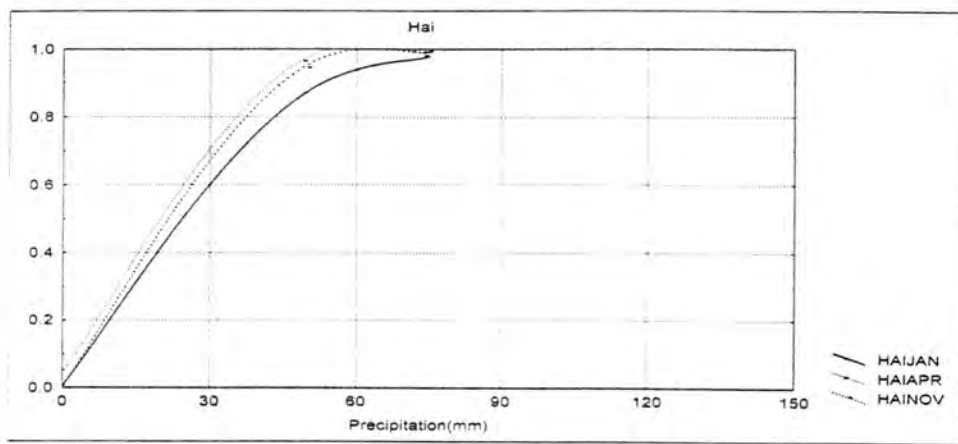


Fig.3 Unconditional probability distribution of precipitation of Mosul,Kirkuk,Baghdad and Rutba.





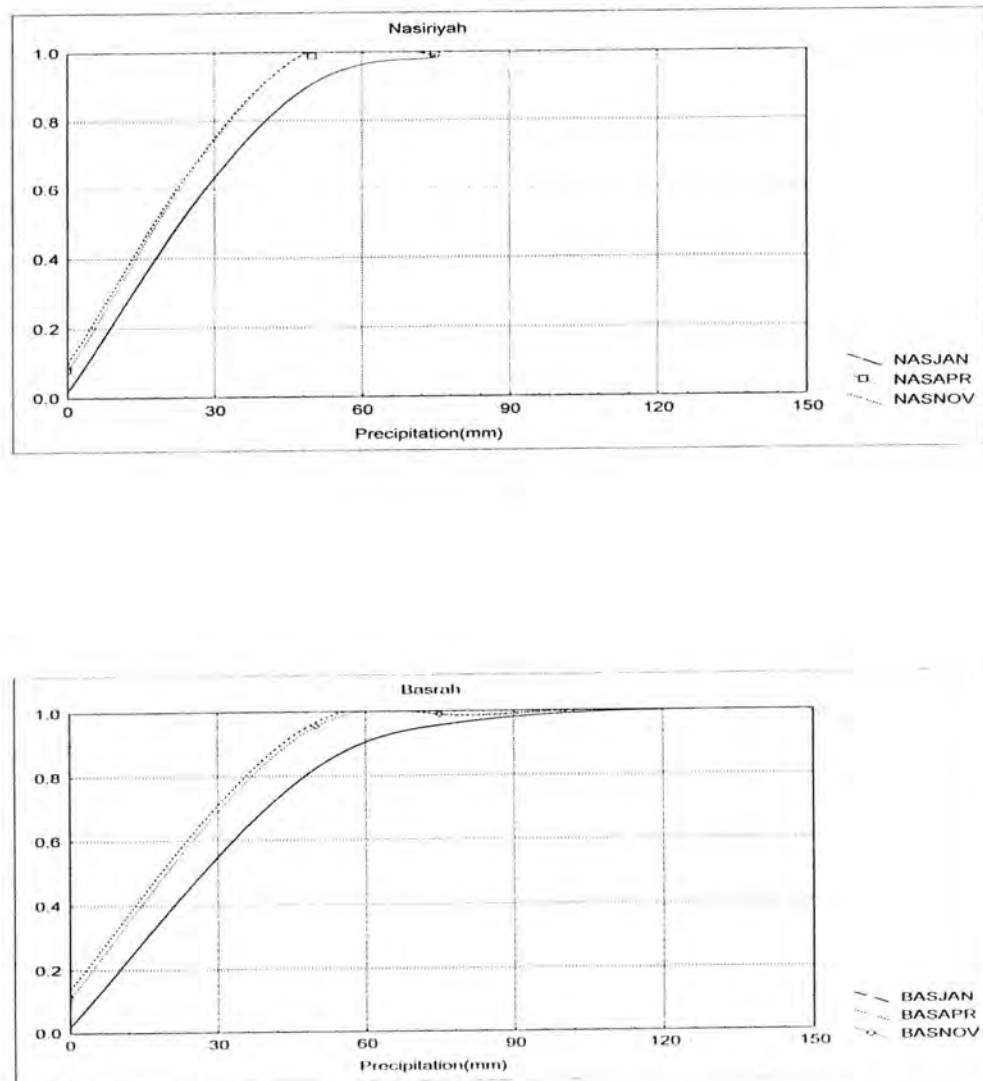


Fig.6 Unconditional probability distribution of precipitation of Hai, Diwaniyah, Nasiriyah and Basrah

Table 1 Model Parameters  $\lambda_1$  (upper) and  $\lambda_2$  (lower) for the studied stations

	Mos	Kir	Bag	Rut	Hai	Diw	Nas	Bas
Jan	.303	.303	.158	.097	.161	.126	.123	.123
	.151	.152	.165	.195	.171	.181	.150	.125
Feb	.329	.329	.143	.111	.157	.107	.118	.111
	.148	.139	.169	.182	.198	.170	.188	.162
Mar	.310	.287	.119	.103	.116	.077	.094	.087
	.151	.142	.163	.172	.168	.177	.184	.163
Apr	.263	.253	.110	.093	.100	.073	.083	.063
	.166	.147	.157	.170	.142	.160	.185	.132
May	.097	.087	.032	.068	.048	.042	.042	.026
	.168	.156	.192	.173	.219	.186	.161	.170
Oct	.090	.065	.023	.052	.032	.020	.023	.017
	.190	.194	.199	.158	.207	.127	.161	.174
Nov	.200	.173	.077	.073	.090	.060	.073	.070
	.135	.134	.189	.193	.143	.154	.170	.129
Dec	.307	.274	.126	.103	.113	.107	.081	.103
	.159	.143	.174	.181	.169	.199	.151	.137
Average	.237	.221	.099	.088	.102	.077	.080	.075
	.159	.151	.176	.179	.177	.169	.169	.149

### Acknowledgements

Great thanks are due to Proff.Dr.Rasheed H.Al-Nuaimi and Dr. Natiq A.Zaki of the Dept. of Meteorology, for reading the manuscript.

### REFERENCES

- Al-Arethy F.A.A., An analytical study for the rainfall time series in Iraq. Unpublished M.Sc. thesis, Department of Meteorology, College of Science, Al-Mustansiriyah University.78P.(In Arabic). (2000).
- Al-Nuaimi A.,Zaki, N.A, and Lafta N.M., The variation in the amount of precipitation associated with the weather systems affecting Iraq. AlMustansiriyah Jou.Sci.,vol.4.no.1 , pp.7-11. (1993).
- Hassan A.H And Mashkour M., Mean annual precipitation in Iraq, Jou.Geo.Soc.Iraq.vol.5, pp.119-127. (1972).

Iraqi Meteorological Organization Climatological Normals, Climatological Section, Publication No.18. (1994).

McGrew J.C.Jr., and Monrde C.B., An introduction to statistical problem solving in geography. WCB McGraw-Hill.305P. (1993).

Pereda M., and Llamas J., Mathematical model of the precipitation in Madrid Region Jou.Wat.Resou.,vol. 3, No.1, pp.254-273. (1984).

Salman H.H.,Zaki N.A., and Hassan S.A., Rainfall distribution in Iraq.

Al- Mustansiriyah Jou.Sci.,vol.12,no.3 , pp.155-173. (2001)

## **Enhancement of CR-39 Detector Chemical Etching Using Ultrasonic Environment**

**MUNTHER A.R. IBRAHIM\* - ABDULLA A. RASHEED\*\***

**MAHDI M. MUTAR\***

**\* IAEC - physics and Material Department**

**\*\*AL-Mustansiriyah university - College of Science**

### **ABSTRACT**

In this work an ultrasonic environment was used during CR-39 detector chemical etching. The dector was irradiated using  $^{241}\text{Am}$  point source. The experimental results shows that the ultrasonic environment enhanced the chemical. This method is a promis in revelation of alspha-tracks in SSNTDs

### **INTRODUCTION**

The application areas of SSNTDs a specially in radiation dosimetry, fast beam detection in plasma focus system fusion reaction product as time integrated tools, and radiation environment have been grown rapidly.

The detection of nuclear particles by SSNTDs is generally thought to involve the process of creating a radiation damage cased by light and heavy particles.

The revelation of nuclear tracks in SSNTDs is generally made by chemical etching.

Many auxiliary methods were used to enhanced chemical etching process such as exposing the detector to X-ray, an high - energy electron,  $\gamma$ -ray irradiation, UV - irradiation and etching in the presence of  $\text{O}_2$  or Oxidizing agent (1, 2, 3, 4).

Todorovic and Antanasijevic R. (5) have described the application of ultrasonic environment to accelerate chemical etching process and rising to identify low - energy and light fragment ions in gelatin.

Ching - Shen Su (6) was gelatin films to detect alpha - particles. The etching process was done with pure alcohol under the effect of ultrasonic wave enironmnet, in the same year this method was used to revelate the alpha - particle tracks in lexan and LR - 115.

In our work the chemical etching of irradiated CR-39 detector in ultrasonic water bath was performed to study the effect of the ultrasonic wave on alpha - particle tracks revealing and etch induction time.

## **EXPERIMENTAL RESULT AND DISCUSSION**

Six CR-39 detectors (Pershore Moulding Limited - England) of 250  $\mu\text{m}$  thickness and  $1 \times 1 \text{ cm}^2$  area were irradiated by  $^{241}\text{Am}$  radioactive source of 9  $\mu\text{Ci}$  activity.

The detectors were irradiated at different distances from the source (1, 1.5 and 2 cm).

Each two samples were irradiate at the same conditions, then one of them was etched chemically in NaOH (6.25N) at 60°C while the second detector etched chemically in the presence of ultrasonic water bath with output power of 125 W and 1.81 liters capacity. The etching time was 8 hrs which is the optimum etching time.

The previous porsseeder was done for each set of detectors which irradiated at different distances for one minute.

Table 1 shows the relation between etching time and track density for both etching methods.

Table 2 represent the parameters of CR-39 detectors obtained in case of chemical etching and in presence of ultrasonic environment.,

Figs. (1, 2, 3) shows etching time Vs track density for six detectors irradiated at different distances and etched chemically in present and without ultrasonic medium.

The experimental results shows that the ultrasonic environment reduced etch induction time and accelerate the etching process from 3 hr. to 2 hr., also the result shows that the tracks density revealed by the ultrasonic etching process were larger in comparison with the standard one, also this method enhanced the detector parameters with respect to the values obtained by chemical etching.

The above results was obtained due to the mechanism effect of the ultrasonic etching process for the alpha track revelation in CR-39 detector. Thje chemical etching process can be considered as the competing chemical reaction of the etchant with the radiation-damaged material in the track core region and with the detector material in the bulk. If the quantity of NaOH solution is limited then the concentration of the solution reduced due to the

chemical reaction of it with Cr-29 material, and consequently, the detector etching rate will decrease, this means that the conventional chemical etching process is quite restricted method to reveal nuclear tracks in CR-39 detector.

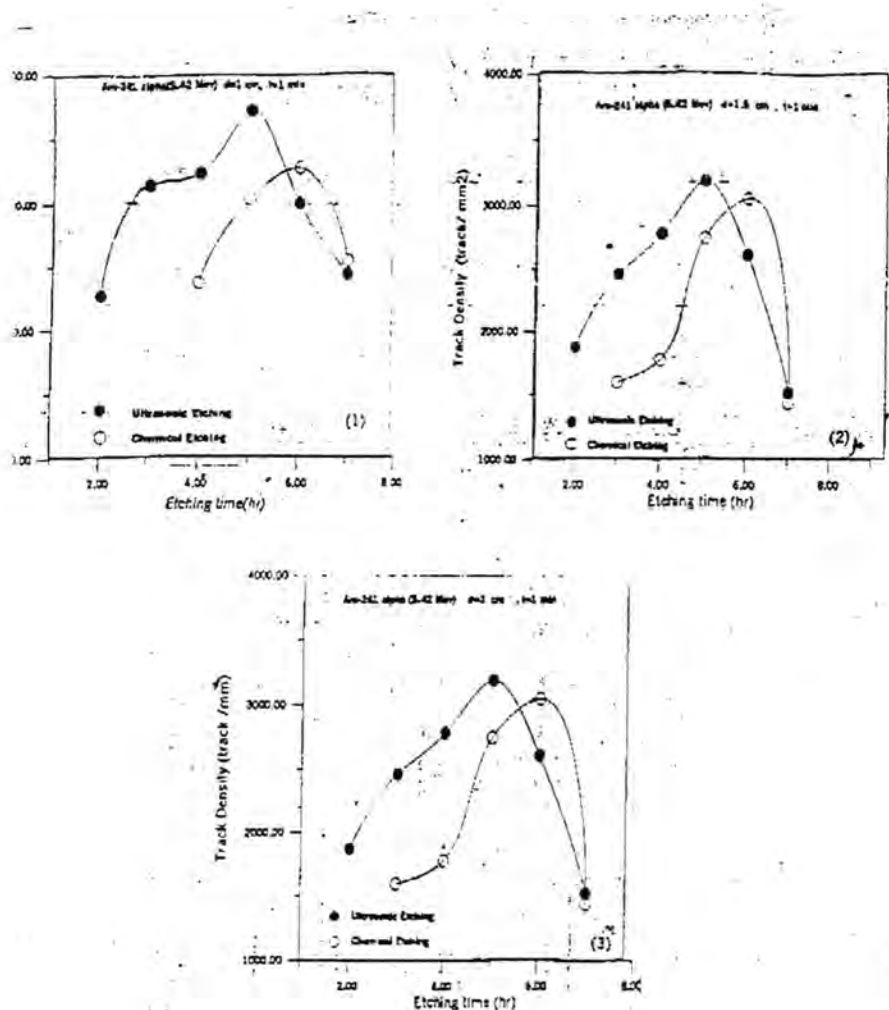
The ultrasonic etching process proceeds via a cavitation - implosion process generated by ultrasonic wave in the etchant solution also the mechanical wave will suck out the diluted NaOH etchant solution resulting from chemical reaction with radiation - damaged area of the detector and replace it with fresh NaOH solution, therefore the track etching rate can be maintained at the same level during the optimum etching condition, and alpha tracks can be revealed if the track etching rate is higher than  $V_B$ . Finally the ultrasonic chemical etching of CR-39 detector achieved very promising results.

Table 1: The relation between etching time and track density for both detectors etching methods

Etching Time (hr)	Track density ( $\rho$ ) track $\text{L mm}^{-2}$					
	$t=1\text{min}, d=1\text{cm}$		$t=1\text{min}, d=1.5\text{cm}$		$t=1\text{min}, d=2\text{cm}$	
	Ultrasonic Etching	Chemical Etching	Ultrasonic Etching	Chemical etching	Ultrasonic Etching	Chemical Etching
1	0	0	0	0	0	0
2	4553.6±81.3	0	3241.6±55	0	1872±30	0
3	6293.3±107	3939.2±63	3624±65	2881.6±49	2456±44	1600±27
4	6496±101	4768±81	4096±66	3366.4±57	2776±47	1776±28
5	7440±126	6086.4±103	5120±87	4484.8±72	3184±54	2440.8±39
6	6008±108	6564.8±112	3272±56	4800±77	2600±44	3041.6±52
7	4899.2±78	5120±87	2944±47	3043.2±52	1520±27	1440±23
8	----	3448±58	----	1920±33	----	480±9

Table 2: CR-39 detector parameters values obtained in case of Chemical etching and in present of ultrasonic environment

Etching Parameter	$t=1\text{min}, d=1\text{cm}$		$t=1\text{min}, d=1.5\text{cm}$		$t=1\text{min}, d=2\text{cm}$	
	Ultrasonic Etching	Chemical Etching	Ultrasonic Etching	Chemical Etching	Ultrasonic Etching	Chemical Etching
$V_B$	1.753	2.10	1.755	1.69	1.30	1.908
$V_I$	3.022	2.74	1.10	1.85	3.98	2.1
$V$	1.723	1.304	1.253	1.094	3.061	1.10
$H$	0.419	0.233	0.202	0.086	0.673	0.091
$D$	21.3	9.066	18.88	9.519	23.88	4.731
$L$	18.13	16.44	13.2	11.1	23.88	12.6
$\Theta_C$	35.74	50.07	52.94	66.07	19.06	65.38
$H$	10.518	12.6	10.53	10.14	7.8	11.448



Fig's (1,2,3) Shows etching time Vs. track density for irradiated detectors using chemical and ultrasonic chemical etching

## REFERENCE

1. L. Tommasion, Proc. 7<sup>th</sup> Conf. Corpuscular Photg. Solid Detectors., Barcelone, CNEN Report RTLPROT, 1 (1970).
2. M. Varnagy, J. Csikai and S. Szegedi Nucl. Instrum. Meth. 119, 216-267 (1974)
3. Khan H.A. Nucl. Instrum. Meth. 173, 55-62 (1980).
4. Somogyi G., Varnagy M. and Medveczky L. Radiat. Effects, 111-116 (1970).
5. Todorovic Z. and Antanasijevic R. Nucl. Instrum. Meth. 212, 217-219 (1983).
6. Ching - Shen Su. Nucl. Tracks Radiat.Meas. Vol. 10. No. 1 PP. 61-64 (1989).
7. Ching-Shen Su. Nuclear Instrum and Methods in Physics Research B<sub>44</sub>, 97-102 (1989).

**Digital Filters for Hit Noise Reduction in some X-ray Imaging Systems**

**Dr. Hashim H. Jawad , Dr.Ali Abid D. AL-Zuky and  
Firas Sabih M. AL-Wahieb**

**Univ. of AL-Mustansiriya, College of Science, Physics Dept.**

**ABSTRACT**

The imaging system we have investigating suffer from the appearance of scattered bright points. A usual solution to reduce this noise can be achieved by an increase in exposure but it is very difficult to prevent the hits. In present study, we have investigating algorithms to reduce noise with out an increase in exposure by adopting four digital filters for noise reduction and comparing between efficiency of each filter to determine an efficient method. The resulting images and fidelity criteria showed that the median filter smoothes hit noise while maintaining edge information, but the mean filter image is a blurred version of the noisy image.

**INTRODUCTION**

In the medical imaging and other similar applications including industrial x-ray inspection, X-ray imaging detectors (such as a charge coupled device or CCD) may produce variation in both intensity and position, this will causes displaying random manner spots that degraded the images.

The originality of the hit noise is that some x-ray photons penetrate through or get around the converting screen (i.e. dose not converted all the x-ray photons to the visible light). Then this penetrated x-ray photos strike the light sensitive array, where this portion of the x-ray photons when strike the light sensing array will create a signal in the array, which will be much larger than that of a visible light photon due to the much higher energy of the x-ray photons [1]. The result is a bright (white) spots in some locations on the resulted image, which look like a salt has been shaken onto a photograph. so that the generic name for this type of noise is (salt noise). In those detectors (i.e. CCD) where white spots are a problem, many means are usually used to reduce the likelihood of the unwanted x-rays striking the detectors. One such means is to add shielding in the form of lead or other high-atomic number material to block scattered radiation from striking the detector while allowing the visible light to strike the detector. These means typically add cost and complexity to the overall detectors system. After the image has been captured, image processing is applied to remove the

offending spots. It is remarkable comment on the advance of technology. For our purpose, this study discuss the steps require to reducing noise, where the image enhancement operations are perform after the basic image has been formed.

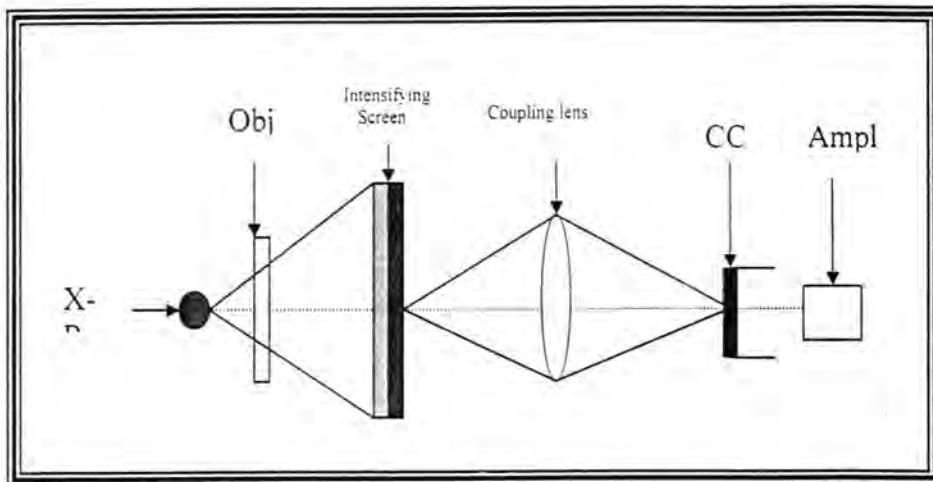


Fig. (1) CCD x-ray detector.

## 2- Digital Image Smoothing filters

There many filters, which could directly apply to enhance the noisy images as, follow:

### a) Minimum filter

The minimum-filter selects the smallest value within the ordered of smoothing window of pixel values [2].

### b) Mean filter

The mean filter technique operates by reducing the statistical fluctuations in each pixel by averaging the pixel with its closest neighbors. Mean-filter can be implemented directly to replace the image pixel values  $I(i,j)$  by their mean values  $\hat{I}(i,j)$ , over sliding window [2,3].

**c) Median filter**

This filter replace the gray level of each pixel by the median of the gray levels in a neighborhood of that pixel. Recall that the median M of a set of values is such that half of the values in the set are less than M and half are greater than M. In order to perform median filtering in a neighborhood of a pixel must be sort the values of the pixel and its neighbors, then determine the median, and assign this value to the pixel. For example, in a  $3 \times 3$  neighborhood the median is the 5th largest value [2,4]:

$$\begin{bmatrix} 20 & 40 & 15 \\ 25 & 70 & 10 \\ 90 & 55 & 85 \end{bmatrix}$$

First sort the values in order set as follow:

(10,15,20,25,**40**,55,70,85,90)

Here the median value is (40).

**d) Mode filter:**

Mode-filter is another example of the smoothing filters in which the window's central pixel value is replaced by the point's value of the greatest repeated in the sliding mask. The mode filter is defined in the same way as the median filter, but instead of taking the median of the pixels in a neighborhood, that take the value of highest repetition in the sliding mask. A definite disadvantage of the mode filter is that it need not be unique, as is illustrated by the following data [5]:

1 2 3 6 3 4 9 8 5 8

Here 3 and 8 both occur with the highest frequency (The fact that there is more than one mode is sometimes an indication that the data are not homogenous, that is, they constitute a combination of several sets of data). Another disadvantage of the mode filter is that if on two values are alike, the mode does not exist [5].

### 3- Fidelity Criteria

To measure the quality of the results images that has been obtained by applying enhancement techniques the following measurements can be adopted.

#### a) mean and variance

The mean ( $\mu$ ) of a set of values is it's statistical average, such that, if I represents a set of N values the mean can be written as:

$$\mu = \frac{1}{N} \sum_{i=1}^N I_i$$

(1)

The mean of a set of values locates only the average value [6]. It is helpful to know how much the data varies from its mean. The variance  $V^2$  of a random variable I with expected value  $\mu$  is given by:

$$V^2 = \frac{\sum_{i=1}^N (I_i - \mu)^2}{N-1}$$

(2)

The smallest value of  $V^2$  can be assumed is zero, and that would occur if all the I-samples take the same value. When the variation between the samples increase, the variance will be increased.

Since the variance is expressed in square units, more useful value is the square root of the variance, which is expressed in units, and can be related back to the original values [6]. The standard deviation (STD) of a random variable I is the square root of the variance as follows:

$$STD = \sqrt{\frac{\sum_{i=1}^N (I_i - \mu)^2}{N-1}}$$

(3)

#### b) Signal to Noise Ratio (SNR)

Signal-to-noise (SNR) measures are estimates of the quality of a reconstructed image compared with an original image. The basic idea is to compute a single number that reflects the quality of reconstructed image [7]. The amount of useful image information (signal) compared to non-useful

information (noise). In digital x-ray systems, as noise decreases, or SNR increases, object detectability increases very rapidly [8]. Calculation of the Signal-to-Noise Ratio (SNR) defined as the mean over the standard deviation [6];

$$\text{SNR} = \frac{\mu}{\text{STD}}$$

(4)

### c) Normalize Root mean square error (RMSE)

The comparison between a source image that contains  $(N \times M)$  pixels and the processed or noisy image gives one measure of quality, however, the error between the two images is easier to compute by using the parameter (NRMSE).

First we compute the normalized mean squared error (NMSE) of the processed or noisy image that has  $(N \times M)$  pixels as follows [7,9]:

$$\text{NMSE}_1 = \frac{1}{N \times M} \sum_{i=0}^{N-1} \sum_{j=0}^{M-1} \frac{(\hat{I}_{(i,j)} - I_{(i,j)})^2}{255}$$

(5)

$\hat{I}$ = the original image

$I$ = the processed image

In this work a new criteria has been suggested, this measure compute NMSE between pdf of histogram region in original image and processed image this given by :

$$\text{NMSE}_2 = \frac{1}{256} \sum_{i=0}^{256} [\text{pdf}_1(i) - \text{pdf}_2(i)]^2$$

(6)

Where  $\text{pdf}$  = is the probability density function of the image.

The summation is over all pixels. The root mean squared error (RMSE) is the square root of MSE:

$$\text{NRMSE} = \sqrt{\text{NMSE}} \quad (7)$$

Typically the NRMSE values range between (0) and (1).

#### 4- Results and Discussion

As it has been mentioned previously, Four smoothing filters have been adoptive to reduce the hit noise in the x-ray Image . It should be noted that all these mentioned filters have been perform by utilizing a smoothing window of size (5X5).

One image have been adopt to demonstrate the smoothing effects, this is:

**x-ray Chest image:** have size (256X256) and grays ranged between 0 (dark) to 256 (bright). The generation noise of this image produced two images with noise ratio 0.01 and 0.02, respectively.

The results obtained by perform each of smoothing filters are demonstrated as follows:

Figure (1) represent, chest x-ray images (i.e. the original, noisy, and the smoothed images) smoothed by window of size (5X5).

The histograms of the original and smoothed x-ray chest image are shown in figures (2). The histograms were results are for original and filtered images that have noise (0.01) .

Three homogenous regions have been selected to compute the mean ( $\mu$ ) and signal-to-noise ratio (SNR), for each image region within all original, noisy (0.01), and filtered images. These values have been used to judge the performance of the adopted filters, by comparing the results of the noisy and filtered images with that of the original image. An optimum filter is pronounced which give highest SNR values, and preserved  $\mu$  values constant. Another quality test has been carried on the selected regions of all noisy and filtered images to demonstrate the performance of the adopted filters: i.e. the normalized of root mean-square-error (NRMSE<sup>1</sup>- NRMSE<sup>2</sup>). The results of the above mentioned tests are tabulated in tables (1).



Original image



Noisy image (0.01)



Minimum filter



Mean filter



Median filter



Mode filter

**Fig. (1-1) Original, Noisy (0.01) and smoothing images for chest image.**

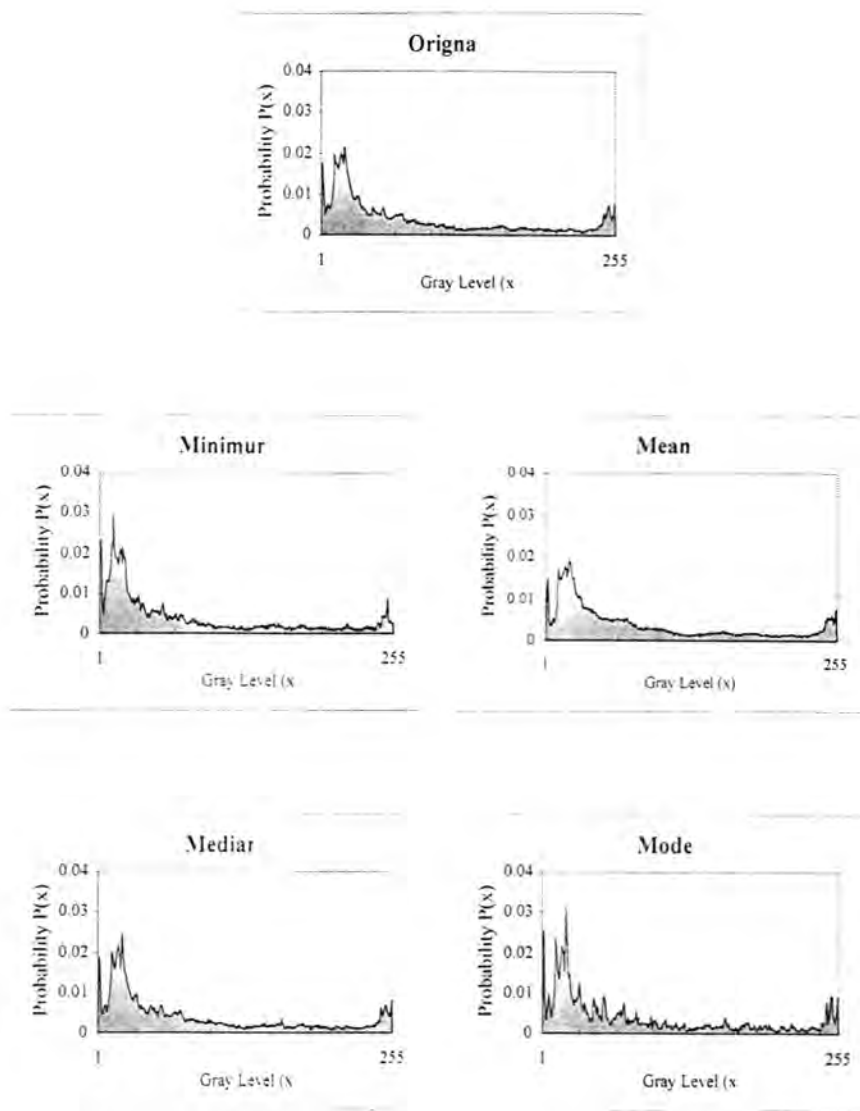


Fig. (1-2) Histograms of original chest image and their smoothed Images.

**Table (1):** Mean, SNR, NRMSE<sub>1</sub> and NRMSE<sub>2</sub> obtained for chest image with noise ratio (0.01), by different smoothing filters, using window of (5 × 5).

<b>Original image</b>		
<b>Region</b>	$\mu$	SNR
DARK	12.06	4.36
GRAY	151	5.9
BRIGHT	251	108

<b>Minimum filter</b>				
<b>Region</b>	$\mu$	SNR	NRMSE <sub>1</sub>	NRMSE <sub>2</sub>
DARK	9	4	0.01447	0.0168
GRAY	137.5	5.26	0.0584	0.00415
BRIGHT	247	93.35	0.0084	0.01483

<b>Mean(box) filter</b>				
<b>Region</b>	$\mu$	SNR	NRMSE <sub>1</sub>	NRMSE <sub>2</sub>
DARK	15	2.78	0.2257	0.00826
GRAY	152	6	0.0152	0.00328
BRIGHT	251	114.6	0.00336	0.00567

<b>Median filter</b>				
<b>Region</b>	$\mu$	SNR	NRMSE <sub>1</sub>	NRMSE <sub>2</sub>
DARK	12	4.4	0.0075	0.00658
GRAY	151	5.9	0.013	0.00168
BRIGHT	251	108	0.00388	0.0026

Mode filter				
Region	$\mu$	SNR	NRMSE <sub>1</sub>	NRMSE <sub>2</sub>
DARK	12	4.2	0.0072	0.0068
GRAY	150	5.28	0.0244	0.0042
BRIGHT	250	106	0.0035	0.0022

### a) Tables Conclusion

According to the quantitative measures given in table (1), in which the mean, the signal-to-noise ratio, and the normalized root mean square error of the homogenous regions were examined, the adopted filters can be discussed as follows:

**Minimum filter:** This filter gave smaller signal-to-noise ratio, and smaller mean values for all homogenous regions than that of the original and author smoothed images. However, this filter produces a high normalized root mean square error (NRMSE<sub>1</sub> and NRMSE<sub>2</sub>).

**Box (mean) filter:** This filter gave a high signal-to-noise ratio but less than that of the original image. Whereas the mean values was not preserved, it's few higher than that of the original image. This filter produce a high NRMSE<sub>1</sub> and NRMSE<sub>2</sub>, than that of all smoothed images.

**Median filter:** This filter gave highest signal-to-noise ratio for all homogenous regions with conserved mean values, approaches to those obtained in the original image. Also, this filter produced small NRMSE<sub>1</sub> and NRMSE<sub>2</sub> in all regions compare with that of the author smoothed images.

**Mode filter:** this filter gave mean values, and signal-to-noise ratio approaches to that of median filter or may be slightly smaller. But the results of NRMSE<sub>1</sub> and NRMSE<sub>2</sub>, are higher than that of median filter.

### b) Histograms Conclusion

From the image histograms shown in figure (2), for the original, noisy, and soothed images, respectively, we can conclude the following:

The chest image histograms have continuous range of gray-level values also we can see that the main peak in the original chest image in the dark region.

Comparing the image histograms of smoothed images with that of the original image, it can be seen that;

**Minimum filter:** The produced image histogram by this filter, shows that the main peak is slightly deviated toward the dark side, and the probability of the tails value of this filter is higher than that of original image.

**Box (mean) filter:** When we perform this filter on the noisy image, we have seen that the main peak is slightly deviated toward the bright side. Moreover, the probability of the tail values

is decreased to smaller value compare with that of the original and author smoothed images.

**Median filter:** The image histogram of this filter is very similar to that of the original image, so that we can see a better smoothing performance is achieved when this filter is implemented on the nosy image.

**Mode filter:** The image histogram of this filter will create a secondary and sharp peaks along histogram range, and the main peak of this filter is higher than that of the original image.

### Conclusion

The methods used for noise removal that apply on the x-ray image are simple and represent effective filtering techniques.

The median filter smoothes hit noise (white noise) while maintaining edge information, but the mean filter image is a blurred version of the noisy image .All methods of smoothing x-ray noisy image sacrifice some resolution in the process of smoothing the image.

### REFERENCES

- 1-William J. Dallas, and Hans Rochrig, "Hit Noise Reduction in Portal Images : a Comparison between Wavelet and Rank-Order Based Methods", SPIE, Vol. 3034,(1996).
- 1-S.E. Umbaugh, " Computer Vision and Image Processing: a practical approach using CVIPtools", Prentice Hall, Inc., (1998).

- 2-A.C. Frery, and S.J.S. Sant'Anna, " Non-adaptive Robust Filters for Speckle Noise Reduction ", Anais do SIBRAPIVI, PP.165-174,(1993).
- 3-Scott T. Acton, "Image and Video Processing Handbook", site of Oklahoma State Uni. (\*.pdf) received in July (2001).
- 4-John E. Freund, " Modern Elementary Statistics", Forth Edition, Prentice-Hall, Inc.U.S.A., (1973).
- 5-Elham J. Mohammed, " Digital filter for speckle noise reduction", M.Sc. Thesis, Submitted in physics Dept., Collage of science, AL-Mustansiriyah Univ., (2001).
- 6-Netravali N., and Haskell B.G., "Image Quality Computation DigitalPicture", Multimedia System and Applications, (\*.pdf) New York (1995).
- 7- "Digital X-ray Image Quality Parameters for Digital Detector" , <http://GE Medical system>, received February (2002).
- 8 - J. Ahumada, and Jr., " Simplified Vision Models for Image Quality Assessment", (\*.pdf) site of NASA Ames Research Center, (1996).

## Speckles Noise Reduction Using Non-Adaptive Filters

**ALI ABID DAWOOD AL-ZUKY, Dr. AMAL M. AL-HILLOU, and  
ELHAM J. MOHAMMED**

Department of Physics, College of Science, Al-Mustansiriya University,  
Baghdad, Iraq

### ABSTRACT

Non-adaptive filters are typically used for noise removal or to performing some type of image enhancement. Study the characteristic of removing speckle noise using non-adaptive filters, in this work adopt four filter types that are (Mean, STD, Median, Mode). Where these filter applied to remove speckle noise from *Amplitudued SAR* image. The result show that the best filters can be used is Median filter that preserves the edges and produce high smoothing in homogeneous image regions.

### الخلاصة

تم في دراستنا هذه بحث استخدام عدة أنواع من المرشحات التقليدية في إزالة الضوضاء الشاكهية (البفعية) في الصور إذ استخدمت أربعة أنواع مختلفة من المرشحات وهي مرشح المعدل و مرشح الانحراف المعياري و مرشح الوسيط و مرشح المنوال. وتم تقييم كفاءة كل مرشح والمقارنة فيما بين هذه المرشحات التي طبقت على صورة رادارية سعوية، وقد بيّنت النتائج المستحصلة أن الأفضل بين هذه المرشحات هو مرشح الوسيط، بسبب قابليته العالية على حفظ الحافات واعطائه تعليم عالي في المناطق المجاورة.

### Keywords

non-adaptive filters, SAR image, speckle removal, spatial filters, frequency filters.

### INTRODUCTION

Satellite and airborne imaging systems provide an essential information for environmental studies and for monitoring earth resources. Focusing generates most images of the earth and recording reflected solar radiation, and / or the thermal and microwave radiation emitted from the earth surface [1,2]. To extract information from these images must be used pre-processing to enhance the images and remove degradation noise. This is done by smoothing filters. It is well known that speckle is a signal-dependent noise in the sense that the root mean square amplitude of the

speckle noise is proportional to the signal. Fully developed speckle, which appears in the images of diffuse objects illuminated with coherent waves, is multiplicative noise in the sense that the speckle noise is proportional to the signal [3,4]. Speckle filtering techniques involved in estimating the true reflectivity as a function of the intensity of the image pixel and some local statistic calculated on a neighborhood must contain a sufficient number of pixels, but it is equally important that the image is stationary in the neighborhood. The problem of estimating the underlying reflectivity is consequently closely related to the detection of non-stationarities, such as edges, lines and textural transitions. It is in general necessary to include structural detectors in the filtering process to the element on which the local statistics are estimated [5].

Various techniques had been suggested to reduce the speckle effects. Some of these methods are use-filtering techniques. Some of the filters are implemented in the frequency domain, while other are performed in the spatial domain. Practically, the filters that utilized the spatial domain are more preferable than those utilize the frequency domain, because they are; easier, simpler and faster. However, various non-adaptive smoothing methods are adopted in this work. The contents of this paper are organized as follows:

In section two SAR image and speckle noise information will be reviewed. Smoothing filters will be presented in section three. The experimental results and conclusion will be evaluated in section four and five respectively.

## **2- SAR Images**

Primary Radar (Radio Detection and Ranging) is an active system. It is used for aircraft that involves a similar pulse-echo technique except that it uses Electric Magnetic Waves (EMW) [6], which, in its simplest form, relies upon the time of-flight of microwave echoes to reveal the presence and range of remote radio-opaque objects. Although there has always been a strong desire to use this sensing strategy to acquire images of remote objects. Such images are commonly achieved by using a rotating antenna to scan the emitted microwave energy across the field-of view to be imaged [7].

A more recent innovation in the exploitation of radar is Synthetic Aperture Radar (SAR) where SAR is considered as an active microwave imaging system that uses a side-looking antenna to transmit pulses and receive the returned microwave echoes [8]. This development of the sideways-looking airborne radar is used from aircraft and orbiting vehicles to survey large strips, or swathes, of terrain. The inherent properties of radar make it good for assessing surface smoothness (e.g. seastate, oil pollution), ground structure underlying vegetation, ice, snow and even very dry sand, moisture content, forest cover, etc [7].

The operational and applicative contribution of SAR imagery is heavily affected by the possibility of extracting some desired features. Probably the most significant benefit of radar imaging is its all-weather, day or night capability, this allows it to be used together data efficiently about remote locations, and especially those prone to extensive cloud-cover like rain forests [7,9]. SAR processing requires that the microwave pulses must be coherent; this brings with it the inherent problem of 'speckle', which is a highly descriptive term for the effect that this type of noise has on the image. The amount of speckle is inversely proportional to the square root of the number of looks. Generally, SAR images (see fig.(1)) can be presented in three different formats, these are; Amplitude format, Intensity format, and Square Root of Intensity format [7,10].



Fig.(1) Synthetic Aperture Radar (SAR) Amplitude Image

### 3- Speckle Removal Filters

In almost all application of image processing, the process of filtering is involved. Traditional linear filtering, with its simplicity in design and calculations, has been widely used in many applications. However, the

results are not always satisfactory and during the latest years a large amount of research has been undertaken towards more powerful filters. These new filters exhibit non-linear characteristics: while they behave like linear filters only locally. In several applications, these filters have shown a better performance [11]. The approaches discussed in this section may be divided into two broad categories:

- 1- Spatial-domain techniques.
- 2- Frequency-domain techniques [12].

Processing approaches in the first category are based on modifying the Fourier Transform of an image then reconstruct the image. Spatial domain methods, on the other hand, refer to the image plane itself, and approaches in this category are based on direct manipulation of the pixels in an image plane.

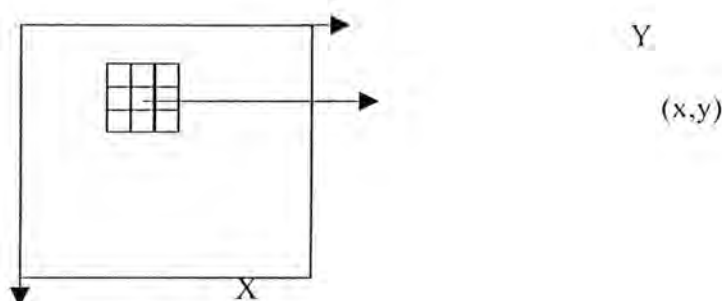
The image-enhancement methods presented in this paper are based on spatial-domain techniques.

The term spatial domain refers to the aggregate of pixels composing an image. Spatial-domain methods are procedures that operate directly on these pixels. Image-processing function in the spatial domain may be expressed as [13].

$$O(x, y) = T\{I(x, y)\}$$

where  $I(x, y)$  is the input image,  $O(x, y)$  is the output image, and  $T\{\}$  is a function of processing on  $I(x, y)$ , defined over some neighborhood of  $(x, y)$ .

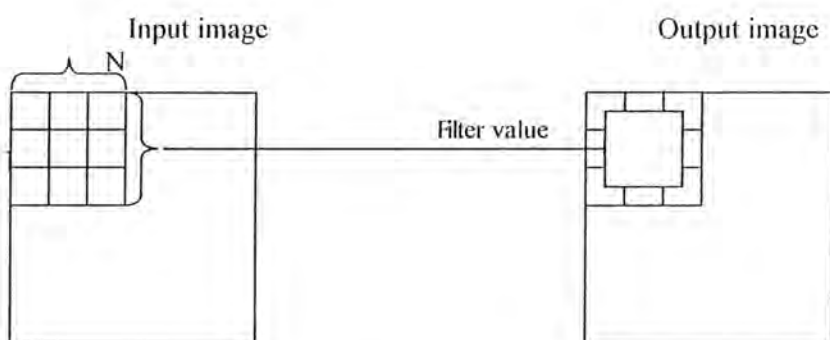
The principal approach used in defining a neighborhood about  $(x, y)$  is to use a square or rectangular subimage area centered at  $(x, y)$ , as shown in fig.(2). The center of the subimage is moved from pixel to pixel starting, say, at the top left corner, and applying the operator at each image location point  $(x, y)$  to yield the value of  $O(x, y)$  at that location. Although other neighborhood shapes, such as a circle, are sometimes used, square arrays are by far the most predominant because of their ease of implementation.



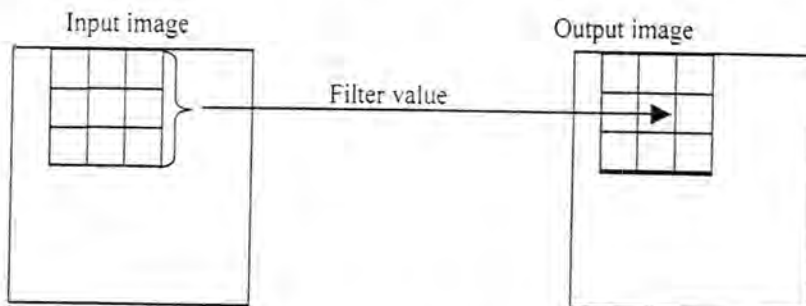
**Fig. (2)** A  $3 \times 3$  neighborhood about a point  $(x, y)$  in an image.

One of the principal approaches in this formulation is based on the use of so-called masks. Basically, a mask is a small two-dimensional array (eg.  $3 \times 3$ ), such as the one shown in fig.(2), whose coefficients are chosen to detect a given property in an image. As indicated above, the masks have a number of uses besides image enhancement. Some of these uses include image restoration, object segmentation, and computing the skeleton of a binary region [13].

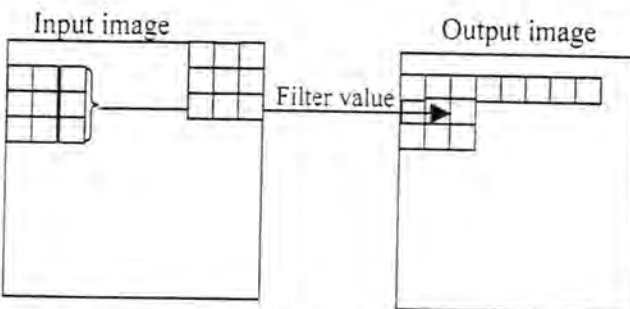
Spatial filters can be effectively used to remove various types of noise in digital images. These spatial filters typically operate on small neighborhoods, and some can be implemented as convolution masks [14].



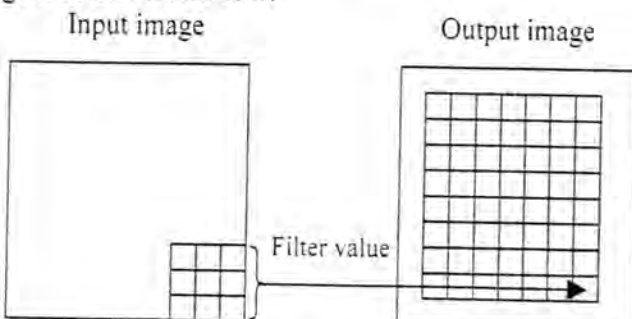
- a. The input image is overlaid with an  $N \times N$  window and the value of the pixels covered by the window is placed in the output image at location x.



- b. The window is moved one pixel to the right and the filter value of the pixels now covered by the window is placed in the output image at location x.



- c. when the end of a row is reached, the window is moved back to the left edge of the image and down one row.



- d. The entire image has been processed. Note the unprocessed outer rows and columns.

**Fig.(3)** Spatial filtering with sliding window [15].

In fig.(a), the window is overlaid on the upper-left corner of the image, and the filter is determined. This value is put into the output image corresponding to the center location of the window. The window is then slide one pixel over, and the process is repeated fig.(b). When the end of the row is reached, the window is slide back to the left side of the image and down one row, and the process is repeated fig.(c). This process continues until the entire image has been processed fig.(d). Note that the outer rows and columns are not replaced [15]. In what follows we shall discuss some of these, well known filters.

### 3.1- Mean Filter

The Mean-filters (sometimes called Averaging or Box-filters) operate on a local groups of pixels in a sliding window that replace the windows central pixel value by the average of the neighborhoods in the window. Mean- filter can be implemented directly to replace the image pixel values  $I(x, y)$  by their mean values  $\mu(x, y)$ , over given window [16];

$$\mu(x, y) = \frac{1}{N^2} \sum_{i=-\frac{N-1}{2}}^{\frac{N-1}{2}} \sum_{j=-\frac{N-1}{2}}^{\frac{N-1}{2}} I(x+i, y+j)$$

where  $(N \times N)$  the number of pixels in smoothing window [1,15].

### 3.2- Standard Deviation Filters-STD

A STD-filter is simply a non-linear operator. It is convenient to work in terms of the standard deviation or  $(\sigma)$ [17,18]. The STD-filter is a non-adaptive filter, where the window's center is replaced by the point's value that have a smallest standard deviation in the local sliding mask [19,20,21].

Although the mentioned filter is considered the simplest form of smoothing techniques and can be used efficiently for reducing noise in homogenous image regions. But, it often produces blurring effects, especially in regions at which edges, lines, strong target points, and high textured regions are existed [19,20].

### 3.3- Median Filter

Order statistics filters are non-linear filters that are useful for impulsive noise removal and edge preservation. Additionally, order statistics techniques allow the design of filters that also suppress Gaussian noise (i.e., they have low-pass, linear characteristics) [22]. The most common filter for various application. It may be used, instead of the Box-filter because of the Box-filter's principal difficulties in bluring edges and other sharp detail. The Median-filter, in which that replace the value of central pixel of sliding mask by the median value between the gray level values in that mask [23]. The Median-filter capability to remove impulse noise without smearing edges in imagery is extremely desirable. Median-filters have also been suggested for use at removing lines of specific widths that distorted the image [23,24]. As an example of Median-filter using sliding window ( $3 \times 3$ ) the following ( $3 \times 3$ ) neighborhoods:

$$\begin{pmatrix} 110 & 110 & 114 \\ 104 & 100 & 104 \\ 95 & 88 & 85 \end{pmatrix}$$

First sort the values in order set as follow:

$$( 85 , 88 , 95 , 100 , \boxed{104} , 104 , 110 , 110 , 114 )$$

Then select the median values in this case it is (104) i.e. the value has index order (5). This (104) is then placed in the center location in the mask [15,25].

### 3.4- Mode Filter

Mode-filter is another example of the non-adaptive filters in which the window's central pixel value is replaced by the point's value of the greatest repeated in the sliding mask. The Mode-filter is defined in the same way as the Median-filter, but instead of taking the median of the pixels in a neighborhood, it takes the value of highest repetition in the sliding mask. A definite disadvantage of this filter is that it does not take a unique value, as

is illustrated by the following data [26]:

5 8 3 6 3 4 9 8 5 8 3

Here 3 and 8 both occur with the highest frequency of three. (The fact that there is more than one mode is sometimes an indication that the data are not homogeneous, that is, they constitute a combination of several sets of data). Another disadvantage of the mode filter is that if no two values are alike, the mode does not exist [26].

## EXPERIMENTAL RESULTS

As it has been mentioned previously, four smoothing techniques have been adopted to reduce the speckle effects in speckly image. The non-adaptive smoothing filters are (i.e. Box, Median, STD, and Mode filters). The results obtained by performing each of these filters will be demonstrated below. It should be noted that; all the above mentioned filters have been performed by utilizing a smoothing window of size (5×5) and (7×7). The grays ranged between 0 to 255 image by using with window size (5×5) and (7×7) respectively, with the histograms of this smoothing SAR images.

The results are demonstrated in fig.(4) and fig.(5), where these represent the smoothing results for SAR the original image used is a (ASAR) image, polarization, amplitude data, three nominal looks and resolution of approx., obtained on 9/26/96 [27].

## DISCUSSION AND CONCLUSIONS

### **Tables Discussion:**

**1- Box-filter:** - This filter gave a highest equivalent number of looks and a highest signal to noise-ratio for all selected homogenous image regions.

**2- Median-filter:** - Produced a little far values of equivalent number of looks and signal to noise ratio than the Box-filter. However this filter produce a better subjective quality images than the Box-filter. Its performance can be improved by adopting a larger size of smoothing window.

**3- STD-filter:** - This filter gave a little far values of equivalent number of looks than the Box-filter.

**4- Mode-filter:** - This filter gave smaller equivalent number of looks for all selected homogenous image regions than the previous filters.

**Histogram Discussion: -**

**1-Box-filter:**- When comparing the image histograms shown in figs.(4.b), (5.b) for the original and smoothed images, respectively, it can be seen that the main peak in the original histogram is splitted in to two smaller peaks which represent a dark and bright regions in the smoothed image histogram. Consequently, one can conclude that a highly smoothing operation is performed.

**2-Median-filter:**- The processed image histogram, by this filter, is shown in figs.(4.c), (5.c). Two main peaks have appeared, which is the same as in the Box filter. However, this filter produces a little smoothing effect on histogram curves other than the Box-filter.

**3-STD-filter:**- The processed histograms, see figs.(4.d), (5.d), are very similar to those obtained by the Median-filter.

**4-Mode-filter:** - If the filter performance is compared with the histogram of the original image, shown in Figs. (4.e),(5.e), the better smoothing performance is achieved when the filter is implemented on SAR image.

It is clear that when comparing the images shown in fig.(4) and fig.(5), the median-filters are used efficiently for reducing noise in homogenous image regions. It may be used, instead of the others filters (Box, STD, Mode) because of their principal difficulties in that it blurring edges and other sharp details. Therefore the result show that the best filter that can be used is the Median filter which preserves the edges and produce high smoothing in homogeneous image regions.

Tables (1)- Mean, Variance, Equivalent Number Of Look (ENL), and The Signal To Noise Ratio (SNR) Values for Original Image and Smoothing Images Obtained By Difference Smoothing Filters

Original Synthetic Aperture Radar Image				
Block No	Block color = Dark Block		Block Size = 20	
	Mean	Variance	ENL	SNR
1	75.360	241.505	6.419	2.533
2	70.597	274.684	4.953	2.225
3	71.300	279.974	4.957	2.226
4	71.207	272.304	5.083	2.254
5	71.107	242.971	5.681	2.383
6	63.482	179.220	6.138	2.477

Original Synthetic Aperture Radar Image				
No. Block	Block color = Bright Block		Block Size = 20	
	Mean	Variance	ENL	SNR
1	115.405	820.491	4.431	2.105
2	114.500	707.264	5.060	2.249
3	113.145	757.844	4.611	2.147
4	112.000	745.355	4.594	2.143
5	106.580	586.448	5.287	2.299
6	103.795	618.268	4.757	2.181

Smoothing Synthetic Aperture radar Image By Use Box Filter				
Block Size = 20		Window size = (5×5)		
Block No	Block color = Dark Block			
	Mean	Variance	ENL	SNR
1	75.036	15.817	97.177	9.85788
2	72.145	29.988	47.382	6.88353
3	71.266	17.640	78.599	8.86566
4	70.639	19.609	69.468	8.33474
5	70.009	25.884	51.693	7.18983
6	63.396	12.329	88.990	9.43350

Smoothing Synthetic Aperture radar Image By Use Box Filter				
Block Size = 20		Window size = (5×5)		
Block No	Block color = Bright Block			
	Mean	Variance	ENL	SNR
1	115.788	54.405	67.275	8.202
2	114.267	86.205	41.349	6.430
3	113.152	72.198	48.413	6.957
4	112.411	66.653	51.523	7.178
5	106.197	39.403	79.137	8.839
6	104.103	30.862	95.863	9.791

Smoothing Synthetic Aperture radar Image By Use Box Filter				
Block Size = 20		Window size = (7×7)		
Block No	Block color = Dark Block			
	Mean	Variance	ENL	SNR
1	74.802	9.570	159.606	12.633
2	72.398	15.141	94.507	9.721
3	71.450	10.977	126.958	11.267
4	70.554	11.280	120.465	10.975
5	69.954	13.568	98.458	9.922
6	63.355	7.124	153.814	12.402

Smoothing Synthetic Aperture radar Image By Use Box Filter				
Block Size = 20		Window size = (7×7)		
Block No	Block color = Bright Block			
	Mean	Variance	ENL	SNR
1	116.003	26.330	139.523	11.811
2	114.166	64.398	55.253	7.433
3	113.054	36.797	94.823	9.737
4	112.529	30.630	112.859	10.623
5	104.242	12.430	238.642	15.448
6	106.196	24.332	126.530	11.248

Smoothing Synthetic Aperture radar Image By Use Median Filter				
Block Size = 20		Window size = (5x5)		
Block No	Block color = Dark Block			
	Mean	Variance	ENL	SNR
1	73.920	21.353	69.856	8.358
2	70.682	25.536	53.410	7.308
3	70.640	35.860	37.988	6.163
4	69.110	22.298	58.475	7.646
5	68.350	24.072	52.980	7.278
6	62.365	12.306	86.279	9.288

Smoothing Synthetic Aperture radar Image By Use Median Filter				
Block Size = 20		Window size = (5x5)		
Block No	Block color = Bright Block			
	Mean	Variance	ENL	SNR
1	112.977	54.757	63.636	7.977
2	111.672	106.570	31.946	5.652
3	110.450	84.323	39.495	6.284
4	109.892	65.931	50.005	7.071
5	104.272	66.803	44.432	6.665
6	101.330	35.855	78.177	8.841

Smoothing Synthetic Aperture radar Image By Use Median Filter				
Block Size = 20		Window size = (7x7)		
Block No	Block color = Dark Block			
	Mean	Variance	ENL	SNR
1	73.540	13.758	107.310	10.359
2	70.820	15.042	91.021	9.540
3	70.710	21.620	63.132	7.945
4	68.917	12.580	103.069	10.152
5	68.245	12.934	98.299	9.914
6	62.350	6.827	155.437	12.467

Smoothing Synthetic Aperture radar Image By Use Median Filter				
Block Size = 20		Window size = (7x7)		
Block No	Block color = Bright Block			
	Mean	Variance	ENL	SNR
1	112.940	28.046	124.161	11.142
2	111.507	76.720	44.244	6.651
3	110.202	44.666	74.226	8.615
4	109.540	31.728	103.247	10.160
5	104.187	36.947	80.206	8.955
6	101.365	13.722	204.416	14.297

Smoothing Synthetic Aperture radar Image By Use STD Filter				
Block Size = 20		Window size = (5x5)		
Block No	Block color = Dark Block			
	Mean	Variance	ENL	SNR
1	74.910	16.471	93.006	9.643
2	72.147	30.865	46.039	6.785
3	71.267	18.990	73.014	8.544
4	70.660	20.404	66.802	8.173
5	69.962	26.326	50.758	7.124
6	63.365	13.341	81.900	9.049

Smoothing Synthetic Aperture radar Image By Use STD Filter				
Block Size = 20		Window size = (5x5)		
Block No	Block color = Bright Block			
	Mean	Variance	ENL	SNR
1	115.690	57.217	63.859	7.991
2	114.180	87.017	40.901	6.395
3	113.130	74.653	46.802	6.841
4	112.457	67.939	50.818	7.128
5	106.092	42.029	73.110	8.550
6	104.012	34.568	85.438	9.243

<b>Smoothing Synthetic Aperture radar Image By Use STD Filter</b>				
Block Size = 20		Window size = (7x7)		
	Block color = Dark Block			
	Mean	Variance	ENL	SNR
1	74.825	9.844	155.255	12.460
2	72.302	15.456	92.334	9.609
3	71.517	11.429	122.168	11.052
4	70.535	11.158	121.721	11.032
5	69.897	13.846	96.323	9.814
6	63.345	7.700	142.248	11.926

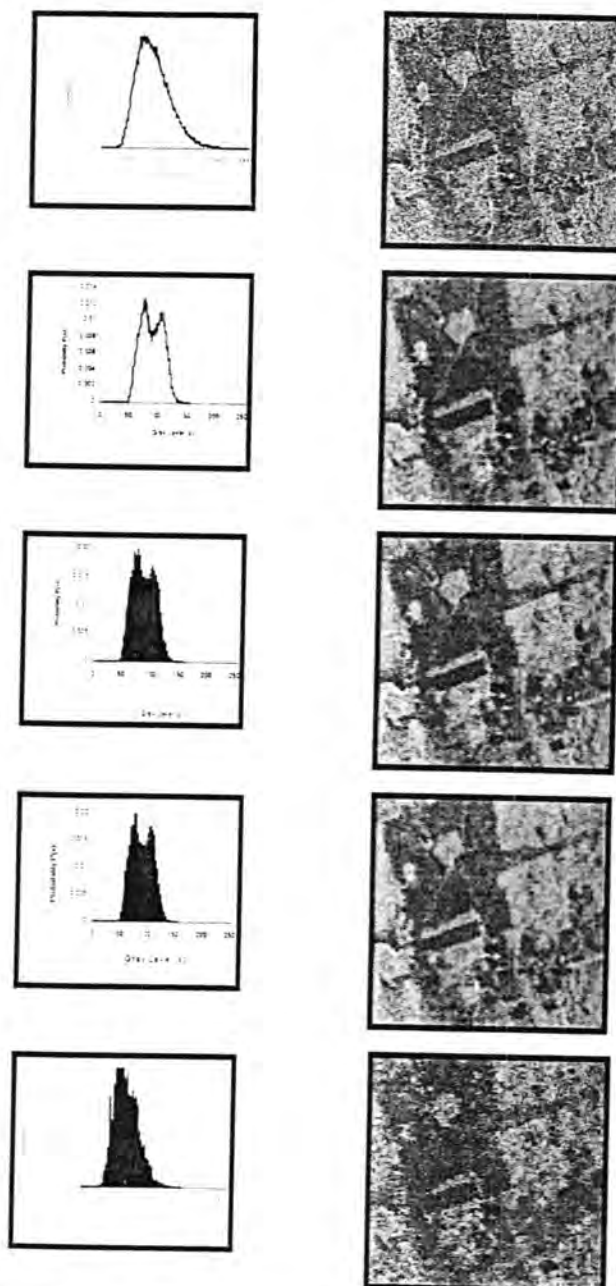
<b>Smoothing Synthetic Aperture radar Image By Use STD Filter</b>				
Block Size = 20		Window size = (7x7)		
Block No.	Block color = Bright Block			
	Mean	Variance	ENL	SNR
1	115.967	27.587	133.085	1.536
2	114.260	66.512	53.585	7.320
3	113.035	38.363	90.922	9.535
4	112.515	30.924	111.757	10.571
5	106.222	25.012	123.152	11.097
6	104.252	13.372	221.878	14.895

<b>Smoothing Synthetic Aperture radar Image By Use Mode Filter</b>				
Block Size = 20		Window size = (5x5)		
	Block color = Dark Block			
	Mean	Variance	ENL	SNR
1	67.327	127.140	9.733	3.119
2	63.940	118.561	9.413	3.068
3	63.230	123.302	8.851	2.975
4	60.915	84.132	12.040	3.469
5	60.050	91.232	10.790	3.284
6	57.195	76.931	11.608	3.407

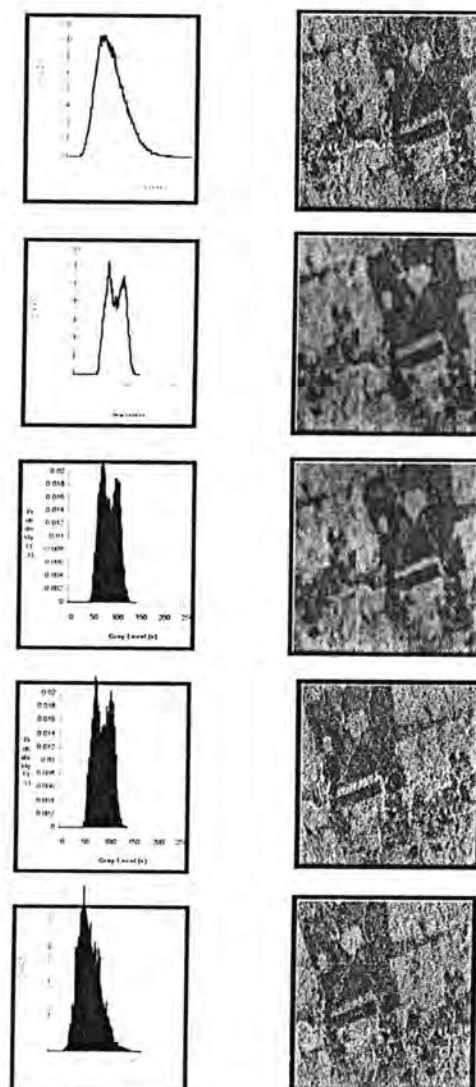
<b>Smoothing Synthetic Aperture radar Image By Use Mode Filter</b>				
Block Size = 20		Window size = (5x5)		
Block No.	Block color = Bright Block			
	Mean	Variance	ENL	SNR
1	100.890	242.342	3.130	1.769
2	100.555	348.477	7.921	2.814
3	99.680	263.049	103.120	3.211
4	95.322	325.168	7.628	2.761
5	93.027	314.292	7.517	2.741
6	89.062	201.543	10.744	3.277

<b>Smoothing Synthetic Aperture radar Image By Use Mode Filter</b>				
Block Size = 20		Window size = (7x7)		
Block No.	Block color = Dark Block			
	Mean	Variance	ENL	SNR
1	69.792	128.993	10.308	3.210
2	65.980	100.239	11.856	3.443
3	65.185	131.110	8.847	2.974
4	63.245	61.975	17.619	4.197
5	62.232	77.628	13.619	3.690
6	58.665	48.157	19.509	4.417

<b>Smoothing Synthetic Aperture radar Image By Use Mode Filter</b>				
Block Size = 20		Window size = (7x7)		
Block No.	Block color = Bright Block			
	Mean	Variance	ENL	SNR
1	103.780	185.987	15.809	3.976
2	103.632	222.832	13.157	3.627
3	102.065	238.959	11.901	3.449
4	98.742	238.405	11.164	3.341
5	96.207	323.255	7.816	2.795
6	89.945	208.672	10.584	3.253



Figs.(4)-The smoothing result of the ASAR image with window size (5×5):-(a)- The original image. (b)- The smooth image by use Box-filter. (c)- The smooth image by use Median-filter. (d)- The smooth image by use STD-filter. (e)- The smooth image by use Mode-filter.



Figs. 9- The smoothing result of the ASAR image with window size 3x3:-(a)- The original image.(b)- image by use Box-filter. (c) The smooth image by use Median-filter. (d)- The smooth image by use S- smooth image by use Mode-filter.

## References

- [1]- A. C. Frery, S. J. S. Sant'Anna; "Non-Adaptive Robust Filters for Speckle Noise Reduction", Anais do SIBRAPIVI, pp.165-174, (1993).
- [2]- E. Hervet, R. Fjørtoft, P. Marthon, & A. Lopes; "Comparison of Wavelet-Based and Statistical Speckle Filters", SPIE, (1998).
- [3]- H. H. Arsenault & Gibert V. April; "Information Content of Images Degraded by Speckle Noise", Optical Engineering, Vol. 25, No. 5, May (1986).
- [4]- M.-Suen Shyu and Jin-Jang Leou; "A Genetic Algorithm to Color Image Enhancement", Pattern Recognition, Vol.31, No.7, pp.871-880, Great Britain, (1998).
- [5]- R. Fjørtoft, Fabien Lebon, Franck Sery, A. Lopes, Philippe Marthon, & Eliane Cubero-Castan; "A Region Based Approach to the Estimation of Local Statistics in Adaptive Speckle Filters", LIMA/ENSEEIHT and CESBIO on Contract 833/CNES, (1994).
- [6]- T. S. Al-Samarraie; "Adaptive JPEG technique for Image Data Compression" M.S.C. thesis, College of Science, Dept. of Physics, Al-Mustansiriyah University, (1998).
- [7]- G. J. Awcock; "Technology and Applications of Radar and Tomographic Medical Image Acquisition Systems", Electronics and Communication Engineering Journal, June (1998).
- [8]- M. D. Desai, W. Kenneth Jenkins; "Convolution Backprojection Image Reconstruction for Spotlight Mode SAR", IEEE Transaction on Image Processing, Vol. 1, No. 4, October (1992).
- [9]- A. Iodice, Maurizio Migliaccio, & Denicle Riccio; "SAR Imagery Classification: The Fractal Approach", SPIE, Page 540-550, Vol. 1, Paper 2315, (1994).
- [10]- R. Fjørtoft, A. Lopes, Jérôme Bruniquel, & Philippe Marthon; "Optimal Edge Detection and Edge localization in Complex SAR Image With Correlated Speckle", IEEE Transactions on Geoscience and Remote Sensing, Vol. 37, No. 5, September (1999).
- [11]- P. Wambacq, L. Van Eycken, J. Rommelaera, A. Costerlinck; "Fast Adaptive Filtering With Special Hardware". Applications of Digital Image Processing VIII. 220, SPIE Vol. 575, (1985).

- [12]- F. J. Martin, & R. W. Turner; "SAR Speckle Reduction By Weighted Filtering", INT, J. Remote Sensing, Vol. 14, No. 9, PP. 1736-1758, (1993).
- [13]- R. C. Gonzalez, & Paul Wintz; "Digital Image Processing", Second Edition, Canada, USA, November (1987).
- [14]- A. C. Frery, Hans J. Müller, Corina da Costa Freitas Yanasse, & Sidnei J. Sant 'Anna; "Amodel for Extremely Heterogeneous Clutter", IEEE. Transaction on Geoscience and Remote Sensing GE- 35, No. 3, PP. 1-12, (1997). [15]- S. E. Umbaugh, "Computer Vision and Image Processing: A Practical Approach Using CVIP Tools", Prentice Hall PTR, Upper Saddle River, NJ07458, (1998).
- [16]-Ali-Zuky, "Quantitative Analysis of Synthetic Aperture Radar", Ph.D. Thesis, Submitted in Physics Dept., College of Science, Baghdad Univ., (1998).
- [17]- H. J. J. Braddick, P. M. S.; "The Physics of Experimental Method", Printed in Great Britain at the Aberdeen University Press, London, (1966).
- [18]- M. L. Boas; "Mathematical Methods In The Physical Sciences", Second Edition, Singapore, (1983).
- [19]- A. Lopes, E. Nezery, R. Touzi, & H. Lanr; "Structure Detection and statistical Adaptive Speckle Filtering In SAR Images", Int. J. Remote Sensing, Vol. 14, No. 9, PP. 1735-1758, (1993).
- [20]- Z. Shi, & K. B. Fung; "A Comparison of Digital Speckle Filters", Author Adress: Canada Center For Remote Sensing, 588 Both Street, Ontario, Canada, USA.
- [21]- H. A. Panofsky, & Glenn W. Brier; "Some Applications of Statistics to Meteorology", First Edition, The Pennsylvania State University, (1965).
- [22]- M. Belohlavek, & James F. Greenleaf; "Detection of Cardiac Boundaries In Echocardiographic Images Using A Customized Order Statistics Filter", Ultrasonig Imaging 19, 127-137, (1997).
- [23]- J. Steven Mott, & James A. Roskind; "An Object-Pass Filter for Image Processing", SPIE. Vol. 575 Application of Digital Image Processing VIII, (1985).
- [24]- P. M. Dare & Ian J. Dowman; "An Automated Procedure for Registering SAR and Optical Imagery Based on Feature Matching", In Proceedings of Elropem Symposim a Satellete Remote Sensing III, Taarmina, 23-26, Sept. (1996).

- [25]- V. S. Frost, Josephine Abbott Stiles, K. S. Shanmugan, & Julian C. Holtzman; "A Model for Radar Images and Its Application To Adaptive Digital Filtering of Multiplicative Noise", IEEE. Transaction on Pattern Analysis & Machine Intelligence, Vol. PAMI-4, No. 2, March (1982).
- [26]- J. E. Freund; "Modern Elementary Statistics", Fourth Edition, Prentce-Hall, Inc. USA, (1973).
- [27]- A. C. Frery, Corina DA C. F. Yanasse, Pedro R. Vieira, Sidnei J. S. Sant'Anna , and Camilo D. Renno; "A User-Friendly System for Synthetic Aperture Radar Image Classification Based on Grayscale Distributional Properties and Context", Annis do X SIBGRAPI. Outubro de (1997).

## Inhibition of (Serum, Testicular, Bacterial) Hyaluronidase By The Morin Compound

Abdul Kadir M. N. Jassim

Department of chemistry, College of Science, Al- Mustansiriyah University, Baghdad- Iraq.

### الخلاصة

تضمن البحث تعين مستوى فعالية إنزيم الهيالورونديز (المصلى، الخصوي، والهاضم للهيالورونات) بطريقة قياس الكدوره والبحث عن العلاقة بين التركيب والفعالية ودراسة تأثير مركب المورين (أحد مركبات الفلافونيدات) على هذه الإنزيمات الثلاثة (دراسة خارج الكائن الحي *In Vitro*) كما اجريت دراسة حركية لهذا المثبط على إنزيم الهيالورونديز الخصوي واظهرت النتائج ان التثبيط هو من النوع التنافسي وقد تم اقتراح آلية التثبيط لعمل هذا المثبط مع هذا النوع من الإنزيمات. أما الموضع الفعال وتركيب المورين والتي اعطت قوة تثبيطية عالية هي: الأصرة المزدوجة بين ذرتي الكربون رقم 2 و 3 ، مجاميع الهيدروكسيل في الموضع 7,5 و 4' و وجد ان النسب المئوية للتثبيط لإنزيمات الهيالورونديز هي (58.3% ، 57.0% ، 16.7%) على التوالي.

### ABSTRACT

The turbidimetric method described here, was used for determination of the (Serum, testicular and hyaluronate lyase) hyaluronidase activity and designed to investigate the structure-activity relationship and effects of the Morin compound (type of flavonoids) *in vitro* on these enzymes. Kinetic studies of this inhibitor with testicular hyaluronidase showed that their mode of inhibition was competitive and the mechanism of the inhibition process for this enzyme was proposed. The following Morin structure conferred potent inhibitor effect: a double bond between carbon 2 and 3; hydroxyl groups at 5,7 and 4'. The percentage of inhibition for the three enzymes were (58.3%, 57.0%, 16.7%), respectively.

## INTRODUCTION

The hyaluronidase [Hyase] family of enzymes have, until recently, been neglected [1]. They are general term used to describe enzyme that are able to breakdown the substrate hyaluronan (hyaluronic acid, HA), however, some of these enzymes are also able to cleave chondroitin sulfate [2], albeit at a slower rate.

The hyaluronidase can be subdivided into three types, Hyaluronate-4-glycanohydrolases (EC 3.2.1.35) are the testicular-type hyaluronidases found in mammalian spermatozoa, lysosomes, serum and the venoms of various insects and snakes. The second group are hyaluronate-3-glycanohydrolases (EC 3.2.1.36) produced by leeches and some hookworms. The third group are the bacterial hyaluronidases or hyaluronate lyases

(EC 4.2.2.1 or EC 4.2.99.1), act as endo-N-acetyl hexosaminidases by elimination across the ( $\beta$  1-4) linkage [3].

Our interest has been focused on finding a synthetic competitive inhibitor of Hyase, since: (1) Hyase depolymerizes the amorphous component of the interstitial connective tissue and it is this component which normally acts as a barrier to the migration of small cells .(2) As the surrounding of a tumor becomes more liquid the concentration of the substrate of Hyase decreases. Thus the effectiveness of competitive inhibitors will increase with enhanced progress of the disease. (3) Synthetic inhibitors can easily modified with regard to biological activity and negative side effects. One of these inhibitors are flavonoids.

The flavonoids are a group of naturally occurring low molecular weight benzo - $\gamma$ -pyrone derivatives, ubiquitous in plants [4]. Their pharmacological and pharmaceutical function have been reviewed by Havsteen [5]. The effects exerted by flavonoids on animal systems include anti-inflammatory and anti-allergic activity , lipid peroxidation , RNA, DNA and protein synthesis antiviral activity capillary fragility and inhibition of tumor promotion [4,6]. There have been a limited number of earlier report describing the effects of a few flavonoids on the action of Hyase *in vivo* and *in vitro* [4,6-10]. However, the present study was designed to investigate the structure- activity relationship and effects of one class of flavonoids as flavonol derivative (Morin compound (Fig.1)) *in vitro* on different types of Hyases.

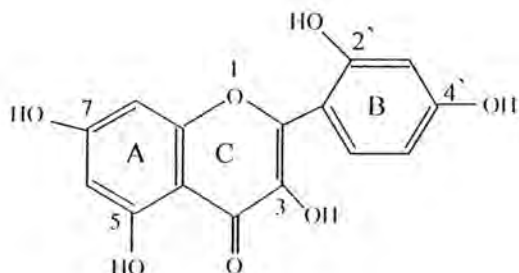


Fig.(1): Chemical structure of the Morin

In view of the important role played by Hyase in the aetiology and / or development of disease [4,6] it would be very useful to find potent inhibitors of this enzyme for they could be used to develop new therapeutic agents.

## MATERIALS AND METHOD

Acetic acid, sodium acetate, sodium chloride, hyaluronate lyase (EC 4.2.2.1 ) from (BDH Co.); human umbilical cord hyaluronic acid and cetyltrimethylammonium bromide (Cetrimide, CTAB) from the (Sigma Chemical Co.); the flavonoid (Morin) compound was gift supplied from Dr.Mohammed Mustafa Radi.

Human blood samples from normal healthy individuals were obtained, The blood samples were left to coagulated and centrifuged and the sera were frozen at -20°C until used

### Determination of hyaluronidase activity

Hyase activity was determined turbidimetrically by the method of Kuppusamy *et al.* [4] and XU *et al.*[5] with some modification which was made by this laboratory.

### Assay system:

- 1- 100 µl of Hyase (15 µg/ml of testicular or 12 µg/ml of lyase or 100 µl of serum) was made up to 900 µl with 0.1M acetate buffer (pH 5.0 containing 0.15 M NaCl, for testicular and hyaluronate lyase, and pH 3.7 containing 0.15 M NaCl for serum sample), then incubated for 15 min at 37°C

- 2- After preincubation, the assay was commenced by added HA ( $100\mu\text{l}$  "50 $\mu\text{g/ml}$ ") to each tube and incubated for 45min. All incubations were carried out in triplicate.
- 3- In the case of serum sample, other tube was prepared for the initial HA in sample, contained ( $100\mu\text{l}$  "50 $\mu\text{g/ml}$ ") of substrate and the volume was made up to  $900\mu\text{l}$  with acetate buffer of pH 3.7 and a  $100\mu\text{l}$  of serum sample was then added after 45min of incubation time with a total volume of 1ml.
- 4- The blank which was contained  $100\mu\text{l}$  of enzyme were prepared and the volume was made up to 1ml with acetate buffer, but in the case of serum sample the blank contained only 1ml acetate buffer pH 3.7.
- 5- Reaction were terminated by the addition of 2ml of Cetrimide (CTAB) (2.5% w/v) in 2% (w/v) NaOH solution ("stop reaction" solution) and produced the turbidity.

#### CALCULATIONS:

In the case of testicular or hyaluronate lyase enzyme, the activity (V) was expressed as  $\mu\text{g/ml/min}$  of HA hydrolysed. The optical density (O.D.) of the various "standard" incubations i.e. assay tubes which did not contain the enzyme was plotted against the corresponding initial amount of substrate added. Amount of substrate hydrolysed was determined from this standard curve by subtracting the residual amount of substrate from that originally presented in each tube, whilst in the case of serum sample the activity (V) was calculated by the following:

$$C_{\text{Res.}} (\mu\text{g/ml}) = \frac{A_{\text{Res.}}}{A_{\text{Ini.}}} \times C_{\text{Ini.}}$$

$$C_{\text{Hyd.}} (\mu\text{g/ml}) = C_{\text{Ini.}} - C_{\text{Res.}}$$

$$\text{The Activity} (\mu\text{g/ml/min}) = \frac{C_{\text{Hyd.}}}{45\text{ min}} \times F$$

Where:  $C_{\text{Res.}}$  = Conc. of residual HA in sample ( $\mu\text{g/ml}$ )

$C_{\text{Ini.}}$  = Conc. Of initial HA in sample ( $\mu\text{g/ml}$ )

$C_{\text{Hyd.}}$  = Conc. Of HA hydrolysed by the serum enzyme ( $\mu\text{g/ml}$ ).

$A_{\text{Res.}}$  = Absorbance of residual HA in sample

$A_{\text{Ini.}}$  = Absorbance of initial HA in sample

F = Factor.

For the measurement of the percentage of inhibition, the method described above was followed with exception that the enzyme 100  $\mu$ l (15  $\mu$ g/ml of testicular Hyase, 12  $\mu$ g/ml hyaluronate lyase, normal serum) was preincubated with 50  $\mu$ M (30  $\mu$ l) of the inhibitor (Morin) for 15min at 37°C and the volume was made up to 900  $\mu$ l with acetate buffer (Morin was dissolved in dimethylsulfoxide "DMSO", stock solution "freshly prepared for each assay" had concentration 25mM and aliquots "30  $\mu$ l" of the Morin solution was used in the assay to give a final concentration of 50  $\mu$ M).

The control tubes contained, the enzyme plus 30  $\mu$ l (DMSO) and a buffer at a final volume of 900  $\mu$ l, then the procedure was followed as in assay system. The activity was expressed as  $\mu$ g/ml/min for HA hydrolysed which determined from the standard curve. The percentage of inhibition was calculated for the three enzymes according to this equation:

$$\% \text{ Inhibition} = \frac{\text{Activity of control} - \text{Activity in the presence of Inhibitor (Morin)}}{\text{Activity of control}} \times 100\%$$

## RESULTS AND DISCUSIONS

The Morin compound was examined for their effects *in vitro* on bovine testicular Hyase, Hyaluronate Lyase and normal serum Hyase (Table (1)).

Table (1): Inhibition of bovine testicular Hyase, hyaluronate lyase and normal serum Hyase by the Morin compound.

Flavonoid compound	Testicular hyase		Hyaluronate lyase		Serum hyase	
	Activity % HA hydrolysed	% Inhibition	Activity % HA hydrolysed	% Inhibition	Activity % HA hydrolysed	% Inhibition
Control (nil) containing DMSO (solvent used)	60.50	-	60	-	59	-
Morin	26	57	49.94	16.7	24.39	58.3

\* The assays were carried out as described in Materials and Methods. The Morin compound was present at  $50 \mu\text{M}$  concentrations. Percentage was carried out in triplicate.

The percentage of inhibition (%I) of the Morin was determined with respect to control assays run simultaneously. The amount of DMSO used in the assay system did not cause any significant inhibition of the three enzymes. The Morin compound was present at  $50 \mu\text{M}$  concentrations (Fig. 2).

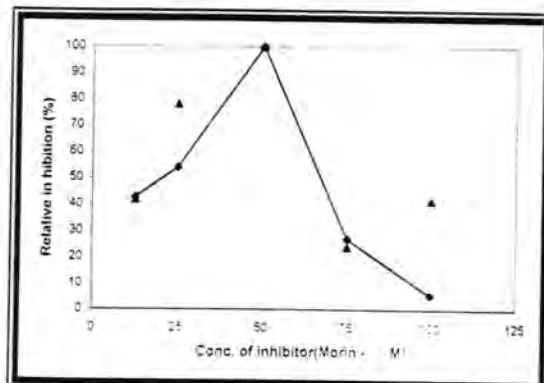


Fig. (2): Effect of inhibitor concentrations (Morin) on the activity of testicular Hyase and hyaluronate lyase.

The results of the tests (table (1)) indicate that the hydroxyl substituents at positions 5, 7 and 4' contributed to a more potent inhibitory effect for the Morin compound on the both testicular and serum Hyase and less effective on hyaluronate lyase. Similar effects were reported for Hyases [4, 6, 9, 10] and a few other enzymes [4, 6]. The double bond between carbons 2 and 3 exhibited to a more potent inhibitory effect for the Morin compound. These results were agreed with results of other studies [4, 9], which they found that the C<sub>2,3</sub> double bond flavonoids exhibited higher potency than those flavonoids lacking the double bond. The 3-hydroxyl substitution in ring C was reported by kuppusamy et al. [4] to be an important. Ketone group at position 4 and hydroxide substituents at position 2' require more studies to understanding the nature of the effect of these positions.

Analysis of these structure – activity data reveals a module (Fig. 3) of the minimal essential features required for Hyase inhibition by Morin. This module suggests that a free hydroxyl substituent at the 4' and 5, 7 – positions and the double bond between carbons 2 and 3 are essential.

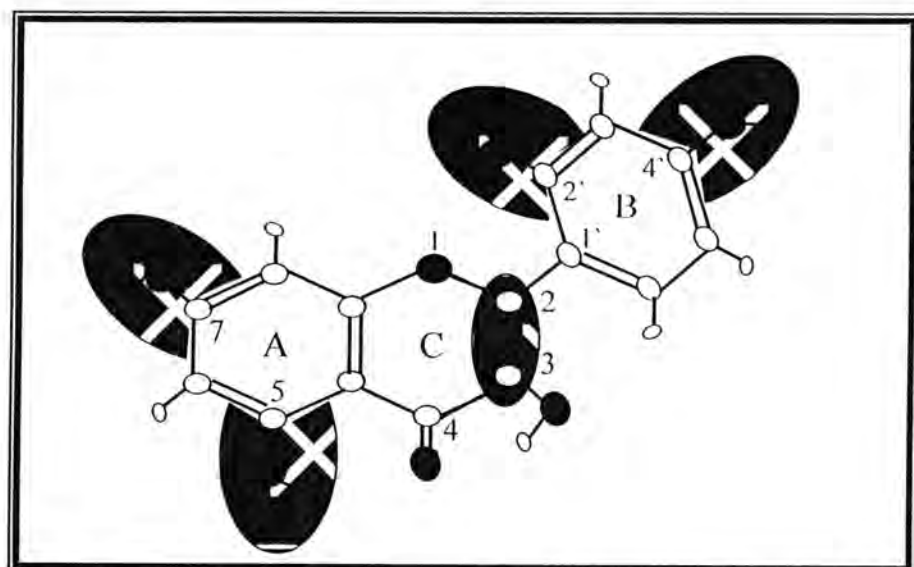


Fig. (3): Module of the required (hatched lines) features for the Hyase inhibition by the Morin compound.

Lineweaver-Burk equation and plot are used (Fig. 4) to determine  $K_i$  (Inhibition constant) and  $V_{max}^{app}$  (apparent maximum velocity) for the Morin inhibitor, which  $V_{max}^{app}$  is the same as  $V_{max}$  for testicular Hyase enzyme ( $1.538 \mu\text{g/ml/min}$ ), because of the mode of inhibition is competitive.  $K_i$  determine from equation (2), which shows in table (2) for testicular Hyase by the Morin compound.

$$\frac{1}{K_m^{app}} = \frac{1}{K_m \left( 1 + \frac{[I]}{K_i} \right)} \dots\dots\dots (1)$$

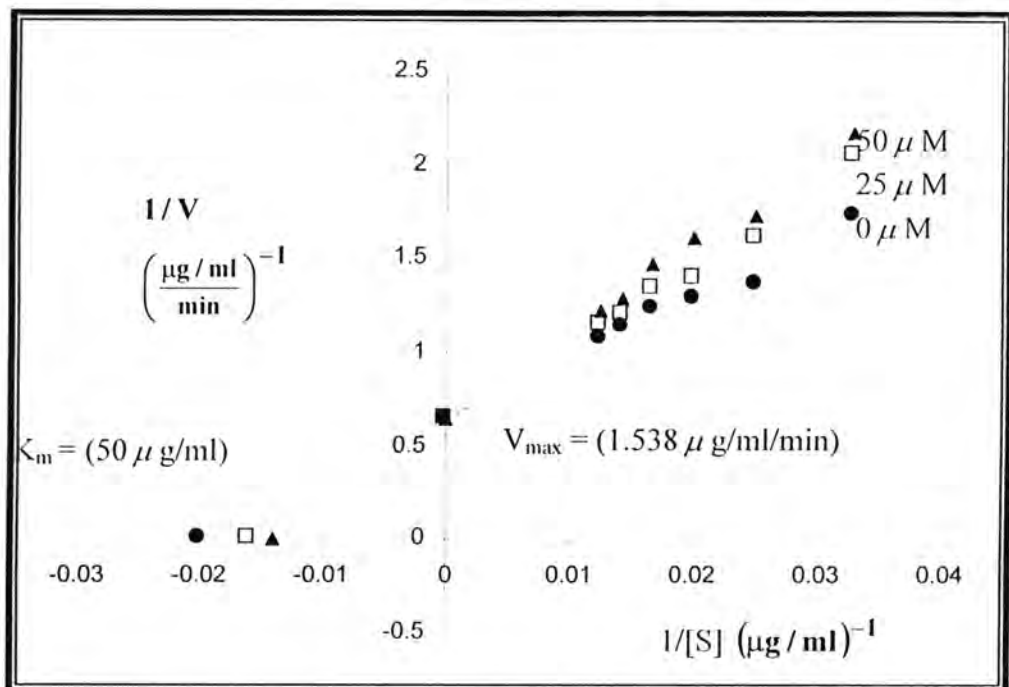
$$X = \frac{1}{K_m \left( 1 + \frac{[I]}{K_i} \right)} \dots\dots\dots (2)$$

X = intercept with X-axis

Table (2): Kinetic properties of inhibited testicular Hyase by the Morin compound using Lineweaver-Burk plot.

Inhibitor	[I] ( $\mu\text{M}$ )	$K_i$ ( $\mu\text{M}$ )	$K_i$ ( $\mu\text{g/ml}$ )	$V_{max}$ ( $\mu\text{g/ml/min}$ )
Morin	25	100	30.30	1.538
	50	116.6	35.33	1.538

Lineweaver-Burk plot was used to determine values of  $K_m$  (Michaelis constant) and  $V_{max}$  (Maximum velocity) directly (Fig. 4), for testicular Hyase the values of  $K_m$ ,  $V_{max}$  equal to ( $50 \mu\text{g/ml}$ ), ( $1.538 \mu\text{g/ml/min}$ ), respectively. And (Fig. 5) for hyaluronate lyase equal to ( $100 \mu\text{g/ml}$ ), ( $3.070 \mu\text{g/ml/min}$ ), respectively. Different values for  $k_m$ ,  $V_{max}$  were mentioned by Jassim [6].



**Fig. (4): Lineweaver-Burk plots for determination  $k_m$ ,  $V_{max}$  values of testicular Hyase and  $k_i$ ,  $V_{max}^{app}$  values of inhibited testicular Hyase by the Morin compound at concentrations indicated.**

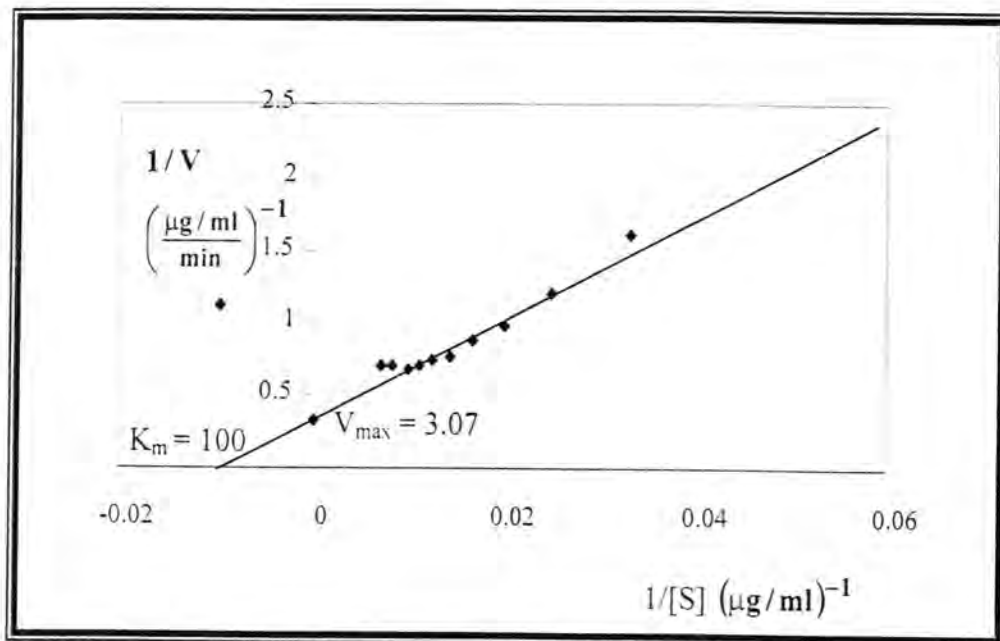
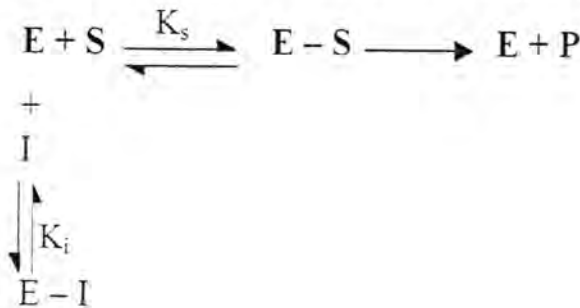


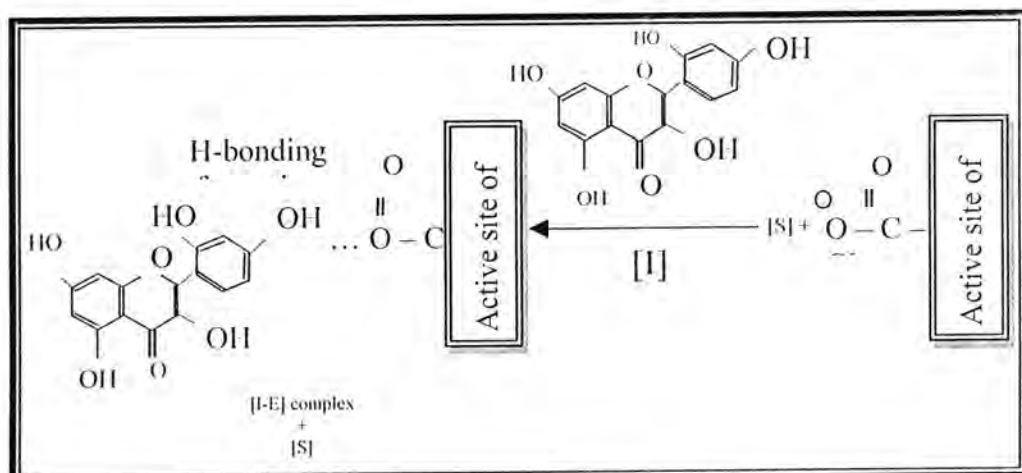
Fig.(5): Lineweaver-Burk plot for determination  $K_m$ ,  $V_{max}$  values of hyaluronate lyase.

It should be stress that different preparations of HA yield different kinetic constant, however, the shape of the plots do not change, but with in each inhibitor compound there are no important differences in the maximal enzyme velocities ( $V_{max}$ ) determined at each inhibitor concentration. The same observation showed with other investigators [4,6]. Fig. (1) shows that this Morin is an extremely effective a competitive in inhibitor of testicular Hyase. The competitive inhibition could be represented as follows[11]:



However, It is interesting to note that the Morin used in the present study having no structural similarities to the substrate could also exert competitive inhibition on the testicular Hyase. Asquith and Butler [12] reported that proteins with high contents of proline and other hydrophobic amino acids have high affinity for condensed tannin compound (a polymer of flavan-3-ols, type of flavonoids) involved hydrogen bonding and hydrophobic interaction .

Considering the numerous benzene rings and hydroxyl groups in the Morin structure (Fig. 1), it is pertinent to suggest that the inhibitory effect may have resulted through conformational change or denaturation of the enzyme, caused by hydrogen bonding and / or hydrophobic interactions between the enzyme and the inhibitor. Therefore, one can proposed such a mechanism for this inhibitor with testicular Hyase (Fig. 6).



**Fig. (6): Propose mechanism of the Morin inhibitor with testicular Hyase.**

## REFERENCES

- 1- Frost G.I. and Cso'ka T., Stern R., the hyaluronidase: a chemical, biological and clinical overview, *Trends Glycosci. Glycotechnol.*, 8,419-434, (1996).
- 2- Kreil G., Hyaluronidase- a group of neglected enzymes, *protein science*, 4, 1666-1619, (1995).
- 3- Hynes W.L., Walton S.L., Hyaluronidases of gram-positive bacteria, *FEMS Microbiology letters*, 183, 201-207, (2000).
- 4- Kuppusamy, U.R. Khoo, H.E. and Das, N.P., structure – activity studies of flavonoids as inhibitors of hyaluronidase, *Biochem. Pharm.*, 40,397-401, (1990).
- 5- Havsteen B., Flavonoids, a class of natural products of high pharmacological potency, *Biochem. Pharmacol.* 32, 1141-1148, (1983).
- 6- Jassim, A.M.N., M.Sc. thesis, college of science, Univ. of Al-Mustansiriyah , (2001).
- 7- Beiler J.M. and Martin G.J., Inhibition of hyaluronidase action by derivatives of hesperidin. *J. Biol. Chem.*, 174, 31-35, (1948).
- 8- Rodney G., Swanson A.L., Wheeler L.M., Smith G.N. and worrel C.S., the effect of a series of flavonoids on hyaluronidase and some other related enzymes. *J. Biol. Chem.*, 183, 739-741, (1950).
- 9- Al-Sheikly, S.A.. M.Sc. thesis, college of science, Univ. of Al-Mustansiriyah, (2000).
- 10- Kuppusamy, U.R. and Das, N.P., Inhibitory effects of flavonoids on several venom hyaluronidases, *Experientia*. 47, 1196-1200, (1991).
- 11- Copeland, R. A.; "Enzymes"; Wiley-VCH; New York; (1996); pp. 187-200.
- 12- Asquith, T.N. and Butler, L. G., Interaction of condensed tannins with selected proteins. *Phytochem.* 25, 1591-1593, (1986).
- 13- Xu,X. Wang, X., Xi. X., Liu. J. Huang, J. and Lu, Z., purification and characterization of Hyaluronidase from five pace snake (*Angkistrodon acutus*) venom, *Toxicon*, 20,973-981, (1982).

## The Fuzzy External Direct Sum For Some Types Of Fuzzy Submodules

\*Innam M-A. Hadi , \*\*Rabee Hadi Jari

\*Department of Mathematics, Ibn- Al-Haitham College of Education  
University of Baghdad

\*\*Department of Mathematics, Thi-Qar College of Education,  
University of Basrah.

### الخلاصة

تم في هذا البحث دراسة المجموع المباشر الخارجي للمودولات الجزئية الضبابية (شبه الأولية، الضعيفة، الأولية التامة والقوية). كذلك درسنا تمايل الصورة والصورة العكسية للمودولات الجزئية الضبابية الأولية التامة.

### ABSTRACT

In this paper we study the fuzzy external direct sum for (semi, weakly, completely and strongly) prime fuzzy submodules. Also we study the homomorphic image and inverse image of completely prime fuzzy submodules.

### INTRODUCTION

The concept of fuzzy external direct sum of fuzzy modules (fuzzy submodules) was first introduce in [1], and some results about fuzzy external direct sum of prime fuzzy submodules are presented. In this paper we prove that the external direct sum of (semi, completely and strongly). Prime fuzzy submodules is (semi, completely and strongly) prime fuzzy submodule respectively. Homomorphic image and inverse image of (semiprime and prime) fuzzy submodule are presented by [2, 1] respectively in this paper we prove that the homomorphic image and inverse image of completely prime fuzzy submodule is a completely prime fuzzy submodule.

Throughout the paper R is a commutative ring with unity and M is an R-module.

## PRELIMINARIES

In this section we give some basic definitions to be used later on.

### **Definition 2.1<sup>[3], [4]</sup>:**

Let X be a fuzzy set in M ( $X : M \rightarrow [0,1]$ ) which associates with each point  $x \in M$  its grade or degree of membership  $X(x) \in [0,1]$ ), the set  $X_t = \{x \in M \mid X(x) \geq t\}$  is called a level subset of X.

### **Definition 2.2<sup>[5]</sup>:**

A fuzzy set X in R-module M is called a fuzzy R-module if and only if for each  $x, y \in M, r \in R$ .

- 1-  $X(x - y) \geq \min\{X(x), X(y)\}$ .
- 2-  $X(rx) \geq X(x)$
- 3-  $X(0) = 1$  (0 is the zero element of M).

### **Definition 2.3<sup>[4]</sup>:**

Let A and X be two fuzzy modules of an R-module M, A is called a fuzzy submodule of X if and only if  $A \subseteq X$ . In particular if  $X = \chi_M$ , then we say A is a fuzzy submodule of M.

### **Definition 2.4<sup>[2]</sup>:**

A fuzzy submodule A of a fuzzy module X is called semiprime fuzzy submodule if  $r_t^2 a_s \subseteq A$  for a fuzzy singleton  $r_t$  of R,  $a_s \subseteq X$  then  $r_t a_s \subseteq A$ .

**Definition 2.5<sup>[6]</sup>:**

A fuzzy submodule  $A$  of an  $R$ -module  $M$  is said to be weakly prime fuzzy submodule of  $M$  if  $A(ra) > A(a)$  for  $r \in R$ ,  $a \in M$  implies that  $A(rm) \geq A(ra)$  for all  $m \in M$ .

**Definition 2.6<sup>[11]</sup>:**

Let  $A$  be a proper fuzzy submodule of a fuzzy module  $X$ . Then  $A$  is called completely prime if  $r_i a_s \subseteq A$ ,  $r_i \neq 0_i$  implies that  $a_s \subseteq A$  for all fuzzy singleton  $r_i$  of  $R$ ,  $a_s \subseteq X$ .

**Definition 2.7<sup>[7]</sup>:**

A fuzzy submodule of  $R$ -module  $M$  is said to be strongly prime if  $A(ra) = A(a)$  for all  $a \in M$ ,  $r \neq 0$ .

For getting more definitions and results about prime fuzzy submodules, we refer to [1].

### **THE FUZZY EXTERNAL DIRECT SUM FOR SOME TYPES OF FUZZY SUBMODULES.**

**Definition 3.1<sup>[11]</sup>:**

Let  $X$  and  $Y$  be two fuzzy modules of  $M_1$ ,  $M_2$  respectively. Define  $X \oplus Y : M_1 \oplus M_2 \longrightarrow [0, 1]$  by:

$$(X \oplus Y)(a, b) = \min \{X(a), Y(b)\}, \text{ for all } (a, b) \in M_1 \oplus M_2.$$

$(X \oplus Y)$  is called a fuzzy external direct sum of  $X$  and  $Y$ .

If  $A$  and  $B$  are two fuzzy submodules of  $X$ ,  $Y$  respectively. Define  $A \oplus B : M_1 \oplus M_2 \longrightarrow [0, 1]$  by:

$$(A \oplus B)(a, b) = \min \{A(a), B(b)\}, \text{ for all } (a, b) \in M_1 \oplus M_2.$$

**Proposition 3.2:**

Let  $X$  and  $Y$  be two fuzzy modules of  $R$ -modules  $M_1$  and  $M_2$  respectively then:

- 1- If A and B are semiprime fuzzy submodules of X and Y, then  $A \oplus B$  is a semiprime fuzzy submodule of  $X \oplus Y$ .
- 2- If A and B are completely prime fuzzy submodules of X and Y, then  $A \oplus B$  is a completely prime fuzzy submodule of  $X \oplus Y$ .
- 3- If A and B are strongly prime fuzzy submodules, then  $A \oplus B$  is a strongly prime fuzzy submodule.

**Proof (1):**

Let  $r_t^2(a, b)_k \subseteq A \oplus B$  for a fuzzy singleton  $r_t$  of R and  $(a, b)_k \subseteq X \oplus Y$ .

Then  $(r^2a, r^2b)_\lambda \subseteq A \oplus B$ , where  $\lambda = \min \{t, k\}$ .

This implies that  $(r^2a, r^2b) \in (A \oplus B)_\lambda$ , hence  $(r^2a, r^2b) \in A_\lambda \oplus B_\lambda$  by [1, lemma 2.3.3].

Thus,  $r^2a \in A_\lambda$  and  $r^2b \in B_\lambda$ . It follows that  $(r^2a)_\lambda \subseteq A$  and  $(r^2b)_\lambda \subseteq B$ . Hence  $r_t^2 a_k \subseteq A$  and  $r_t^2 b_k \subseteq B$ .

But, A and B are semiprime fuzzy submodules of X and Y, then  $r_t a_k \subseteq A$  and  $r_t b_k \subseteq B$ .

This implies that  $(ra)_\lambda \subseteq A$  and  $(rb)_\lambda \subseteq B$ . Hence  $A(ra) \geq \lambda$  and  $B(rb) \geq \lambda$ .

Thus,  $\min \{A(ra), B(rb)\} \geq \lambda$ , implies that

$(A \oplus B)(r(a, b))_\lambda \subseteq A \oplus B$ .

Therefore,  $r_t(a, b)_k \subseteq A \oplus B$ .

So,  $A \oplus B$  is a semiprime of  $X \oplus Y$ .

**Proof (2):**

Let  $r_t(a, b)_k \subseteq A \oplus B$  for a fuzzy singleton  $r_t$  of R and  $(a, b)_k \subseteq X \oplus Y$  such that  $r_t \neq 0_t$ .

Then  $(ra, rb)_\lambda \subseteq A \oplus B$ , where  $\lambda = \min \{t, k\}$ .

Hence  $(A \oplus B)(ra, rb) \geq \lambda$ , so  $\min \{A(ra), B(rb)\} \geq \lambda$ .

Consequently,  $A(ra) \geq \lambda$  and  $B(rb) \geq \lambda$ , which implies that  $(ra)_\lambda \subseteq A$  and  $(rb)_\lambda \subseteq B$ .

Therefore,  $r_t a_k \subseteq A$  and  $r_t b_k \subseteq B$ .

But,  $A$  and  $B$  are completely prime fuzzy submodules and  $r_i \neq 0_i$ , hence  $a_k \subseteq A$  and  $b_k \subseteq B$ , so  $(a, b)_k \subseteq A \oplus B$ , that is  $A \oplus B$  is completely prime.

### Proof (3):

To prove  $(A \oplus B)(r(x, y)) = A(x, y)$  for all  $r \in R$  and  $(x, y) \in M_1 \oplus M_2$ . Since:

$$\begin{aligned} (A \oplus B)(r(x, y)) &= (A \oplus B)(rx, ry) \\ &= \min \{A(rx), B(ry)\} \\ &= \min \{A(x), B(y)\}, \text{ since } A \text{ and } B \text{ are strongly} \\ &\text{prime} \\ &= (A \oplus B)(x, y). \end{aligned}$$

### Remark 3.3:

The external direct sum of weakly prime fuzzy submodule is not necessary weakly prime fuzzy submodule. For example:

Let  $M_1 = M_2 = Z$  as a  $Z$ -module and let  $A : M_1 \longrightarrow [0, 1]$  and  $B : M_2 \longrightarrow [0, 1]$  be defined by:

$$A(x) = \begin{cases} 1 & \text{if } x \in (3) \\ \frac{1}{4} & \text{if } x \notin (3) \end{cases}$$

$$B(x) = \begin{cases} 1 & \text{if } x \in (2) \\ \frac{1}{4} & \text{if } x \notin (2) \end{cases}$$

$A$  and  $B$  are weakly prime fuzzy submodules of  $M_1$  and  $M_2$  by [8, example 2.2.11].

Then  $A \oplus B : Z \oplus Z \longrightarrow [0, 1]$

$$(A \oplus B)(x, y) = \begin{cases} 1 & \text{if } (x, y) \in (2) \oplus (3) \\ \frac{1}{4} & \text{if } (x, y) \notin (2) \oplus (3) \end{cases}$$

$A \oplus B$  is not weakly prime fuzzy submodule since

$$(A \oplus B)(2(1, 3)) = (A \oplus B)(2, 6) = 1 > (A \oplus B)(1, 3) = \frac{1}{4}.$$

$$\text{But } (A \oplus B)(2(2, 2)) = (A \oplus B)(4, 4) = \frac{1}{4} \not\geq (A \oplus B)(2(1, 3)) = 1.$$

**Proposition 3.4:**

Let  $X$  be a fuzzy module of  $R$ -module  $M$ , if  $A$  is a weakly prime fuzzy submodule of  $X$ , then  $A^2 = A \oplus A$  is weakly prime of  $X^2 = X \oplus X$ .

**Proof:**

Let  $(A \oplus A)(r(x, y)) \geq (A \oplus A)(x, y)$  for  $r \in R$  and  $(x, y) \in M_1 \oplus M_2$ . Suppose that  $(A \oplus A)(rx, ry) = t$ .

This implies  $(rx, ry) \in (A \oplus A)_t$ , hence  $(rx, ry) \in A_t \oplus A_t$ , by [1, lemma 2.3.3].

Thus,  $rx \in A_t$  and  $ry \in A_t$ .

But  $A$  is weakly prime, then  $A_t$  is prime by [1, proposition 2.2.9].

Hence (either  $r \in A_t$  or  $x \in A_t$ ) and (either  $r \in A_t$  or  $y \in A_t$ ).

Thus, either  $r \in A_t$  or  $(x \in A_t \text{ and } y \in A_t)$

So, if  $x \in A_t$  and  $y \in A_t$ , then  $(x, y) \in A_t \oplus A_t = (A \oplus A)_t$ , implies that:

$(A \oplus A)(x, y) \geq t = (A \oplus A)(rx, ry)$ , which is a contradiction.

So,  $r \in A_t$ . But  $A_t$  is a submodule of  $M$  by [8].

Therefore,  $rm_1 \in A_t$  and  $rm_2 \in A_t$ .

Hence  $r(m_1, m_2) \in A_t \oplus A_t = (A \oplus A)_t$ .

Thus,  $(A \oplus A)(r(m_1, m_2)) \geq t = (A \oplus A)(r(x, y))$ , for all  $m_1, m_2 \in M_1, M_2$ .

So,  $A \oplus A$  is a weakly prime fuzzy submodule of  $X \oplus X$ .

**Proposition 3.5:**

Let  $T = X \oplus Y$  be a direct sum of two fuzzy modules  $X$  and  $Y$ , then:

1. If  $L$  is a semiprime fuzzy submodule of  $X$ , then  $L \oplus Y$  is a semiprime fuzzy submodule of  $T$ .
2. If  $L$  is a completely prime fuzzy submodule of  $X$ , then  $L \oplus Y$  is a completely prime fuzzy submodule of  $T$ .

**Proof:**

1- Let  $r_t^2(a, b)_k \subseteq L \oplus Y$  for a fuzzy singleton  $r_t$  of  $R$  and  $(a, b)_k \subseteq X \oplus Y$

Then  $(r^2a, r^2b)_\lambda \subseteq L \oplus Y$ , where  $\lambda = \min\{t, k\}$

Hence  $(L \oplus Y)(r^2a, r^2b) \geq \lambda$ , so  $\min\{L(r^2a), Y(r^2b)\} \geq \lambda$

So,  $L(r^2a) \geq \lambda$  and  $Y(r^2b) \geq \lambda$  which implies that  $(r^2a)_\lambda \subseteq L$  and  $(r^2b)_\lambda \subseteq Y$ .

Therefore;  $r_t^2 a_k \subseteq L$  and  $r_t^2 b_k \subseteq Y$ .

But,  $L$  is a semiprime fuzzy submodule of  $X$ , hence  $r_t a_k \subseteq L$ .

Since  $b_k \subseteq Y$  and  $Y$  is fuzzy module, then  $r_t b_k \subseteq Y$ ,

Thus,  $r_t(a, b)_k \subseteq L \oplus Y$ .

Therefore;  $L \oplus Y$  is a semiprime fuzzy submodule of  $X \oplus Y$ .

2- Let  $r_t(a, b)_k \subseteq L \oplus Y$  for a fuzzy singleton  $r_t$  of  $R$ ,  $r_t \neq 0_t$  and  $(a, b)_k \subseteq X \oplus Y$ .

Then  $(ra, rb)_\lambda \subseteq L \oplus Y$ , where  $\lambda = \min\{t, k\}$ .

Hence  $(L \oplus Y)(ra, rb) \geq \lambda$ , so  $\min\{L(ra), Y(rb)\} \geq \lambda$ .

Which implies  $L(ra) \geq \lambda$  and  $Y(rb) \geq \lambda$ .

Therefore;  $L(ra)_\lambda \subseteq L$  and  $Y(rb)_\lambda \subseteq Y$ .

Thus,  $r_t a_k \subseteq L$  and  $r_t b_k \subseteq Y$ .

But,  $L$  is a completely prime fuzzy submodule of  $X$ , then  $a_k \subseteq L$ .

Thus,  $(a, b)_k \subseteq L \oplus Y$ .

So,  $L \oplus Y$  is completely prime of  $X \oplus Y$ .

## HOMOMORPHIC IMAGE AND INVERSE IMAGE OF COMPLETELY PRIME FUZZY SUBMODULES.

### **Definition 4.1<sup>[9]</sup>:**

Let  $f$  be a mapping from a set  $M$  in to a set  $N$ . Let  $A$  be a fuzzy set in  $M$ , the image of  $A$  denoted by  $f(A)$  is the fuzzy set in  $N$ , defined by:

$$f(A)(y) = \begin{cases} \sup\{A(z) | z \in f^{-1}(y)\}, & \text{if } f^{-1}(y) \neq \emptyset, \text{ for each } y \in N \\ 0 & \text{otherwise} \end{cases}$$

where  $f^{-1}(y) = \{x : f(x) = y\}$ , and let  $B$  be a fuzzy set in  $N$ , then the inverse image of  $B$ , denoted by  $f^{-1}(B)$  is the fuzzy set in  $M$  defined by:

$$f^{-1}(B)(x) = B(f(x)), \text{ for all } x \in M.$$

**Definition 4.2<sup>[10]</sup>:**

Let  $f$  be a function from a set  $M$  to a set  $N$ . A fuzzy subset  $A$  of  $M$  is called  $f$ -invariant if  $A(x) = A(y)$ , whenever  $f(x) = f(y)$ , where  $x, y \in M$ .

**Proposition 4.3:**

Let  $X$  and  $X'$  be two fuzzy modules of  $R$ -modules  $M$  and  $M'$ , respectively, and let  $f$  be an epimorphism from  $M$  to  $M'$ . If  $A$  and  $B$  are two completely prime fuzzy submodules of  $X$  and  $X'$ , then the following statements are true.

1.  $f(A)$  is completely prime fuzzy submodule of  $X'$  provided that  $A$  is  $f$ -invariant.
2.  $f^{-1}(B)$  is completely prime fuzzy submodule of  $X$ .

**Proof (1):**

$f(A)$  is a fuzzy submodule of  $X'$  by [3, proposition 3.2].

Suppose that  $r_i y_k \subseteq f(A)$  for a fuzzy singleton  $r_i$  of  $R$  and  $y_k \subseteq X'$  such that  $r_i \neq 0_t$ , then  $(ry)_\lambda \subseteq f(A)$ , where  $\lambda = \min\{t, k\}$ , which implies that  $f(A)(ry) \geq \lambda$ . But  $f$  is an epimorphism, so there exists  $a \in M$  such that  $y = f(a)$ . Hence  $f(A)(rf(a)) \geq \lambda$ .

Thus  $f(A)(f(ra)) \geq \lambda$ , that is  $(f^{-1}(f(A))(ra)) \geq \lambda$ .

So,  $A(ra) \geq \lambda$  by [8, lemma 1.1.12]; that is  $(ra)_\lambda \subseteq A$ , thus  $r_i a_k \subseteq A$ .

But  $A$  is a completely prime fuzzy submodule of  $X$ , hence  $a_k \subseteq A$ , then  $A(a) \geq k$ . This implies that  $y_k \subseteq f(A)$  since  $(f(A))(y) = f(A)f(a) = f^{-1}f(A)(a) = A(a)$  since  $A$  is  $f$ -invariant, see [8, lemma 1.1.12 (2)].

Thus,  $f(A)(y) \geq k$ ; that is  $y_k \subseteq f(A)$ .

So,  $f(A)$  is completely prime of  $X'$ .

**Proof (2):**

$f^{-1}(B)$  is a fuzzy submodule of  $X$  by [3, proposition 3.2].

Let  $r_i a_k \subseteq f^{-1}(B)$  for a fuzzy singleton  $r_i$  of  $R$  and  $a_k \subseteq X$ ,  $r_i \neq 0_t$ .

Then  $(ra)_\lambda \subseteq f^{-1}(B)$ , where  $\lambda = \min \{t, k\}$

This implies that  $(f^{-1}(f(B))(ra) \geq \lambda$ . Then  $B(f(ra)) \geq \lambda$ ; that is  $B(rf(a)) \geq \lambda$ .

Hence  $(rf(a))_\lambda \subseteq B$ . It follows that  $r_i(f(a))_k \subseteq B$ . But  $B$  is completely prime of  $X'$ , so  $(f(a))_k \subseteq B$ , then  $B(f(a)) \geq k$ .

Thus  $(f^{-1}(B))(a) \geq k$ , hence  $a_k \subseteq f^{-1}(B)$ .

Therefore,  $f^{-1}(B)$  is completely prime of  $X$ .

## REFERENCES

- [1] Jari R. H., "Prime Fuzzy Submodule and Prime Fuzzy Modules", M.Sc. Thesis, University of Baghdad, College of Education, Ibn-Al-Haitham, (2001).
- [2] Hadi I. M-A., "Semiprime Fuzzy Submodules of Fuzzy Modules", Accepted in Ibn-Al-Haitham J. for Pure and Applied Science, (2001).
- [3] Martines L., "Fuzzy Modules Over Fuzzy Rings in Connection with Fuzzy Ideal of Fuzzy Ring", J. Fuzzy Mathematics, Vol.4, pp.843-857, (1996).
- [4] Mashinchi M. and Zahedi M. M., "On L-Fuzzy Primary Submodules", Fuzzy Sets and Systems, Vol.49, pp.231-236, (1992).
- [5] Nanda S., "Fuzzy Modules Over Fuzzy Rings", Bull. Col. Math. Soc., Vol.18, pp.197-200, (1989).
- [6] Mukherjee T. K., Sen M. K. and Roy D., "On Fuzzy Submodules and their Radicals", J. Fuzzy Math., Vol.4, pp.549-558, (1996).
- [7] Bhambhani S. K., Kumar R. and Kumar P., "Fuzzy Prime Submodules and Radical of Fuzzy Submodules", Bull. Col. Soc., Vol.87, pp.163-168, (1995).
- [8] Alyass G. A., "Fuzzy Spectrum of a Module Over Commutative Ring", M.Sc. Thesis, University of Baghdad, College of Education, Ibn-Al-Haitham, (2000).
- [9] Yue Z., "Prime L-Fuzzy Ideals and Primary L-Fuzzy Ideals", Fuzzy Sets and Systems, Vol.27, pp.345-350, (1988).

- [10] Kumar R., "Fuzzy Semiprimary Ideals of Rings", *Fuzzy Sets and Systems*, Vol.42, pp.263-272, (1991).

## Polyvinylpyrrolidone as a prophylactic agent against Klebsiella pneumoniae infection

Jamela Ghadban A. Al-Grawy

Microbiology Dept., AL-Kindy College of Medicine,  
Baghdad University

### الخلاصة

درس تأثير مادة (pvp) في الوقاية ضد خمج الجرثومي الجهازي ما حيث حققت اربع مجاميع من ذكور الفئران البالغة وريديا بجرثوم *Klebsiella pneumoniae* لاحادث الخمج ، كانت ثلاثة مجاميع منها قد حققت مسبقا داخل الغشاء البروتيني بجرع 0.3,0.2,0.1 ملغم /100 من وزن الجسم و لمدة ثلاثة ايام متولية قبل احداث الخمج . تم حساب نسبة وزن كل من الكبد و الطحال الى وزن الجسم و اجري الفحص النسيجي بعد 24 ساعة و 48 ساعة من احداث الخمج . واظهرت النتائج ان كل من الكبد و الطحال قد ازدادت اوزانها بعد 24 ساعة من الخمج لجميع المعاملات ، وقد انخفضت هذه الزيادة بعد 48 ساعة من الخمج . اما الدارسة النسيجية لكل من الكبد و الرئة و الكلية للفئران المحقونة بالجراثيم فقط كما ظهرت فيها تغيرات و افات قيحية شديدة ، بينما اظهرت انسجة الفئران المعاملة مسبقا بمادة pvp تغيرات و افات نسيجية اقل مع تماسک الانسجة اكثر مما يؤكد الدور الوقائي المناعي لمادة pvp ضد الاصابة بالجراثيم الممرضة .

### ABSTRACT

The efficacy of polyvinylpyrrolidone (pvp) against systemically challenge with *Klebsiella pneumoniae* was studies. Suspension of *K pneumoniae* were intravenously injected into four groups of adult male mice, alone in control group, and three days after intraperitoneal preinjection of 1.0 , 0.2 and 0.3 mg pvp/100 mg body weight in the other groups. Both liver and spleen weights to body weight was calculate and histological sections for liver, Kidney , and lung was examined. The results revealed that pvp have reversible effects on liver and spleen weights. The

histological study have demonstrated suppurative lesions and abscesses in the liver, kidney, and lung due to *K. pneumoniae* infection, while pretreated mice with PVP have clearly demonstrated more less effects and more integrity of the tissues than the control mice, that confirmed the protective effect of PVP against bacterial infection.

## INTRODUCTION

Polyvinylpyrrolidone (PVP) a synthetic Polymer ( $C_{48} H_{72} O_{14}$ ), cause proliferation and infiltration of histiocytes in the reticuloendothelial system<sup>1</sup>. PVP-treated rats were favorable to erythroid development in the bone marrow and spleen<sup>2</sup>. In combination with iodine, proved superior antiseptic to prevent ocular infection<sup>3,4,5</sup> and in wound care treatments<sup>6</sup>. Intratumoral injected mice with PVP pulsinterferon-alpha cause %100 inhibition of tumor growth<sup>7</sup>.

*Klebsiella pneumoniae* the major case of hospitals-acquired infections of the urinary tract, lower respiratory tract, biliary tract, and surgical wounds, many of these infections are associated with bacteremia and life -theartening septic shock<sup>8</sup>. In hospitals, strains of *K. pneumoniae* among the most antimicrobial-resistant microbes isolated<sup>8</sup>.

The aim of this study to investigate the prophylactic role of PVP in protection of mice tissues against systemic infection with *K. pneumoniae*.

## MATERIALS AND METHODS

- Polyvinylpyrrolidone :Stock solution of PVP (BDH) was prepared in sterile distilled water. Three doses of PVP 0.1, 0.2, and 0.3 mg /100 g body weight of mice were injected intraperitoneally at three successive days to each dose.
- *K. pneumoniae* was isolated from patient with wound infection. A single colony was inoculated into sterile brain-heart infusion medium, after overnight incubation at 37°C, the culture was centrifuged and washed three times with sterile saline. Bacterial suspension diluted in sterile saline to provide  $10^4$  viable cell per 0.1 ml and injected intravenously (0.1 ml per mouse) after two days from the last PVP injection<sup>9</sup>.

- Mice : Twenty adult male mice (18-20 g) body weight were breeding in a relatively controlled environment at room temperature ( $25^{\circ}\text{C}$ ), and divided into four groups, each group included four mice. Three groups of them pretreated with 0.1, 0.2, and 0.3 mg pvp /100g body weight by intraperitoneally injection, then challenged intravenously with *K. pneumoniae*. The fourth group challenged with bacteria only. Half of all groups were killed at 24 h. after infection , and the remaining half was killed at 48 h. after infection .Body weight of all mice were determined and then the weights of liver and spleen was also determined , and calculated the ratio of the organ weight (mg) to the body weight (g).
- Statistical analysis: Using F-test.
- Histological examination: All mice were dissected and the lung , liver , and kidney were taken and fixed in 10% formaline , sections for all these organs were prepared and stained with hematoxylin-eosin<sub>II</sub>.

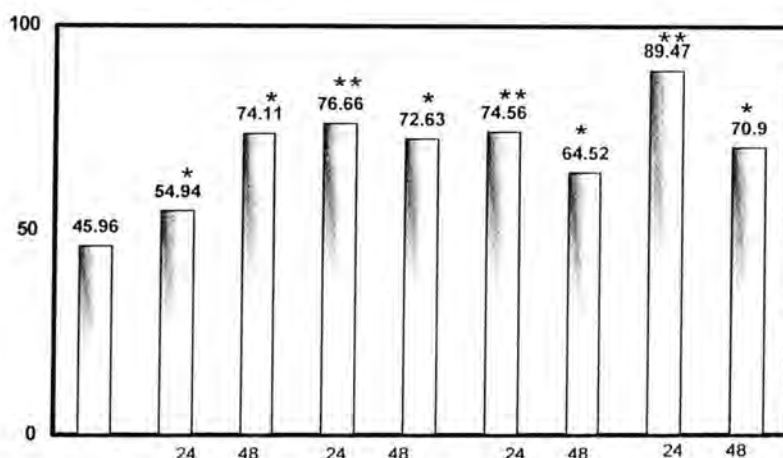


Fig.1 : Liver weight (mg) to body weight (g) of infected mice intravenously with *K. pneumoniae* and pre-injected intraperitoneally with 0.1 , 0.2, and 0.3 mg pvp/100g. body weight (\*: significant; p>0.05).

## RESULTS

Liver and spleen weight to day weight of infected and pretreated mice with pvp show significant increasing (Fig 1 & 2), especially after 24 h., but with reversible effects after 48h. In pvp-pretreated mice only.

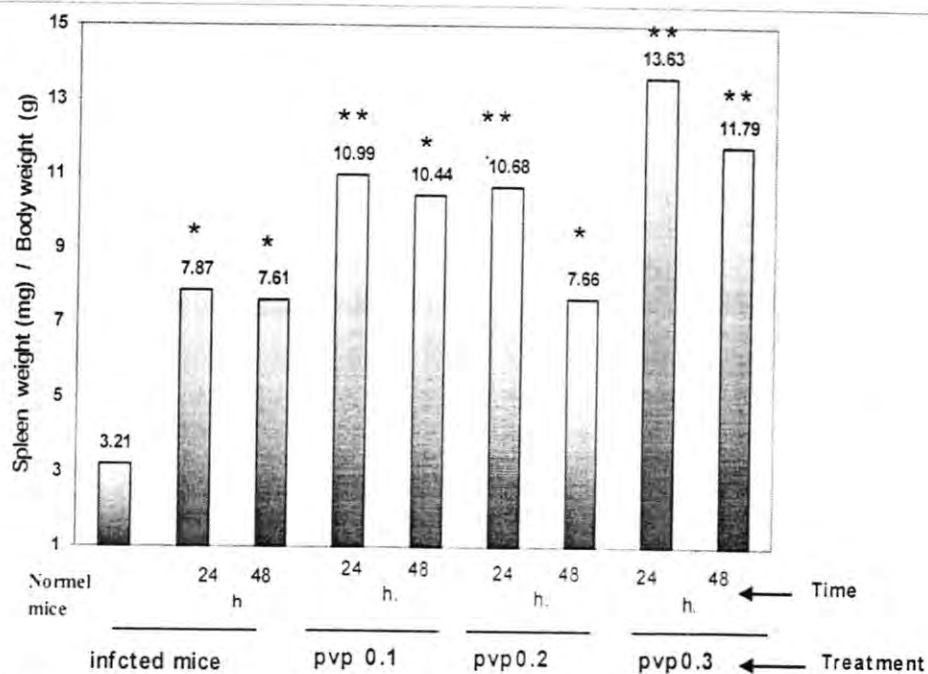
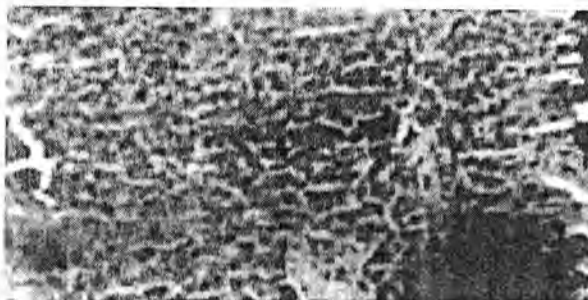


Fig.2 : Spleen weight (mg) to body weight (g) of infected mice intravenously with *K. pneumoniae* and pre-injected intraperitoneally with 0.1, 0.2. and 0.3 mg pvp /100g. body weight (\* :significant; p>0.05).

Histological examination showed that infected mice tissues with *K. pneumoniae* after 24 and 48 h. suffered marked pathological changes in the liver, kidney, and lung. The liver showed small micro abscesses

(Fig.3A), while these changes more less in the pre-treated mice with pvp (Fig.3B).

[ A ]



[ B ]

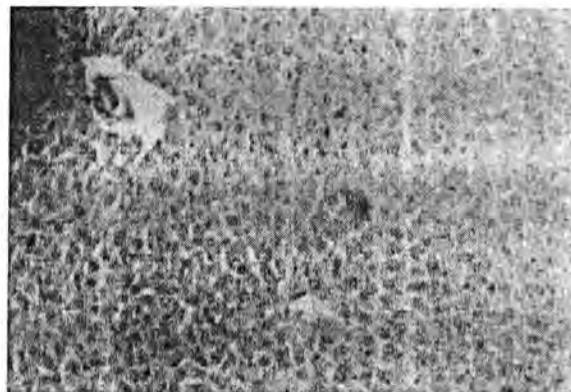
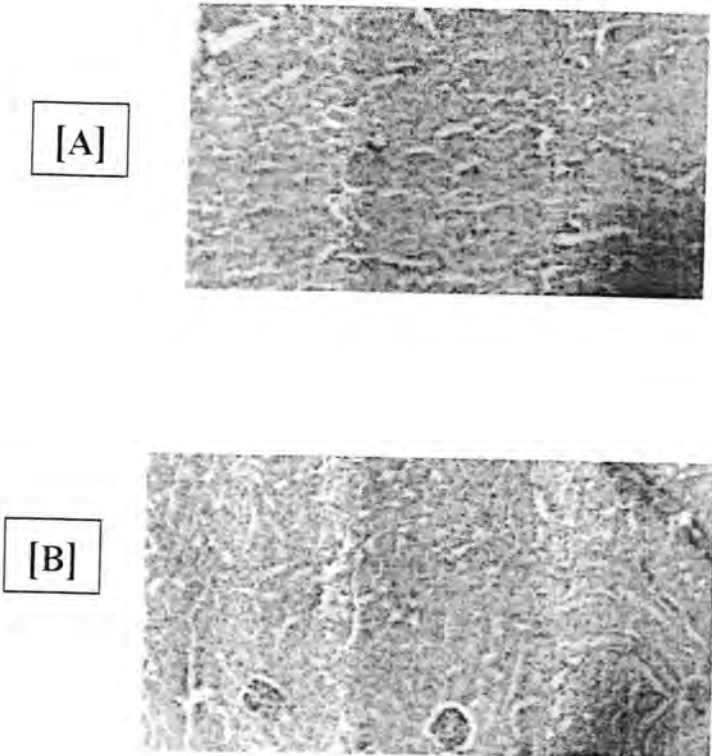


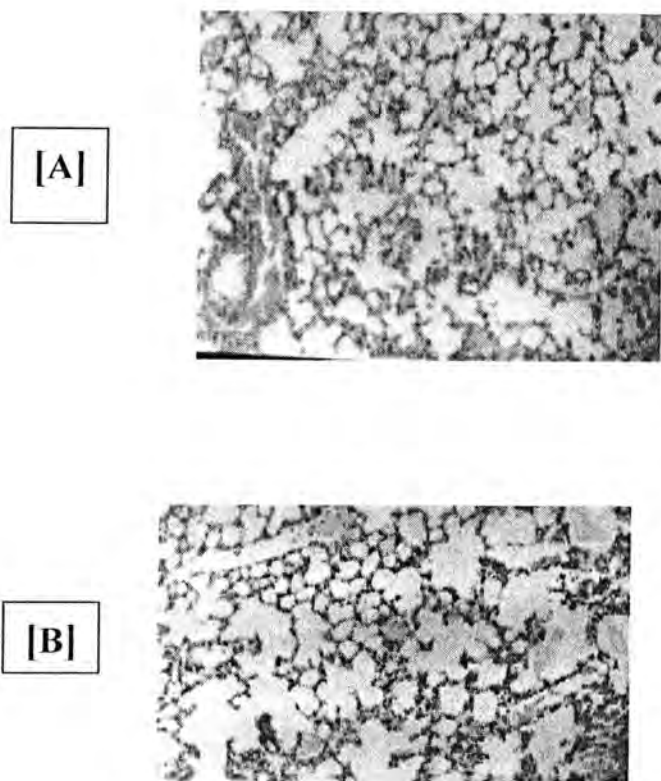
Fig.3: Liver of (A), mice 48 h. post *K. pneumoniae* intravenously injection showing micro - abscesses ; (B), mice pre-injected intraperitoneally with 0.3 mg pvp /100g. body weight showing mild changes. Hematoxylin-Eosin (330X).

The kidney sections from infected mice only showed acute inflammatory changes with enlargement of glomeruli and presence of pus cells in the renal tubules (Fig.4A), while these changes more less with more integrity of the interstitial tissues in pre-injected mice with pvp (Fig.4B).



**Fig. 4:** Kidney of (A), mice 48 h. post *K. pneumoniae* intravenously injection showing acute inflammatory changes ; (B), mice pre-injected intraperitoneally with 0.3 mg pvp /100g. body weight showing less pathological effects and more tissue integrity . Hematoxylin-Eosin (330X).

The sections from lung of infected mice with *K. pneumoniae* showed a diffuse acute inflammation with congestion of small blood vessels and hemorrhage (Fig.5A), and pre-injection with pvp reduce these changes (Fig. 5B).



**Fig.5:** Lung of (A), mice 48 h. post *K. pneumoniae* intravenously injection showing diffuse inflammation with congestion and hemorrhage; (B), mice pre-injected intraperitoneally with 0.3 mg pvp /100g. body weight showed reducing of inflammatory changes. Hematoxlin-Eosin (330X).

## DISCUSSION

All treated mice showed hepatosplenomegaly this may be due inflammatory response caused by *K. pneumoniae* inspite of pvp effects. Previous studies have shown that pvp cause proliferation and infiltration of histiocytes in the reticuloendothelial system, and cause significant increases in the number of splenic mature and immature erythroid progenitors<sup>1,2</sup>. This may explain the enlargement of the liver and spleen after 24h., but the reversible effect after 48h. in pretreated mice with pvp in comparison to control group, may be due the protective effect of pvp against infection.

Histological examination of *K. pneumoniae* challenged control mice after 24h. and 48h. revealed moderate to severe changes in almost tissues, similar to other studies<sup>1,2</sup>. The pathological effects more less and more integrity of the tissues when pvp was used before challenge. Those because pvp reduces the inflammatory changes and have protective effect against development of infection due to increasing infiltration of histiocytes in the RES<sup>1</sup>.

In conclusion our observations confirmed the protective effects of pvp on animal tissues against systemic bacterial infection. So the possibility of using pvp as a prophylactic and therapeutic agent for human against serious diseases may need extensive studies in the future.

## REFERENCES

- 1- Dunn, P.; Kuo, T.; Shih, L.Y.; Wang, P.N.; Sun, C.F.; and Chang, M.J. Bone marrow failure and myelofibrosis in a case of pvp storage disease. Am. J. Hematol. 57(1):68-71. (1998).
- 2- Patakov, M.; Biljanovic-Paunovic, L.; Jovicic, G.; Stojanovic, N.; Todorovic, V.; and Jelkmann, W. The influence of acute sterile

- inflammation on erythropoiesis in rats. *Exp. Hematol.* 26(3):222-227. (1998).
- 3- Chavdhary, U.; Nagpal, R.C.; Malik, A.K.; and Kumar, A. Comparative evalution of antimicrobial activity of polyvinylpyrrolidone (pvp) -iodine versus topical antibiotics in cataract surgery. *J. Indian. Med. Assoc.* 96(7):202-204. (1998).
- 4- Oechsner, M.; and Keiperts, S. Polyacrylic acid/polyvinyl pyrrolidone bipolymeric systems .I. Rheological and mucoadhesive properties of formulations potentially useful for the treatment of dry-eye-syndrome. *Eur.J. Pharm. Biopharm.* 47(2):113-118. (1999).
- 5- Kramer, A.; and Behrens-Baumann, W. 1997. Prophylactic use of topical anti-infectives in ophthalmology. *Ophthalmologica.* 211(suppl.1): 68-76.
- 6- Burks, R.I. Povidone -iodine solution in wound treatment. *Phys. Ther.* 78 (2):212-218. (1998).
- 7- Coleman, M.; Mu;;er, S.; Quezada, A.; Mendiratta, S.K.; Wang, J.; Thull N.M.; Bisho, J.; Matar, M.; Mester, J.; and Pericle, F. Nonviral interferon alpha gene therapy inhibits growth of established tumors by eliciting a systemic immune response. *Hum. Gen. Ther.* 9(15) :2223-2230. (1998).
- 8- Braunwald, E.; Fauci, A.S.; Kasper, D.L.; Hauser, S.L.; Longo, D.L.; and Jamson, J.L. 2001. *Harrison's Principles of Internal Medicine.* Vol.2, (15<sup>th</sup> ed. ), McGraw Hill, Medical Publishing Division.
- 9- Cruickshank, R.; Duguid, J.P.; Mermion, B.P.; and Swain, R.H.A. 1975. *Medical Microbiology.* Vol.2, (12<sup>th</sup> ed.), Churchill Livingstone (Publ.) Edinburgh , London , NewYork.
- 10- Zar, J.H. *Biostatistical analysis*, 2<sup>nd</sup> (ed.), Chap.5. Prentice-Hall, Inc. Englewood Cliffs, N.J. (1984).

- 11- Stevens, A. The hematoxylins In : Theory and Practice of Histological Techniques. 2<sup>nd</sup> (ed.), eds.: Bancroft, J. ; and Stevens, A. Churchill, Livingstone. NewYork. P.114. (1982).
- 12- Black, J. G. Microbiology , Principles and Application. Prentice-Hall, Inc. NewJersey, U.S.A. (1996).

## Preliminary Consideration on Few Active Foci of Visceral Leishmaniasis in the central Region of Iraq

**SHIHAB AHMED SALMAN**

**Tropical Disease Research Unit,**

**Al-Kindy College of Medicine - University of Baghdad.**

### **ABSTRACT**

This is a contribution to map 439 cases of visceral leishmaniasis, which were reported from Saddam Hospital of Children from 1997 to 2001. Also, to determine the foci in the endemic area.

### **INTRODUCTION**

Many investigators were interested in the studies of leishmaniasis in Iraq during the 20<sup>th</sup> century (1). The pioneer one was Newstead in the 1<sup>st</sup> world war (2) also, studies were oriented on vectors, reservoirs and epidemiological aspect (3).

The main endemic area with visceral leishmaniasis is the rural area around Baghdad (4). High numbers of the patients were from the traditional foci as Sowira, Mahmodiya and Nomaniya (5).

Visceral leishmaniasis was reported in Iraq for the first time in 1954 (3). The reported cases per year in Iraq estimated as (5000) case (3). The problem of both vectors and reservoirs in Iraq still not clear, and this is due probably to the geographical situation of the country (2). After the war in 1991 and the problems caused by the sanction the image of the disease was modified.

Therefore the aim of this study is to map the cases of kala-azar from the main Hospital of Children in Baghdad (Saddam Hospital of Children) and to assess the prevalence of disease in the traditional foci in order to perform a new data in the studies of leishmaniasis in Iraq.

### **METHOD AND MATERIALS**

- All cases were reported from Saddam hospital of children/Baghdad from 1997 to 2001.

- All previous studies were used as a base line data.
- Many foci were visited regularly during the last four years.

## RESULT AND DISCUSSION

About 9439) case of kala-azar was reported from Saddam hospital of children in Baghda from 1997 to 2001. The cases were proved as kala-azar with clinical diagnosis and laboratory examination.

The distribution of cases (Figure 1) showing that the prevalence of cases takes a form like (K) letter parallel to the Tigrris, Euphrates and Diala rivers. This fact is closely related to the cultivated area and the orchard of date palms, which irrigated from these rivers. Also, the prevalence were represented in isolated regions as Thi-Qar province in the south of the country and Moqdadhiya in Diala province. Also, few cases were reported in Al-Tamiem province in the north. No cases were reported from Ninava province or the other province of north Iraq. However, the rural area around Baghdad still the highest.

The more active foci in the central region were (Figure 2): Balad (1) and Taji (2) in the north of Baghdad. Faloja in the north-west (3). Abo-Graeb (4) in the west. Rhdwaniya, Rashid, Youssifiya, Mahmodiya, Latifiya and Mash'roa (5) in the south Mossiab (6) and Karbala (7). Hilla (8) Najaf (18) Qhdasiya (17) Mouthana (19) and Thi-Qar (20) in the south region. In Diala province were the following foci Moqdadhiya (9), Baqouba (10) and Ka'an bani-s'aad (11). From Baghdad to Kut we have five active foci as the following: Salmanpak (12), Sowira(13), Aziziya (14) Kut (15) and Nomaniya (16). In fact the foci (12, 13, 14, 15 and 16) were one endemic area in the east of Tigris.

### What are the results of this study ?

1. The reported cases are not representative to Iraq.
2. The reported cases increased year after year due to the degradation of ecological factors.
3. Infection risks were increased also.
4. High number of reported cases were from Baghdad area.
5. The south district of Baghdad forms a part from the endemic area.
6. It seems that the reported cases in Baghdad City were imported cases.

7. Faloja was one of the active foci.
8. No reported cases were represented from Ninava province in spite of the prevalence of disease in al-Shikan district.
9. Thi-qar was an active focus in the south.
10. Foci can be divided into hypo, meso and hyper endemic according to the reported cases.

To complete this study an epidemiological map of visceral leishmaniasis to Iraq based on the reported cases from all Hospitals seems necessary.

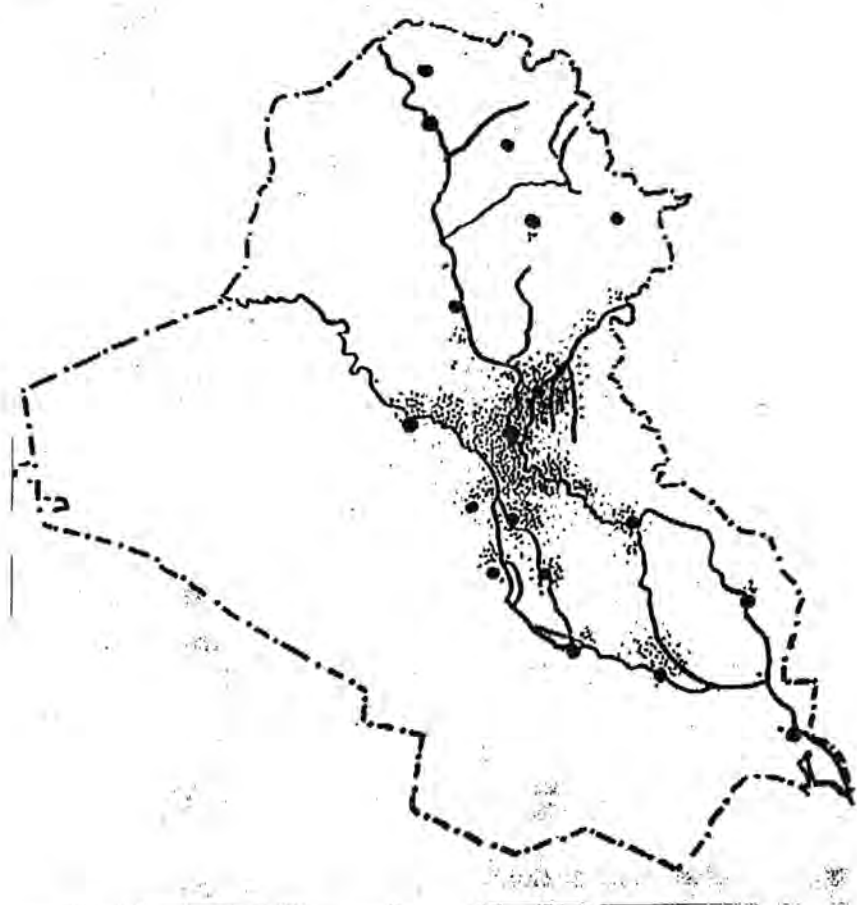


Figure (1): Map of Iraq showing the geographical distribution of (433) cases of visceral Leishmaniasis from 1990 to 2001 (cases reported from Saddam Hospital of Children / Baghdad).

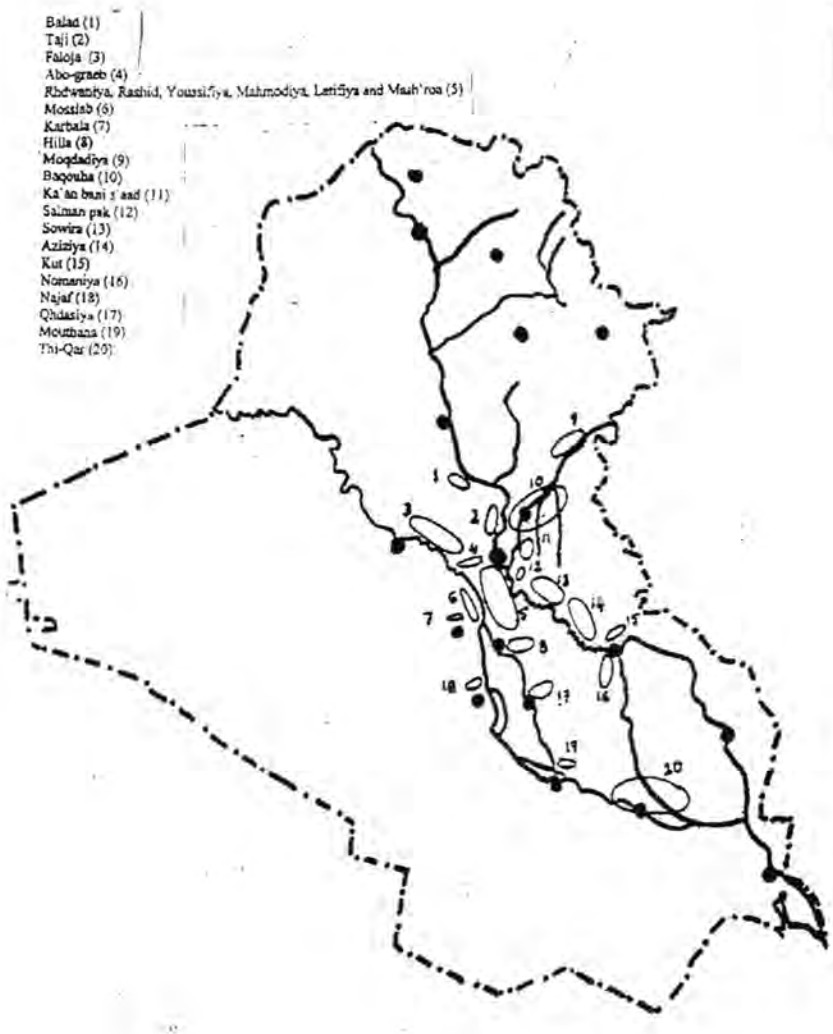


Figure (2): Map of Iraq showing the main active foci of visceral leishmaniasis (433 cases reported from Saddam Hospital of Children / Baghdad from 1990 to 2001).

**REFERENCE**

1. Al-Alak S.F.: Study in the epidemiology of visceral leishmaniasis (KALA-AZAR) in Al-Magger district-Missan province. VET.COLL.BAG. Thesis, M. Sc. PP. 77 (1996).
2. Pringle, G.: kala-azar in Iraq, Preliminary Epidemiological consideration. Bull.End. Dis.Baghdad. 1(4), PP. 275 - 294. (1956).
3. Sukkar F.: Visceral leishmaniasis in Iraq. Bull. End. Dis Baghdad. 13(4), PP. 77 - 83. (1972).
4. Al-Shanawi F.A. (and others): Experimental infection of dogs with Leishmania donovani. J. Biol. Scie. Res. 17(3), PP. 47 - 54. (1986).
5. Jawdat S.Z., Ali N.A., RifaatL. Kh. and Rutha K.Y.: The incidence of kala-azar in an endemic focus in central Iraq. J.B.S.R., 148: 81 - 87. (1983).

## ACTIVE CMV INFECTION IN KIDNEY TRANSPLANT RECIPIENTS

**AL-IZI, SANA M. H.<sup>\*</sup>; OMAR, ALI R.<sup>\*\*</sup>; KHAMMAS, KALIL.  
M.<sup>\*\*\*</sup>; ABED-AUN ALA'A HUSAIN<sup>\*\*\*\*</sup>**

**\* Central Public health Lab., Baghdad-Iraq**

**\*\* AIDS Studies & Research Center, Baghdad-Iraq**

**\*\*\* Biology Department, College of Science, Al-Mustansiriyah  
University, Baghdad-Iraq.**

**\*\*\*\* Medical Saddam City, Baghdad-Iraq**

### الخلاصة

تم استقصاء انتشار الإصابة بالفيروس المضخم للخلايا في 68 مريضاً من مرضى زرع الكلية و 122 شخصاً من الأصحاء (مجموعة السيطرة) و ذلك للتحري عن الإصابة بهذا الفيروس بوقت مبكر ، تم استخدام اختبار التأق المناعي غير المباشر (IFA) للكشف عن مستضدات الفيروس بخلايا الدم البيضاء و اختبار الاليزا (ELISA) لكشف أضداد الفيروس. وكانت نسبة انتشار أضداد هذا الفيروس صنف IgG ، IgM عند مرضى زرع الكلية تساوي 100% و 11.8% على التوالي و كان هناك فرق معنوي عند مقارنتها مع النسب المستحصلة من مجموعة السيطرة و التي كانت 92.6% و 0.8% على التوالي. من جهة أخرى كانت نتائج الكشف عن مستضدات الفيروس بخلايا الدم البيضاء عالية (وبنسبة 80%) عند المرضى الذين كانوا يعانون من الإصابة الفعلية بهذا الفيروس بينما اظهر 30% منهم نتيجة موجبة للأضداد النوعية صنف IgG و نفس المجموعة المرضية كما أظهرت هذه الدراسة إمكانية الكشف عن مستضدات هذا الفيروس في خلايا الدم البيضاء قبل ظهور أو ارتفاع الأضداد بالمصل . كذلك أظهرت هذه الدراسة علاقة واضحة بين الإصابة الفعلية بالفيروس المضخم للخلايا و رفض الكلية.

### ABSTRACT

The prevalence of Cytomegalovirus (CMV) infection in 68 kidney transplant patient and 122 healthy persons (control group) were investigated for early diagnosis of active CMV infection by ELISA for detection of CMV antibody and IFA for detection of antigens in blood leukocytes. The prevalence of CMV IgG and IgM antibodies was 100% and 11.8% in kidney

transplant patients respectively. This found to be significantly different from that found in control group which were 92.6% and 0.8 % respectively. On other hand high percentage of CMV antigens was detected in blood leukocyte among (80%) of active CMV infected patients , while only 30% of the same group of patients were showing a positive titer of CMV IgM antibodies. In addition this study showed that CMV antigens in blood leukocytes were the first marker detected in active CMV infected patients and it were detected before any appearance or rising of CMV antibody in blood. Also, in this study a clear association was found between active CMV infection and renal allograft rejection.

## INTRODUCTION

Cytomegalovirus (CMV) is an important cause of morbidity and mortality in kidney transplant recipients and has bad influence on graft survival <sup>(1)</sup>. Demonstration of CMV in blood sample is particularly important because CMV viremia is considered to be a reliable marker for diagnosis of active CMV infection and has been shown to correlate well with significant CMV disease <sup>(2)</sup>. Both polymorphonuclear cells (PMNCs) and peripheral blood mononuclear cells (PBMCs) are good candidates for harboring CMV <sup>(3)</sup>.

The rapid confirmation of suspected CMV infection in this risk group is particularly important because it can provide the bases for reduction or change of immunosuppressive therapy or the administration of CMV hyperimmunoglobulin. However, the rapid diagnosis of active CMV infection presents a considerable problem in such patients because the virus specific antibodies response develops slowly. Seroconversion of CMV IgG antibodies and CMV IgM antibodies may remain undetectable for several weeks even by the most sensitive test system <sup>(4)</sup>.

The detection of CMV antigens can serve as a rapid diagnostic procedure and so eliminating the need to wait for the development of cytopathic effect. This study was conducted to investigate the level of type specific IgG and IgM antibodies in a comparison with the presence of CMV antigens in blood leukocytes. As this, would be useful to guide the initiation of antiviral therapy when needed. This is the first study in Iraq as regarding CMV infection in relation to kidney transplant patients.

## MATERIAL AND METHODS

### **Patients and control group: -**

Sixty-eight hospitalized patients were monitored serologically up to (6) months post transplantation, and all patients received standard immunosuppressive drugs consisted of cyclosporin, steroids and azathioprine.

Twenty of the above patients were studied to evaluate the utility of the presence of CMV antigens in blood leukocytes, in relation to serological and clinical data on CMV infection. In addition, (122) subjects not exposed to immunosuppressive drugs were tested as a control group and all of them without any evidence of active CMV infection.

### **Collection of blood sample: -**

Blood samples were collected from each subject included in this study. Serum then stored at (-20°C) in tightly closed capped tubes until tested by ELISA within two weeks.

For detection of CMV antigens in blood leukocytes, additional (3) ml of collected blood was placed in a sterile EDTA tube with mixing to avoid clotting for separation of PMNCs<sup>(5)</sup>.

Samples for all diagnostic procedures were obtained every month after transplantation.

### **Serological test: -**

Specific CMV antibodies (IgG and IgM) were determined as described in the leaflet of commercial kit (biokit, Spain). Then all positive cases of anti CMV IgM were tested for rheumatoid factor to eliminate the possibility of false positive due to the presence of rheumatoid factor.

### **IFA for detection of CMV antigens in PMNCs: -**

IFA staining was used for direct detection of CMV antigens with polyclonal antibodies<sup>(5,6)</sup>. Negative control was included in each slide for each run, which prepared from blood of a healthy that was examined by ELISA and gave negative results for both IgG and IgM CMV antibodies. A positive result giving apple green fluorescence while negative result did not show any fluorescence.

### **Statistical analysis: -**

Z test was used for detection of statistical significant difference<sup>(7)</sup>.

## RESULTS

Table (1) shows that the prevalence of CMV IgG antibodies was (100%) in kidney transplant patients and it is significantly different ( $p<0.01$ ) from that found in control group (92.6%).

Table (1): The prevalence of CMV (IgG, IgM) antibodies in kidney transplant patients compared with control group.

Groups	Total no.	Anti CMV IgG		Anti CMV IgM	
		+	(%)	+	(%)
Patients with rejection	46	46	(100)	7	(15.2)
Patients without rejection	22	22	(100)	1	(4.5)
Total	68	68	(100)	8	(11.8)
Control	122	113	(92.6)	1	(0.8)

On the other hand, highly statistically significant difference ( $P<0.01$ ) was found in the prevalence of CMV IgM antibodies between kidney transplant patients (11.8 %) and control group (0.8 %). However, CMV IgM antibodies was (15.2%) in patients with allograft rejection and it was significantly different ( $p < 0.01$ ) from that found in control group, while it was (4.5%) in patients without allograft rejection and had no difference from that found in control group and patients with allograft rejection.

Table (2) shows that an active CMV infection was detected serologically in (10) out of (20) patients, either by seroconversion of CMV IgG antibodies or any appearance of CMV IgM antibodies. However, all patients with active CMV infection were suffered from renal dysfunction. CMV antigens in blood leukocytes were detected in (8) out of (10) patients (80%) with active CMV infection. While only (1) out of (10) patients with non-active infection was positive for CMV antigens (10%).

Table (2): CMV antigens in blood leukocytes of kidney transplant patients with active and non-active CMV infection.

Group	Total no.	CMV antigens in blood leukocytes			
		+	(%)	-	(%)
*Active CMV infection	10	8	(80)	2	(20)
Non active CMV infection	10	1	(10)	9	(90)
Total no.	20	9	45.8	11	(54.2)

- Active CMV infection was detected serologically either by seroconversion of CMV IgG or any appearance of CMV IgM in blood.

There was a high prevalence rate for CMV antigens in blood leukocytes of (80%) patients with active CMV infection when compared with CMV IgM antibodies in (30%) of the same group. In this study CMV IgM antibodies was detected for as long as the patients was followed up. All positive cases had showed a low level of the titer of CMV IgM antibodies.

Regarding the rapidity of the different methods, the following results were obtained:-

First, the time required for the direct detection of CMV antigens in blood leukocytes usually yielded results within a short time (2-3 weeks) before any serological markers could be observed in patient serum.

## DISCUSSION

Recently, the time required for demonstration of infectious CMV in blood has been successfully reduced by using the rapid method that use monoclonal antibodies for detection of CMV Early antigens in cell cultures <sup>(8)</sup>. In this study the utility of using specific IgM polyclonal antibodies in direct detection of CMV antigens in blood leukocytes be investigated in relation with serological and clinical date. Correct demonstration of CMV by antigens staining in blood leukocytes was supported by serological tests during the same period. Significant difference of CMV IgG antibodies was

appeared between Kidney Transplant patients and the control group. This result indicated high prevalence of CMV infection among kidney transplant patients. The result of the prevalence of CMV IgM antibodies in this study are in agreement with several other studies, which indicated that the treatment of kidney transplant patients with immunosuppressive drug can lead to reactivation of latent CMV<sup>(9)</sup>. The titer of CMV IgM antibodies in the present study was still in low level that was in agreement with Rasmussen<sup>(10)</sup>. The deficiencies in synthesis of CMV IgM antibodies were associated either with severe CMV disease or may be related to the use of immunosuppressive drugs because the immunosuppressive combination that had been used commonly with kidney transplant patients can induce a profound suppression of cellular immunity as well as some reduction in antibody synthesis<sup>(10,11)</sup>.

Clear association was found between active CMV infection and renal dysfunction that may lead to allograft rejection because high prevalence of CMV IgM antibodies were found in patients with allograft rejection when compared with those without rejection. This result is in agreement with Lopez et al.,<sup>(12)</sup>. Detection of CMV antigens in blood leukocytes could be regarded as a good indicator for diagnosis of an active CMV infection (80 %) when compared with CMV IgM antibody (30%) in the same group.

In addition, CMV antigens were detected in blood leukocytes before any appearance or rising titer of antibody in sera. These findings are consistent with those other studies<sup>(5,13,14,15)</sup>. Possible explanation for negative results which were obtained in 20% of patients with active CMV infection may be due to a very short viremia period or a non systemic (local) infection<sup>(12)</sup>.

Previous results considered CMV antigens in blood leukocytes as a very useful early marker for CMV infection or CMV reactivation, which may not lead to systemic infection. This technique has certain advantages because the test is sensitive, easy to perform, and provides a result within seven hours. Lastly detection of CMV antigens in blood leukocytes is a useful diagnostic tool for proper management of kidney transplant patients when compared with serological markers.

## REFERENCES

- 1-Peterson P.K., Balfour J.r., Marker S.C., Fryd D.S. Howard R.J., Simmons R.L. Cytomegalovirus disease in renal allograft recipients. A prospective study of the clinical features, risk factors and impact on renal transplantation. *Medicine*, (59): 283 – 300. (1980).
- 2-Gadler H., Tillegard A. Groth C.G. Studies of Cytomegalovirus infection in renal allograft recipients. *J. Infect. Dis.*, (14): 81 – 7. (1982).
- 3-Einhorn L., Ost A. Cytomegalovirus infection of Human blood cells. *J. Infect. Dis.*, (149): 207-14. (1984).
- 4-Pass R. F., Griffiths P.P., Augest A.M. Antibody response to Cytomegalovirus after renal transplantation. Comparison of patients with primary and recurrent infections. *J. Infect. Dis.*, (147): 40 – 6. (1983).
- 5- Van Der Bij W., Schirm J., Torensma R., Van son W. J., Tegzess A. M., The T.H. Comparison between viremia and antigenemia for detection of CMV in blood *J. Clin. Microbiol.*, 26 (12): 2531 –35. (1988).
- 6-Gerna G., Reveno M.G., Percivalle E., Morini F.. Comparison of different immunostaining techniques and monoclonal antibodies to the lower matrix phosphoprotein antigenemia *J. Chin. Microbiol.*, (30): 1232 –37. (1992)
- 7-Daniel W.W. Biostatistics: a foundation for analysis in the health sciences. 3<sup>rd</sup>. Ed. USA. Pages: 161-205. (1983).
- 8- Paya C.V., Wold A. D., Smith T. F. Detection of Cytomegalovirus infections in specimens other than urine by the shell vial assay and conventional cell cultures *J. Clin. Microbiol.*, (25): 755 –57. (1987).
- 9-Dowling J. N., Saslow A.R., Armstrong J. A., Ho M. Cytomegalovirus infection in patients receiving immunosuppressive therapy for rheumatologic disorders *J. Infect Dis.* (133): 99 – 108. (1976).
- 10-Rasmussen L., Kelsall D., Nelson R., Carney W., Hirsch M., Winston D. , Preiksaitis J. , Merigan T. C. Virus specific IgG and IgM antibodies in normal and immunocompromized subjects infected with CMV. *J. Infect Dis.* 145 (2): 191 – 199. (1982).
- 11-Swanson M.A., Schwartz R.S. Immunosuppressive therapy: the relation between clinical response and immunologic competence. *N. Engl. J. Med.*, (277): 163 –70. (1969).
- 12-Lopez C., Simmons R. I., Maver S.M., Najarian J. S., Good R. A.. Association of renal allograft rejection with virus infections. *Am. J. Med.*, (56). : 280 –89. (1974)

- 13-Schirm J. , Timmerije W. , Van der bij W. , The T. H. Wilterdink J. B. , Tegzess A. M. , Van son W.J. , Schroder F. P. Rapid detection of infectious CMV in blood with the aid of monoclonal antibodies. *J. Med Virol.* (23): 31-40. (1987).
- 14-Tanobe K., Tokumoto T., Ishikawa N. Comparative study of CMV antigenemia assay, polymerase chain reaction, serology, shell vial assay in the early diagnosis and monitoring of CMV infection after renal transplantation. *Transplantation*, (64): 1721 -25. (1997)
- 15-Kraupp T. P. and Kunz C. Detection of CMV in clinical specimens by virus isolation and by a monoclonal antibody against the early nuclear antigen .*J. Med. Virol.*,( 24) : 275 -82. (1988).

## Preparation of Quality Control Solution for Hematology Tests

**Sameer .H.Cheead\* , Mussab .F.Omer\*\* , Enaam .M.Rasheed\*\***

\*Ministry of Industrial and Mineral /Al-Razee Center for Research and Production Diagnostic Kits

\*\*Ministry of Industrial and Mineral /Al-Razee Center for Research and Production Diagnostic Kits

\*\*\*Al- Mustansyria University /Collage of Science/Chemistry Department

### الخلاصة

يهدف البحث الى تحضير محلول Cyano hameglobin من الدم البشري بتركيز معين (قياسى) و الذى يستخدم ك محلول سلطة لثناء إجراء فحوصات الدم (قياس مستوى الهايموكلوبين) في المختبرات للتعرف على كفاءة هذه الفحوصات و إعطاء النتائج الدقيقة و تصحيح الانحرافات في النتائج بين المختبرات حيث ان لهذا محلول أهمية كبيرة في تتبع حالة المريض بصورة دقيقة و لكنه الاختلافات في نتائج الفحوصات المختبرية التي يشكوا منها الأطباء و المرضى على حد سواء و لكون هذه المادة مستوردة و إنتاجها حكر على شركات عالمية محدودة و لها تاريخ ثقافية و جبز و يتطلب حفظها بدرجة حرارة 4 °م أثناء نقلها من خارج القطر. لذا كانت الفكرة من إجراء البحث و إيجاد الطريقة المثلثة لتحضير هذه المادة محلياً و التي تتميز بمطابقتها لمواصفات و صفت من قبل منظمة الصحة العالمية . و لخدم بالتالي مسيرة السيطرة النوعية و تحقيق جزء من الأمان الدوائي في القطر.

### INTRODUCTION

In the hospitals and private laboratories for Hematology using materials and instruments for Hb measurement ,found that value of result difference from lab. To lab . so to control these laboratories for best result, world health organization ( WHO ) suggest the identical principles to prepare a control and stander solution used in laboratories to control the result of hematology test by hematology quality assessment program constituent of hemoglobin , white blood cells , red blood cells , MCV , MCH , MCHC, platelets <sup>[1]</sup> .

Every laboratory must ensure that the right patient is returned to right clinical at the right time. The quality control material is a substance used in routine practic for checking the concurreut performance of analytical process for instrument , it must be similar in properties to and be analysed along with patient specimens, it may or may not have a pre – assigned value<sup>[3]</sup>.

Hemoglolobin is a titramer made of two almost identical subunits . The function of hemoglobin is threefold : to transport CO<sub>2</sub> from the lungs to the tissues where it is consumed, to transport CO<sub>2</sub> from tissues where it is produced to the lungs, where it is epled, and to maintain the blood pH over a narrow rang.

The strucure of hemoglobin is designed so that it will pick up the maximum amount of oxygen at high oxygen tensions in the lung tissue and will deliver the maximum amount of oxygen in the oxygen consuming tissue.<sup>[4]</sup>

The purpose of this paper is to describe the method to prepare cyanohemoglobin solution which are used as a control solution far hemoglobin measurement according to WHO method. The blood used in this technique collected from blood bank ( the blood tested for HIV and HBV . only non infected blood should be processed ).<sup>[5]</sup>

### **Prepare of Reagents :**

I

(( Drabkin's solution ))

1. Potassium ferricyanide 0.9 gm .
2. Potassium Cyanide 0.05 gm .
3. Potassium Dihydrogen orthophosphate 0.149 gm .
4. Sterox SE 0.5 ml .
5. Cyanmethaemoglobin standered .
6. Distilled water 1000 ml .

II

i) Anti Coagulant solution :-

- Glucose 18 . 66 gm .
- NaCl 4.18 gm
- Citric acid Tri sodium salt 5 . 76 gm .
- D. W 1000 ml .

ii) Sterile saline ( 0.154 mol/ L )

iii) Sterile water :- D.W in 0-6  $\mu$  m glass filter .

**Preparation of Cyanohaemoglobin<sup>[6,2]</sup> :**

- Collect blood from a healthy donor into 3.2 % citrate solution ( 1.5 by volume )
- Centrifuge the blood and decant the supernatant plasma .
- Wash cells twice with NaCl ( 0.154 mol /L ) ( 1: 9 by VOL . ) and again twice with Nacl ( 0.2 mol / L ) 1: , BY VOL - )
- Add an equal volume of distilled water to the packed cell volume and add 0.4 volume of toluene .
- Stir cell suspension thoroughly and place it in the refrigerator for 12 hours .
- Centrifuge the mixture at high speed . Remove the toluene layr by section decant the red hemoglobin layer from the precipitated cell debirs .
- Filter the haemoglobin . Solution through a Jena glss G – 3 filter .
- Determine the haemoglobin conenteration by the ( Drabkin's Method ) .
- Dilute the haemaglobin with reagent solution . so that the desired concentration is 0.55 to 0.6 g/L .
- For sterilization ; the cyanhaemoglobin solutionis filtered through a 0 .22  $\mu$  m membrane filter under a septic condition and filled into 10 ml ampoules of brown borosilicate glass .
- The cyanohaemoglobin solution should be stable for 1 –2 year .

**RESULTS**

Date	Concentration Cyanohaemoglobin g/dl	Standard error
1 st weak	0.6	$\pm$ 0
2 ed weak	0.58	$\pm$ 0.02
3 ed weak	0.59	$\pm$ 0.01
4 <sup>th</sup> weak	0.6	$\pm$ 0
5 <sup>th</sup> weak	0.57	$\pm$ 0.03
6 <sup>th</sup> weak	0.59	$\pm$ 0.01
7 <sup>th</sup> weak	0.6	$\pm$ 0
8 <sup>th</sup> weak	0.58	$\pm$ 0.02

P <0.05 from t –test

## **DISCUSSION**

The result above is fite to the procedure which maintain in the WHO program and the P value is accepted by using t-test. The stability of the cyanohemoglobin were extend for tow years to checking up the expir date and the solution is very stable and qualified by the central health laboratory.

## **REFERENCES**

- 1) De cedie (N,Deom A, H,11 PG,sarkara AK et.al Haemoglobin method haemoglobircyanide, Methods recommended for essential clinical chemistry and haematological test for intermediate hospitals laboratory ,LAB/86.3, Geneva, WHO (1986).
- 2) Frei J, heack. C.C a production of basic diagnostic lab. reagent, WHO, P.P. 150-159. (1995).
- 3) R.M. ROWAN & J.M. ENGLAND Automation and Quality Assurance in Haematology. Black well scintific puplications. (1986)
- 4) GEOFFREY ZUBAY BIOCHEMISTRY vol. 1 . Wm. C. Brown Communications ; Inc. (1993)
- 5) Van Assendelft OW,Hoptz AM and lewis SM .Recommended method for the determination of Haemoglobin concentration of blood, WHO/ LAB/84.10, Geneva,WHO/ (1984 ).
- 6) Practical Hematology, Dacie & Lewis (1995) .

## Carbonic Anhydrase A Histochemical Substrate for Muscle fiber typing

HAKI. I. IBRAHIM AND THURAYA. K. FADHIL

HAMMAD SHHAB HOSPITAL

College of Scientific – Biology Department

### الخلاصة

هناك طرق عديدة لتأمين هذه الغاية ولكن معظمها غالى الثمن أو أن المواد المستخدمة قسم منها شحيح. عملنا في هذه الدراسة على أيجاد طريقة بسيطة وغير مكلفة وموادها متوفرة لغرض تأمين تلوين الالياف العضلية بما هذه الغاية من اهمية في تشخيص بعض امراض العضلات . ان الدراسة الحالية استهدفت تلوين انظيم الكاربونك (III) في الخلايا العضلية وقد لوحظ تواجده فقط في النمط الاول (I ) من الخلايا العضلية (الحمراء) وعدم وجوده في النمط الثاني (البيضاء) وبذلك يمكن استخدامه لتأمين الغاية.

### ABSTRACT

Fiber typing of the muscle plays important role in the diagnosis of various muscle diseases, many methods is available but either expensive or their materials are not available. So in this work, anew, less expensive method was used, using carbonic anhydrase enzyme for muscle fiber -typing. Carbonic anhydrase III isoenzyme was demonstrated histochemically in the muscle taken by biopsy . CA -III isoenzymes was demonstrated in type I muscle fibers mainly and not in type II. This technique can be used for muscle fibers typing

### INTRODUCTION

More than three centuries ago, muscle fibers were recognized to fall into types according to their characteristics. Much later, Romanul classified muscle fibers into three main groups: I, II & III, according to their utilization of glycogen, lipid metabolism, oxidative metabolism and their myoglobin content. A plethora of classifications appeared since then (1). They used acid and alkali pre-incubation, followed by padykula and Herman classical procedure for  $\text{Ca}^{++}$  activated Adenosine triphosphatase (ATP-ase) histochemical reaction. Their method of discriminating the two classes of muscle fibers and further subclassifying type II into II a, b & c.

has since became generally accepted. Type II c are normally not present in mature human muscle, but do occur in fetal muscle and under pathological conditions (2).

Other methods of fiber typing were those of (3,4) lastly the method employed by (1) using esterase against  $\alpha$ - naphthyl acetate which was general use in Al - Azzawi's lab, Department of Anatomy, University of Baghdad. In this pupilages it is tried to find a new mothed for fiber typing depending on carbonic anhydrous (CA) activity by using simple techniques with available cheep materials. Carbonic anhydrase (CA) shows  $\text{CO}_2$  hydration and / or hydroxylation in addition to an esterase and phosphates activities (5) that might have and important keyrole in combating insect of medical or economic importance. However there are at least four isoenzymes of CA (6,7). Thus for the above reasons the enzyme CA was chosen against it available cheep substrate, sodium bicarbonate. CA is a zinc metalloenzyme (8), cell membrane bound (9) with the exception of one of its isoenzymes namely CA - III (the cytoplasmic form). It is present in the cytoplasm of muscle fibers in this setting - up emphasis is made on the main fact that when the specific activity of a coenzyme increases, its susceptibility to inhibition by specific inhibitor increases. Consequently, the weakest co enzyme needs higher concentration of inhibitor. Acetazolamide (Daimox) is specific inhibitor for  $\text{CO}_2$  hydration hydroxylation activity of CA (10). Since CA - III is the weakest coenzyme, it will be the last one to be inhibited and need high concentration of acetazolamide. Thus it is tried to find the specific concentration of this inhibitor that can inhibit other coenzymes leaving the cytoplasm coenzyme (CA - III) that is more or less specific to muscle tissue. This novel procedure expectedly can give different shades of staining indifferent fiber types, i.e. anew method of fiber typing which might be of great value in applied histochemistry.

## MATERIALS & METHODS

Fresh frozen sections of normal muscles from both rat and man were used. They were subdivided into there groups. Groups I & II are controls, they were stained for SDH (11) and for ATP - ase as well (12) serially for routine muscle fibers typing.

Group III - were preincubated in serial incubation media containing  $10^5 \cdot M$ ,  $10^{-6} M$ ,  $10^{-7} M$ ,  $10^{-8} M$ ,  $10^{-9} M$ ,  $10^{-10} M$  of acetazolamide (Diamox, lederle, pearl, River, NY. 10965) for 15 minutes, then processed for CA staining using the modified (13, 14).

## RESULT AND DISCUSSION

Various degree of black discolouration was found in the Group III muscle fibers stained for carbonic anhydrase seen in the area of activity of CA enzymes (fig 1).

This activity is abolished by high concentration of Diamox (above  $10^{-6}$ M). But at concentration of  $10^{-8}$ M. The cytoplasmic form is left. Occasional black dots seen in the connective tissues and capillary- bed.

3 types of fibers can be recognized by this stain (Fig 1), one was dark black and this when compared with stain for SDH and ATPase was Type I. (fig 2,3)

And other was white (no reaction for CA)(fig. 1) and this was type II . (fig. 2,3) Another intermediate fibers take intensity of stain in between. (fig. 1)

The aim of this study was to find a chief, easily way of muscle fibers classification and typing . And carbonic anhydrase enzymes was tried , because it can a chief the aim .

3-4 Isozymes for this enzymes are present and our aim is to demonstrate the cytoplasmic form (Isozymes III) , which have the lowest activity. According to the fact proven by (10), the activity of all isoenzymes was inhibited by Diamox at concentration of  $10^{-8}$ M except the activity of the cytoplasmic isoenzymes (type III) since it possesses the weakest activity .

From the result of CA activity, we found it is high in type I muscle fibers which depend on oxidative enzyme for metabolism.

This mean that either CA-III may have oxidative activity, or due to its esterase or phosphate activity (5) with in the muscle fiber.

Low, or neglegable activity of cytoplasmic CA present in type II fibers that depend on glycogenolysis for their activity.

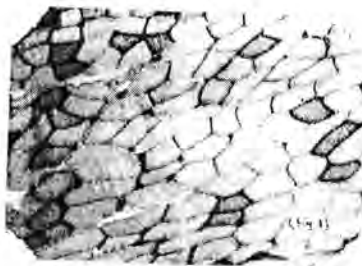


Fig 1 : section of muscle stained for carbonic anhydrase. Type 1 (deep).  
Type 2 (light)

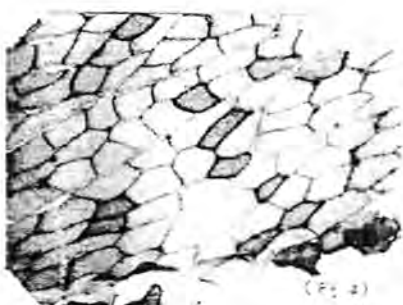


Fig II: serial section of muscle stained for SDH. Showing the same fibre types as in Fig. I.

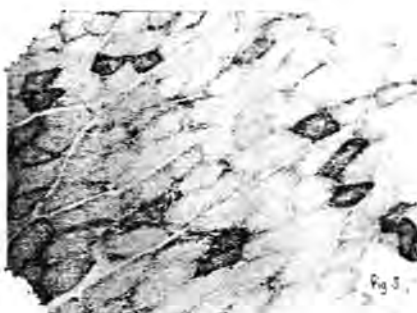


Fig III : serial section of muscle stained for ATPase. Showing the same fibre typing.

This mean that the cytoplasmic form of CA has no role in glycogenolysis and not needed by this type of muscle fiber's.

From all the above and what is in favour of our aim is the cytoplasmic form of CA is present in high concentration in type I muscle fiber and not in type II and in between in the intermediate fibers so can be used for muscle fibers typing.

**Abbreviation**

ATPase = Adenosine triphosphatase .  
CA = Carbonic anhydrase.  
SDH = succinate dehydrogenase.

**REFERENCES**

- 1- AL- Salhi AR. Histochemical studies in Duchenne muscular. MSc thesis (1988).
- 2- Dubowitz V. Histochemical aspects of muscle Disease in : Walton J, Ed Disorder of Voluntary muscles 4 th ed.; 261-295. (1981).
- 3- Mabuchi S, Sreter L. Muscle fibres types new tech. J Histochem cytochem; 13; 1160- 1165. (1980).
- 4- Lester MD, Keilin D, Kito S, Muscle fibre typing. Clin. Chem Acta; 13, 611- 630. (1982).
- 5- Mehana SH . Some histochemical studies on the choroid plexus of Rabbit. Msc thesis; 169- 170. (1986).
- 6- Maren TH. CA chemistry. Physiol Rev; 47, 595- 781. (1967).
- 7- Pullan LM, Noltmann EA. Discovery, Ann NY Acad sci; 429, 152- 164. (1984).
- 8- Keilin D, Mann J. CA purification . Biochem J.; 34, 1163- 1176. (1940).
- 9- Karler R, Woodburg DM. Intracellular distribution of carbonic anhydrase Biochem J.; 75, 538- 543. (1960).
- 10- Sanyal G. Comparative CO<sub>2</sub> hydration , kienetic and inhibition of CAisozymes Ann NY Acad Sci; 429, 165- 168(1984).
- 11- Nachlas MM, Tsou KC , Seligman AM. Cytochemical demonstration of SDH . J Histochem cytochem; 5, 420- 436. (1957).
- 12- Matano S, Ishii S. The fine structural localization of ATP- ase in the choroid plexus. J Electr Microscop; 22, 357- 359. (1973).
- 13- Brown, O. carbonic anhydrase localization stain Technol., 55, 115-118. (1980)
- 14- Haki IB. A histochemical study on zinc and zinc- metalloenzymes in some muscle disease. Msc thesis (1988).

## **Deep Atomic Binding (DAB) Approach in Interpretation of Fission Products Behavior in Human Body and Health Consequences**

### **ABSTRACT**

According to models used to predict health effects of fission products enter the human body, ci large number of fatalities, malignancies, thyroid cancer, born defects genic... .. etc.. But the actual data after Chernobyl and TMJ accidents, and nuclear detonations in USA and Marshal Islands, were not consistent with these models. *According to DAB, these data could be interpreted, and conflicts between former models predictions and actual field data explained.*

### **INTRODUCTION**

The movement of radionuclides from its source, within fuel cladding in-and ex-vessel, inside reactor containment, and in the environment has been studied for years, with the principal objective of tracing the routes by which they accumulate in the food chain and become available for human consumption

According to IAEA report on Chernobyl accident [IAEA —1996], no sustained severe impacts on populations or ecosystem have been observed, and a low risk was associated with the present radiation levels in most of the contaminated areas.

Of 7.1 Million resident of contaminated territories, it was expected by many predictive models, one of them is DOE [1988], 470 fatalities, due to leukemia. But to the year 1996, no consistent attributable increase has been detected either in the rate of leukemia or in the incidence of any malignancies in regions in which the levels of fallout exceeded 550 kBq/m<sup>2</sup>, other than thyroid carcinomas. Future increase over the natural incidence of all cancers

among the public would be difficult to discern [UNSCEAR-1993, WHO-1995, Eisenbud -1997, IAEA-1961].

Of 200.000 persons were responding to the Chernobyl accident during 1986 —1987 (liquidators), it was expected 200 fatalities due to leukemia (150 within 10 years), but nothing occurred [IAEA-1996]. 237 of the liquidators were admitted to hospital after they were suggested to suffering from clinical syndromes attributable to radiation exposure. 134 of them were diagnosed as acute radiation syndrome. 28 person of the 134 died as a consequence of radiation injuries within three months. 26 person (of the 28) associated with skin lesions that affected over 50% of the total body surface area. Although gastrointestinal damaged was a serious concern among 11 of them. Over ten years of the accident, 14 persons died, they were not directly attributable to radiation exposures. The other 2 deaths resulted of trauma [UNSCEAR-1993, WHO-1995, Eisenbud -1997, IAEA-1996].

The increases of thyroid cancer have been observed in children who were born before or within six months of the accident. The incidence of thyroid cancer in children born before more than six months of the accident drops dramatically to low level expected in unexposed population. To date, 3 children died. For the future: thyroid cancer incident is very difficult to predict. There is a major discrepancy between the number of thyroid cancer appearing in those who were children at the time of accident, and the predicted number of such cancers on the bases of standard thyroid dosimetry and current risk projection models. This difference may be result of several factors unique to the accident, which are not typically incorporated into standard models. The increase of incidence of thyroid cancer will most probably persist for several decades [UNSCEAR-1993, WHO-1995, Eisenbud-1997, IAEA.-1996].

This leaded Rohn [1995] to conclude after a pooled analysis of seven studies that "the thyroid gland in children has one of the highest risk coefficients of any organ. Also it has been shown that  $^{131}\text{I}$  is less effective in producing thyroid cancer than X-rays, with a carcinogenicity of  $^{131}\text{I}$  is no more than one third that of external radiation.

Studies in regions affected <sup>131</sup>I releases from Chernobyl accident suggest that thyroid cancer is occurring in children at a rate equivalent to that seen in other studies from external radiation [Beral-1996].

Over the following years of the accident the principle pathways by which humans were exposed were ingestion Of <sup>137</sup>Cs and <sup>134</sup>Cs in food especially milk and potatoes [UNSCEAR-1993, IAEA-1991, Eisenbud -1997, IAEA-1996]. Although the transfer for radionuclides from soil to milk of cows grazing on meadows varies by a factor of several hundreds [UNSCEAR-1993, Eisenbud-1997, IAEA-1996].

Pre-accident data on occurrence of abnormalities in farm animals have been analyzed, and comparisons have been made between the frequency of such abnormalities in clean areas and their frequency in areas contaminated by Chernobyl accident. No statistically significant increase in frequency in the contaminated areas has been noted [Alexakhin-1996].

Eye tissues of rats from the 30-km zone around Chernobyl have been studied using the eyes of intact rats of the same age from Odessa as controls. Significant changes have been found both in cellular elements of the tissues studies and in their extra cellular component of 30 km zone rats [Bushneva-1996],

Investigation of birth defect among animals revealed that the incidence of such anomalies in agriculture animals in non contaminated areas did not differ statistically from analogous from area contaminated by the Chernobyl accident [IAEA-1996].

After TMI accident, the doses from ingested radionuclides were less than that from external radiation [Eisenbud-1997]. Acting on the assumption that a major radioiodine release occurred, during (1-4) April potassium iodide was supplied (after 5 days of accident). Fortunately, there was no need fore it [Eisenbud-1997].

## 2. Data from Nuclear Weapons Tests

During the period 1960-1965 the U.S public health services conducted a study of resident who were children during the area of open-air weapon testing. The children were presumed to have consumed fresh milk, which would have been the major source of radioiodine. The highest exposures were assumed to have been in Washington county, Utah, and Lincoln county, Nevada. The results of the survey showed no elevation in neoplasms or other thyroid diseases among the more heavily exposed children [Eisenbud-1997].

After the thermonuclear weapons test of 1 March, 1954 in Bikini Island, the 23 fishermen exposed to fallout from this test were externally affected, Itching and burning sensation, and some of them. adiminution in white blood counts was marked. Internal effects were followed-up for 2 person, one died, after 6 month of exposure, of a liver diseases. the result of radio chemical analysis of his tissues were so low, less than 0.1—2 pCi/g, compared with radioactivity content of environmental samples 50Ci/m<sup>2</sup> in their boat. The second died 21 years later, radiochemical analysis of lung, liver, spleen, kidney, pancreas, and bone were negatively for two long lived nuclides of concern <sup>90</sup>Sr, <sup>239</sup>PU [Kumatori 980. able 1) represents radioactivity distribution in the second diseased person. This particularly noteworthy in view of the heavy deposition on their boat. Follow-up studies of the surviving fishermen were negative for 28 years post accident [Eisenbud-1997. SCOPE 28-88].

Table (1)  
Distribution of radio activity (pCi/g) in deceased man

Tissue						
Fraction	Nuclide	Liver	Kidney	Lung	Muscle	Bone
Ru + Te	<sup>108</sup> R + <sup>106</sup> Rh + <sup>129</sup> Te	<0.1	0.9	<0.1	0.2	2
Zr + Nb	<sup>96</sup> Zr + <sup>95</sup> Nb	1	1	0.4	0.3	2
Rare earths	<sup>141</sup> Ce + <sup>144</sup> Pr	2	1	0.5	0.5	20
Sr	<sup>90</sup> Sr + <sup>90</sup> Y	0.6	0.4	~0.1	<0.1	1

The nuclear weapons are extremely efficient killing, devastation, and incendiary devices. The deaths in Hiroshima and Nagasaki resulted in 20-30% of the cases from primary burns, 50-60% from mechanical injuries, secondary burns, and approximately 15% from the radiation injuries. 120,000 persons were killed outright in both cities. In Hiroshima and Nagasaki, 13 and 7 km<sup>2</sup> were destroyed respectively. The blastpressure wave caused a sever damage to structures at distance of 2-3km. Individuals who were close enough to ground zero, to receive a lethal dose of prompt nuclear radiation, were more likely to have been killed outright by the blast or thermal flash [SCOPE28-1988, Eisenbud-1997].

Among the Japanese atom bomb survivors, the incidence of leukemia reached a peak in the early 1950s, and returned to near normal by 1970. By 1987, half of the irradiated population is still alive, a total of 231 deaths from leukemia were reported among a study sample of about 93000 survivors who comprised the "life-span study". Of these cases 156 would have been expected in an unexposed population, leaving an excess of 75 due to radiation induction [Cember-1987, Eisenbud-1997, UNSCEAR,1993].

An excess of 30 cases of thyroid cancer has been reported among Japanese survivors [UNSCEAR-1993].

The 25-year experience of 1292 children who were in utero during bombings, were studied. Although the estimated dose received by part of them was about 2.5 Sv, no increase was found in the incidence of leukemia or other cancers during the first 25 years of life [UNSCEAR-1993, Eisenbud-1997].

The genetic effects of radiation have not been seen in irradiated human populations, even among the two large populations of the atom bomb survivors. Also, experiments with rats indicated that the genetic effects of radiation were less than had been believed, and the studies in Japan could find no genetic effects among the offspring of survivors of the atomic bombing. The data indicate that acute radiation effects to moderate doses has a negligible adverse, although the gonads doses are 0.4-2.5 Sv. So a shift of thinking took place and the cancer induction risk became the main concern of - health effects of ionizing radiation {UNSCEAR-1993, Eisenbud-1997}.

In Nagasaki, many individuals, were in the lower floors of earthquake proof concrete buildings, were survived with radiation-only injuries, although these buildings were 500m from the ground zero [Cramer anth4Slater-1993]

### **3. The aim of the New proposal**

The present assume that the ionization states of the new born atoms and the long term high temperature were not dealed with in an appropriate way and they were the reasons of former models failure (corsor, Oxidatirn release models. so he introduced a new approach to interpret F.P behavior which is the DEEP ATOMIC BINDING (DAB) based on the followings:

- 1- A new approach of ionization states of the fission newborn atoms called High Ionized Atoms (HIA).

According to this approach, the fission atom destroys completely, during fission process, due to the large energy released during the process, and differences in electrons binding energy between the initial, and final states released during the process which occurs via three stages The newborn atoms are highly ionized, 10-12 electrons associated with each nucleus as a result of electrons inertia.

The newborn atoms have a large probability to create bonds between them to form molecules. These bonds are at the L. or M shells, and it is called Deep Atomic Binding.

- 2- The molecules stay in the reactor at high temperatures for long periods, so they undergo many stages of composition and decomposition to form giant molecules.

According to DAB highly attached molecules and giant molecules are formed in the fuel material and released to the environment, as ordinary or accidental releases.

#### 4-(DAB) and Fission Products Behavior Models, A Comparison

According to the former models, radionuclides of F.P behavior in human body, is determined by the initial chemical form of the adionuclide entering the ecosystem. The behavior which has been found s that, a vertical movement in soil, plant uptake via foliage absorption and root uptake, and lastly transfer to, and metabolism in animals and humans. It is expected, according to these models, a very reactive chemical species moves according soil type and gradients, and high uptake ratios by plants, animals, and humans of the radionuclides. But, in contrast, deposition of F.P after Chernobyl accident was often in non-exchangeable forms. Iso a considerable fraction of deposited radionuclides was presented as insoluble in water or neutral solutions [SCOPE5O-1993].

These field observations from Chernobyl, are similar to others from other accidents, highlighted a fact that, there were no ordinary chemical elements, or compounds which undergo ordinary chemical reactions [SCOPE5O-1993], and stress the failure of former models and give an evidence to the priority of DAB to interpret this behavior with more reliability.

In the cases of animal, and human uptake of radionuclides, it is noticed that, a part of uptaked nuclides is absorbed within the body and remainder is released outside the body.

Despite of the efforts made by former models to use the chemical similarity between some nuclides with radionuclides, e.g. <sup>90</sup>Sr with Ca, and <sup>137</sup>Cs with K, to interpret and assess the quantities of these radionuclides absorption in animal and human bodies, the field observations are always against them. This is, in addition to the difference of absorption between different species, which they refer it to parameters not always understood [SCOPE5O-1993].

But if DAB criterion-which assumes a strong attraction between atoms in the molecule, and between the molecules in the giant molecule, make these molecules in non-exchangeable forms- is applied assuming the passive simple diffusion process in the gut, it is easy to understand all non-understandable issues. Then if particles enter the gut (with irradiation through passage), and diffuse through guts wall to blood vessels, the main parameter affect this diffusion is the size of particle. If it is equal or smaller than the gut wall entries,

it will pass to blood vessels, as the particle size is smaller, there is a possibility to reach many parts of the body with a rare ionic-exchange process. If it is of larger size, it will never go through guts wall, but release outside the body, with the only risk is irradiation through passing, like what was happened to Chernobyl 14 damaged gastrointestinal tract liquidators.

This explains the differences in measured biological half-lives of the nuclides, and the difference in radionuclide absorption between different animal species, e.g. mono- and poly - gastric animals, where the first is better absorber than the latter.

This also explains the milk contamination, that small particles may distribute in milk, when infants drink this milk it already have fine particles which will distribute in infant body and this is the case in small animals. During milk ingestion the contaminating radionuclides irradiate all parts of gastrointestinal tract and other organs, the most sensitive is the thyroid especially in babies who are below six months old. The radionuclides distribution differences in infants and very young animals may guide to different distribution behavior of nutrient nuclides in animals and humans.

## **RESULTS AND DISCUSSION**

1. According to DAB, the reactor accident radiological impact in the environment is reduced. The particles in the atmosphere will precipitate, in soil will stay in the upper layers, and in water will be sedimented, even during a major accident like Chernobyl. concerning radiation safety directly. Lastly the radionuclides will stay on soil surface and on sea bedrock as particles, and will never be available in ionic forms which reduces its mobility and then it is danger on living species. This also reduces the expected potential risk associated with nuclear energy industry, and, for faraway, the radiophobia.

Radiation protection measures during and after accident (e.g. evacuation of affected people, providing relief... etc) may be directed in a better way, and the expenses at these measures will be reduced.

2. According to DAB, we can differentiate between the chemical behavior of

F.P., irradiation products, and natural radioactive materials. The latest are the most easily to deal with, willie tile seconci is a little difficult arises when dealing with, whereas it is too difficult to deal chemically with F.P. Ignoring these differences in chemical behavior of deferent radionuclides is the most important reason of failure of the former models during F.P modeling in the laboratory.

3. As a result of the former comparisons and field observations, one may notice the high sensitivity of newborn babies, below six months, to radiation, and the difference between animals and humans metabolisms of nuclides.
4. Derived air concentrations, annual limits of intake, and biological Half-lives for radioactive materials should be revised.

## REFERENCES

1. Ajlouni,A.W., "DEEP ATOMIC BINDING HYPOTHESIS, a New Approach of Fission Prouducts Behaviors Interpretation",M. Sc.Thesis, Al Mustansirya Univ., Bagdad,Iraq. (2000).
2. Mexakhin,R.M Discussions During the mt. Conf. on: One Decade After Chernobyl, Summing Up the sequences of the Accident", Vienna, 1996, Dreicer,M., (principal auther), IAEA Publications. (1996).
3. Beral,V., "Thyroid Cancer Around Chernobyl", Proc. 32nd Annual meeting of the National Council on Radiation Protection Measurments, Bethesda, Maryland, April, 3-4. (1996).
4. Bushueva,N.N Discussions During the mt. Conf on: One Decade After Chernobyl, Summing Up the sequences of the Accident", Vienna, 1996, Dreicer,M., (principal auther), IAEA Publications. (1996).
5. CemberH "Introduction to Health Physics", 2nd Edition, 3rd Printing, Pergamon Press. (1987).
6. Cramer,S.N., Slater,C.O., "Investigation of Radiation Effects in Hiroshima and Nagasaki Using a General Monte Carlo-Discrete Ordinates Coupling Scheme", Nucl.SciEng., 114. (1993).
7. DOE: "U.S.D.O.E", "DOE Report on ChernobylImpacts", Nucl.Saf., 29.

- (1988).
8. EisenbudM Gesell,M., "Enviromental Radioactivity",4th edition, Academic Press, London. (1997).
  9. I-A. "Summery of the Results of the Int.Conf On: One Decade After (1996).
  10. Chernobyl, Summing Up the sequences of the Accident", Vienna, 1996, IAEA Publications, (1996).
  11. Ku-tori,T., Ishihare,T., Herashima,K., "Follow-Up Studies Over a 25-Year Period on the Japanese Fishermen Exposed to Radioactive Fallout in 1954", In: "The Media Basis for Radiation Accident Preparedness", international council of scientiflc union, Elsevier/North-Holland, NewYOrk, \*SCOPE-28, 1988. Scientific Committee on Problems of the Environment, "Environmental Consequences of Nuclear war" Vol. ; "Physical and Atmospheric Effects", 2nd Edition, John Wiley and Sons, Chichester, UK. (1980).
  12. scopE.50 "Rad(oecology after Chernobyl".Edited by Sir Fredrick Warner, and Roy Harrison. John Wiley and Sons. Chichester.UK. (1993).
  13. IJNSCEAR "Sources and Effects of Ionizing Radiation", United Nations, (1993).
  14. WHO, "Report on the Pilot Phase of the International Program on the Health Effects of the Chernobyl accident", World Health Organization, Geneva. (1995).

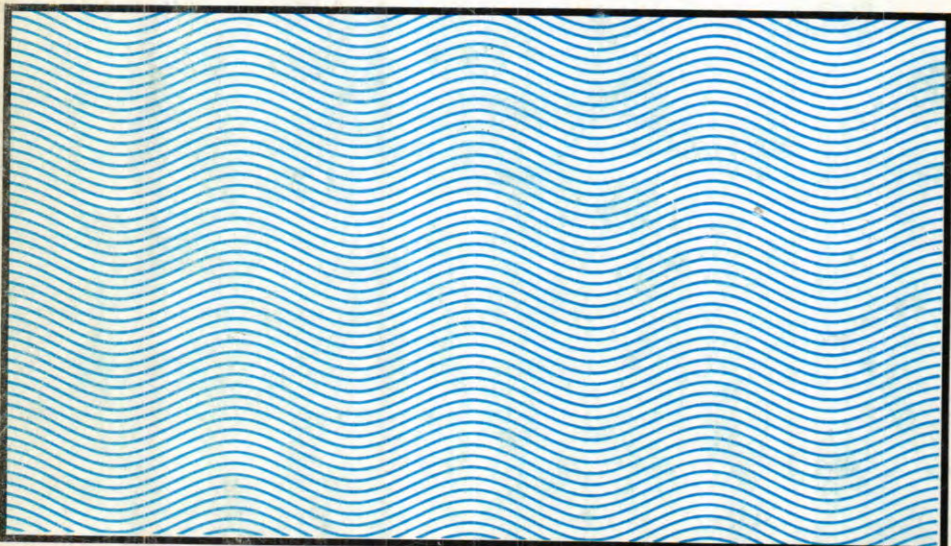


# مجلة علوم الحاسوبية

السنة ٢٠٠٤

عدد ٤

مجلد ١٣



تصدرها كلية العلوم بجامعة المستنصرية - بغداد - العراق

# مجلة علوم المستنصرية

مدير التحرير

الدكتور رضا ابراهيم البياتي  
استاذ-كيمياء

رئيس التحرير

الدكتور سعد محمود المشهداني  
استاذ-علوم حياة

## هيئة التحرير

عضو	د. رمزي رشيد علي
عضو	د. عبد العزيز مجید الكبيسي
عضو	د. قيس جميل لطيف
عضو	د. هاشم حميد جواد
عضو	د. محمود خالد الشمري

## المحتويات

رقم الصفحة	الموضوع
١	<b>تأثير مستخلصات اوراق نبات القات على فعالية انزيم الكوليون استريلز (ChE) في مصل دم الاسنان</b> منصور محسن محمد السدح، رضا ابراهيم حسين البياتي ، نزار احمد ناجي
١٣	<b>كفاءة عزلات محلية من خميرة <i>Candida utilis</i> في إنتاج الكتلة الحيوية والبروتين عند تتميّتها في وسط مخلفات الرز .</b> د. عبد الواحد باقر ، د. خالد عباس العبيدي ، نديم ميخائيل ، سرى خالد
٢٥	<b>نفحة كثافة عمود البوتاسيوم المتعادل في المادة ما بين النجوم مع الزيادة اللونية</b> د. ليث محمود كريم و د. هزار عبد الغنى يوسف الملاح
٤١	<b>تطوح الطاقة للأيونات الثقيلة في الأهداف الصلبة باستخدام النظرية الحركية، المتذبذب التوافقي ونموذج غاز الالكترون الحر</b> تضير جاسم محمد، خالد عبد الوهاب احمد، عبد الله احمد رشيد
٤٩	<b>دراسة تأثير المحاليل الحامضية على الخصائص الفيزيائية لمواد بوليمرية متراكبة</b> بلقيس محمد صياء و محمد سهام رشيد
٥٩	<b>استخدام أساليب الفروقات المحددة ذات النقاط التسع لحل معادلة الانتقال الحراري ذات البعد الواحد</b> خميده عبوده مزيان الحميدي و عبد السنار جابر على السيف

رقم الصفحةالموضوع

- ٧٧ استخدام صبغة الكونغو الحمراء في الوسط الزرعي لتسريع عزل وتنقية وتشخيص الاتواع التابعة لجنس *Azospirillum*  
خليل مصطفى خمس ، ندى زكي مهدي ، ليلى عبد الحميد سعيد
- ٩١ التحليل المناعي الاشعاعي باستخدام الطور الصلب للهرمون الذكري في مصل دم الذكور  
فلاح ح. الدفاعي
- ٩٧ تأثير الاشعة السينية على بعض مكونات دم المصورين الشعاعيين  
فلاح حسن الدفاعي ، محمد شمعي جبر
- ١٠٣ استخلاص وتنقية انزيم البنسيلينيز من بكتيريا *E.coli* المعزولة محلياً  
سعود رشيد العاني ، سوسن ساجد الجبورى ، ايلاف اسمامة المقدادي
- ١١٣ التاثير التثبيطي للسموم القاتلة المنتجة من خميرة *Saccharomyces cerevisiae* عند تتميّتها تحت ظروف بيئية مختلفة في نمو بعض انواع البكتيريا المرضية  
عبد الواحد باقر ، زيتب محمد ، رعد كاظم المصليح
- ١٢٣ دراسة تحليلية للعراض المرضية لداء التوكادريا الرئوي  
ابراهيم اسماعيل الشهد ، امال حسين سلمان التميمي وناهية عبد الحسين علي
- ١٣٥ دراسة بيئية وحياتية لذبابة البطل الزرقاء الاوربية  
نبيل عبد القادر مولود ، بشير عبد الله نصر الله ، بتول عبد الامير باقر

# تأثير مستخلصات اوراق نبات القات على فعالية انزيم الكوليون استريلز (ChE) في مصل دم الانسان

منصور محسن محمد السدح ، رضا ابراهيم حسين البياتي ، نزار احمد ناجي  
قسم الكيمياء - كلية العلوم - الجامعة المستنصرية بغداد - العراق

## ABSTRACT

In this study The effect of crude extract of catha edulis Forsk ( Qat Leaves ) on the activity of Acetyl cholinesterase and study the Effect of the crude showed re-activaton of inhibited Acetyl cholinesterase enzyme by eserine sulphate

## الخلاصة

تضمن البحث دراسة تأثير المستخلصات لاوراق نبات القات على فعالية انزيم الكوليون استريلز (ChE) في مصل دم الانسان . حيث اظهرت النتائج ان لمستخلص اوراق النبات بنوعيه الجاف والطازج تأثيراً منشطاً حيث تعمل على زيادة فعالية انزيم (ChE) . كذلك تم دراسة تنشيط الانزيم (ChE) بواسطة مادة سلفات اليسرين حيث اظهرت هذه المادة تنشيطاً غير تنافسياً للانزيم وتمت دراسة تأثير هذه المستخلصات على فعالية الانزيم المثبط حيث اظهرت هذه المواد اعادة تنشيط للانزيم في مصل دم الانسان .

## المقدمة

القات نبات دائم الخضرة طول شجرته ٢-١ م وقد يصل احياناً الى ٦ م اغصان القات خضراء اللون اسطوانية ومفلطحة قليلاً عند الاطراف ، الاوراق خضراء محمرة بسيطة التركيب ، ومتقابلة الترتيب في الجزء العلوي ومتعادلة الترتيب في اسفل الغصن ولها اذناب صغيران وعنق قصير والنصل بيضاوي الشكل وله قمة مستقيمة وحافة مسننة وفاغدة غير متماثلة وان تعرق الورقة شبكي الشكل . [١]

تأثير مستخلصات اوراق نبات القات على فعالية انزيم الكولين استريلز (ChE) في مصل دم الانسان  
منصور محمد السدح رجاعه

والقات يدعى باللاتيني ( كاثا أودليس فورسك ) Catha edulis forsk المنسوب الى عالم النبات السويدى فورسكال احد اعضاء بعثة نبئور الدانمركية الى اليمن بين عامي ١٧٦١ ، ١٧٦٧ وتزرع شجرة القات في كافة مناطق اليمن الزراعية فيما عدى سهل سهل تهامة في الغرب والجهات الرملية المنخفضة في الشرق وتكثر بصفة خاصة في المدرجات وعلى جوانب الاودية والسبل الجبلية [٢] [٣] .

ويمكن تعريفه باختصار كالتالي [٤][٥] .

الاسم الانكليزي : Arabian tea .

الاسم اللاتيني : Catha edulis Forsk .

الفصيلة : Celastraceae .

موطن النبات : اليمن والحبشة وال سعودية .

الجزء الطبي : الاوراق الخضراء الداكنة

## المواد وطرق العمل

تم الحصول على نبات القات من اليمن من محافظتي صنعاء واب وتم تجفيف الاوراق ظلياً ثم طحن الى مسحوق تحضير المستخلص المائي

تم استخدام (g) 250 من مسحوق اوراق نبات القات واضيف اليها (1L) من الماء المقطر بدرجة حرارة الغرفة . حرك المزيج باستخدام محرك كهربائي لمدة (١٢ ساعة ) ثم رشح واعيد غسله مرتين بالماء المقطر واجريت عليه نفس الخطوات اعلاه . جمعت الرواشح الناتجة من عمليات الغسل معا وتم تركيزها باستخدام التجفيف (Rotary Lyophilizer) واستخدام الماء المقطر كمذيب للمستخلص الجاف والطازج [٦]

## • تقدير فعالية انزيم الكولين استريلز

تم الحصول على نماذج دم الانسان (serum) من المتطوعين وكذلك بمساعدة المركز الوطني لنقل الدم في بغداد بعد تثبيت المعلومات حول العمر والجنس والحالة الصحية مع استبعاد النماذج الحاوية على كمية قليلة من الهيموكلوبين وتم تقدير فعالية انزيم الكولين استريلز كما يلي :

**المحاليل المستخدمة****المحلول المنظم (Buffer Solutions)**

تم تحضير المحلول المنظم phosphate buffer (pH= 7.3, 0.2M) وذلك بإذابة (2.89 gm) من ( $\text{NaH}_2\text{PO}_4, \text{Na}_2\text{HPO}_4$ ) في (100 ml) من الماء المقطر ثم عدلت pH باضافة بضع قطرات من حامض الفوسفوريك  $\text{H}_3\text{PO}_4$  وتم استخدامه مباشرة .

**-٢- الكاشف (Ellman's reagent ) DTNB**

تم تحضير الكاشف (DTNB) 0.001M (5,5-Dithio -2- nitrobenzoic acid ) (DTNB) (MW = 396.36 ) من (0.01 gm) وذلك باضافة (0.01 gm) من ال (DTNB) في ٢٥ml من الماء المقطر مع التحريك المستمر باستخدام التسخين وقد تم اضافة كمية قليلة من بيكربونات الصوديوم ( $\text{NaHCO}_3$ ) وذلك لضممان الذوبان التام ثم حفظ في قنينة معقنة بسبب حساسيته للضوء وحفظ في الثلاجة وقد تم تحضير هذا المحلول مرتين في الاسبوع [٧] .

**-٣- محلول المادة الاساس ( S- Acetylthio choline Iodide )**

تم تحضير محلول المادة الأساس وذلك بإذابة (Aschl MW=189.18) 0.01735gm من (Dalton) في 1ml من الماء المقطر حيث يتم تحضير هذا المحلول يومياً ويستخدم مباشرة.[7]

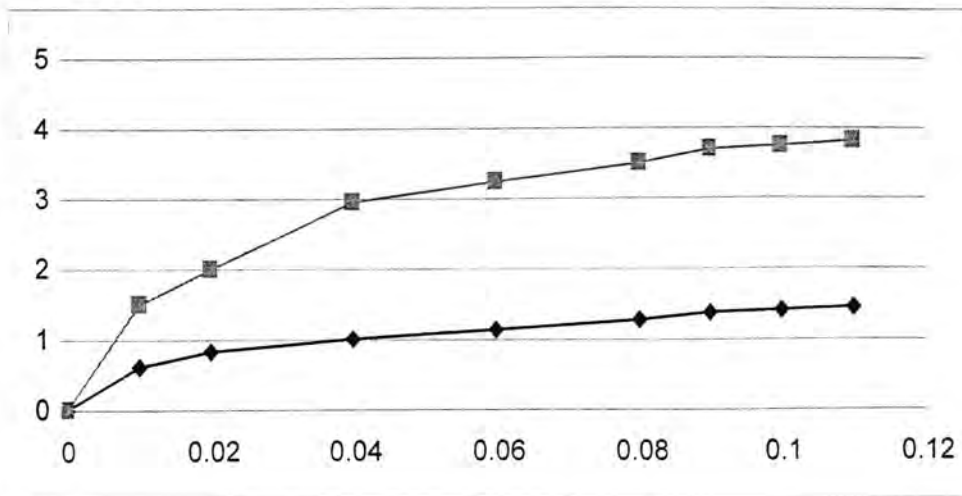
**طريقة العمل Procedure**

تم تعين فعالية انزيم الكولين استريلز (ChE) في مصل دم الانسان (Serum) باستخدام طريقة WHO المحورة كالاتي :-

١- وضع حجم (2.25 ml) من المحلول المنظم (PH = 7.2 – 7.4) في انبوبة اختبار واضيف له (50 $\mu\text{L}$ ) من محلول الكاشف (DTNB) و (10 $\mu\text{L}$ ) من مصل الدم . ثم مزجت المكونات باستخدام (Mixer) .

٢- تم سحب (2ml) من المزيج في (١) ووضعه في خلية القياس (3mm) ثم اضيفت (34  $\mu\text{L}$ ) من المادة الأساس (Aschl) بعد ذلك تم قراءة مقدار التغير في شدة الامتصاص للانزيم قبل وبعد اضافة المادة الأساس على طول موجي (430nm) لكل ثلات دقائق من تفاعل الانزيم والمادة الأساس وتم التعبير عن فعالية الانزيم على اساس تحلل (1  $\mu\text{mol}$ ) من المادة الأساس لكل 1 ml خلال ثلات دقائق ( $\mu\text{mol/ml/3min}$ ) [٨] .

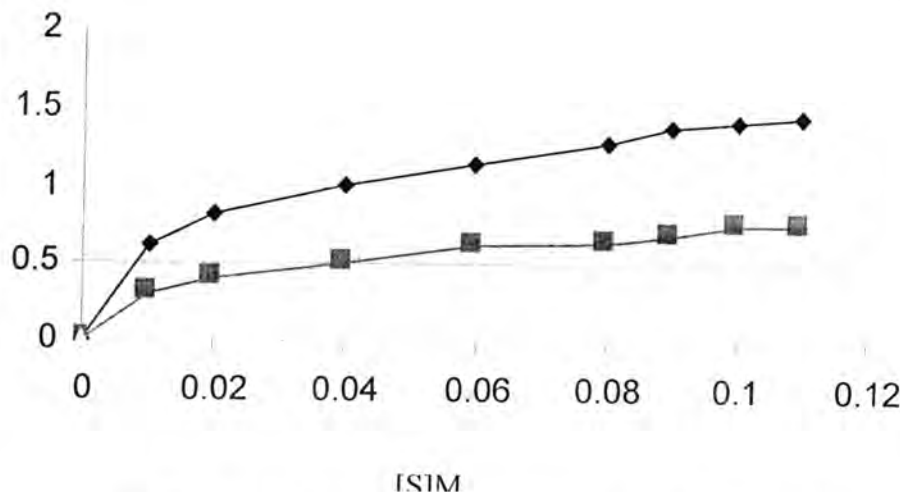
**تأثير مستخلصات اوراق نبات القات على فعالية انزيم الكولين استريلز (*ChE*) في مصل دم الاسنان  
منصور محسن محمد السدح ومحاسنة**



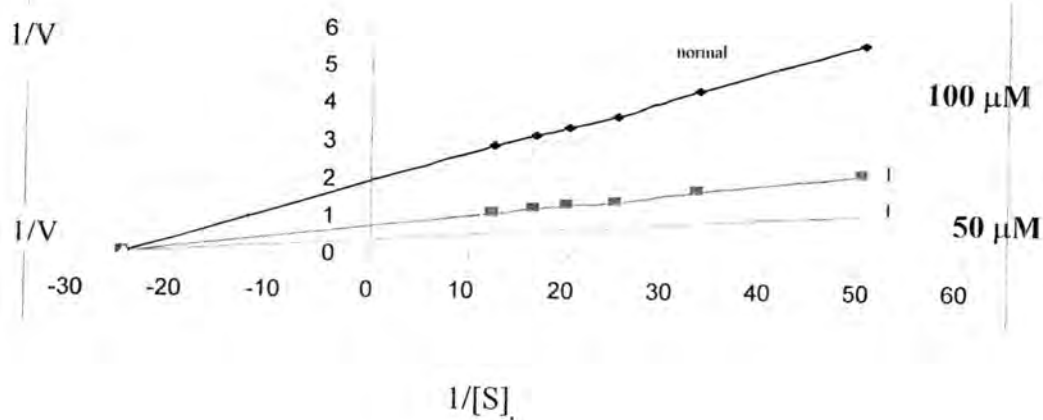
جدول (١) يوضح تثبيط انزيم (*ChE*) بواسطة Eserine sulphate

Inhibitor conc [M]	Enzyme activity $\mu \text{mol}/\text{ml}/3 \text{ min}$	Inhibition %	Recovery %
Nil	4.78	0	100
$4.7 \times 10^{-5}$	0.46	90	9.62
$4.7 \times 10^{-4}$	0.58	88	12.13
$4.7 \times 10^{-3}$	0.714	85	14.15
$4.7 \times 10^{-6}$	0.76	84.2	15.8
$4.7 \times 10^{-7}$	0.83	82.64	17.36
$4.7 \times 10^{-8}$	0.9	81.18	18.82

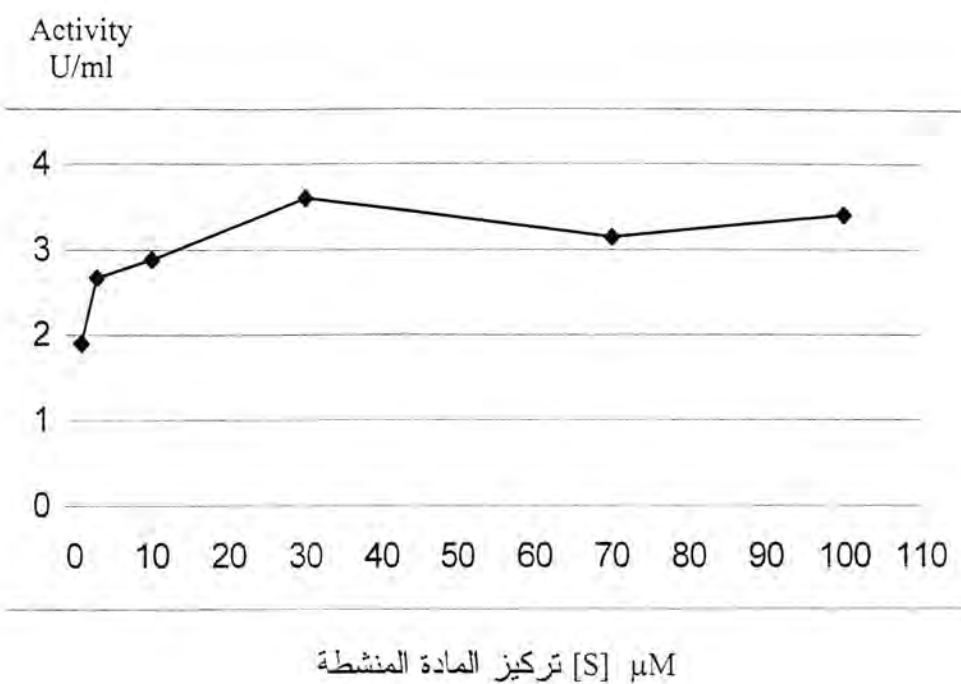
Activity  
U/ml



شكل رقم (٣) يوضح تأثير مادة eserine sulphate على فعالية إنزيم الكولين استريلز عند التركيزين (٥٠ و ١٠٠  $\mu\text{M}$ )



شكل رقم (٤) يوضح رسم ليونوفر بيرك لمادة eserine sulphate



شكل رقم (٦) يوضح تأثير المزيج المستخلص لاوراق النبات الجاف على  
فعالية انزيم الكولين استريلز المبطة بواسطة eserine sulphate

### المصادر

- ١- خالد العبيدي " القات كيميائيا وطبيا" جامعة صنعاء - اليمن - (١٩٦٩)
- ٢- عباس فاضل السعدي " تأثيرات القات الجسمية والنفسية في المجتمع اليمني " مجلة التراث  
الشعبي ، بغداد ٩٠١٠ ( ١٩٨٩ ) .
- ٣- محمد يحيى العشم ، احمد عوض مجاهد " بودرة القات " صنعاء - اليمن ( ١٩٨٨ ) .
- ٤- محى الدين رمضان ، فتحي محمد طاش ، ابو بكر القربي " تقييم الكاثين والكاثائين في  
القات " مؤتمر اليونسكو العربي لابحاث الكيمياء ، تونس ديسمبر ( ١٩٨١ ) . جامعة الدول  
العربية ، المنظمة العربية للتنمية الزراعية " النباتات الطبية والعلوية والسامة في الوطن  
العربي " دار مصر للطباعة ، الخرطوم ، السودان ( ١٩٨٨ ) .

- ٥- محمد علي الفاطمي " كيمياء الفات " مركز عبادي للدراسات والنشر ، صنعاء ، اليمن .(١٩٩٩)
- ٦- M.Ayoub , Isolation of Dehydrovaseine from P. harmala seeds .Iraq. Journal of chemistry vol (15) No .3,P.266-268 .
- ٧- I.A.AL.Rawi , R.M. Hebeeb and H.R.Rabbfat,J.Bulletin of Health Research , 28 , 73 (1987).
- ٨- M.Vandekar , WHO/VBS/78,692(1978).
- ٩- O.H.Lawry , N.J. Rosebrough, A.L.Faber and R.J. Randall; J. Biolog chem ; 139,265(1951)
- ١٠- E.Smith,R.Hill,I.Lehman , R.Lefkowitz;principles of Biochemistry – Mammalian Biochemistry 7<sup>th</sup> ed; Mc Graw –Hill, Inc.,London .(1983)

كفاءة عزلات محلية من خميرة *Candida utilis* في إنتاج الكتلة الحيوية والبروتين عند تمعيّنها في وسط مخلفات الزراعة الواحد بقفر وجامعةه

الكالاكوز ، الرافينوز ، السكروروز ، الأنيولين بنسبة ٢ % لكل منها . اجري الاختبار بعمل عالائق من الخميرة المراد تشخيصها بعد زرعها في وسط خلاصة البطاطا السائل ( Potato Dextrose Broth ) ، ثم حضنت بحرارة ٢٦ م لمندة ٤٨ ساعة ، أضيف ١٠ مل من العالق إلى أنبوبة الوسط التخميري الحاوية على السكر المراد فحصه والحاوي على أنبوبة درهم بشكل مقلوب ، حضنت لمندة ٤٨ ساعة بحرارة ٢٨ م ، ودل تغير لون الكاشف مع تجمع الغاز في أنابيب درهم على كون النتيجة موجبة .

وسط تجويع الخمائر استخدم هذا الوسط لمعرفة قابلية الخمائر على استهلاك السكريات المختلفة بطريقة الأقراص ، وحضر بذابة

١ غم اورثوفوسفات البوتاسيوم ( KH4PO4 ) ، ٥ غم كبريتات المغنيسيوم ( Mg2SO4 ) ، ٥ غم كبريتات الامونيوم ( NH4SO4 ) و ٢٥ غم اكار في لتر من الماء المفطّر ، وبعد ان ضبط الاس الهيدروجيني إلى ٦,٥ حم الوسط لمندة ١٠ دقائق بالموصدة بحرارة ١٢١ م ( تحت ضغط ١٥ اووند / انج<sup>2</sup> ) ، ثم صب في أنابيب اختبار معقمة بواقع ٤,٥ مل لكل أنبوبة . حضر عالق من الخمائر المراد اختبارها وذلك بأخذ نقلة واحدة بالناقل البكتريولوجي ( Loop ) من المستعمرات المنعة على الوسط الزراعي ( MEA ) إلى وسط ( PDB ) ، ثم حضنت بحرارة ٢٦ - ٢٨ م لمندة ٤٨ ساعة ، أضيف ١ مل من العالائق إلى الأنبوبة الحاوية على الوسط الزراعي بعد إذابته بحرارة

٤٥ م ، ثم صب في أطباق بتري . أخذت أقراص معقمة من ورق الترشيح نوع وتمان رقم ( ٦٠٤ ) بقطر ٥,٥ سم وغمّرت في محلول المشبع للسكر المراد اختباره ثم وضعت تلك الأقراص على سطح الوسط الزراعي وحضرن الطبق بشكل مقلوب بحرارة ٢٨ م لمندة يوم ، إذ أن نمو المستعمرات حول الأقراص يدل على النتيجة الموجبة .

### تحضير الاوساط التخميرية

حضر مستخلص السبوس بنسبة ٤ % مواد صلبة ذاتية كلية ، ثم حضرت أربعة أوساط تخميرية وكالاتي :

الوسط التخمرى الأول أحوى على مستخلص السبوس لوحده ( ١٠٠ % ) .  
الوسط التخمرى الثانى وتكون من ٥٠ % مستخلص السبوس و ٥٠ % مولاس البنجر السكري  
الحاوى على ٤ % مواد صلبة .

الوسط التخمرى الثالث وتكون من ٥٠ % مستخلص السبوس و ٥٠ % عصير التمر  
الحاوى على ٤ % مواد صلبة .

الوسط التخمرى الرابع وتكون من مولاس بنسبة ٤ % مواد صلبة لوحده ( ١٠٠ % ) .  
أضيفت اليوريا بنسبة ٣,٢ غم لكل ١٠٠ غم مواد سكرية ولجميع المعاملات.

### تشييط وتنمية العزلات

تم تشييط العزلات بأخذ جزء من نموها على الوسط الزراعي الصلب المائل (Slant) ( MEB ) ونقله إلى أنبوبة اختبار حاوية على ١٠ مل ملن وسط ( MEB ) ، حضنت بحرارة ٢٦-٢٨ م لمندة ٤٨ ساعة ، ثم نقل محتوى الانبوبة الى دورق زجاجي حاوي على ٢٥ مل من نفس الوسط واعيد حضنها تحت نفس الظروف لمندة ٢٤ ساعة أخرى ، نقل بعدها عالى ق الخميرة بعد انتهاء فترة الحضن الى دورق زجاجي حاوي على ١٠٠ مل من الوسط الزراعي المكون من ٧٥ % مستخلص ملن كل معاملة من المعاملات الأربع المحددة (على انفراد) مع ٢٥ % من وسط ( MEB ) بحيث تكون نسبة المواد الصلبة في الملوول النهائي ٤ % ، حضنت بعدها بحرارة ٣٠ م لمندة ٢٤ ساعة ، نقل بعدها النمو إلى دورق زجاجية حجم ٥٠٠ مل تحتوى على ٢٠٠ مل من الوسط الزراعي وحضنت بحرارة ٣٠ م لمندة ٤٨ ساعة مع التهوية المتكررة بجهاز الهزاز الكهربائي ( Electrical shaker )

### فصل الخميرة الناتجة وتقدير الكتلة الحيوية

تم فصل الخميرة الناتجة من عملية التفمية النهائية بفرسليها باستعمال جهاز الطرد المركزي نوع WIFUG, 500E LAB (centrifuges) بسرعة ٢٥٠٠ دورة في الدقيقة ولمدة ٥ دقائق ، إذ أمكن الحصول على الخميرة المترسبة بشكل عجيبة بعد إزالته الجزء السائل منها ، وزنت ( بالغرامات ) على أساس كونها خميرة مضغوطة .

### تقدير المحتوى الرطوبى

تم تقدير المحتوى الرطوبى للخميرة الناتجة اعتماداً على الطريقة الواردة في AACC ( ٥ ) .

### تقدير البروتين في الخميرة

تم تقدير نسبة البروتين في خلايا الخميرة الناتجة حسب طريقة مايكروكلدال الواردة في AACC ( ٥ ) .

### تقدير السكريات

ابعدت طريقة لين - ايتون الواردة في دلالي والحكيم ( ٦ ) وذلك بغلي ٥٠ غم من مستخلص السبس مع ٤٠٠ غم ماء في وعاء زجاجي سعة نتر لمدة ساعة مع التحريك المستمر وتعويض الماء المتاخر ، بعد تبريد المزيج نقل إلى دورق حجمي سعة ٥٠ مل وأكمل الحجم بالماء المقطر ، ثم رشح خلل ورق ترشيح واتمان رقم ( ١ ) ، بعدها أخذ ٠٠١ مل من الراشح ووضع في دورق حجمي سعة ٥٠٠ مل وأضيف إليه ٢ مل من خلات الرصاص القاعدية مع ٢٠٠ مل ماء مقطر ، ثم ترك الراشح لمدة ١٠ دقائق ، أضيف له بعدها ٢ مل من اوكيز الات البوتاسيوم وأكمل الحجم إلى العلامة بالماء المقطر ، رج محلول جيداً ثم رشح ، أضيف مادة اوكيز الات البوتاسيوم لنرسيب ايونات الرصاص غير المترسبة ، وبعد أن رج الراشح ثانية أخذ ٥٠ مل منه ووضع في وعاء زجاجي سعة ٥٠٠ مل ، ثم أضيف إليه ١٠ غ حامض الستريك ، رج جيداً وسخن حتى الغليان لمدة ١٠ دقائق لتحليل السكريوز ( إن وجد ) إلى سكريات محولة ، وبعد أن برد تمت معادلة الحامض بنقل الراشح إلى دورق حجمي سعة ٢٥٠ مل وإضافة قطرات من دليل الفينونفالين وتسريحه مع هيدروكسيد الصوديوم ( ٢٠ % ) حتى ظهور اللون الوردي ، بعدها أضيفت بضع قطرات من حامض

الهيروكلوريك ( ٢٠ % ) لحين اختفاء اللون الوردي ، ثم خففت محتويات الدورق بالماء المقطر حتى العلامة . اخذ ٢٥ مل من محلول فهلنك ووضع في دورق سعة ٢٥٠ مل وسحّ بال محلول السكري المحول والمتعادل لاختزال محلول فهلنك ، ثم مزجت محتويات الدورق جيدا وسخّنت حتى الغليان لمدة دقيقتان ، أضيفت ثلاثة قطرات من محلول المثيل الأزرق وأكمل التسخين حتى ظهور اللون البرتقالي المحمر ، سجل حجم محلول المسحّ ثم قورن مع الجدول الخاص بذلك للحصول على المكافئ الجدولي ( بالملغرامات من السكر المحول ) ، وباتباع المعادلة الآتية أمكن الحصول على نسبة السكريات المحولة .

$$\text{السكريات الكلية \%} = \frac{\text{التخفيف} \times \text{المكافئ الجدولي للسكر المحول}}{\text{وزن النموذج} \times \text{الحجم المسحّ}} \times 1000 \quad (\text{سكر محول})$$

### النتائج والمناقشة

#### نسبة وطبيعة السكريات في الأوساط التخمرية

يبين الجدول ( ١ ) نسبة المواد السكرية في الأوساط الزرعية المستخدمة في تتميم خماير التوريو لا المعزولة من المصادر المحلية ، حيث احتوى وسط خلاصة السيوس على أقل نسبة سكر ( ١,٢ % ) مكونة من سكريات احادية فقط مما يجعله اسهل استهلاكا من قبل الخماير قياسا بباقي الأوساط المحتوية على السكريات الثانية التي يجب تحويلها إلى سكريات احادية لتنتمكن الخماير من استهلاكها .

جدول ( ١ ) . طبيعة ونسب المواد السكرية والمواد الصلبة الذائبة الكلية ( TSS ) الداخلة كمواد أساس في الأوساط الزراعية المستخدمة لتنمية عزلات الخمائر المحلية .

نوع السكريات	المواد السكرية (%)	المادة الصلبة الذائبة الكلية (%)	نوع الوسط
أحادية	١,٢	% ٤	مستخلص السبوس ( % ١٠٠ )
أحادية وثنائية	١,٣٢	% ٤	مستخلص السبوس % ٥٠ مولاس % ٥٠
أحادية وثنائية	٢,١٠	% ٤	مستخلص السبوس % ٥٠ عصير التمر % ٥٠
أحادية وثنائية	٢,٣٢	% ٤	المولاس ( % ١٠٠ )

### تشخيص الخمائر

تم تشخيص عزلات الخمائر بكونها تعود للنوع *Candida utilis* وذلك اعتماداً على مستعمراتها التي ظهرت بعد تسمية الخمائر على الوسط الزراعي ( MEA ) بحرارة ٢٦ ° م ولمندة ٣ أيام بلون كريمي لزجة غير براقة . فيما تميزت خلاياها تحت المجهر بعد تصفيتها بصبغة كرام بيضوية منفردة أو ثنائية أو ثلاثية ومكونة للماسيلايا الكاذب ( Pseudomycelium ) ، لكنها كانت غير مكونة للاكياس البويغية ( Ascospores ) .

اما بالنسبة للفحوصات الكيموحيوية فيبين الجدول ( ٢ ) أن خمائر التوريولا المعزولة من السرز والشعير والتلمسان فتح معدة الخروف مصادر اخرى تمكن من تخمير سكر الكلوكوز والسكروز والرافينوز لكنها لم تخر سكري المالتوز والاكتوز ، فيما اعطت الخمائر المعزولة من السرز ومعدة الخروف تخمير ضعيف للاينولين ، بينما لم تتمكن بقية الخمائر من ذلك . ويلاحظ من الجدول أيضاً أن جميع العزلات تكانت من تمثل سكريات السكروز والرافينوز والمالتوز ما عدا العزلة ( DC 105 ) التي لم تتمكن من

تمثيل سكري الكلوكوز والمالتوز لكنها كانت قادرة على تمثيل الكالاكتوز والسكروز والرافينوز والانولين ، في حين لم تتمكن بقية العزلات من تمثيل الكالاكتوز . ونتيجة لذلك فإن عزلات الخمائر SH 111 ، AP 100 ، AY 104 ، BA 101 ، RI 107 ، KN 106 و DC 105 فتعدان إلى أنواع تعود إلى النوع *Candida utilis* ، أما العزلتين KN 106 و AY 105 فتعودان إلى أنواع أخرى .

جدول رقم ( ٢ ) نتائج الفحوصات الكيمويوية لتخمر وتمثيل المصادر الكاربونية من قبل عزلات الخميرة المعزولة من مصادر محلية .

تمثيل المصادر الكاربونية							تخمير المصادر الكاربونية							رمزها	مصدر العزلة
سكروز	رافينوز	انولين	البيولين	الاكتوز	مالتوز	كلوكوز	سكروز	رافينوز	انولين	البيولين	الاكتوز	مالتوز	كلوكوز		
+	+	+	-	+	+	+	+	+	W	-	-	-	+	RI 107	الوز
+	+	-	-	+	+	+	+	+	-	-	-	-	+	KN 106	رز مخمور
+	+	+	-	+	+	+	+	+	-	-	-	-	+	BA 101	الشعير
+	+	+	-	+	+	+	+	+	-	-	-	-	+	AP 100	التفاح
+	+	+	-	+	+	+	+	+	W	-	-	-	+	SH 111	معندة الخروف
+	+	+	+	-	-	-	+	-	-	-	-	-	+	DC 105	عجين الخبز
+	+	+	-	+	+	+	+	+	-	-	-	-	+	AY 103	مصادر أخرى

### إنتاجية عزلاتخميرة (*Candida utilis*) في وسط مستخلص السبوس

يبين الجدول ( ٣ ) إنتاجية عزلاتخميرة التوريو لا بعد تتميّتها في وسط مستخلص السبوس الحاوي على ٤ % مواد صلبة ذاتية والمدعم بالبيوريا بنسبة ٣,٢ % غم لكل ١٠٠ غم مواد سكرية . حيث أعطت العزلة RI 107 أعلى إنتاجية بلغت ٤٠,٧ غم خميرة / ١٠٠ غم مواد

كفاءة عزلات محلية من خميرة *Candida utilis* في إنتاج الكتلة الحيوية والبروتين عند تتميّتها في وسط مخلفات الرز عبد الواحد باقر وجماعه

سكرية ، ثالثاً العزلة 101 BA التي بلغ إنتاجها ٢٣,٦١ غم / ١٠٠ غم مواد سكرية ، أما العزلات AY104 و AP100 و SH 111 فكانت ذات إنتاج منخفض مقارنة بالعزلتين السابقتين وذلك عندما بلغت إنتاجيتها ٨,٢٦٢ و ٣,٨١٤ و ٣,١٦٦ غم خميرة لكل ١٠٠ غم مواد سكرية على التوالي . ونظراً لانخفاض كمية الكتلة الحيوية المنتجة من العزلات الثلاث الأخيرة فقد أهملت ولم يتم استخدامها في التجربة اللاحقة .

جدول ( ٣ ) إنتاجية العزلات المحلية من خميرة التوربولا عند تتميّتها في وسط مستخلص السبوس الحاوي على ٤ % مواد صلبة ذاتية كلية والبيوريا بنسبة ٣,٢ غم / ١٠٠ غم مواد سكرية.

رمز العزلة	كمية الخميرة (غم/١٠٠ جم وسط تخميري)	كمية الخميرة (غم/١٠٠ جم مواد سكرية)	نسبة المحتوى للفضبي (%)	المادة الصلبة الكلية المتبقية (%)
RI 107	٠,٣٩	٤٠,٧	٧٨	٢,٨
BA 101	٠,٢٢	٢٣,٦	٧٨	٢,٥
AY 104	٠,٠٨	٨,٢٦٢	٧٨	٣,٠
AP 100	٠,٠٤	٣,٨١٤	٨٠	٣,٠
SH 111	٠,٠٣	٣,١٦٦	٨٠	٣,٠

إنتاجية العزلتين المحليتين من خميرة التوربولا عند تتميّتها في اوساط مختلفة . بعد تتميّة عزلتي الخميرة RI 107 و BA 101 في الوسط الزراعي المكون من ٥٥ % ماء و ٤٥ % عزلتين محليتين ، حيث بلغت إنتاجية عزلة RI 107 ٠,٣٩ غم / ١٠٠ غم مواد سكرية على التوالي . أما من حيث نسبة البروتين فقد بلغت ١٣,٥٦ و ٣٥ % للعزلتين على التوالي ، يتبين في ذلك عند نمو العزلتين في وسط المولاس ١٠٠ % حيث كانت كمية الخميرة الناتجة ٥٤,٢٩٢ و ٥٨,٨٨ و ١٠٠ غم / ١٠٠ غم مواد سكرية ونسبة البروتين ١٥ و ٣٥ % للعزلتين 107 RI و 101 BA على التوالي ، وهذا يتفق مع ما جاء به العكيدى ( ١ ) ، وكما هو موضح في الجدول ( ٤ ) . وانتجت

العزلة RI 107 كمية كبيرة من الخميرة بلغ وزنها ٦٧ غم / ١٠٠ غم مواد سكرية عند نموها في وسط مستخلص السبوس ، إلا إن نسبة البروتين فيها كانت واطنة جدا ( ٩,٦ % ) ، والتي تعد منخفضة مقارنة ببقية المعاملات ويصعب استخدامها في الانتاج التجاري .

جدول ( ٤ ) إنتاجية عزلتي خميرة التوريو لا BA 101 و RI 107 عند تعميمهما في أواسط مختلفة حاوية على ٤ % مواد صلبة ذاتية كلية والليوريا ٣,٢ غم / ١٠٠ غم مواد سكرية .

الوسط التخميري	رمز العزلة	كمية الخميرة الناتجة (غم / ١٠٠ غم سكر)	نسبة البروتين (%)	محتوى الرطوبة (%)
مستخلص سبوس لوحدة ( ١٠٠ % )	RI 107 BA101	٦٧ ٢٣,٣	٩,٦ ١٩,١٨	٧٨ ٧٨
	RI 107 BA101	٦٣,٤ ٨٢,٠٧	١٣,٥٦ ٣٥	٧٨ ٧٨
مستخلص سبوس + % مولاس ( ٥٠ % )	RI 107 BA101	٤٣,٢ ٥٥,٥	١٤ ١٨,٣٧	٧٨ ٧٨
	RI 107 BA101	٥٤,٢٩٢ ٥٨,٨٨	١٥ ٣٥	٧٨ ٧٨

ويلاحظ من الجدول أيضا ارتفاع في كمية الخميرة المنتجة عند تعميم العزلتين RI 107 و BA 101 في الوسط المكون من ٥٥ % مستخلص السبوس و ٥٥ % عصير التمر ( الذي استعمل بدلا من المولاس للمقارنة ) ، وذلك عندما بلغت كمية الخميرة الناتجة ٤٣,٢ و ٥٥,٥ غم خميرة / ١٠٠ غم مواد سكرية على التوالي ، لكن نسبة البروتين فيها كانت واطنة ( ١٤ و ١٨,٣٧ % ) ، إذا يمكن الاستنتاج بأن المعاملة المكونة من خلط ٥٠ % مستخلص السبوس و ٥٥ % مولاس البنجر السكري هي أفضل المعاملات في انتاج . الكتلة الحيوية ونسبة البروتين التي يمكن استخدامها وانتاجها تجاريًا للتغذية كون مصدرها عزلات خماز محلية نامية على وسط أساس عبارة عن مخلفات صناعة الحبوب التي ترمى عادة مسببة التلوث للبيئة .

كفاءة غزلات محلية من خميرة *Candida utilis* في إنتاج الكتلة الحيوية والبروتين عند تسميتها في وسط مختلفات البرز  
عبد الواحد باقر وجماعاته

## REFFRENCE

1. العكيدى ، حسن خالد . التقنية الحيوية المايكروبية للتمور . ( ١٩٨٧ ) . المشروع الاقليمي لبحوث النخيل والتمور في الشرق الادنى وشمال افريقيا
2. Baqir,A.W.and Norris ,R.A.K. (1982) . Effect of nitrogen and phosphorus on production of single cell protein by *Candida utilis* propagated on corn cobs extract . Iraqi J. sci , 23 ( 4 ) : 593 - 598 .
3. Araulo , E.V. , Paclaa, D.B. and Graham , M.( 1976 ) . Rice Postharvest Technology , International Development Research Centre, Ottawa .
4. Lodder , J.(1970) The Yeasts: A Taxonomic study .2<sup>nd</sup>.ed . North – Holland Publishing Company – Amsterdam .
5. American Association of Cereal Chemists (AACC) .1995 -Approved Methods .Vol. I . 9ed
6. دلالي ، باسل كامل والحكيم ، صادق حسن ( ١٩٨٧ ) تحليل الأغذية / وزارة التعليم العالي و البحث العلمي

/ جامعة الموصل .

## علاقة كثافة عمود البوتاسيوم المتعادل في المادة ما بين النجوم مع الزيادة اللونية

د. ليث محمود كريم\* و د. هزار عبد الغني يوسف الملاح \*\*

\*قسم الفلك - كلية العلوم - جامعة بغداد

بغداد - العراق

### ABSTRACT

The relation between the neutral potassium column density  $[N(KI)]$  and the colour excess  $\{[E(B-V)]^2\}$  in interstellar matter is found in a dependence on more than one of this variable. Six relation is found describe curves of this relation, the most probable effective variables are the size of molecules which causes the scattering and also to the amount of radiation energy reaches us through the line of sight. Also, these relations are found correct for total hydrogen column density ( $N$ ). The anomaly appeared in (Sco - Oph) regions are due to following the liner relation in calculations by authors whereas they are proved wrong. Also the anomaly in ( $\rho$  Oph) star is proved happened because of little increase in the molecule dust size, the radiated energy reached us from the star or both. The multiplicity is found as the resultant so when the multiplicity is analyzed we found the value of  $\{[E(B-V)]^2\}$  decreased to a lower value, which is execute to related the relation to be liner with  $[N(KI)]$ .

### الخلاصة

تم التوصل إلى أن العلاقة بين كثافة عمود البوتاسيوم المتعادل  $[N(KI)]$  وبين الزيادة اللونية  $\{[E(B-V)]^2\}$  في المادة ما بين النجوم تعتمد على أكثر من متغير واحد، كذلك تم إيجاد ست علاقات تصف منحنيات هذه العلاقة وقد تبين أن المؤثرين الأكثر احتمالاً في هذه المنحنيات هما حجم جزيئات الغبار المسبب للاستطارة و كمية الطاقة الإشعاعية الواردة إليها، كما تم التوصل إلى أن هذه العلاقات هي صحيحة أيضاً بالنسبة لكثافة عمود الهيدروجين الكلي ( $N$ ). و من النتائج التي تم التوصل إليها هي أن الشذوذ الذي يظهر في منطقتي - (Sco - Oph) هو بسبب اتباع العلاقات الخطية في الحساب من قبل الباحثين حيث تم إثبات خطأ هذه

العلاقات، كذلك فان الشذوذ في النجم ( $\mu$ ) حاصل بسبب زيادة صغيرة في حجم جزيئية الغبار أو الطاقة الإشعاعية الواقلة إليها من النجم أو كليهما. كما توصلنا إلى ان التعديدية هي المحصلة فعند تحليل التعديدية نجد قيمة  $\{E(B-V)^2\}$  تتحفظ إلى قيمة أدنى مما يؤدي إلى ارجاع العلاقة إلى أن تكون خطية مع  $[N(KI)]$ .

### المقدمة

أستدل أولاً على الرنين المضاعف (λ7664,7698) لبوتاسيوم ما بين النجوم (KI) المتعادل من قبل دونهام<sup>(١)</sup> حيث تعذر في السابق الاستدلال عليها من خلال معيقات أطيف الأشعة تحت الحمراء بسبب حساسيتها الفقيرة للطبقات الفوتونغرافية الحساسة المستخدمة. لوتس<sup>(٢)</sup> قد حصل على أرصاد أقل تحليلًا لنجوم ذات مدى أكبر  $[E(B-V) > 0.6]$  صعوداً إلى (1.09) لكنه اعتمد منحنياً مفرداً للنمو ليتحقق العلاقة بين  $[N(KI)]$  و  $[E(B-V)]$  لكل نجم، وقد حاول البرهنة على وجود علاقة أسيّة (exponential) ناجمة عن اختلاف انطفاء الإشعاع نسبة إلى عمقه في سحب ما بين النجوم. ان راصدين آخرين مثل هيربك<sup>(٣)</sup> وكوهن<sup>(٤)</sup> و كروتشر<sup>(٥)</sup> قد سجلوا اضافات قليلة بقياسات (λ7698).

تم الاستدلال على مضاعف البوتاسيوم المتعادل (KI) الأكثر ضعفًا في منطقة (OPh λλ4044,4047) فقط من قبل شولمان و بورتولوت و ثاديوس<sup>(٦)</sup> و منطقة (Oph μ) من قبل كروتشر.

هوبس<sup>(٧,٨)</sup> قد حصر أرصاده على النجوم غير المحمّرة نسبياً العالية التحليل  $[E(B-V) < 0.60]$  وقد وجد ان  $\{E(B-V)^2\} \propto [N(KI)]$  و فسر النتيجة بدلالة توازن تغير التأين في السحب ذات الكثافة المتزايدة.

إن شافي و وايت<sup>(٩)</sup> قد استفادا من الإزاحة الحمراء المرافقة لحركة الأرض المدارية لحل خط (λ7664) من امتصاص غطاء الأوكجين الأرضي لأغلب نجوم المسح والتي نسبا  $[E(B-V) > 3.5]$  حيث حصل على قياسات خطية (KI) ثم استخدما طريقة النسبة المضاعفة لحساب كثافات العمود، وقد وجدا علاقات نسبة البوتاسيوم إلى سبب ذرية أخرى ونسبة إلى نسبة تواجد البيدروجين الجزيئي ونسبة إلى الأحمرار الذي تسببه المادة ما بين النجوم  $[E(B-V)]$  وهو ما يعرف بالزيادة التزئنية حيث وجدا ان

$$\left[ N(KI) \propto N^2 \right] \quad , \quad \left[ N(KI) \propto n^2 \right] \quad , \quad \left[ N(KI) \propto n_e^2 \right]$$

و  
العلاقة  
باعتراض  
ناد عا

$$N(KI) \propto \{E(B-V)\}^2$$

و

التي وجدتها بولين و آخرون (١٣).

$$\left( \frac{N(HI + H_2)}{E(B-V)} \right) = 5.8 \times 10^{21} \text{ atom cm}^{-2} \text{ mag}^{-1}$$

**النظريه:-**

- النظرية: -  
ان العلاقة كثافة عمود البوتاسيوم المتعادل مع كثافة الهيدروجين الكلي هي (١):-

**حيث:-**

**N(KI)** كثافة عمود البوتاسيوم المتعادل.

$N(HI+HII)$  الكلي وجين العدد كثافة.

نسبة التأهيل الشمسي لعنصر البوتاسيوم.

#### ٨. عامل استتراف البوتاسيوم.

نسبة الكثافة الالكترونية إلى تلك التي للكاربون.

٨٥ عاماً، استنف اف الكاربون.

٢٠١٥، إعادة التأسيس لعنصر البوتاسيوم.

ـ التأثير الضوئي الموضعي لعنصر البوتاسيوم.

(E/E') التي هي فوق التنسجي لعنصر البوتاسيوم.

١- لائحة كثافة عمود العبر و حين مع الزيادة اللونية هي (١٣) :-

$$\left\langle \frac{N(H_1 + H_2)}{E(B-V)} \right\rangle = 5.8 \times 10^{21} \text{ atoms cm}^{-2} \text{mag}^{-1} \quad \dots \dots \dots \quad (2)$$

و يتعويض معادلة (٢) بمعادلة (١) ينتج :-

$$N(KI) = 5.8 \times 10^{21} E(B-V) A_k \delta_k r A_c \delta_c \left( \frac{\alpha}{\Gamma_0} \right)_k \left( \frac{\Gamma_0}{\Gamma} \right)_k \quad (3)$$

إن هذه تختلف ما جاء به هويس<sup>(٤,٨)</sup> ومشاهداته المتتابعة<sup>(١١,١٠)</sup> والتي تكشف عن علاقة تربيعية تقريباً بين  $[N]$  والزيادة اللونية  $[E(B-V)]$  وقد فسرت النتيجة بدلالة توازن تغير التأين في السحب ذات الكثافة المتزايدة كما تختلف ما جاء به شافي و وايت<sup>(١٢)</sup> اللذان وجدا علاقة تربيعية أيضاً بين  $[N]$  و  $[E(B-V)]$  وقد فسراً الابتعاد عن هذه النتيجة هو بسبب التعددية في السحب وتحليل التعددية تقترب النتيجة من العلاقة التربيعية.  
نحن لا نخالف ما جاء به كل من هويس<sup>(١١,١٠,٩,٨)</sup> و شافي و وايت<sup>(١٢)</sup> لكننا سنظهر في هذا البحث أن الخطأ في معادلة<sup>(٣)</sup> لم يأت من الاشتغال الأولى للمعادلات ولكنه آت من علاقة<sup>(٤)</sup> التي أوجدها بولين و آخرون<sup>(١٣)</sup> حيث نرى بأن العلاقة بين  $[N]$  و  $[E(B-V)]$  ليست خطية كما في المعادلة<sup>(٧)</sup> ولكنها تربيعية عند قيمة  $[E(B-V)]$  الصغيرة وتأخذ قيمة ثابتة<sup>(N)</sup> عند قيمة الزيادة اللونية الكبيرة.

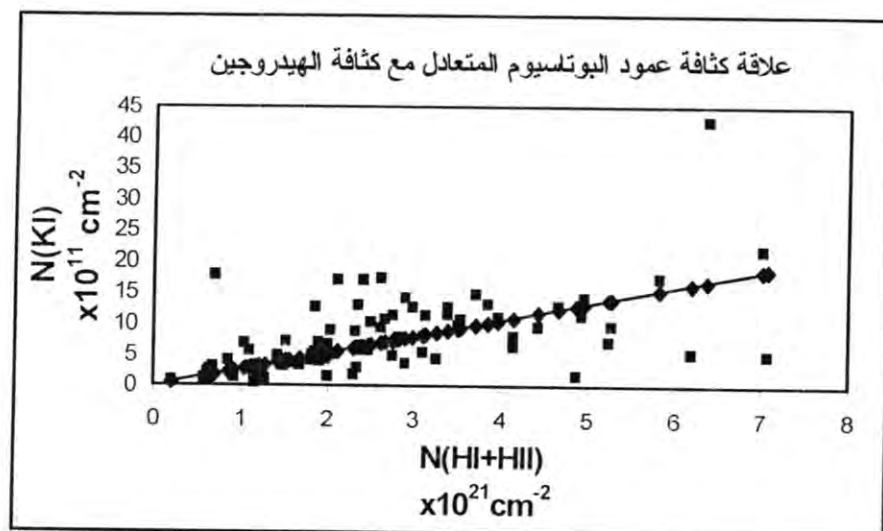
### الحسابات و النتائج

- ١- تم حساب قيمة  $[N(H_1+H_2)]$  من المعادلة<sup>(٢)</sup> لنجوم البرازيم حيث أخذ معدل قيمة الزيادة اللونية للنجوم من كريم و الملحق<sup>(١٥)</sup>.
- ٢- تم حساب قيمة  $[N(KI)]$  من المعادلة<sup>(١)</sup> باستخدام قيمة<sup>(N)</sup> المحسوبة من الفقرة<sup>(١)</sup> واستخدام قيمة الثوابت للمعادلة و كالتالي:-  
 أ. قيمتي<sup>(١٦)</sup>  $(A_K)$  و  $(A_C)$  هما  $1.5848 \times 10^{-7}$  و  $2.5118 \times 10^{-4}$  على التوالي.  
 ب. قيمتي<sup>(١٧)</sup>  $(\delta_K/\Gamma_K)$  و  $(r\delta_C/\Gamma_C)$  هما  $520.483 \times 10^{-3}$  و  $103.858$  على التوالي.  
 ج. قيمتي<sup>(١٨)</sup>  $(\alpha)$  و  $(\Gamma)$  للبوتاسيوم هما  $6.6 \times 10^{-12} s^{-1}$  و  $77^{\circ}K$  عند  $54 \times 10^{-12} s^{-1}$  على التوالي.
- ٣- تم رسم علاقة بين قيمة  $[N(KI)]$  المحسوبة من الفقرة<sup>(٢)</sup> و قيمة<sup>(N)</sup> المحسوبة من الفقرة<sup>(١)</sup> و كما في الشكل<sup>(١)</sup> و الذي يمثل العلاقة النظرية بين قيمة  $[N(KI)]$  و قيمة<sup>(N)</sup>. وقد رمز لل نقاط بالمعينات المغلقة.

٤- تم رسم العلاقة بين قيم ( $N$ ) المحسوبة بالفقرة (١) و قيم [ $N(KI)$ ] المأخوذة من شافي و وايت<sup>(١٢)</sup> لنجم البرنامج -بعد حساب المعدل لقيم [ $N(KI)$ ] للنجوم التي لها أكثر من مركبة واحدة- في الشكل نفسه رقم (١) لمقارنة النتيجة العملية مع النظرية و قد رمز للنقاط بالمربعات المغلقة.

٥- نلاحظ من المنحني على الرغم من تناقض النقاط حول الخط النظري فإن هناك نجوماً تبتعد عن هذا الخط مثل النجم (HD194839) وهو من نجوم منطقة (Cyg) والنجم (HD217490) وهو من (HD147889) وهو من نجوم منطقة (Oph) والنجم (HD224055) وهو من نجوم منطقة (Cas) نجوم منطقة (Cep) والنجم (HD36861) وهو من نجوم منطقة (Cam) والنجمين (HD21291) و هما من نجوم منطقة (Ori) والنجم (HD411179)

شكل (١): يبين علاقة كثافة عمود البوتاسيوم المتعادل مع كثافة عمود الهيدروجين للنجوم



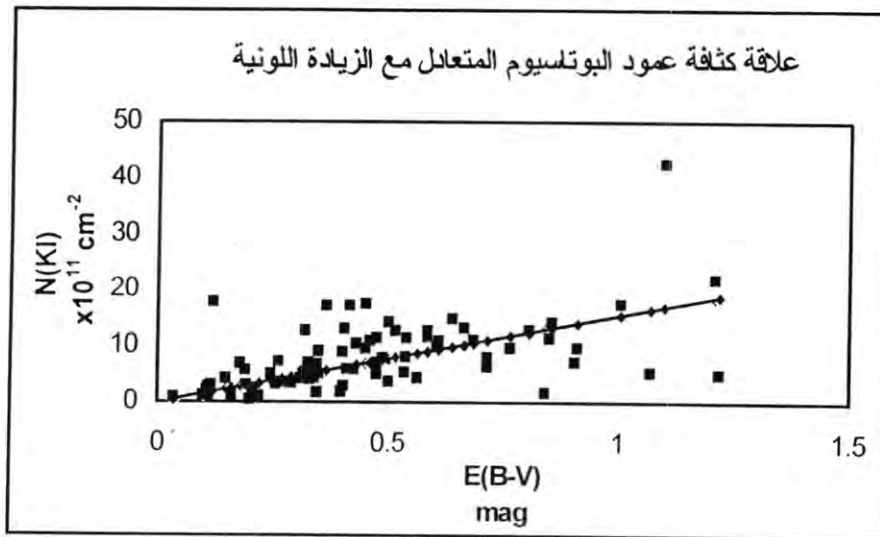
علاقة كثافة عمود البوتاسيوم المتعادل في المادة ما بين النجوم مع الزيادة اللونية  
ليث محمود كريم و هزار عبد الغنى يوسف الملحن

(HD42087) و هو من نجوم منطقة (Gem). قبل الخوض في مدى شذوذية هذه النجوم عن القاعدة وسيبيها سوف نرسم أربعة منحنيات الأول لعلاقة  $[N(KI)]$  مع  $[E(B-V)]$  (شكل ٢) و الثاني لعلاقة  $[N(KI)]$  مع  $\{E(B-V)\}^2$  (شكل ٣) ان الشذوذ الذي يظهر بالمنحنى هو بسبب التعديبة حيث عند تصحيح التعديبة تصبح العلاقة صحيحة. أما الرسم الثالث فهو لعلاقة  $[N(KI)]$  مع  $\{E(B-V)\}^2$  لمساحة محدودة من الفضاء وهي التي تضم المنطقتين المجاورتين (Per - Cas) (شكل ٤)، تم اختيار هاتين المنطقتين لأنهما تشملان العدد الأكبر من برنامج نجومنا، والمنحنى الرابع هو لعلاقة  $(N)$  مع  $\{E(B-V)\}^2$  (شكل ٥) ان هذا الرسم سيبين لنا علاقة  $(N)$  مع الزيادة اللونية  $\{E(B-V)\}^2$ .

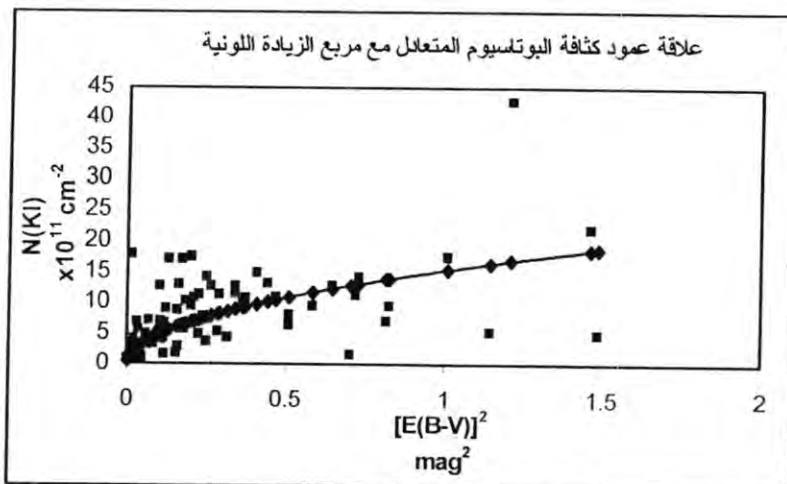
٦- تم رسم علاقة بين قيم  $[N(KI)]$  لشافي و وايت<sup>(١٢)</sup> و معدل الزيادة اللونية  $[E(B-V)]$  من كريم و هزار<sup>(١٣)</sup> كما في الشكل (٢)، كما تم رسم العلاقة النظرية والتي تمثل خطًا مستقيماً من قيم  $[N(KI)]$  المحسوبة بالفقرة (٢) و قيم  $[E(B-V)]$  المقابلة لها، ان النتيجة هنا لا تختلف عن النتيجة الظاهرة من المنحنى السابق بالنظر إلى كون قيم  $(N)$  في المنحنى السابق هي دالة لـ  $[E(B-V)]$  حيث تم حسابها من معادلة (٦).

٧- لأجل المقارنة بين معطيات البيانات الرصدية المأخوذة من شافي و وايت<sup>(١٢)</sup> والقيم المحسوبة للبوتاسيوم المتعادل  $[N(KI)]$  تم رسم منحنٍ بين قيم  $[N(KI)]$  الرصدية وقيم  $\{E(B-V)\}^2$  و كما

شكل (٢): يبين علاقة كثافة عمود البوتاسيوم المتعادل مع الزيادة اللونية



مبين بالشكل (٣)، كما تم رسم المنحنى النظري للعلاقة من قيم  $[N(KI)]$  النظرية المحسوبة من الفقرة (٢) وقيمة  $[E(B-V)]$  على نفس الشكل (٣)، نلاحظ من هذا الشكل بالرغم من وقوع أغلب النجوم مع



شكل (٣): يبين علاقة كثافة عمود البوتاسيوم المتعادل مع مربع الزيادة اللونية

ليث محمود كريم و هزار عبد الغنى يوسف الملاح

المنحنى النظري إلا أن نفس النجوم أعلاه ما زالت مبتعدة عن الخط على الرغم من ان أغلب هذه النجوم لها عدة مركبات (تعددية) مما يجعلها تقترب من الخط عند حل هذه المركبات، إلا ان مازال هناك بعض النجوم تقف جانباً من هذه العلاقة كالنجم (HD36861) الذي هو من مجموعة (Ori) و الذي يملك مركبة واحدة غير قابلة للتحليل<sup>(١)</sup> و كذلك النجم (HD147889) و الذي هو من مجموعة (Oph) و الذي يملك مركبة واحدة أيضاً و الذي يظهر بعدها جداً عن المنحنى المرسوم. و كما في السابق سوف نوجل تفسير هذا الشذوذ حتى نكمل رسم المنحنيات أعلاه. كما ان هذا المنحنى يظهر ان العلاقة بين  $\{E(B-V), N(KI)\}$  هي علاقة خطية عند قيم  $E(B-V)$  الواطنة في حين انها غير خطية عند قيم  $E(B-V)$  العالية.

٨- تم رسم العلاقة بين  $\{N(KI), E(B-V)\}$  للمساحة الفضائية المحددة بالمنقطتين المجاورتين (Per - Cas) كما في الشكل (٤) وذلك لتقريب أو تشابه المؤثرات التي تؤثر على شكل المنحنى حيث أخذت قيم  $N(KI)$  من شافي و وايت<sup>(٢)</sup> و معدل قيم  $E(B-V)$ <sup>(٣)</sup> من كريم و الملاح<sup>(٤)</sup>. وقد تم إجراء ما يأتي:-

أ- تم تعين الإحداثيات الاستوانية لكل نجم (R.A. and δ).

ب- تم رسم منحنيات بين موقع النجوم الأقرب إلى بعضها في مستوى السماء حيث رمز نجوم المنحنى الأول بالمثلثات المغلقة و نجوم المنحنى الثاني بالنجوم و نجوم المنحنى الثالث بالدوائر المفتوحة و نجوم المنحنى الرابع بالدوائر المغلقة و نجوم المنحنى الخامس بعلامة الزنك.

ج- في حالة وجود أكثر من نجم متقارب رسم المعدل لها.

يظهر من المنحنيات العلاقات التالية:-

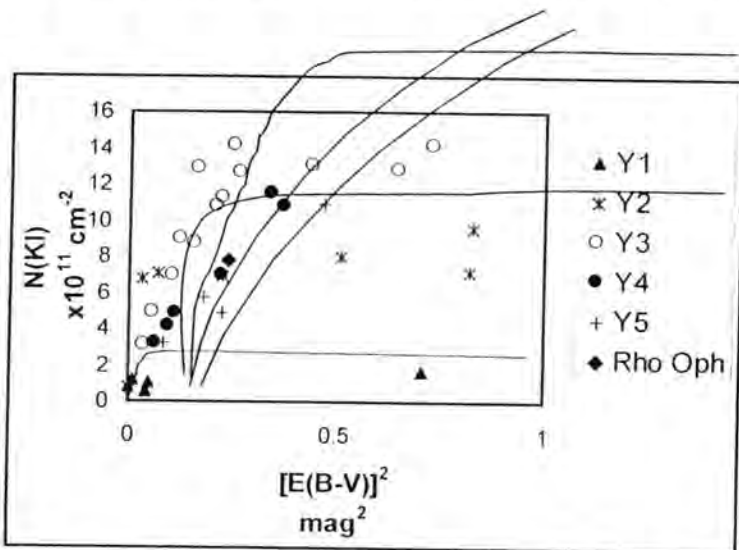
في حالة الرمز للمتغير الذي يؤثر ويؤدي إلى تغير المنحنيات بالرمز (Y) حيث سيتم تعريف الرمز (Y) فيما بعد فان:-

أولاً:- عند ثبوت قيمة (Y) فإن  $[N(KI)]$  تتناسب مع  $\{[E(B-V)]^2\}$  عند القيم الصغرى لـ  $[E(B-V)]$  وتساوي قيمة ثابتة عند القيم العليا لـ  $[E(B-V)]$ .

ثانياً:- بزيادة قيمة (Y) فإن قيمة  $\{[E(B-V)]^2\}$  الصفرية تتجه نحو اليمين و الذي يؤدي بدوره إلى تفاضع المنحنيات.

ثالثاً:- عند زيادة قيمة (Y) تزداد قيمة  $\{[E(B-V)]^2\}$  التي يبدأ بها المنحنى بالثبات.

رابعاً:- ان آية زيادة بقيمة  $[N(K)]^2$  تؤدي إلى زيادة قيمة  $\{[E(B-V)]^2\}$  و ليس العكس صحيحًا حيث عند  $[E(B-V)]$  العالية تزداد قيمة  $\{[E(B-V)]^2\}$  مع ثبوت  $[N(K)]$ .



شكل (٤): يبين علاقة كثافة عمود البوتاسيوم المتعادل مع مربع الزيادة اللونية للمساحة الفضائية المحددة بالمنطقتين المجاورتين (Cas - Per)

خامساً:- ان النجم قد يمر بأكثر من منحن واحد و الذي يكون عند نقطة تقاطع المنحنيات في هذه الحالة فان:-

$$Y_1 = Y_2 = Y_3 = \dots$$

والذي يدل على وجود اكثر من متغير في هذه العلاقة أي ان:-

$$Y \propto A B C \dots$$

وعليه وفي الحاله أعلاه فان:-

$$A_1 B_1 C_1 = A_2 B_2 C_2 = A_3 B_3 C_3 = \dots$$

سادساً:- في حالة اعتماد (Y) على متغيرين فقط عند نقطة تقاطع المنحنيين يكون:-

$$A_1 B_1 = A_2 B_2$$

علاقة كثافة عمود البوتاسيوم المتعادل في المادة ما بين النجوم مع الزيادة اللونية  
ليث محمود كريم و هزار عبد الغنى يوسف الملحق

ان المؤثرين الأكثر احتسالا في حالتنا هذه هما حجم جزيئه الغبار المسبب للاستطارة والذي  
سنرمز له بالرمز (V) وكمية الطاقة الإشعاعية الوالصلة إلينا بعد مرور الإشعاع خلال السحابة  
التي سنرمز لها بالرمز (E) :-

بالنسبة لحجم الجزيئه فإنه يساوي :-

$$V = \frac{4}{3} \pi a^3$$

حيث (a) نصف قطر الجزيئه (هذا في حالة كون الجزيئه كروية).

أما بالنسبة لكمية الطاقة الإشعاعية الوالصلة إلينا فانها في حالة عدم وجود سحابة<sup>(١٧)</sup> تساوي :-

$$E_* = \frac{R_*^2}{r_*^2} \sigma T_*^4 = \frac{R_*^2}{r_*^2} W$$

حيث :-

E\_\* كمية الطاقة الإشعاعية الوالصلة إلينا في حالة عدم وجود سحابة.

R\_\* نصف قطر النجم.

r\_\* بعد النجم عن الشمس.

$\sigma$  ثابت ستيفان - بولتزمان.

T\_\* درجة حرارة النجم المطلقة.

W كثافة الطاقة الإشعاعية للجسم الأسود.

أما في حالة مرور شعاع النجم خلال سحابة تحتوي على حبيبات درجة حرارة الحبيبة الواحدة  
المطلقة ( $T_g$ ) حيث :-

$$T_g = T_* \left( \frac{R_*}{2d} \right)^{1/2}$$

T\_\* درجة حرارة النجم، R\_\* نصف قطر النجم، d المسافة بين الحبيبة و النجم، فان جزءا من  
كمية الطاقة الإشعاعية الوالصلة إلى السحابة يتمتص وينبعث بكمية طاقة إشعاعية جديدة تناسب  
مع ( $T_g^4$ ) لكل حبيبة مما يؤدي إلى إزاحة اللون نحو الأحمر وفقا لقانون  
كيرشوف، فتصل إلينا كمية طاقة إشعاعية تساوي E.

لم يظهر لنا من خلال الشكل (٤) تقاطع أكثر من منحنين ومع ذلك فان احتمال وجود مؤثر ثالث أو أكثر مازال موجوداً، ولكن حالياً وفق التعريف أعلاه يمكننا تعريف (Y) كالتالي:-

$$Y \propto VE$$

أو:-

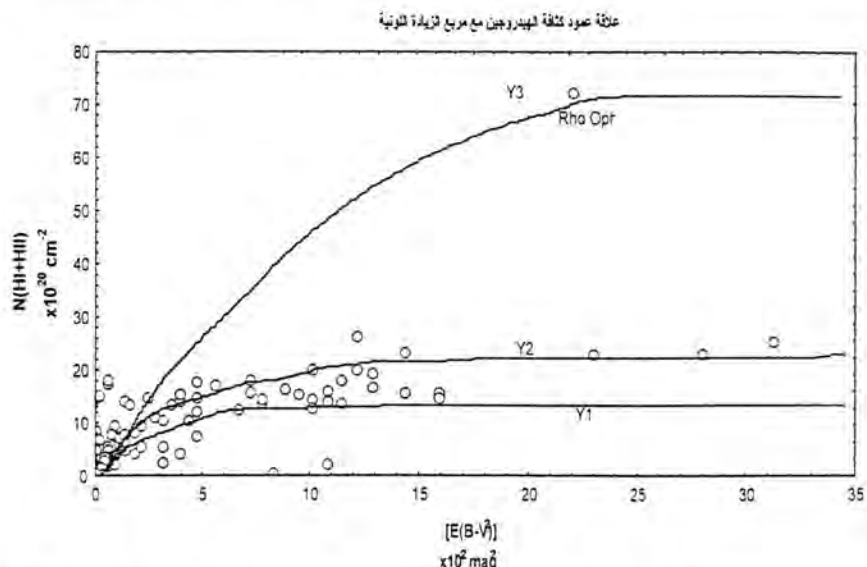
$$Y = cVE$$

حيث (c) ثابت يجب حساب قيمته.

نلاحظ من العلاقات أعلاه ان أي زيادة صغيرة بنصف قطر الجزئية تؤدي إلى رفع قيمة (V) إلى الأès الثالث وان أي زيادة صغيرة بدرجة حرارة السحابة تؤدي إلى رفع قيمة (E) إلى الأès الرابع، ان مثل هذه الزيادة تظهر بصورة جلية في قيمة (Y) لبعض النجوم المتقاببة والتي يتوقع منها ان تكون تحت ظروف متشابهة مثل النجمين (HD) و (HD223987) والذين يتوقع منهما ان يكونا ذوي قيمة (Y) متشابهة.

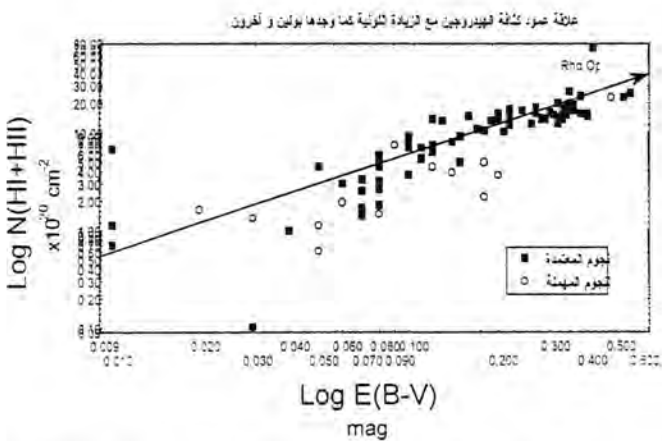
- ٩- الان و بعد اظهار الحالة التي تتغير بها قيمة  $[N(KI)]^2$  وبما ان قيمة  $[N(KI)]$  تتناسب مع قيمة (N) المعادلة (١) فإن ما ورد أعلاه ينطبق على علاقة (N) بـ  $\{E(B-V)\}^2$  أيضاً، ان هذه الفرضية تتعارض مع ما جاء به بولين و آخرين<sup>(١٣)</sup> من ان (N) تتناسب مع  $[E(B-V)]^2$  وفق المعادلة (٢) و لإظهار تصرف (N) مع  $\{E(B-V)\}^2$  تم رسم منحن يمثل هذه العلاقة [الشكل (٥)] حيث أخذت فيم  $[N(HI+III)]$  و قيم  $[E(B-V)]$  من بولين و آخرين<sup>(١٣)</sup>، لقد تم أخذ نفس قيم بولين و آخرين لغرض المقارنة. يظهر من المنحني ان قيم (N) تتناسب خطياً مع قيم  $\{E(B-V)\}^2$  عند قيم  $[E(B-V)]$  الواطئة وتشكل قيمة ثابتة عند قيم  $[E(B-V)]$  العالية وهي تؤيد ما ورد أعلاه. ان النجوم المشار إليها بالدوائر المفتوحة عند بولين و آخرين الشكل (٦) و المهملة من قبلهم بالإضافة إلى نجوم منطقة (Ori) الأربع و النجوم الثلاثة الأخرى والتي تتحرف عن الخط المستقيم والتي عزوها إلى التأين العام في سديم (Gum) نراها قد اصطفت في الشكل (٥) في خط مستقيم.

علاقة كثافة عمود البوتاسيوم المتعادل في المادة ما بين النجوم مع الزيادة اللونية  
ليث محمود كريم و هزار عبد الغني يوسف الملحق



شكل (٥) : يبين العلاقة بين كثافة عمود الهيدروجين و مربع الزيادة اللونية

كما ان النجم ( $\rho$  Oph) و الذي نراه هنا منعزل ايا عن بقية النجوم يمكن تقديره على ان له قيمة (Y) مختلفة، ان هذا النجم قد رسم موقعه على منحنى  $[N(KI)]^2$  و  $[[E(B-V)]^2]$  لمنطقتي



شكل (٦) : العلاقة اللوغارتمية بين كثافة عمود الهيدروجين و الزيادة اللونية لبولي و آخرين<sup>(١)</sup>

(Per - Cas) الشكل (٤) حيث نراه قد وقع في وسط النجوم حيث تم تأشيره بالمعين المغلق، ان هذا النجم يتبع الجزء الأول من العلاقة الرابعة و التي تنص على ان آية زيادة بـ  $[N(KI)]$  أو  $(N)$  تؤدي إلى زيادة قيمة  $\{E(B-V)\}^2$  و ليس العكس صحيحًا فان عند قيم  $[E(B-V)]$  العالية تزداد قيمة  $\{E(B-V)\}^2$  مع ثبوت  $[N(KI)]$  أو  $(N)$  في حين نلاحظ ان النجم ( $\alpha$ ) يتبع الجزء الثاني من القانون نفسه و عليه تم رسم خط افتراضي يمر بـ ( $\rho$ ) Oph يمثل العلاقة في الشكل (٥). ان هذا المنحني يبين ان اغلب نجوم منطقتي - (Sco) Oph و التي تعاني غالباً شذوذًا في اغلب العلاقات تقع على الخط ( $N = Constant$ ) و قد يكون هذا هو تفسير هذا الشذوذ حيث ان جميع العلاقات السابقة قد اعتمدت العلاقات الخطية في حساباتها. الآن وبعد تبيان ان علاقة  $(N)$  و  $\{E(B-V)\}^2$  تتبع نفس علاقات  $[N(KI)]$  مع  $\{E(B-V)\}^2$  يمكننا إعادة العلاقات الست أعلاه و استبدال  $[N(KI)]$  بـ  $(N)$  باعتبارها دالة لها [معادلة (١)] و كما في الشكل (٥)، هنا أيضًا نجد ان المؤثرين الأكثر احتمالاً في حالتنا هذه هما حجم جزيئية الغبار المسبب للاستطارة و الذي رمزنا له بالرمز (V) و كمية الطاقة الإشعاعية للسحابة الواقلة إلينا بعد مرورها خلال السحابة و الذي رمزنا لها بالرمز E.

١-١- بعد شرح المنحنيات أعلاه نعود مرة أخرى لتفصير الشذوذ بالشكلين (١) و (٢) السابقين و ما هي إلا نجوم تقع على منحنيات لها قيمة (Y) مخالفة و تبدو منعزلة ففي هذه المجموعة النجمية الحال (Oph) في مجموعة بولين و آخرين<sup>(١٢)</sup> و الذي وقع بالقرب من نجوم أخرى خارج المجموعة.

١١- نود ان نشير إلى ان ما ورد أعلاه لا يتعارض مع التعددية التي جاء بها شافي و وايت<sup>(١٣)</sup> و لكننا ننظر إلى التعددية على انها العلاقة المحصلة فعند تحليل التعددية فان قيمة  $\{E(B-V)\}^2$  تنخفض إلى قيمة أدنى مما يؤدي إلى إرجاع العلاقة إلى ان تكون خطية مع  $[N(KI)]$  و لكن لا يزال هناك نجوم لها مركبة واحدة غير قابلة للتحليل تقف جانبًا من المنحني كما أشرنا سابقاً. تبين مما ذكر ان التعددية تؤدي إلى تراكم تأثير زيادة اللون و تسير بنفس المنحني الذي كان سيسيره شعاع نجم له مركبة واحدة و له زيادة لونية عالية.

### المناقشة والاستنتاج

١- تم استنتاج ان العلاقة بين  $[N(KI)]$  و  $[E(B-V)]$  علاقة تربيعية و هذا يتفق مع ما جاء به كل من شافي و وايت<sup>(١)</sup> و هويس<sup>(٢)</sup> في حين تختلف مع بولين و آخرين<sup>(٣)</sup> بان العلاقة بين  $[N]$  و  $[E(B-V)]$  هي علاقة خطية الشكل (٦) وهي العلاقة التي اعتمدتها شافي و وايت<sup>(٤)</sup> في استنتاجهما للعلاقة بين  $[N(KI)]$  و  $[E(B-V)]$  ولكننا استنتجنا انها علاقة تربيعية كما يظيرها الشكل (٥) حيث بينما عندما تكون قيمة  $[E(B-V)]$  صغيرة فان قيمة  $(N)$  تتناسب خطيا مع  $\{[E(B-V)]^2\}$  و عند قيمة  $[E(B-V)]$  العالية فان قيمة  $(N)$  تبقى ثابتة.

٢- ان العلاقة بين  $[N(KI)]$  و  $\{[E(B-V)]^2\}$  تعتمد على أكثر من متغير واحد وذلك لوجود أكثر من منحن واحد بالعلاقة و ان هذه المنحنيات متقطعة، و تم الرمز إلى حاصل ضرب هذين المتغيرين بالرمز (Y). كما تم استنتاج العلاقات التالية:-

أولاً:- عند ثبوت قيمة (Y) فان  $[N(KI)]$  تتناسب مع  $\{[E(B-V)]^2\}$  عند القيمة الصغرى لـ  $[E(B-V)]$  و تساوي قيمة ثابتة عند القيم العليا لـ  $[E(B-V)]$ .  
ثانياً:- بزيادة قيمة (Y) فان قيمة  $\{[E(B-V)]^2\}$  الصفرية تتجه نحو اليمين الذي يؤدي بدوره إلى تقاطع المنحنيات.

ثالثاً:- عند زيادة قيمة (Y) تزداد قيمة  $\{[E(B-V)]^2\}$  التي يبدأ بها المنحنى بالثبات.  
رابعاً:- ان أية زيادة بقيمة  $[N(KI)]$  تؤدي إلى زيادة قيمة  $\{[E(B-V)]^2\}$  و ليس العكس صحيحًا فان عند قيم  $[E(B-V)]$  العالية تزداد قيمة  $\{[E(B-V)]^2\}$  مع ثبوت  $[N(KI)]$ .  
خامسًا:- ان النجم قد يمر بأكثر من منحن و الذي يكون عند نقطة تقاطع المنحنيات و في هذه الحالة فان:-

$$Y_1 = Y_2 = Y_3 = \dots$$

والذي يدل على وجود أكثر من متغير في هذه العلاقة أي ان:-

$$Y \propto A B C \dots$$

وعليه في الحالة أعلاه يكون:-

$$A_1 B_1 C_1 = A_2 B_2 C_2 = A_3 B_3 C_3 = \dots$$

سادسًا:- في حالة اعتقاد (Y) على متغيرين فقط فعدن نقطة تقاطع المنحنيين يكون:-

$$A_1 B_1 = A_2 B_2$$

كما تم استنتاج ان المؤثرين الأكثر احتمالا في هذه الحالة هما حجم جزيئه الغبار المسبب للاستطارة الذي رمزنا له بالرمز (V) و كمية الطاقة الإشعاعية الواسعة إلينا بعد مرور الشعاع خلال السحابة والتي رمزنا لها بالرمز (E) و استنتجنا:-

$$Y \propto VE$$

أو:-

$$Y = cVE$$

حيث (c) ثابت يجب حساب قيمته.

وعليه تم استنتاج ان أيه زيادة بنصف قطر الجزيئه يؤدي إلى رفع قيمة (Y) إلى الأس الثالث وان أيه زيادة بدرجة حرارة السحابة تؤدي إلى رفع قيمة كمية الطاقة الإشعاعية إلى الأس الرابع.

٣- ان العلاقات أعلاه -في الفقرة (٢) صحيحة بالنسبة لعلاقة (N) و [E(B-V)].

٤- ان الشذوذ الذي يظهر في منطقتي (Sco - Oph) هو بسبب اتباع منحنى العلاقة بين (N) و  $\{[E(B-V)]^2\}$  وكذلك منحنى العلاقة بين  $[N(KI)]$  و  $\{[E(B-V)]^2\}$  علاقة تربيعية عند قيم  $[E(B-V)]$  الصغيرة وله قيمة ثابتة عند قيم  $[E(B-V)]$  الكبيرة حيث تقع هذه النجوم في منطقة القيمة الثابتة في حين اعتمدت الحسابات في البحوث السابقة على العلاقات الخطية.

٥- ان الشذوذ في (Oph) يحصل بسبب ان هذا النجم يتخذ قيمة (Y) مختلفة بسبب زيادة صغيرة في حجم الجزيئه أو كمية الطاقة الإشعاعية الواسعة إلينا أو كليهما ومثل هذا الشذوذ يوجد في نجوم أخرى في مناطق أخرى من السماء مثل النجم (HD36861) و الذي هو من مجموعة (Ori).

٦- ان ما ورد من استنتاجنا السابق لا يتعارض مع التعددية التي استنتجها شافي و وايت<sup>(١٢)</sup> حيث اننا استنتجنا ان التعددية هي المحصلة فعند تحليل التعددية تختفي قيمة  $\{[E(B-V)]^2\}$  إلى قيمة أدنى مما يؤدي إلى إرجاع العلاقة إلى ان تكون خطية مع  $[N(KI)]$ .

ليث محمود كريم و هزار عبد الغني يوسف الملاح

المصادر

1. Dunham, T.: Pub. A.S.P. 49, 26. (1937).
2. Lutz, B. L.: Ap. J. (Letters), 191, L131. (1974)
3. Herbig, G. H.: Zs. Ap., 68, 243. (1968)
4. Cohen, J. G.: Ap. J., 192, 379. (1974).
5. Crutcher: Ap. J., 239, 549. (1980).
6. Shulman, S., Bortolot, V., and Thaddeus, P.: Ap. J., 193, 97. (1974).
7. Crutcher: Ap. J., 219, 72. (1978).
8. Hobbs: Ap. J. (Letters), 188, L67. (1974a).
9. Hobbs: Ap. J., 191, 381. (1974b).
10. Hobbs: Ap. J., 200, 621. (1975).
11. Hobbs: Ap. J., 203, 143. (1976).
12. Chaffee, F. H. Jr., White, R. E.: Ap. J. Suppl., 50, 169. (1982).
13. Bohlin, R. C., Savage, B. D. and Drake, J. F.: Ap. J., 224, 132. (1978).
١٤. كريم، ل. م.، الملاح، هـ . ع. ي.: المجلة العراقية للعلوم، ٤٢، ٥، ١٦. (٢٠٠١).
١٥. كريم، ل. م.، الملاح، هـ . ع. ي.: مقدم للمجلة. (٢٠٠٢).
16. Hauge, Ø. And Engvold, O.: "Compilation of Solar Abundance Data". Institute of Theoretical Astrophysics, No. 49. Blindern, Oslo, Norway. (1977).
١٧. النجم، فـ .، والنعيمي، حـ . مـ .: "فيزياء الجو و الفضاء الجزء الثاني (علم الفلك)", العراق. (١٩٨١)

## تطوّح الطاقة للأيونات الثقيلة في الأهداف الصلبة باستخدام النظرية الحركية، المتذبذب التوافقى ونموذج غاز الإلكترون الحر

عبد الله احمد رشيد  
جامعة المستنصرية  
كلية العلوم

خالد عبد الوهاب احمد  
جامعة المستنصرية  
كلية العلوم

تضير جاسم محمد  
جامعة المستنصرية  
كلية العلوم

### الخلاصة

تم حساب تطوح الطاقة ( $\Omega_E$ ) بواسطة النظرية الحركية Kinetic Theory, K.T. المتذبذب التوافقى (H.O.) وغاز الإلكترون الحر Free Harmonic Oscillator, (H.O.) للأيونات الثقيلة O, Mg, F & Fe,Ti,Cl على هدفي الساقطة على الكاربون ( $^{12}C$ ) والتيتانيوم ( $^{48}Ti$ ) على التتابع بسمك "  $0.5-4 \frac{MeV}{cm^2}$  " ضمن مدى الطاقة (0.1  $\frac{mg}{cm^2}$ ). فقد تم وضع معادلة شبه تجريبية أمكن من خلالها حساب تطوح الطاقة بوحدات ( $MeV$ ) بعد حساب معلمات التطابق ( $b_1, b_2$ ) لقيم المقطع العرضي لقدرة الإيقاف للنظريات الثلاث (F.E.G.) & (H.O.), (K.T.) باستخدام طريقة المربعات الصغرى Least Square Method, (LSM).

### المقدمة

نظريات عديدة قدّمت وصفاً لمعدل فقدان الطاقة وتتطوح الطاقة للأيونات السريعة الخفيفة المتحركة في المادة . ولتطوح الطاقة ( $\Omega_E$ ) أعطى الباحث بور [1] معادلة لحساب التطوط في حدود الطاقة العالية [2] :

$$\Omega_E^2 = \Omega_B^2 = 4\pi Z_1^2 e^4 Z_2 N \Delta v \quad (1)$$

تطوّح الطاقة للأيونات الثقيلة في الأهداف الصلبة باستخدام النظرية الحركيّة، المتتبّل التوافقى ونموذج غاز الإلكترون الحر  
تضير جاسم محمد وجماهـه

حيث أن:

$$\Omega_B^2 : \text{تطوّح الطاقة بور} .$$

$Z_2 e$  : الشحنة والعدد الذري لمادة الهدف على التوالى .

$Z_1$  : العدد الذري للأيون الساقط .

$N$  : كثافة مادة الهدف .

$$x ? : \text{سمك مادة الهدف بوحدة cm}^2 .$$

إن المعادلة (1) تطبق في أغلب الأحيان في الطاقات العالية، ولحساب تطوّح الطاقة في الطاقات الواطئة والمتوسطة تم توسيع نظرية بور بواسطة تطبيق عامل التصحيح (Correction Factor) لطاقة الجسيمات الواطئة والمتوسطة والتوصّل للصيغة الآتية [3].

$$(2) \quad \Omega_E^2 = \begin{cases} \frac{1}{2} \Omega_B^2 L(y) & y \leq 3 \\ \Omega_B^2 & y \geq 3 \end{cases}$$

حيث أن:

$y$  : متغير الطاقة المختزلة (Reduced Energy Variable) والمعرف:

$$y = \left( \frac{v}{v_0} \right)^2 Z_2 \quad v : \text{سرعة الجسم الساقط}.$$

( $v_0 = 2.185 \times 10^8 \text{ cm/sec}$ ) (Bohr velocity)

$L$  : عدد الإيقاف (Stopping Number) والذي تم التعديل عليه:

$$L_{(y)} = 1.36 y^{1/2} - 0.016 y^{3/2}$$

في المعادلة (2) تبيّن أن تطوّح الطاقة ( $\Omega_E^2$ ) تتبع من قيمة تطوّح بور ( $\Omega_B^2$ ) في الطاقة العالية، وأنه يكون معتمداً على الطاقة في السرع الواطئة.

٢- تطوح الطاقة للنماذج الذرية (F. E.G.) & (H.O.), (K.T.)  
للتعبير عن التطوح في فقدان الطاقة يكون بالشكل الآتي [4] :

$$\Omega_E^2 = N \cdot \Delta x \int T^2 d\sigma \quad (3)$$

حيث أن :

$T$  : الطاقة المنتقلة (Energy Transfer) للكترونات وذرارات الهدف.

$d\sigma$  : المقطع العرضي التفاضلي (Differential Cross-Section)

لذلك فان:

$$\frac{\Omega_E^2}{N \cdot \Delta x} = \int T^2 d\sigma \quad (4)$$

و بما أن المقطع العرضي لقدرة الإيقاف ( $S$ ) يعطى بالصيغة الآتية :

$$S = \int T d\sigma \quad (5)$$

لذلك نستطيع أن نقول :

$$\frac{\Omega_E^2}{N \cdot \Delta x} = S \frac{\int T^2 d\sigma}{\int T d\sigma} \quad (6)$$

$$\therefore \Omega_E^2 = N \cdot \Delta x \cdot S_{th} \langle T \rangle \quad (7)$$

حيث أن :

(F.E.G.): المقطع العرضي لقدرة الإيقاف والمحسوب بواسطة النظريات &

. [5] (H.O.),(K.T.)

: (Average Energy Transfer)  $\langle T \rangle$  : معدل الطاقة المنتقلة

$$\langle T \rangle = \frac{\int T^2 d\sigma}{\int T d\sigma}$$

تطوّر الطاقة للأيونات الثقيلة في الأهداف الصلبة باستخدام النظرية الحركية، المتتبّل التوافقى ونموذج غاز الإلكترون الحر تضير جاسم محمد وجماهير

ولكون أن أعلى طاقة منتقلة [Maximum Energy Transfer,  $T_m$ ] هي:

$$T_m = \frac{4mm_0}{(m + m_0)^2} E \quad (8)$$

حيث أن:

$m_0$  : كتلة الأيون الساقط والإلكترون على التوالي.

$E$  : طاقة الأيون الساقط بوحدة ( $MeV$ ).

لذلك تم فرض:

$$\langle T \rangle = a_1 E^{a_2} \quad (9)$$

والقطع العرضي لقدرة الإيقاف:

$$S_{th.} = b_1 E^{b_2} \quad (10)$$

وبتعويض المعادلات (9)، (10) في معادلة (7) نحصل على معادلة تطوح الطاقة بالشكل الآتي:

$$\Omega_E^2 = N \cdot \Delta x \cdot a_1 b_1 E^{a_2 + b_2} \quad (11)$$

## الحسابات والنتائج

تم حساب معلمات التطابق ( $a_1, a_2$ ) بالاعتماد على قيم عملية لتطوح الطاقة، ومعلمات التطابق ( $b_1, b_2$ ) بالاعتماد على قيم القطع العرضي للايقاف للنظريات الثلاث (& F. E.G.) [5] باستخدام طريقة المربعات الصغرى (LSM) من خلال كتابة برنامج (H.O.), (K.T.) (NDRH2) بلغة الفورتران (FORTRAN 77) وكما موضح في الجدول (1).

اعتماداً على معادلة (11) تم حساب تطوح الطاقة بوحدات ( $MeV$ ) للنظريات الثلاثة لأيونات Mg, Fe, Ti, Cl, O و F على هدفي الكاربون ( $C^{12}$ ) والتitanium ( $Ti^{48}$ ) على التتابع بسمك ( $\frac{MeV}{a}$ ) وضمن مدى الطرفة ( $0.5 - 0.1 \frac{mg}{cm^2}$ ) كما موضح في الشكل .

إذ نلاحظ زيادة قيمة تطوح الطاقة مع زيادة طاقة الجسيم الساقط بالإضافة إلى التطابق الجيد للنظريات الثلاث في حسابها لهذه القيم مقارنة مع القيم العملية [6]، وكذلك يمكن ملاحظة زيادة تطوح الطاقة عند طاقة معينة بزيادة العدد الذري للأيون الساقط ( $Z_1$ ).

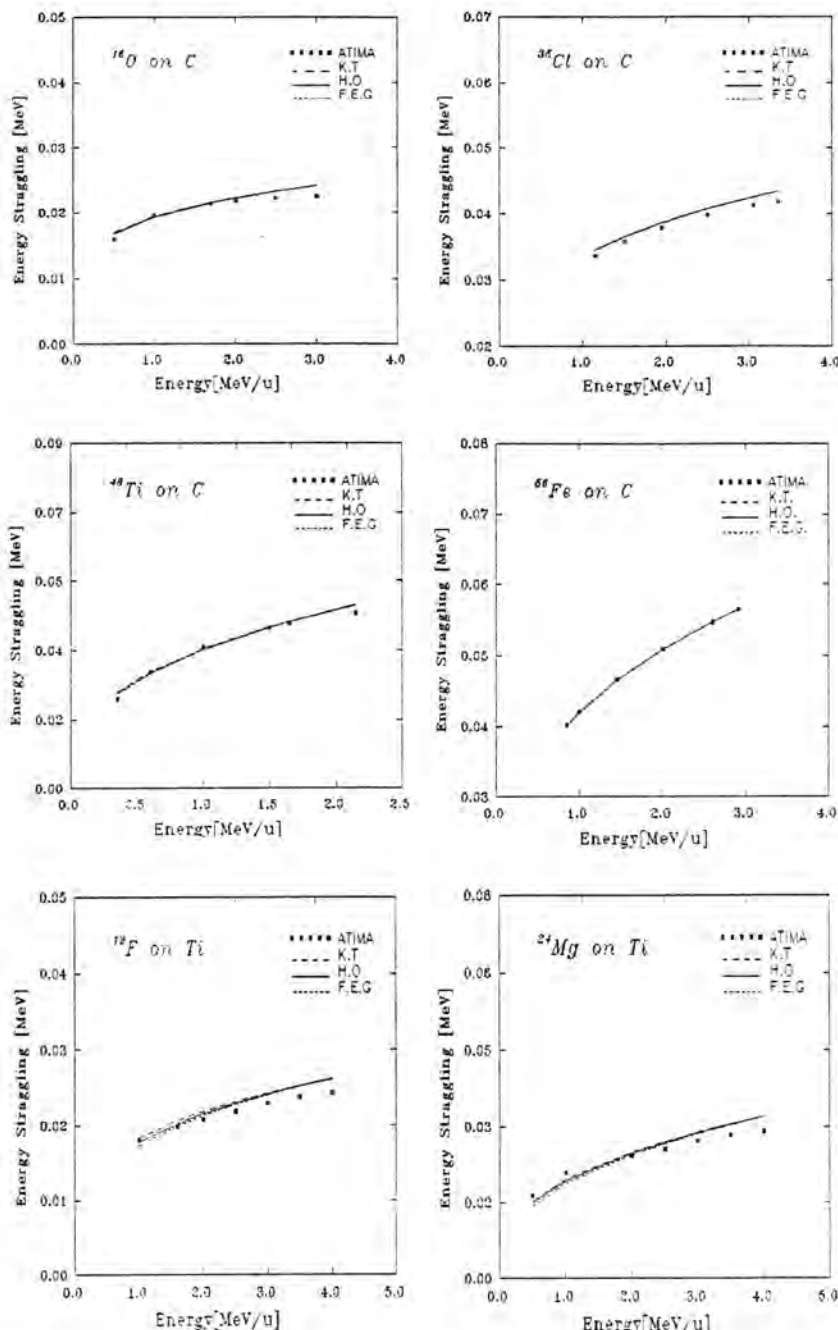
الجدول (1) قيم معلمات التطابق لتطوح الطاقة ( $a_1, a_2$ ) العملية مع معلمات التطابق للمقطع العرضي للإيقاف ( $b_1, b_2$ ) للنيونات الثقيلة الساقطة على الأهداف الصلبة

Ion / Target	القيم العملية ( $MeV$ )	
	[ATIMA (2001)]	
	$a_1 \cdot 10^{-4}$	$a_2$
O / C	0.63	0.68445
Cl / C	0.41	0.66443
Ti / C	0.33	0.654672
Fe / C	0.33	0.64229
F / Ti	0.44	0.81972
Mg / Ti	0.45	0.75103

Ion / Target	القيم النظرية ( $MeV / mg \cdot cm^{-2}$ )					
	K.T.		H.O.		F.E.G.	
	$b_1$	$b_2$	$b_1$	$b_2$	$b_1$	$b_2$
O / C	20.35634	-0.29495	18.97145	-0.27545	19.8038	0.28721
Cl / C	58.49438	-0.23436	57.39087	-0.23036	58.3247	-0.23385
Ti / C	27.08681	-0.04229	23.36674	0.07575	25.04564	0.06028
Fe / C	58.11419	-0.09024	55.77108	-0.082009	57.28195	-0.08737
F / Ti	18.15301	-0.30814	14.68833	-0.25848	12.45048	-0.21937
Mg / Ti	9.95768	-0.03820	8.89556	-0.01378	7.40103	0.02653

**تطوّح الطاقة للأيونات الثقيلة في الأهداف الصلبة باستخدام النظرية الحرافية، المتنبّب التراقي ونموزج غاز الإلكترون الحر  
تضيير جاسم محمد وجماهـة**



الشكل (١) يوضح تطوّح الطاقة بواسطة [F.E.G],[H.O.],[K.T.] مع القيم العمليّة [6]  
للأيونات الثقيلة في أهداف الكاربون والتيتانيوم

## المناقشة

من خلال حساب تطوح الطاقة بواسطة النظريات الثلاث كان التطابق جيداً قياساً للقيم العملية. ويمكن أن تستنتج أن الزيادة في تطوح الطاقة بزيادة العدد الذري للأيون الساقط ( $Z_1$ ) يمكن ملاحظته من العلاقة (1.8) فبزيادة العدد الذري ( $Z_1$ ) وثبت  $(Z_2)$  تصبح  $(m > m_0)$  مما يؤدي إلى زيادة قيمة الطاقة المنتقلة لإلكترونات الوسط الموقف. وبذلك يزداد التطوح في الطاقة بزيادة طاقة الأيون الساقط. ونستنتج بأن تطوح الطاقة يتاسب طردياً مع ( $Z_1$ ) وعكسياً مع ( $Z_2$ ). من جانب آخر يمكن ملاحظة إن تطوح الطاقة المحسوب بهذه النظريات الثلاث للأيونات الثقيلة ( $Z_1 > Z_2$ ) والساقة على أهداف صلبة لمدى الطاقات  $E(0 - 4) MeV/u$  لا يشكل أي فرق.

## REFERENCES

- [1] N. Bohr, Mat. Fgs. Medd Dan. Van. Vid. Selsk. 18, (1948).
- [2] W. K. Chu , phys. Rev. A13, 2057 (1976).
- [3] J. Lindhard & Scharff , Mat.Fgs. Medd Dan.Vid Selsk. 27, no.15 (1953).
- [4] J. Lindhard, M. Scharff, and H. E. Schiott, Mat. Fgs. Medd. Dan. Vid. Sdsk. 33: no. 14 (1963).
- [5] نصیر جاسم محمد ، خالد عبد الوهاب احمد، و عبد الله أحمد رشید، المقطع العرضي لقدرة الإيقاف للجسيمات المشحونة الثقيلة في الأهداف الغازية والصلبة باستخدام النظرية الحركية ، المتذبذب التوافقي ونموذج غاز الإلكترون الحر ) . بحث قيد النشر ، مجلة كلية العلوم ، الجامعة المستنصرية (2002) .
- [6] ATIMA, Calculating ATomic Interaction with MATter, H. Geissel, P. Mlzacher and C. Scheidenberger, (2001). [www.gsi.de/~scheid/ATIMA1.htm](http://www.gsi.de/~scheid/ATIMA1.htm) 1-3k-

## دراسة تأثير المحاليل الحامضية على الخصائص الفيزيائية لمواد بوليميرية متراكبة

بلقيس محمد ضياء و محمد سهام رشيد

### ABSTRACT

(Epoxy-Fillers) composites were prepared and studied for their physical properties (Impact, Hardness, Flexural, Strength, Compression) and thermal conduct is ty specimens were prepared with volume fraction  $V_f$  ٣٠%. Diffusion Coefficient was Calculated for all specimens before and after immersion in Acid solutions ( $H_2SO_4$ ,  $HNO_3$ , HCL), for there months- all results were discussed.

### الخلاصة

تم في هذا البحث تحضير نماذج لمواد متراكبة من راتنج الايبوكسي قبل وبعد التدعيم بأنواع مختلفة من الحشوارات وبكسر حجمي ٣٠% ودراسة التغير الحاصل في الخصائص والصدمة، الصلادة، متانة الانحناء، الانضغاطية والتوصيل الحراري. كما تم حساب معامل الانتشار (D) للنماذج المحضرة بعد غمرها في المحاليل الحامضية ( $H_2SO_4$ ,  $HNO_3$ , HCL) لازمان وصلت إلى الثلاثة أشهر. هذا وقد نوقشت النتائج.

### المقدمة

استخدم راتنج الايبوكسي في العديد من الصناعات بعد تدعيمه بأنواع مختلفة من الحشوارات أو الألياف .... الخ، وان دراسة الخواص الميكانيكية والحرارية تعتبر ضرورية جداً لمعرفة مدى تحمل هذه المواد للظروف المختلفة [١]. هناك العديد من الدراسات التي تناولت دراسة تأثير الظروف البيئية كدرجة الحرارة، المحاليل، الجوية ..... الخ فقد درس George [٢] كيفية تغير درجة الانتقال الزجاجي لنماذج من الايبوكسي المقوى بالزجاج بعد تعرضه لأشعة الشمس لفترة وصلت إلى ١٤ شهراً ولاحظ الانخفاض في درجة الانتقال الزجاجي إلى ٨٠% من قيمتها الأصلية، كذلك لوحظ التغير في خصائص الزحف لنماذج من الايبوكسي

المقوى بالياف الزجاج، نوع (woven rovings) وتتأثير درجة الحرارة على خصائص الصدمة

[٣]

هذا وقد أجريت بعض الدراسات الخاصة بعمر النماذج في محاليل كيميائية مختلفة ودراسة تأثير هذه المحاليل على السلوك الفيزيائي للمواد المركبة وخاصة المحاليل الحامضية والملحية لمعرفة مدى مقاومة هذه المواد للمحاليل واستخدامها لحاويات لهذه المحاليل [٤][٥]. تعد خاصية التحلل في البوليمرات والمواد المتراكبة منها إحدى أهم العوامل التي تقلل من عمر هذه المواد ويعتمد هذا التأثير على نوع المادة الأساس ونوع الحشوة المستخدمة ومنطقة الترابط البيني (بين الأساس والمادة القوية) [٦].

تهدف هذه الدراسة إلى التعرف على سلوك المواد المتراكبة في ظروف بيئية مختلفة وأجراء المقارنة بينها وتشمل الخواص الميكانيكية (قوة الصدمة، الصلادة، متانة الانحناء الانضغاطية)، وكذلك خاصية التوصيل الحراري. وحساب معامل الانتشار بعد عمرها في المحاليل المختلفة.

## الجزء العملي

استخدم النوع التجاري راتج الأيبوكسي (DGEBA) (cy233) والمجهز من شوكة (Giba-Geigy) مع المصطلح نوع (Hy-2992) والذي هو عبارة عن مادة سائلة كثافتها  $1.19 \text{ g/cm}^3$  تضاف إلى الراتج بنسبة ٤:١ يتم التفاعل حينها ويتتحول إلى مادة جلاتينية تتصلق في درجة حرارة الغرفة.

استخدمت كذلك المواد التالية كحشوات (Fillers) وبكسر حجمي [ $V_f = 30\%$ ].  
أ. السليكا  $\text{SiO}_2$ .

ب. الالومينا  $\text{Al}_2\text{O}_3$ .

ج. حبيبات الزجاج glass beads.

استخدمت طريقة القولبة اليدوية في تحضير القوالب حرى بعد ذلك تقطيع النماذج الخاصة بالاختبارات وحسب المعايير الفيزيائية (ASTM) أو (ISO). ثم حساب الكسر الحجمي باستخدام الطريقة الوزنية والمتمثلة بالمعادلة:-

$$\Phi = \frac{1}{1 + \frac{1 - \Psi}{\Psi} \cdot \frac{\rho_e}{\rho_m}} \quad \dots \dots \dots \quad (1)$$

حيث  $\Phi$  الكسر الحجمي،  $\Psi$  الكسر الوزني،  $\rho$  كثافة الحشوة،  $\rho_0$  كثافة الأليوكسي.

استخدم جهاز (جاري) لحساب طاقة الصدمة وقياس الصلادة بطريقة برينيل (Brinell HBr) كما استخدم الاختبار الثلاثي النقطة (3pt-Bending) المجهز في شركة (PHYWE) لحساب متانة الانحناء. وكذلك استخدم جهاز المكبس الهيدروليكي في حساب الانضغاطية للنماذج والمجهز من شركة (Leybold-Harris).

تم حساب معامل الانتشار D بطريقة الربح في الوزن وباستخدام الميزان الحساس نوع (Sartorius-balance) . وبالاعتماد على قوانين فك في الانتشارية [٧].

$$D = \pi \left( \frac{kb}{4M} \right) \dots \dots \dots \quad (2)$$

حيث ان :-

D: معامل الانتشار.

١٤: سُمَكُ النَّمُوذْجِ.

M : أعلى ربح في الورن.

k: الربح في الوزن في زمن ا.

قیمت الموصلية الحرارية بطريقة قرص لي [Lec's disc] المجهز من شركة (George-Griffen)

النتائج والمناقشة

الحدول -1- بين التغير في قيم طاقة الصدمة قبل وبعد عمر النماذج في المحاليل الحامضية.

دراسة تأثير المحاليل الحامضية على الخصائص الفيزيائية لمواد بوليمرية متراكبة  
بلقيس محمد ضياء و محمد سهام رشيد

جدول -١-

طاقة الصدمة (Joule)

بعد التعرض للمحلول HCL	بعد التعرض للمحلول HNO <sub>3</sub>	بعد التعرض للمحلول H <sub>2</sub> SO <sub>4</sub>	قبل التعرض للمحاليل	النموذج
٠.٨٥	٠.٨١	٠.٩٣	١.٥	Ep+SiO <sub>2</sub>
١.٤٢	١.٣٥	١.١١	١.٩٥	Ep+Al <sub>2</sub> O <sub>3</sub>
٣.٤٢	٣.١	٣.٢٢	٤.٣٣	Ep-glass beads

والشكل -١- يبين التغير في هذه القيم للنماذج كافة مع تغير نوع محلول.

الجدول -٢- يبين التغير في قيم صلادة برنيل للنماذج قيد البحث.

جدول -٢-

صلادة برنيل

بعد التعرض للمحلول HCL	بعد التعرض للمحلول HNO <sub>3</sub>	بعد التعرض لمحلول H <sub>2</sub> SO <sub>4</sub>	قبل التعرض للمحاليل	النموذج
٦٩	٦٣	٧١	٨٢	Ep-SiO <sub>2</sub>
٨٠	٨٢	٨٣	٩١	Ep+Al <sub>2</sub> O <sub>3</sub>
٨٨	٩٠	٩٥	١٠٢	Ep+glass beads

ومن الاختبار الثلاثي النقطة ثم حساب مئنة الانحناء باستخدام العلاقة :- [٨].

$$F.S. = \frac{3ps}{2bt}$$

p: أقصى حمل

s: طول النموذج.

t: المسك.

والجدول -٣- يعطي قيمة مئنة الانحناء للنماذج.

جدول -٣-  
قيم متانة الانحناء (Mpa)

بعد التعرض لمحلول HCl	بعد التعرض لمحلول HNO <sub>۳</sub>	بعد التعرض للمحلول H <sub>۲</sub> SO <sub>۴</sub>	قبل التعرض للمحاليل	النموذج
٨٥٠	٨٠٤	٨٣٠	٩١٢	Ep+SiO <sub>۳</sub>
٩٢١	٩٣٣	٩٨٥	١٠٢٠	Ep+Al <sub>۲</sub> O <sub>۳</sub>
٨١٢	٨٠٢	٨٢٢	٨٨٦	Ep+glass beads

والشكل -٢- يبين التغير في قيم متانة الانحناء.  
وباستخدام المكبس الهيدروليكي تم حساب متانة الانضغاطية النماذج قبل وبعد التعرض للمحاليل  
وكان الجدول -٤- يوضح التغير في قيم هذه الخاصية.

جدول -٤-

قيم متانة الانضغاطية (Mpa)

بعد التعرض لمحلول HCl	بعد التعرض للمحلول HNO <sub>۳</sub>	بعد التعرض للمحلول H <sub>۲</sub> SO <sub>۴</sub>	قبل التعرض للمحاليل	النموذج
٥٠٣	٥٧٢	٥٩٠	٦٨٣	Ep+SiO <sub>۳</sub>
٨٠٣	٧٨٤	٨١٣	٨٨٣	Ep+Al <sub>۲</sub> O <sub>۳</sub>
٥٧٠	٥٤٤	٥٨٣	٦٠٤	Ep+glass beads

وباستخدام تقنية قرص لي في حساب معامل التوصيل الحراري ، تم حساب  
- وكانت النتائج كما في الدول التالي : (K value)

جدول -٥-

K value (w/m.°c)

HCl	HNO <sub>۳</sub>	H <sub>۲</sub> SO <sub>۴</sub>		النموذج
٠.١١٤	٠.١٠٣	٠.٠٩٨٣	٠.١٨٢	Ep+SiO <sub>۳</sub>
٠.١٨٣	٠.١٩٩	٠.٢٠٨	٠.٢٢٣	Ep+Al <sub>۲</sub> O <sub>۳</sub>
٠.٢٦٦	٠.٢٨١	٠.٢٨٨	٠.٣٠٣	Ep+glass beads

هذا وقد تم حساب معامل الانتشار (D) للنماذج كافة بعد مدة ثلاثة أشهر للغمر في المحاليل أنيفة الذكر وباستخدام المعادلة (٢). والشكل -٣- يبين منحنى (الربح في الوزن مقابل الجذر التربيعي للزمن) لحساب D.  
والجدول -١- يعطي قيم معامل الانتشار D للمحاليل في النماذج بالاستعانة بالشكل -٣-.

جدول -٦-

$Dx \times 10^{-12} \text{ m}^2/\text{sec}$

HCl	HNO <sub>3</sub>	H <sub>2</sub> SO <sub>4</sub>	النموذج
٣.٨٦	٤.١٣	٤.٨٢	Ep+SiO <sub>2</sub>
٣.١١	٢.٨٦	٣.٢٤	Ep-Al <sub>2</sub> O <sub>3</sub>
٣.٧٨	٣.٤٤	٤.٧٧	Ep+glass beads

بشكل عام تتأثر جميع الخواص الميكانيكية بالمحاليل وتقل قيمها مع زيادة زمن العمر ويعتمد ذلك على نوع محلول الحامضي وتركزه وكذلك على قوة التصاق الحشوارات بالمادة الأساسية، وكون المحاليل الحامضية تعد أحد العوامل المهمة في تحلل البوليمرات (degradation) بالإضافة إلى الحرارة والإشعاع والأوزان ..... الخ [٩].

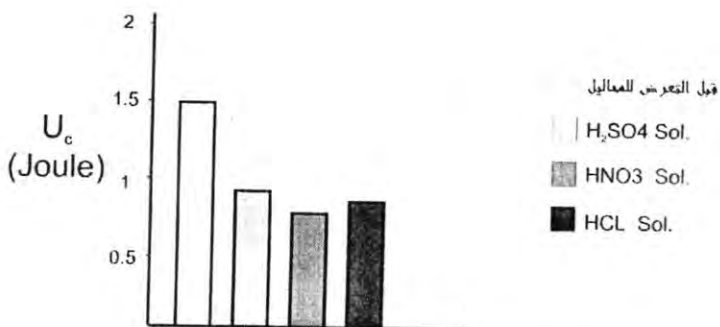
ومن اختبار التوصيل الحراري فإن جميع المواد قيد البحث هي مواد عازلة حرارياً كون إن السليكا والأمينا وحبوب الزجاج تعتبر من العوازل الحراري المهمة صناعياً وإن تأثيرها بالمحاليل كان قليلاً وكما ملاحظ من الجدول -٥- ولكن يبقى أكثرها تأثيراً النموذج المقور بالألومنيا في محلول حمض الهيدروليك HCl .

ومن منحنى ذلك لحساب معامل الانتشار D نلاحظ إن أكثرها تأثيراً بالمحاليل كان النموذج المقوى بالسليكا ، حيث أبدت النماذج الأخرى مقاومة أكبر لهذه المحاليل [١٠].

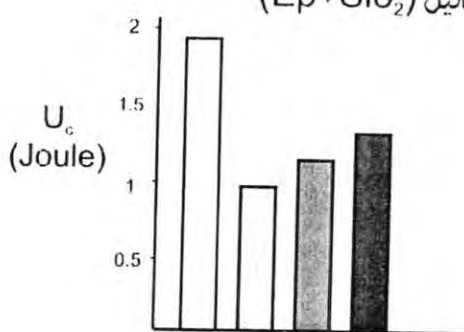
### الاستنتاجات

١. تأثير الخصائص الميكانيكية للنماذج قيد البحث بالمحلول الحامضي HNO<sub>3</sub> نسبة أكبر من المحاليل الأخرى.

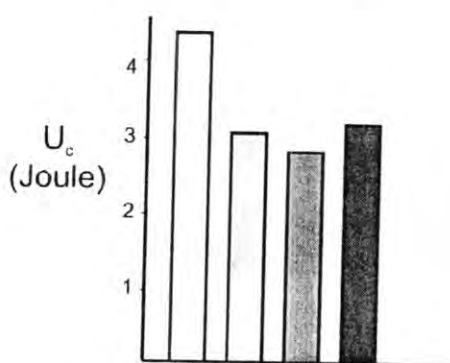
٢. نقل قيم معامل التوصيل الحراري بعد العمر في المحاليل الحامضية وكان محلول HCl أكثرها تأثيراً في النموذج (Ep+Al<sub>2</sub>O<sub>3</sub>) .
٣. يقل معامل الانتشار D مع نموذج D مع نموذج (Ep+Al<sub>2</sub>O<sub>3</sub>) بالمقارنة مع باقي النماذج وفي المحاليل كافة.



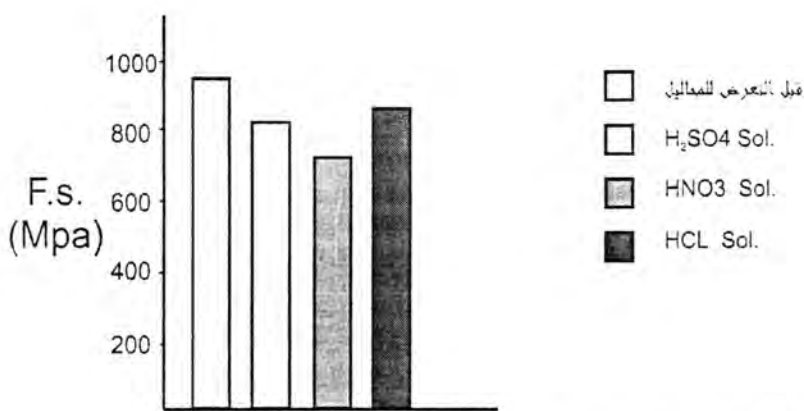
شكل - ١- (a) التغير في طاقة الصدمة قبل وبعد التعرض للمحاليل (Ep+SiO<sub>2</sub>)



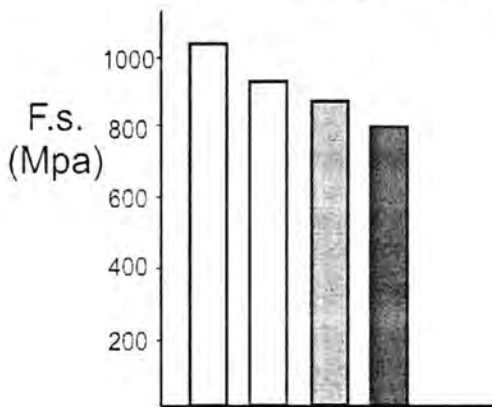
شكل - ١- (b) التغير في طاقة الصدمة لنمذج (Ep+Al<sub>2</sub>O<sub>3</sub>)



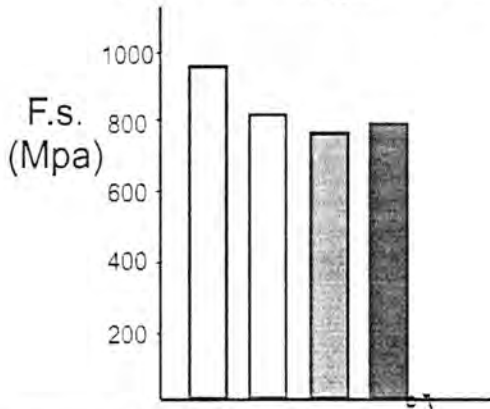
شكل - ١- (c) التغير في طاقة الصدمة لنمذج (Ep+Glass beads)



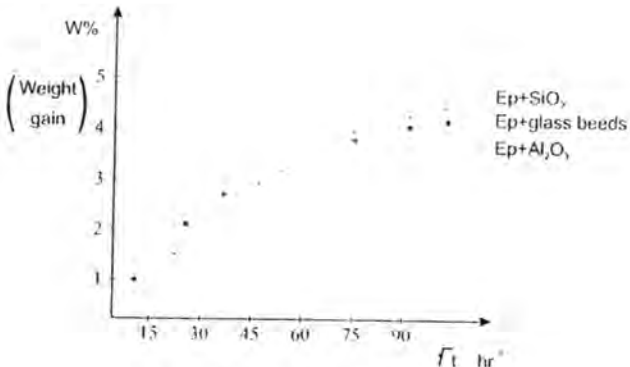
شكل - آ- (a) التغير في قيم متانة (الانحناء) لمزروج  $(Ep+SiO_2)$



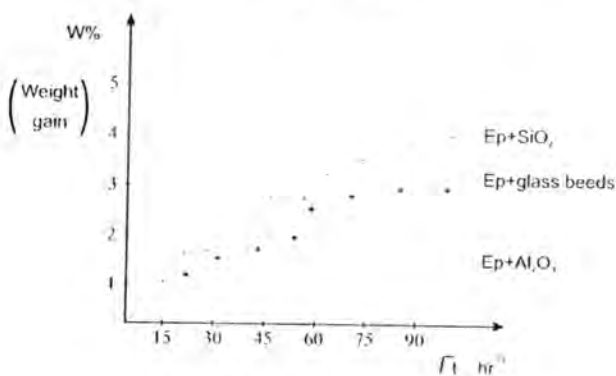
شكل - آ- (b) التغير في قيم متانة (الانحناء) لمزروج  $(Ep+Al_2O_3)$



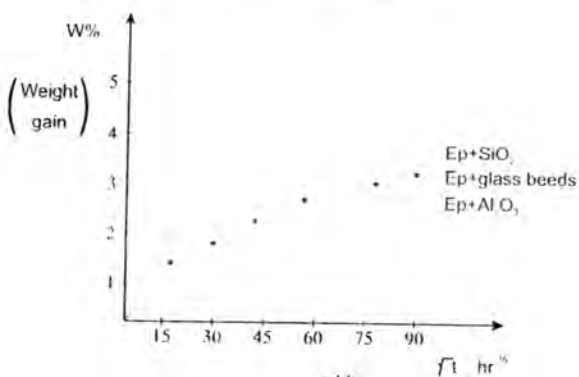
شكل - آ- (c) التغير في قيم متانة (الانحناء) لمزروج  $(Ep+Glass\ beads)$



شكل - 3(a) منعى نك حساب معامل الاستشار  
للنساخ الثلاثة في محلول ( $\text{H}_2\text{SO}_4$ )



شكل - 3(b) منعى نك حساب معامل الاستشار  
للنساخ الثلاثة في محلول ( $\text{HNO}_3$ )



شكل - 3(c) منعى نك حساب معامل الاستشار  
للنساخ الثلاثة في محلول ( $\text{HCl}$ )

## المصادر

- (١) د. بلقيس محمد ضياء، أطروحة دكتواره، الجامعة التكنولوجية (١٩٩٧).
- (٢) P. San parote, Fiber science and technology vol. ١٦, ١٩٨٢, p.٣٠٦.
- (٣) ناصر عبد الله، أطروحة ماجستير، الجامعة التكنولوجية (١٩٩٣).
- (٤) A. Apicella, "Composites," vol. ١٣, no. ٤, p.٤٠٦. (١٩٨٢).
- (٥) J. Comyn, "Polymer permeability", Elsvier pub., London, (١٩٨٥).
- (٦) K. Yan, "International polymer science and technology", vol. ١٦, n. ١, Rapra Co. (١٩٨٩)
- (٧) B. Dewimille, "Composites", vol. ١٣, no. ١٤, (١٩٨٢).
- (٨) B. Raymond seymour, "polymeric composites". Oxford Co. (١٩٩٠),
- (٩) E. sangaktar, "polymer testing", vol. ١٧, no. ١, p.٣٩, (١٩٨٧).
- (١٠) K.S. Han, "Composites", vol. ١٤, no. ١, p. ٦٧,( ١٩٨٣).

# استخدام أساليب الفروقات المحددة ذات النقاط التسع لحل معادلة الانتقال الحراري ذات البعد الواحد

حميده عوده مزيان الحميدي و عبد السنوار جابر على السيف  
قسم الرياضيات/كلية التربية  
جامعة البصرة/ البصرة- العراق

## الخلاصة

نتناول في هذا البحث حل معادلة الانتقال الحراري ذات البعد الواحد باستخدام أسلوب الفروقات المحددة الموزون ذو النقاط التسع وقد تم تحديد دقة هذا الأسلوب بتطبيق ما يسمى بالمعادلة المعدلة ( Modified Equation ) وعند مقارنة الطريقة الجديدة مع ثلاثة طرائق أخرى من ناحية القيمة المطلقة لمعدل الخطأ وأكبر قيمة مطلقة للخطأ أعطى هذا الأسلوب نتائج جيدة ودقة أكبر من الأساليب الأخرى .

## المقدمة

في هذا البحث ركزنا الاهتمام على حل معادلة تفاصيلية جزئية المكافحة لمعادلة الانتقال الحراري ذات البعد الواحد والمتضمنة حدود الحمل ( Convection terms ) وحدود التوصيل ( Conduction terms ) والتي تعطى بالصيغة :-

$$\frac{\partial T}{\partial t} + u \frac{\partial T}{\partial x} = \alpha \frac{\partial^2 T}{\partial x^2} \quad \dots(1), \quad 0 \leq x \leq X, \quad t \geq 0$$

حيث  $T(x,t)$  تمثل درجة الحرارة عند الزمن  $t$  والمسافة  $x$  ، وكل من  $u$  و  $\alpha$  ثابت موجب حيث  $u$  يمثل السرعة و  $\alpha$  ثابت الانتشار .

الحل المضبوط [1] لهذه المسألة هو

$$T(x,t) = \frac{1}{\sqrt{4t+1}} \exp\left(-\frac{(x-x_o-u t)^2}{\alpha(4t+1)}\right) \quad \dots(2)$$

معادلة الفروقات المحددة تكتب بالصيغة

$$L_A [\tau_t''] = 0 \quad \dots(3)$$

استخدام أساليب الفروقات المحددة ذات النقاط التسعة لحل معادلة الانتقال الحراري ذات البعد الواحد  
حيثه عوده مربان الحميدي و عبد العستار جابر على السيف

حيث  $L_5$  مؤثر الفروقات المحددة و  $\tau = \tau(j\Delta x, n\Delta t)$  يمثل التقرير العددي للدالة  
 $T(j\Delta x, n\Delta t)$

باستخدام مفهوك تايلر نوسع كل حد من حدود المعادلة (3) حول نقطة عقدية في مجال الحل،  
لتحصل على معادلة الفروقات المكافئة للمعادلة التفاضلية (1) (Equivalent partial Differential Equation) (EPDE)

$$\frac{\partial \tau}{\partial t} + u \frac{\partial \tau}{\partial x} - \alpha \frac{\partial^2 \tau}{\partial x^2} + \sum_{q=2}^{\infty} \sum_{p=0}^q C_{p,q-p} \frac{\partial^q \tau}{\partial t^p \partial x^{q-p}} = 0 \quad \dots(4)$$

هذه المعادلة معرفة عند كل نقطة عقدية  $(j\Delta x, n\Delta t)$  وتستخدم لتحديد دقة أساليب الفروقات  
المحددة ، عند تحويل جميع المشتقات الزمنية في (4) ما عدا  $\frac{\partial \tau}{\partial t}$  إلى مشتقات مكانية نحصل  
على معادلة الفروقات المعدلة المكافئة للمعادلة التفاضلية (1) [3] (MEPDE).  
أن جميع معادلات الفروقات المحددة (Des) (Finite Difference Equations) المتطابقة مع  
معادلة الانتقال الحراري ذات البعد الواحد تكون لها (MEPDE) بالصيغة :

$$\frac{\partial \tau}{\partial t} + u \frac{\partial \tau}{\partial x} - \left(\alpha - \frac{u\Delta x}{2} \lambda_2(c, s)\right) \frac{\partial^2 \tau}{\partial x^2} + \sum_{p=3}^{\infty} \frac{u(\Delta x)^{p-1}}{p} \lambda_p(c, s) \frac{\partial^p \tau}{\partial x^p} = 0 \quad \dots(5)$$

حيث  $c = \frac{\Delta t}{\Delta x}$  ويعرف بعدد كورانت (courant number) وان عدد

الانتشار (Diffusion number) تتمثل مقادير فيزياوية لا بعديه [2] وان :-  
 $E = \sum_{p=2}^{\infty} \frac{u(\Delta x)^{p-1}}{p} \lambda_p(c, s) \frac{\partial^p \tau}{\partial x^p} = 0 \quad \dots(6)$

يمثل مقدار خطأ القطع (Truncation Error) الناتج من استخدام أساليب الفروقات المحددة  
ولهذا تكون (FDES) ذات دقة من الرتبة الأولى إذا كان المعامل  $\lambda_2(c, s) \neq 0$  و تكون  
ذات دقة من الرتبة  $r^{\text{th}}$  إذا كان  $(p=2)(1)r$  ،  $\lambda_p = 0$  و  $\lambda_{p-1} \neq 0$  معامل الانتشار  $\alpha$  يتغير  
إلى  $\left\{ \alpha - \frac{u\Delta x}{2} \lambda_2(c, s) \right\}$  في الحل العددي لذلك أما أن يكون المعامل  $(c, s) \lambda_2$  سالب وهذا

متزداد و ( $\alpha$ ) تؤدي إلى الانتشار الإضافي (Additional – Diffusion) أما إذا كان المعامل ( $c, s$ ) موجباً فأن  $\alpha$  تتناقص وينتج الانتشار المضاد (Anti – Diffusion)

## 2-أساليب الفروقات المحددة ذات النقاط التسع

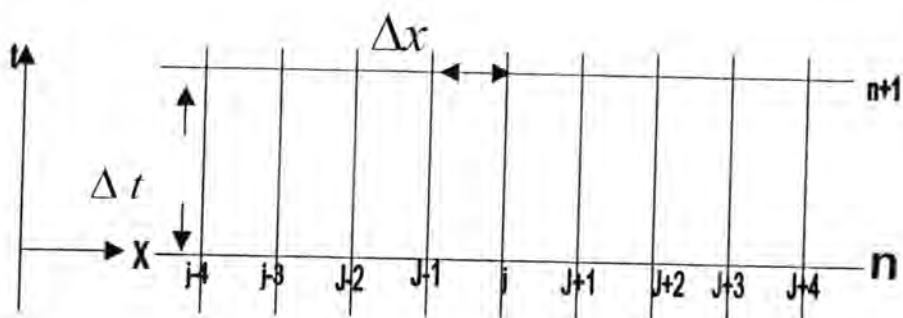
### Finite Difference Schemes Involving Nine-point Formula

لزيادة دقة نتائج الفروقات المحددة وذلك من خلال زيادة عدد حدود معادلة تمثيل المشتقات الجزئية الأولى والثانية عن طريق زيادة عدد النقاط المستخدمة وكما موضح بالصيغة :-

$$\frac{\partial T''}{\partial x_j} = \frac{1}{10080(\Delta x)} [T''_{j-4} + 36T''_{j-3} + 686T''_{j-2} - 6524T''_{j-1} + 6524T''_{j+1} + \\ - 686T''_{j+2} - 36T''_{j+3} - T''_{j+4}] \quad \dots (7)$$

$$\frac{\partial^2 T}{\partial x^2} \Big|_j'' = \frac{1}{20160(\Delta x)^2} [-T''_{j+4} - 48T''_{j+3} - 1372T''_{j+2} + 26096T''_{j+1} - 49350T''_j + \\ + 26096T''_{j-1} - 1372T''_{j-2} - 48T''_{j-3}] + O((\Delta x)^2) \dots (8)$$

إن حساب معادلة الانتقال الحراري عند النقطة العقدية  $(j,n)$  ممكن توضيحه من خلال المخطط المبين في الشكل الآتي :-



الشكل (١) : المخطط (١,٩)

$$\frac{\partial \tau}{\partial t} \Big|_j^n + u \frac{\partial \tau}{\partial x} \Big|_j^n = \alpha \frac{\partial^2 \tau}{\partial x^2} \Big|_j^n \dots (9)$$

(2-1) أسلوب الفروقات الأمامية للزمن والمركبة للحيز مع النقاط التسع

**Forward Time Central-space with Nine point scheme (FTCS&9)**

حيث تقارب المشتقه الزمنية باستخدام الفروقات الأمامية (Forward Differences) من الرتبة الأولى :-

$$\frac{\partial T}{\partial t} \Big|_j^n = \frac{\tau_j^{n+1} - \tau_j^n}{\Delta t} + O\{\Delta t\} \dots (10)$$

وتقرب حدود الحمل  $\frac{\partial^2 T}{\partial x^2}$  والتوصيل  $\frac{\partial^2 T}{\partial x^2}$  باستخدام الفروقات المركبة (Central Difference)

من الرتبة الثامنة (7) و (8). بتعويض كل من (7) و (8) و (10) في (9) وأعادة ترتيبها نحصل على الصيغة العامة لأسلوب (FTCS&9) بالشكل الآتي :-

$$\begin{aligned} T_j^{n+1} = & -\left(\frac{c}{10080} + \frac{s}{20160}\right)T_{j-4}'' - \left(\frac{c}{280} - \frac{s}{420}\right)T_{j-3}'' - \frac{343}{5040}(c+s)T_{j-2}'' + \frac{1631}{2520}(c+2s)T_{j-1}'' \\ & + \left(1 - \frac{4935}{2016}s\right)T_j'' - \frac{1631}{2520}(c-2s)T_{j+1}'' - \frac{343}{5040}(c-s)T_{j+2}'' + \left(\frac{c}{280} - \frac{s}{420}\right)T_{j+3}'' \\ & + \left(\frac{c}{10080} - \frac{s}{20160}\right)T_{j+4}'' \dots (11) \end{aligned}$$

وعدد تطبيق صيغة فون نيومان [4,7,8] (Von Neumann) للأستقرارية للمعادلة (11)

نحصل على:  $x = \cos\beta$   $G^2 - 1 = f(x)$   $x \in [-1,1]$  حيث

$$f(x) = b_0 + b_1x + b_2x^2 + b_3x^3 + b_4x^4 + b_5x^5 + b_6x^6 + b_7x^7 + b_8x^8 \dots (12)$$

حيث المعاملات :-

$$\begin{aligned}
 b_0 &= \left(\frac{971}{420}s\right)^2 - \frac{971}{210}s + \left(\frac{82}{63}c\right)^2 \\
 b_1 &= \frac{1640}{315}s - \frac{79622}{6615}s^2 - \frac{1558}{2205}c^2 \\
 b_2 &= -\frac{96097}{56700}c^2 - \frac{171}{315}s + \frac{3187723}{(630)^2}s^2 \\
 b_3 &= \frac{142478}{198450}c^2 - \frac{4}{105}s - \frac{14609}{(105)^2}s^2 \\
 b_4 &= \frac{945}{(630)^2}c^2 - \frac{s}{360} - \frac{11}{504}s^2 \\
 b_5 &= \frac{1232}{198450}s^2 - \frac{224}{19845}c^2 \\
 b_6 &= \frac{s^2}{1260} - \frac{665}{(630)^2}c^2 \\
 b_7 &= \frac{s^2}{33075} - \frac{c^2}{(105)^2} \\
 b_8 &= \frac{s^2}{(1260)^2} - \frac{c^2}{(630)^2}
 \end{aligned}$$

من (12) يكون شرط الاستقرارية :-

لتحقيق شرط الاستقرارية (13) يتطلب أن تكون  $f(x) \leq 0$  لقيم  $x$  ،  $-1 \leq x \geq 1$  ، فـ  $f(0) \leq 0$  لـ  $x=0$  فإذا كانت

$$0 < c \leq 0.77 \quad 0 < s \leq \frac{420}{971} \left[ 1 + \frac{\sqrt{(63)^2 - (82c)^2}}{63} \right]$$

أما إذا كانت  $x=1$  فـ  $f(1) \leq 0$  لـ  $s \leq 0.4$  وـ  $c > 0$  ويكون هذا الأسلوب ذو استقرارية غير مشروطة لـ  $s > 0$  عندما  $c > 0$

استخدام أساليب الفروقات المحددة ذات النقاط التسع لحل معادلة الانتقال الحراري ذات البعد الواحد  
حميده عورده مربان الحسيني و عبد الستار جابر على السيف

المعادلة (11) لها (MEPDE) من الصيغة (5) مع المعامل  $\lambda_2(c, s) = c > 0$  ومنه  
نلاحظ أن خطأ القطع للمعادلة (11) من الرتبة الأولى .

#### (٢-٢) أسلوب فروقات أبيوند مع النقاط التسع

#### Upwind Differences with Nine-point scheme (UD&9)

يتضمن هذا الأسلوب تقريب حدود الحمل باستخدام الفروقات الخلفية من الرتبة الأولى وحدود التوصيل تقرب بواسطة الفروقات المركزية من الرتبة الثامنة ونكتب صيغتها بالشكل

$$T_j^{n+1} = -\frac{s}{20160} T_{j-4}^n - \frac{s}{420} T_{j-3}^n - \frac{343s}{5040} T_{j-2}^n + \left(c + \frac{1631}{1260}s\right) T_{j-1}^n + \left(1 - c - \frac{4935}{2016}s\right) T_j^n + \frac{1631}{1260}s T_{j+1}^n - \frac{343}{5040} T_{j+2}^n - \frac{s}{420} T_{j+3}^n - \frac{s}{20160} T_{j+4}^n \quad (14)$$

و عند تطبيق طريقة فون نيومان نحصل على المعادلة (12) حيث المعاملات

$$b_0 = \left(\frac{971}{420}s\right)^2 + \frac{971}{210}s(c-1) + 2c(c-1)$$

$$b_1 = \frac{1640}{315}s + 2c(1-c) - \frac{6193}{630}cs - \frac{79622}{6615}s^2$$

$$b_2 = -\frac{171}{315}s + \frac{1811}{315}cs + \frac{3187723}{(630)^2}s^2$$

$$b_3 = -\frac{4}{105} - \frac{53}{105}cs - \frac{14609}{(105)^2}s^2$$

$$b_4 = -\frac{11}{504} - \frac{23c+1}{630}s$$

$$b_5 = \frac{1232}{198450}s^2 - \frac{cs}{630}$$

$$b_6 = \frac{s^2}{1260}, \quad b_7 = \frac{s^2}{33075}, \quad b_8 = \frac{s^2}{(1260)^2}$$

لتحقيق شرط الاستقرارية (13) يجب أن يكون  $f(x) \leq 0$  لقيم  $x \in [-1, 1]$  فإذا كانت  $0 < s \leq \frac{420}{971}[1 - c + \sqrt{1 - c^2}]$  فإن  $f(0) \leq 0$  ولقيم  $0 < c < 1$  فإذا كانت  $x=1$  ، فإن هذا الأسلوب ذو استقرارية غير مشروطة لجميع قيم  $s, c > 0$  وإذا كانت  $x=-1$  فإن  $f(-1) \leq 0$  لقيم

$$0 < s \leq \frac{1}{2A}[-(E c + I) + \sqrt{(E c + I)^2 - 4A(B c + D c^2)}]$$

$A=26.71085$  ،  $B=-4$  ،  $D=4$  ،  $E=20.67302$  ،  $F=1.024455E-07$  لكل  $c > 0$  حيث أن  $H=1.227018E-07$  ،  $I=-10.33651$

نلاحظ بأن (14) لها (MEPDE) من الصيغة (5) مع المعامل  $\lambda_2(c, s) = -(1 - c) < 0$  وان خطأ القطع للمعادلة (14) من الرتبة الأولى .

### (2-3) أسلوب الفروقات الموزون ذات النقاط التسعة

#### Nine-point with Weighted Difference scheme

نحصل على هذا الأسلوب بأخذ المعدل الموزون (Weighted Average) لحدود الحمل للأسلوبين (FTes&9) و (UD&9) عند النقطة العقدية  $(j,n)^{th}$  مع المعاملات  $\Phi$  و  $(1-\Phi)$  على الترتيب بالصيغة

$$\left. \frac{\partial T}{\partial x} \right|_j^n = \Phi \frac{T_j'' - T_{j+1}''}{\Delta x} + \frac{(1-\Phi)}{10080(\Delta x)} [T_{j-4}'' + 36T_{j-3}'' + 686T_{j-2}'' - 6524T_{j-1}'' + 6524T_{j+1}'' - 686T_{j+2}'' - 36T_{j+3}'' - T_{j+4}''] \quad \dots (15)$$

يدمج (15) مع الفروقات الأمامية من الرتبة الأولى للمشتقة  $\frac{\partial T}{\partial t}$  و الفروقات المركزية من

الرتبة الثامنة (8) للمشتقة  $\frac{\partial^2 T}{\partial x^2}$  ، فإن المعادلة (9) تصبح بالصيغة :

استخدام أساليب الفروقات المحددة ذات النقاط التسع لحل معادلة الانتقال الحراري ذات البعد الواحد  
حميده عورده مزيان الحميدي و عبد السنوار جابر على السيف

$$T_j^{n+1} = a_{-4} T_{j-4}^n + a_{-3} T_{j-3}^n + a_{-2} T_{j-2}^n + a_{-1} T_{j-1}^n + a_0 T_j^n + a_1 T_{j+1}^n + \\ a_2 T_{j+2}^n + a_3 T_{j+3}^n + a_4 T_{j+4}^n \quad \dots (16)$$

- حيث أن :

$$a_{-4} = \frac{-(1-\Phi)c}{10080} - \frac{s}{20160}$$

$$a_{-3} = \frac{-(1-\Phi)c}{280} - \frac{s}{420}$$

$$a_{-2} = \frac{-343}{5040} ((1-\Phi)c + s)$$

$$a_{-1} = \Phi c + \frac{1631}{2520} ((1-\Phi)c + 2s)$$

$$a_0 = 1 - \Phi c - \frac{4935}{2016} s$$

$$a_1 = -\frac{1631}{2520} ((1-\Phi)c - 2s)$$

$$a_2 = \frac{343}{5040} ((1-\Phi)c - s)$$

$$a_3 = \frac{(1-\Phi)c}{280} - \frac{s}{420}$$

$$a_4 = \frac{(1-\Phi)c}{10080} - \frac{s}{20160}$$

المعادلة (16) لها عامل التكبير (Amplification Factor) لصيغة فون نيومان للاستقرارية  
المعطى في (12) مع المعاملات :

$$\begin{aligned}
b_0 &= \left(\frac{971}{420}\right)^2 s^2 + \frac{971}{210} s(\Phi c - 1) + 2\Phi c(\Phi c - 1) + \left(\frac{82}{63}\right)^2 c^2 (1 - \Phi)^2 + \frac{164}{63} c^2 \Phi (1 - \Phi) \\
b_1 &= \frac{1640}{315} s + 2\Phi c(1 - \Phi c) - \frac{6193}{630} \Phi c s - \frac{79622}{6615} s^2 - \frac{171}{315} c^2 \Phi (1 - \Phi) - \frac{1558}{2205} c^2 (1 - \Phi)^2 \\
b_2 &= -\frac{96097}{56700} c^2 (1 - \Phi)^2 - \frac{1676}{630} c^2 \Phi (1 - \Phi) - \frac{171}{315} s + \frac{1811}{315} \Phi c s + \frac{3187723}{(630)^2} s^2 \\
b_3 &= \frac{142478}{198450} c^2 (1 - \Phi)^2 + \frac{34}{63} c^2 \Phi (1 - \Phi) - \frac{4}{105} s - \frac{53}{105} \Phi c s - \frac{14609}{(105)^2} s^2 \\
b_4 &= \frac{945}{(630)^2} c^2 (1 - \Phi)^2 + \frac{2\Phi c^2 (1 - \Phi)}{35} - \frac{(23\Phi c + 1)}{630} s - \frac{11}{504} s^2 \\
b_5 &= \frac{1232}{198450} s^2 - \frac{\Phi c s}{630} + \frac{\Phi c^2}{315} (1 - \Phi) - \frac{224}{19845} c^2 (1 - \Phi)^2 \\
b_6 &= \frac{s^2}{1260} - \frac{665}{(630)^2} c^2 (1 - \Phi)^2 \\
b_7 &= \frac{s^2}{33075} - \frac{c^2 (1 - \Phi)^2}{(105)^2} \\
b_8 &= \frac{s^2}{(1260)^2} - \frac{c^2 (1 - \Phi)^2}{(630)^2} \\
&\cdots (17)
\end{aligned}$$

تكون لها بالصيغة :-

$$\frac{\partial \tau}{\partial t} + u \frac{\partial \tau}{\partial x} - \left(\alpha - \frac{u\Delta x}{2} (\Phi - c)\right) \frac{\partial^2 \tau}{\partial x^2} + \frac{u(\Delta x)^2}{6} (\Phi - 6s - 3\Phi c + 2c^2) \frac{\partial^3 \tau}{\partial x^3} + o\{(\Delta x)^3\} = 0 \quad \dots (18)$$

من (18) المعامل  $\lambda_2(c, s)$  يكون

$$\lambda_2(c, s) = c - \Phi \quad \dots (19)$$

عند وضع  $\Phi = c$  في (19) نحصل على أسلوب من الربطة الثانية مع تسعة نقاط وتكون من الصيغة (16) مع المعاملات

استخدام أساليب الفروقات المحددة ذات النقاط التسع لحل معادلة الانتقال الحراري ذات البعد الواحد  
حميد عوده مزيان الحميدي و عبد السلام جابر على السيف

$$\begin{aligned}
 a_{-4} &= -\frac{(1-c)c}{10080} - \frac{s}{20160}, & a_4 &= \frac{c(1-c)}{10080} - \frac{s}{20160} \\
 a_{-3} &= \frac{-c(1-c)}{280} - \frac{s}{420}, & a_3 &= \frac{c(1-c)}{280} - \frac{s}{420} \\
 a_{-2} &= \frac{-343}{5040} ((1-c)c + s), & a_2 &= \frac{343}{5040} ((1-c)c - s) \\
 a_{-1} &= c^2 + \frac{1631}{2520} ((1-c)c + 2s), & a_1 &= -\frac{1631}{2520} ((1-c)c - 2s) \\
 a_0 &= 1 - c^2 - \frac{4935}{2016} s
 \end{aligned} \quad \dots (20)$$

و لتحقيق شرط الاستقرارية (13)، يتطلب أن تكون  $0 \leq f(x) \leq 1$  لقيم  $0 \leq x \leq 1$  - أي بعد تعويض (20) في (17) والأخير في (12) نلاحظ أن هذا الأسلوب ذو استقرارية غير مشروطة لجميع قيم  $s, c > 0$ ، عندما  $x=1$  وأن  $f(0) \leq 0$  إذا تحقق

$$\begin{aligned}
 0 < s &\leq \frac{420}{971} [1 - c^2 + \frac{1}{63} \sqrt{(63)^2 - 361c^4 - (82)^2c^2 + 3116c^3}] \\
 \text{و هذا ممكن قيم } &c \in [0, 3.3] \text{ حيث } 3.3 \leq c \leq 5 \text{ لكن تعطى } s < 0. \text{ وإذا} \\
 &\text{كانت } x = -1 \text{ فإن } f(-1) \leq 0 \text{ لقيم} \\
 0 < s &\leq \frac{1}{2A} [- (Ec^2 + I) + \sqrt{(Ec^2 + I)^2 - 4A(Fc^2(1-c)^2 + Hc^2(1-c) + Bc^2 + Dc^4)}]
 \end{aligned}$$

لكل  $c > 0$  حيث كل من  $A, B, D, E, F, H$  و  $I$  معرفة كما في البند (2-2).  
 من الممكن اعتبار (16) تعديماً للأساليب السابقة بالأعتماد على الوزن  $\Phi$  ، مثلاً عند وضع  $\Phi = 0$  نحصل على أسلوب (FTCS&#9) معادلة (11) وبالمثل نحصل على أسلوب  $\Phi = c$  معادلة (14) عند وضع  $\Phi = 1$  ومن الواضح أننا نحصل عند وضع  $\Phi = c$  على أسلوب الفروقات الحديث (RDS&#9) (Recently Difference scheme) على  $\Phi = c$  معادلة (16) (Artificial Diffusion) كما يكون خالياً من أي صيغة من صيغ الانتشار المصطنع (Artificial Diffusion) كما يكون

نظرياً و عملياً أفضل من الأساليب السابقة وهذا ما سنلاحظه في الدراسة العددية لها و ضمن الشروط المحددة للحصول على النتائج .

ولحساب القيم  $\tau_1^{n+1}, \tau_2^{n+1}, \tau_3^{n+1}, \dots, \tau_{m-1}^{n+1}, \tau_m^{n+1}$  حيث لا يمكن حسابها باستخدام (16) وذلك لأنها نقاط تقع خارج حدود الشبكة العقدية (Nodal Network) ، وبما أن قيمة الدالة عند النقاط الواقعة على حدود الشبكة العقدية تساوي إلى معدل النقطتين القريبة منها أي أن :-

$$T_0 = \frac{T_{-1} + T_1}{2} \rightarrow T_{-1} = 2T_0 - T_1$$

$$T_{-1} = \frac{T_{-2} + T_0}{2} \rightarrow T_{-2} = 3T_0 - 2T_1$$

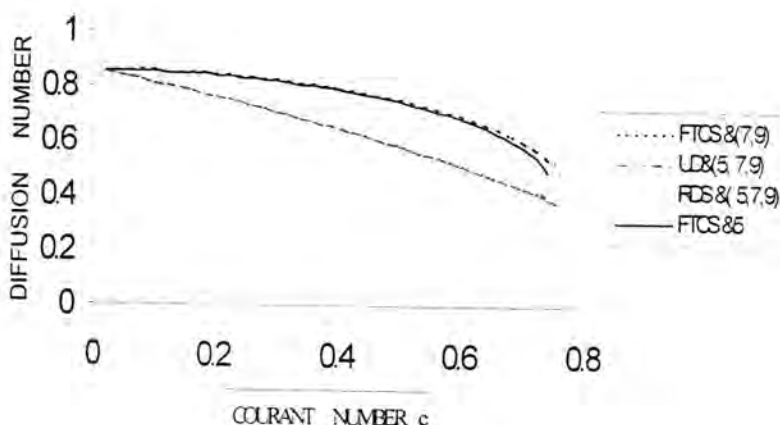
$$T_{-2} = \frac{T_{-3} + T_{-1}}{2} \rightarrow T_{-3} = 4T_0 - 3T_1$$

$$T_m = \frac{T_{m-1} + T_{m+1}}{2} \rightarrow T_{m+1} = 2T_m - T_{m-1}$$

$$T_{m+1} = \frac{T_m + T_{m+2}}{2} \rightarrow T_{m+2} = 3T_m - 2T_{m-1}$$

$$T_{m+2} = \frac{T_{m+1} + T_{m+3}}{2} \rightarrow T_{m+3} = 4T_m - 3T_{m-1}$$

أما بقية النقاط يتم حسابها باستخدام المعادلة (16) .



لكل (٢) يوضح لنقولية كل من (١)، (٣)، (٤)، (٥)، (٦)

### النتائج العددية

ستناقش الاختبار الذي اجري على المسألة ، ثم نقارن بين أساليب الفروقات من حيث  
القيمة المطلقة لمعدل الخطأ (Average error) واكبر قيمة مطلقة للخطأ (Maximum  
|error|  
عند الزمن النهائي .

ومن الجدير بالذكر انه يمكن الحصول على اصغر قيمة مطلقة لمعدل الخطأ واحياناً توجد اخطاء  
 تكون كبيرة في بعض نقاط الشبكة لذلك تضمنت الدراسة مقارنة الأساليب أكبر قيمة مطلقة للخطأ  
 [1,5,6]

في المجال  $0 < x < 9$  ، نقسم شبكة الفروقات المحددة بأبعاد منتظمة  $\Delta x = 0.025$  ونستخدم  
القيم المحددة للاختبار :

$$s=0.01, 0.04, 0.1, 0.005, 0.002, 0.0005 \quad \text{and} \quad u=0.8, 0.4, 0.1, 0.01$$

حيث يكون الحل المضبوط للمسألة قيد البحث في هذه الحالة هو (2) مع  $x_0 = 1$   
والنتائج موضحة في الجداول (1)، (2) و (3) عند الزمن النهائي  $T=5$  .

في المجال  $0 \leq x \leq 1$  نقسم شبكة الفروقات المحددة بأبعاد منتظمة  $\Delta x = 0.01$  ونستخدم القيم المحددة للاختبار :

$s=0.01, c=0.1, u=0.6$  و  $\alpha=0.0006, 0.006$  لقيم  $x_o = 0.2$  مع  $T=1$  حيث يكون الحل المضبوط للمسألة قيد البحث في هذه الحالة هو (2) مع والنتائج موضحة في الجداول (4) و (5) عند الزمن النهائي

الجدول (1): النتائج العددية لقيم

$$\alpha=0.005, c=0.4, s=0.1$$

Methods	Average  error	Max.  error
UD&3	5.063546E-03	6.920746E-02
UD&5	1.261649E-03	2.394776E-02
UD&7	1.379322E-03	2.534327E-02
UD&9	3.993405E-04	2.560042E-02
FTCS&3	9.128369E-03	1.990259E-01
FTCS&5	1.453303E-03	1.422292E-01
FTCS&7	3.393943E-04	1.555538E-02
FTCS&9	2.123775E-04	1.874575E-02
RDS&3	2.096507E-04	2.52539E-03
RDS&5	1.335449E-04	1.688812E-02
RDS&7	4.023869E-05	8.834722E-04
RDS&9	1.515414E-05	9.246515E-04

**الجدول (2): النتائج العددية لقيم**

$$\alpha=0.0005, c=0.4, s=0.01$$

Methods	Average  error	Max.  error
UD&3	4.752425E-03	1.563009E-01
UD&5	1.929324E-04	7.845717E-03
UD&7	1.917846E-04	7.111328E-03
UD&9	1.003001E-04	7.188740E-03
FTCS&3	UNSTABLE	UNSTABLE
FTCS&5	UNSTABLE	UNSTABLE
FTCS&7	UNSTABLE	UNSTABLE
FTCS&9	UNSTABLE	UNSTABLE
RDS&3	4.384182E-03	9.623561E-02
RDS&5	4.500736E-02	4.612668
RDS&7	8.598913E-05	3.891182E-03
RDS&9	3.876257E-05	4.306046-03

## الجدول (3): النتائج العددية لقيم

$$\alpha=0.002, c=0.4, s=0.04$$

Methods	Average  error	Max.  error
UD&3	5.577684E-03	1.075763E-01
UD&5	5.836730E-04	1.473367E-02
UD&7	6.122184E-04	1.687409E-02
UD&9	2.700138E-04	1.748567E-02
FTCS&3	UNSTABLE	UNSTABLE
FTCS&5	UNSTABLE	UNSTABLE
FTCS&7	UNSTABLE	UNSTABLE
FTCS&9	UNSTABLE	UNSTABLE
RDS&3	1.273862E-03	2.452372E-02
RDS&5	4.873631E-05	5.049255E-03
RDS&7	7.861840E-07	5.023745E-05
RDS&9	3.962509E-07	2.305454E-05

استخدام أساليب الفروقات المحددة ذات النقاط التسعة لحل معادلة الانتقال الحراري ذات البعد الواحد  
حميد عوره مزيان الحميدي و عبد السنوار جابر على السيف

الجدول (4): النتائج العددية لقيم

$$\alpha=0.006 \text{ و } c=0.1 \text{ و } s=0.1$$

Methods	Average  error	Max.  error
UD&3	1.565479E-02	6.373638E-02
UD&5	2.479141E-02	3.761341E-01
UD&7	1.574402E-02	6.387153E-02
UD&9	3.953051E-04	1.483367E-02
FTCS&3	2.288415E-03	9.495318E-03
FTCS&5	1.059814E-02	4.722121E-01
FTCS&7	2.221802E-03	9.412259E-03
FTCS&9	6.577255E-05	2.443135E-03
RDS&3	1.200993E-02	5.270627E-02
RDS&5	9.821607E-03	4.616575E-01
RDS&7	5.500992E-04	6.164849E-02
RDS&9	1.834112E-05	8.232147E-04

الجدول (5): النتائج العددية لقيم

$$\alpha=0.0006 \text{ و } c=0.1 \text{ و } s=0.01$$

Methods	Average  error	Max.  error
UD&3	2.989718E-02	2.387424E-01
UD&5	2.974546E-02	2.388053E-01
UD&7	2.9904283E-02	2.388026E-01
UD&9	6.007069E-04	2.568949E-02
FTCS&3	1.836994E-02	1.70192E-01
FTCS&5	1.066424E-02	1.248983E-01
FTCS&7	1.066038E-02	1.228066E-01
FTCS&9	1.786341E-07	1.391437E-05
RDS&3	1.023790E-02	9.130153E-02
RDS&5	7.850856E-04	8.562326E-03
RDS&7	9.040865E-04	9.818494E-03
RDS&9	1.002513E-06	5.765341E-05

## الأستنتاجات

ناقشنا في هذا البحث كيفية تحسين أساليب الفروقات المحددة المستخدمة لحل معادلة الأنقال الحراري ذات البعد الواحد لأهميتها في التطبيقات الهندسية والفيزيائية ومن أهم الأستنتاجات التي توصلنا إليها :-

- ١- بالأمكان تحسين أساليب الفروقات المحددة بواسطة معادلة الفروقات المعدلة المكافئة للمعادلة التقاضلية (MEPDE) حيث أنها تسمح بضم معادلتين من معادلات الفروقات المحددة والتي لها نفس رتبة خطأ القطع لتعطي أسلوباً برتبة أعلى كما تستخدم لتحديد الوزن المستخدم في الفروقات لعرض أعطاء نتائج أكثر دقة .
- ٢- تعتمد الدقة العددية على عدد النقاط العقدية المختار ، ونستنتج من النتائج العددية والمواضحة في الجداول الخمس السابقة بأن زيادة عدد نقاط الشبكة يعطي نتائج أكثر دقة ، حيث حصلنا على قيمة مطلقة لمعدل الخطأ أقل مما هي عليه في أساليب الفروقات المحددة ذات الثلاث ، الخمس والسبع نقاط .
- ٣ - نلاحظ من خلال الشكل (٢) والذي يوضح رسم منحني بين  $S$  و  $C$  التي تم حساب الدقة عندما ومن خلال المقارنة بين مناطق الاستقرارية والدقة بأنه لا يوجد فرق كبير في استقرارية كل من طريقة الخمس ، السبع و التسع نقاط ما عدا استقرارية طريقة (7,9) (FTCS & 7,9) أكبر من طريقة (FTCS&5) .

## REFERENCES

- [1] AL-saif,A.J. and Mohammed , A.J. "Finite Difference Methods Involving Five-point Formula for convection – Diffusion Equation "in Basrah J. science , A,vol.16 (1998)

- [2] Noye, B.J . and Hymen ,k.J., "An Accurate Five- point Explicit Finite Difference Method For solving the One – Dimensional Linear Diffusion Equation " , Computational Techniques and Applications :CTAC – 85 (1986)
- [3] Noye, B.J.and Hyman ,k.J., "Accurate Finite Difference Method For solving the advection-diffusion Equation " , Computational Techniques and Applications :CTAC – 85 (1986)
- [4] Mitchell ,A.R. and Griffiths,D.F., "The Finite Difference Method in Partial Differential Equation " ,University of Dundee, Scotland . (1980)
- [5] Noye,B.j. and Tan,H.H., "Third Order Semi-Implicit Finite Difference Methods For Solving The One -Dimensional Convection-Diffusion" (1988)
- [6] ] Noye,B.j., "Time-Splitting The One-Dimensional Transport Equation ".Elsevier Science Publishers B.V. pp.271-295(1987)
- [7] ] Noye,B.j., "Numerical Solution of Partial Differential Equations ".South Australia. North-Holland(1981)
- [8] Smith ,D.G., " Numerical Solution of Partial Differential Equations Finite Difference Method". London (1978)

استخدام صبغة الكونغو الحمراء في الوسط الزرعي لتسريع عزل وتنقية وتشخيص الانواع  
تابعة لجنس *Azospirillum*

خليل مصطفى خماس ، ندى زكي مهدي ، ليلى عبد الحميد سعيد  
قسم علوم الحياة - كلية العلوم - الجامعة المستنصرية

### ABSTRACT

151 isolates were identified of *Azospirillum* out of 289 nitrogen fixing bacteria. These isolates were obtained from soil rhizosphere and sterilized rice root of different regions in Iraq. Utilizing biochemical and physiological characters, the isolates were differentiated into three species, *A. brasiliense*, *A. lipoferum*, and *A. irakense* and their numbers were 88, 16 and 47 respectively. All isolates of *A. irakense* (except two) were obtained from sterilized root. Using modified Red Congo medium for isolation, purification and identification. They were classified into three groups (A, B and C) according to colony colors. The results indicated that there is a relationship between biochemical characters and textures , shapes and colors of colonies. It seemed that there was a similarity between colonies of the same group , which differ from the other groups.

### الخلاصة

شخصت ١٥١ عزلة تعود لجنس *Azospirillum* من مجموع ٢٨٩ عزلة مثبتة للنتروجين تم الحصول عليها من منطقة الرايزوسفير وجذر نبات الرز لمناطق مختلفة من العراق، وباستخدام الاختبارات الكيمويوية والخصائص الفسيولوجية الاخرى امكن توزيع العزلات على الانواع : *A. irakense* و *A. lipoferum*، *A. brasiliense* وباعداد بلغت ٤٧، ١٦ و ٨٨ على التوالي . كانت جميع عزلات النوع *A. irakense* (باستثناء عزلتين) من جذور النبات المعمق، استخدمت اطباق وسط الكونغو الحمراء المحور للعزل وتنقية وتشخيص، اظهرت مستعمرات العزلات اختلافا واضحا في شكل وتوزيع الصبغة فيها، لذا فقد قسمت الى ثلاثة مجاميع (A,B,C). دلت النتائج على وجود ارتباط وصلة وثيقة بين الاختبارات او الخصائص الكيمويوية مع نتائج اختبارات شكل المستعمرة وانتشار الصبغة والمناطق التي كونتها، كان

استخدام صبغة الكونغو الحمراء في الوسط الزرعي لترسيخ عزل وتنقية وتشخيص الانواع التابعة لجنس *Azospirillum*  
خليل مصطفى خناس وجماعته

هناك تشابه لكل عزلات المجموعة الواحدة لطبيعة المستعمرات في الوقت الذي اختلفت فيه عن  
المجموعات الأخرى.

## المقدمة

منذ اعادة عزل بكتيريا *Azospirillum* حظيت هذه البكتيريا بدراسة مكثفة بسبب تأثيرها  
المفيد على بعض مجتمعات المحاصيل النباتية، وتمتلك هذه البكتيريا عدة اليات تشتمل على انتاج  
الهورمونات مثل auxin cytokinines وغيرها<sup>(٢)</sup> ، وتنشيط النتروجين وترسيخ نمو النبات<sup>(٣)</sup> ،  
وعادة تستعمر قشرة الجذر ومنطقة الرايزوسفير لمجموعة كبيرة من النباتات المهمة زراعياً<sup>(٤)</sup>.  
هذا لحد الان خمسة انواع مكتشفة تقع ضمن جنس *Azospirillum* : *A. brasiliense* ، *A. irakense* ، *A. halopraeferens* ، *A. amazonense* و *A. lipoferum*<sup>(٧,٦,٥)</sup> . اعتمد  
في تشخيص هذه الانواع على الصفات المظهرية (phenotype characters) (تشمل الشكل  
الظاهري والصفات الكيمويولوجية) واستخدام التقنية الجزيئية DNA/DNA (hybridization)<sup>(٨,٧)</sup> اضافة الى وسائل اخرى مستندة على التقنية الجزيئية<sup>(٩)</sup> ومع كل هذا  
بقت الصعوبات كثيرة نتيجة للتشابه بين هذه الانواع عند نموها على الاوساط الزراعية واطالة  
فترقة العزل والتقطية والتشخيص فضلا عن العدد الكبير من الاختبارات الكيمويولوجية اللازمة  
لتفرير هذه الانواع<sup>(١٠)</sup> ، اضافة لوجودها مع مجتمع اخرى من البكتيريا المثبتة للنتروجين  
وارتباط هذه المجاميع بشدة مع التربة وجذور النباتات مما جعل العزل والتقطية امرا في غاية  
الصعوبة<sup>(١٢,١١)</sup> ، كما وان بكتيريا *Azospirillum* تعد بطيئة النمو وزمن الجيل طويلا نسبيا  
مقارنة مع الاجناس البكتيرية الاخرى المتواجدة معها<sup>(١٢)</sup> . ويتم عزل *Azospirillum* روتينيا من  
خلال تمعيיתה على وسط NfB الاغنائي<sup>(٨)</sup> الذي يسمح بنمو مجتمع بكتيرية اخرى مثبتة اخرى  
للنتروجين<sup>(١٤)</sup> ، لذا اقترح الباحثون بضرورة تطوير وسط انتقائي لعزل هذه البكتيريا<sup>(١٥)</sup> او من  
خلال تقليل تركيز المصدر الكربوني في الوسط<sup>(١٤)</sup> او باستخدام صبغة الكونغو الحمراء في  
الوسط الزراعي<sup>(١٢)</sup> . استخدمت الصباغ الحيوية بصورة روتينية لصبغ البكتيريا والاحياء  
المجهورية الاخرى<sup>(١٦,١٧)</sup> واعتبر<sup>(١٩)</sup> ان التصنيف احد طرق التشخيص الجرثومي كاصباغ  
المستعمرة في الوسط الزراعي او عدم اصطباغها او قدرة الصبغة على تبيين بعض الانواع  
البكتيرية ليتحول الوسط من عام الى وسط انتقائي .

كانت صبغة الكونغو الحمراء ذات قاعدة كبيرة في تشخيص بكتيريا *Pasteurella pestis* <sup>(١٩)</sup> او  
تشخيص *Shigella sonnei* <sup>(٢٠)</sup> ، كما وان هذه الصبغة قد استخدمت لتفرير بكتيريا

عن بقية الاجناس<sup>(١)</sup>. وكان استخدام هذه الصبغة في الوسط الزراعي لعزل بكتيريا *Rhizobium* عن بقية انواع الاجناس المثبتة للنتروجين مثل *Enterobacter*, *Bacillus*, *Azospirillum* و *Pseudomonas* و *Klebsiella* المتواجدة معها قد استخدم من قبل Caceres<sup>(١٢)</sup> واوضح اهمية الصبغة في تمييز جنس *Azospirillum* عن بقية المحاجم الاخري، حيث ان الاخيرة لا تمتلك الصبغة عكس عزلات جنس *Azospirillum*. وعندما استخدمت هذه الصبغة لهذا الغرض لم تتم الاشارة او التطرق الى قابلية الصبغة على تفريق او تمييز الانواع ضمن هذا الجنس<sup>(٢,١٢,٣)</sup> ، سوى ماذكره (Bashan and Levanony)<sup>(٢٣)</sup> من ان الوسط الحاوي على صبغة الكونغو الحمراء مع بعض المضادات الحيويية استطاع تمييز عزلات النوع *A. brasiliense* عن بقية الانواع. وفي دراسة لاحقة<sup>(٤)</sup> استطاعت وباستخدام هذه الصبغة من تمييز ثلاثة انواع ضمن جنس *Azospirillum* وذلك من خلال اشكال المستعمرات وشدة الصبغة وانتشارها.

هدفت هذه الدراسة الى تقييم استخدام صبغة الكونغو الحمراء في الوسط الزراعي الصلب لعزل وتنقية وتشخيص العزلات لانواع جنس *Azospirillum* وبيان مدى الصلة بين الخصائص او الصفات الظاهرية والكيمويوية مع خصائص المستعمرات النامية على وسط هذه الصبغة.

### المواد وطرق العمل

#### الاواسط الزراعية : استخدم نوعين رئيسيين من الاوساط:

١. وسط Nfb الاغنائي الشبه الصلب (semi-solid) والخالي من النتروجين والخاص لعزل بكتيريا *Azospirillum*<sup>(٥)</sup> والذي احتوى على المكونات التالية (غم/لتر) :  
NaCl (0.1) ، MgSO<sub>4</sub>.7H<sub>2</sub>O(0.2) ، K<sub>2</sub>HPO<sub>4</sub>(0.5) ، DL.malic acid (5) ، Na<sub>2</sub>MoO<sub>4</sub>.H<sub>2</sub>O (0.1) ، MnSO<sub>4</sub>.H<sub>2</sub>O (0.002) ، CaCl<sub>2</sub>(0.02) EDTA (٠.٢ % وزن/حجم) ، (٢ مل ) Bromothymol blue (٠.٥ % في ١.٦٤ مل ) Biotin (٤.٨) ، KOH (١.٨) ، اكار وضبط الاس الهيدروجيني (KOH) . . . . .  
على 6.8 وعند استخدام مصادر كربونية اخرى للاختبارات استبدل المصدر الكربوني اعلاه بينما بقيت المحتويات الاخرى كما هي.
٢. وسط الكونغو الحمراء (RC)<sup>(٦)</sup>: استخدم هذا الوسط للعزل وتنقية حسب طريقة<sup>(٦)</sup> مع اجراء بعض التحويرات على مكونات الوسط وكالاتي (غم/لتر) :

استخدام صبغة الكونغو الحمراء في الوسط الزرعي لتسريع عزل وتنقية وتشخيص الابراج التابعة لجنس *Azospirillum* خليل مصطفى خماس وجماهه

$\text{NH}_4\text{Cl}(1)$ ,  $\text{NaCl}(0.1)$ ,  $\text{MgSO}_4 \cdot 7\text{H}_2\text{O}(0.2)$ ,  $\text{K}_2\text{HPO}_4(0.5)$ , DL-malic acid (5), مستخلص الخميرة (0.2),  $\text{FeCl}_3 \cdot 6\text{H}_2\text{O}(0.015)$ , بيوتين (0.001), KOH (4.8)، KOH (0.1N) اكار وتم ضبط الاس الهيدروجيني على ٦.٨ بواسطة KOH (0.1N)

### جميع العينات وطرق العزل

اخذت عدة نباتات (٣ الى ٥) من نبات الرز مع كتلة التربة المحيطة به وبصورة عشوائية للحقل الواحد لثلاث مناطق تبعد الواحدة عن الاخر بحدود ٢٠ كيلومتر في كل محافظة من محافظات النجف والقادسية وديالى وحفظت العينات في اكياس بلاستيكية معقمة ودرجة ئم واستخدمت في مدة اقصاها اسبوع بعد الجمع. اخذت عينات من تربة الرايزوسفير المحيطة بالجذور، وكذلك من جذور نفس النبات (٣ نباتات). وغسلت عدة مرات بالماء المعقم، وثم عوملت مع ١% من T Chloramine وغسلت بعدها لمرات عدة حسب طريقة (٢٥). سحقت الجذور بعدها او قطعت الى قطع صغيرة (١ الى ٢ سم) ووضعت في انبيب احتوت على ٥ مل من وسط Nfb ثم حضنت بحرارة ٣٥°C ولمدة ٧٢ ساعة . وبعد ظيور النمو البكتيري على شكل حلقة بيضاء (Pellicle) كثيفة تحت السطح (٣ الى ٧ ملم) على وسط Nfb ثم تخطيطها على وسط RC وحضنت بحرارة ٣٥°C ولمدة ٧٢ ساعة وبعد ظهور المستعمرات ذات اللون الاحمر ثم التقاطها وتخطيطها مرة ثانية على اطباق وسط RC المحور وحسب مانكره (١٢) لغرض التأكيد من نقاوة المستعمرات عن المجاميع البكتيرية الاخرى التي ظهرت معها عن عملية التخطيط الاولى والتي كانت عديمة اللون.

### التشخيص

اخضعت جميع العزلات الى الاختبارات الكيمويوبوئية والفيسيولوجية باستخدام مجموعة من المصادر الكربونية المختلفة، اضافة الى ملاحظة الشكل الخارجي للخلايا بواسطة المجهر الضوئي (جدول ١ من النتائج) اعتنادا على ما اشار له (١٢.٨.٧.٦)، وكما استخدمت ثلاث سلالات بمثابة type strains وهي Sp7 (ATCC 29145) النوع *A. brasiliense* ، Sp59b (ATCC 29707) النوع *A. lipoferum* و KBC1 (A. irakense) كمصدر للمقارنة وتقسيم النتائج

درست اشكال المستعمرات والوانها وانتشار صبغة الكونغو الحمراء بواسطة dissecting microscope.

### قياس فعالية انزيم النيتروجينيز

لتحت الانابيب الحاوية على ٥ مل من وسط Nfb للعزلات النامية على وسط RC المحور وحضنت بحرارة ٣٠ م ولمدة ٧٢ ساعة . قدرت فعالية انزيم النيتروجينيز بطريقة احتزال الاستيلين<sup>(٢٦)</sup> وتم التعبير عن النتائج من خلال تحرر غاز الايثيلين (نانومول / مل / ساعة) .

### النتائج والمناقشة

من مجموع ١٦٢ مستعمرة حمراء نامية على وسط RC المحور شبّهها ببكتيريا Azospirillum اعطت ١٥١ عزلة منها نتائج ايجابية لفحص احتزال الاستيلين ، فيما اهملت بقية العزلات التي لم تظهر اية فعالية مقبولة لهذا الفحص واظهرت ١٥ عزلة فعالية منخفضة لانزيم النيتروجينيز تراوحت بين ٧ الى ١٥ نانومول C<sub>2</sub>H<sub>4</sub>/مل / ساعة وهي ضمن الحدود المقبولة<sup>(٢٧,١٥)</sup> ، اما بقية العزلات (١٣٦ عزلة) فتراوحت فعالية النيتروجينيز ما بين ٣٠ الى ٣٢٠ نانومول C<sub>2</sub>H<sub>4</sub>/مل / ساعة .

درست العزلات (١٥١ عزلة) تفصيليا وقسمت الى ثلاثة مجاميع A, B, C استنادا الى الاختبارات الكيمويوية والخصائص الفسيولوجية والمظاهر الخارجي، اذ بلغ عدد العزلات ٤٧,١٦,٨٨ لكل مجموعة على التوالي .

يشير الجدول (١) الى ان المجموعة A لم تستطع استخدام السترات والمانتيول والسكروز ، وكذلك الكلوكوز ( باستثناء ٤ عزلات من اصل ٨٨ )، فيما لم تظهر الحاجة الى البيوتين ولم تترتب حامضا من سكري الفركتوز او الكلوكوز لكنها كانت قادرة على استخدام D-alanine اضافية الى ان اشكال خلاياه كانت تشبه الصيمة قصيرة ثابتة الشكل واستنادا الى<sup>(٨,٧,٦)</sup> فان تلك الصفات تعود للنوع A. brasiliense .

اما عزلات المجموعة B ( ١٦ عزلة) وكما يتضح ذلك من جدول (١) وكانت بحاجة الى البيوتين ، منتجة حامضا من الكلوكوز والفركتوز ، واستخدمت السترات و الكلوكوز والمانتيول والكليسروول بينما لم تستخدم السكروز وبعض السكريات الثانية، هذا اضافة الى ان

استخدام صبغة الكونغو الحمراء في الوسط الزرعي لتسريع عزل وتنقية وتشخيص الانواع التابعة لجنس *Azospirillum*  
خليل مصطفى خماس وجماعته

الخلايا كانت متعددة الاشكال (بعضها قصير والآخر طويل) واستنادا الى<sup>(8,7,6)</sup> فان هذه المجموعة  
تعود للنوع *A.lipoferum*.

والمجموعة C والتي بلغ عدد عزلاتها ٤٧ فالجدول (١) يبين ان عزلاتها ليست بحاجة الى  
البيوتين واستخدمت الكلوكوز لكن لم تنتج حامضا منه، واستخدمت السكروز، المالتوز، السليبيوز  
و trichalose ولم تستخدم الماننول او الكلايسروول اضافة الى قابليتها على تحلل البكتيريا (بعد ٧  
 الى ٩ ايام) من الحمضن كما انها سريعة الحركة على وسط Nfb وذات خلايا نحيفة وهذه الصفات  
واستنادا الى<sup>(28,10,7)</sup> تتطابق على النوع *A.irakense*. لقد استبعدت المجموعة C او بعض  
عزلاتها من ان تكون ضمن النوع *A.amazonense* (وجود شبه كبير بين النوع *A.irakense*  
*amazonense* من الناحية الكيموحيوية)<sup>(7)</sup> فقد استطاعت جميع عزلات  
المجموعة C من النمو على وسط Nfb الحاوي على ٣٪ NaCl وحللت البكتيريا واستطاعت  
النمو وتنشيت النتiroجين في اس هيدروجيني مقداره ٧.٥ اضافة الى انها اظهرت swarming  
على الوسط الحاوي على ٧.٥ غم /لتر من الاكار (soft agar)<sup>(29,10)</sup> . وبذلك فان كل هذه  
الصفات تميز النوع *A.irakense* عن *A.amazonense* ، كما استبعدت عزلات المجاميع  
الثلاث (C,B,A) من ان تكون هي او بعضها تعود للنوع *A.halopraeferens* لكون هذا  
النوع لاينمو على وسط RC ولا عند اس هيدروجيني مقداره ٦.٠ كما لاينمو بحرارة ٣٥°C ،  
علمما ان جميع العزلات قد تم تمييذها بهذه الدرجة الحرارية .

جدول (١) نتائج الاختبارات التفريقية الكيموحيوية للعزلات بين مجتمع (١) *Azospirillum*

(c) المجموعة C	(b) المجموعة B	(a) المجموعة A	الفحص
ثابتة الشكل تشبه الضمة خلاياها نحيفة	متعددة الاشكال ومتغيرة (طويلة وقصيرة)	قصيرة تشبه الضمة، ثابتة الشكل	شكل الخلايا على وسط Nb
-	-	-	صبغة كرام
+	+	+	Oxidase
+	v	+	Catalase
-	+	-	الحاجة الى البيوتين
-	+	-	تكوين حامض من الفركتوز والكلوكوز
			استخدام المصادر الكربونية:-
+	+	±	D-glucose
-	+	-	D.mannitol
-	+	-	Citrate
+	-	-	Sucrose, Maltose Trehalose, D -Cellobiose Lactose
-	+	+	Glycerol
v	-	+	D. alanine
+	+	+	Lalanine, malate Lactate, succinate Acetate
+	-	-	تحلل البكتين (٧ الى ٩ يوم)

(١) جميع العزلات البالغة ١٥١ قد اختبرت

+ = جميع العزلات موجبة للفحص

- = جميع العزلات سالبة للفحص

± = اكثر من ٩٠% من العزلات سالبة للفحص

v = النتيجة متغيرة (سالبة او موجبة) بين العزلات

= مجموعة A = عزلات تعود لنوع *A. brasiliense* وعددتها ٨٨ عزلة

= مجموعة B = عزلات تعود لنوع *A. lipoferum* وعددتها ١٦ عزلة

= مجموعة C = عزلات تعود لنوع *A. irakense* وعددتها ٤٧ عزلة

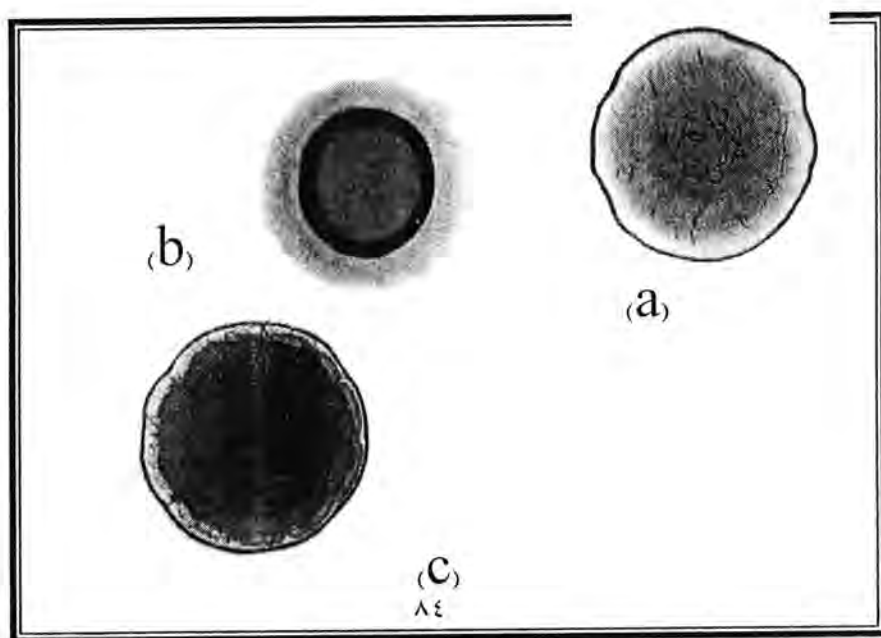
و عند دراسة مستعمرات العزلات لكل مجموعة كلا على حدة على وسط الكونغو الحمراء المحور بعد اكتمال دراستها من الناحية الكيموحيوية والشكل الظاهري ولا يجاد صلة او علاقة في هذا الجانب فقد اظهرت مستعمرات كل مجموعة اختلافا واضحا عن المجموعة الأخرى،

استخدام صبغة الكوونغو الحمراء في الوسط الزرعي لتسريع عزل وتنقية وتشخيص الانواع التابعة لجنس *Azospirillum*  
خليل مصطفى خماس وجماعته

وتشابهت عزلات كل مجموعة مع بعضها البعض على هذا الوسط وخاصة عند استمرار حضن المستعمرات لمدة أسبوع.

يوضح الشكل (1) ان مستعمرات المجموعة A والتي شخصت ضمن النوع *A. brasiliense* (من هذه الدراسة) قد تميزت بامتصاصها الشديد للصبغة ولونها الاحمر الغامق بعد ثلاثة ايام من الحضن، وكان شكل المستعمرة بعد اسبوع من الحضن ذات تفاصيل تحت الحافة الخارجية فيما انتشرت الصبغة في معظم المستعمرة ولغاية المنطقة الواقعة تحت حافة المستعمرة تحيطها منطقة فاتحة اللون ضيقة وتحدها من الخارج حافة المستعمرة المائلة الى القصص نوعا ما. بدت المستعمرات جافة وملتصقة بالوسط الزرعي وذات لون احمر غامق من ذيادة اليوم الثالث وحتى اليوم العاشر ولم تظهر اختلافات واضحة بين مستعمرات العزلات لهذه المجموعة (باستثناء عزلتين) كانت حافاتها ملساء غير مفصصة.

اما المجموعة B والتي وضعت ضمن النوع *A. lipoferum* فقد كانت مستعمراتها (كما في الشكل 1) مولفة من ثلاثة مناطق مختلفة اللون بحيث تركزت الصبغة الحمراء في مركز المستعمرة وامتدت بالتساوي لتشغل حيزا كبيرا من المستعمرة، واحيطت بحلقة دائرية سوداء والتي كانت محاطة من الخارج بحلقة دائرية فاتحة اللون شاحبة للون، واستمرت كذلك حتى اليوم العاشر، اما المستعمرة فكانت محدبة اذ كانت جميع العزلات المكونة للمستعمرات متجانسة الشكل ومتباينة مع بعضها البعض ومع سلالة السيطرة Sp59b.



شكل (١) : مستعمرات الانواع التابعة لجنس *Azospirillum* بعد اسبوع من الحضن

*A. brasiliense* (c، *A.lipoferum* (b ، *A.irakense* (a

قوة التكبير ٢٥X

اما مستعمرات المجموعة C والتي كانت ضمن النوع *A. irakense* فقد تميزت بامتصاصها الصبغة ولكن بصورة اخف وكان لون المستعمرة وردي يميل الى البرتقالي، وذات شكل دائري ومظهر لامع، فيما انتشرت الصبغة في معظم المستعمرة واظهرت بداخليها خطوطا شعاعية غير منتظمة تركزت في الاطراف بعد اليومين الثالث والرابع، وسرعان ما اتجهت هذه الخطوط نحو المركز بعد اسبوع من الحضن (شكل ١) وكان شكل المستعمرة مرتفعا اشبه بالقبعة، فيما كان شكل المستعمرات لجميع العزلات متطابقا ومتباينا الى حد بعيد مع سلالة KBCI.

ومما يثير الانتباه عدم نمو جميع عزلات المجموعتين A,B عندما استبدلت صبغة الكونغو الحمراء بصبغة المثيل الحمراء وعلى نفس الوسط وذلك عندما تمت زيادة تركيز الصبغة الى ١٥٠ ملغم/ لتر بدلا من التركيز ٣٧,٥ ملغم/لتر) وهذا التركيز هو الذي استخدم في جميع العزلات مع صبغة الكونغو الحمراء) اما المجموعة C فقد نمت جميع عزلاتها على هذا التركيز الاعلى، وهي نفس الملاحظة التي اشير لها في دراسة سابقة<sup>(٢٤)</sup> ولكن كان التركيز المستعمل هو ٢٠٠ ملغم/ لتر من صبغة المثيل الحمراء وعليه ممكن استخدام هذه الصبغة كوسط انتقائي للنوع *A. irakense* لتمييزها عن النوعين السابقين بالتركيز المشار له اعلاه، وقد اشار<sup>(١٧)</sup> ان بعض الصبغات مثبطة لأنواع بكتيرية معينة او ذات تأثير سمی ليتحول الوسط من عام الى وسط انتقائي، وتتفق هذه الظاهرة مع ماتوصلت اليه اللامي<sup>(٢٠)</sup> حول تأثير تركيز صبغة المثيل الحمراء على نمو بكتيريا *Edwardsiella* . ولابد من الاشارة الى ان صبغة الكونغو الحمراء تمتاز بصغر وزنها الجزيئي وسرعة ذوبانها في الماء اضافة الى انتشارها داخل المستعمرة<sup>(١٨)</sup> ويشار الى نفاذية سطح الخلية لهذه الصبغة والتي تتحدد مع السكريات المتعددة والبروتين لتشكل معقد ما يليث ان يتغير من حالة لآخر بسبب العملية الايضية او النمو او طرح الصبغة نتيجة العمليات الايضية نحو مركز المستعمرة<sup>(٢٠)</sup>، وربما يعود التباين في الالوان للمستعمرة الواحدة الى ان خلايا البكتيريا الموجودة بالقرب من محيط المستعمرة اكثر نشاط وحيوية لتخالص من فعل

استخدام صبغة الكونغو الحمراء في الوسط الزرعي لتسريع عزل وتنقية وتشخيص الانواع التابعة لجنس *Azospirillum*  
خليل مصطفى خماس وجماعته

الصبغة فتطرحها خلفها نحو مركز المستعمرة لذا تمركزت الصبغة غالباً في مركز المستعمرة  
وقد انها او قلتها في المنطقة الواقعة بالقرب من حفافتها.

اثبّتت النتائج اعلاه ان استخدام صبغة الكونغو الحمراء اعطت نتائج واضحة ورتب  
العزلات جميعاً الى ثلاثة مجتمعات كان لها صلة او ارتباط واضحين تماماً بتقسيم العزلات استناداً  
إلى خصائصها المورفولوجية والكيمويولوجية بحيث ان المجموعة التي تشابهت خصائصها  
الكيمويولوجية تشابهت كذلك في شكل المستعمرات وانتشار الصبغة والمناطق التي تكونت في  
المستعمرة.

ومن الملاحظات الأساسية في هذه الدراسة ان النتائج برهنت ان اعداد العزلات التي تم  
الحصول عليها عليها فاقت كثيراً تلك التي تم الحصول عليها في دراسات سابقة في  
العراق<sup>(٢٠,٢٤,٧)</sup> بل وسرعت في العزل والتبيين والتشخيص اذ ان استخدام صبغة الكونغو الحمراء  
قد ادى الى التغلب على العديد من الصعوبات التي واجهت دراسة سابقة<sup>(٧)</sup> عندما استخدمت فيها  
اوساط ضلبة غير الاوساط الحاوية على الصبغة. كذلك يتبيّن من جدول (٢) انه من اصل  
(١٥١) عزلة تابعة لبكتيريا *Azospirillum* فان (٧٢) عزلة تم الحصول عليها من منطقة الجذر  
وقد شكل النوع *A. irakense* اكثراً من نصف العدد من تلك المنطقة (٤٥) وهذه النتيجة منسجمة  
نوعاً ما مع دراسة سابقة<sup>(٧)</sup> كما ان عزلها من المنطقة الجذرية قد يعود الى تمكن عزلات هذا  
النوع من احتقانية اختراق خلايا الجذر ربما بسبب قابليته على تحمل البكتيرين<sup>(١٠)</sup> ومهاجمة السليلوز  
<sup>(٢١)</sup> وللذان يؤلفان جزءاً من الصفيحة الوسطى وجدار الخلية على التوالي هذا اضافة الى ان  
استخدام صبغة الكونغو الحمراء ربما انعكس على سهولة عزل هذه المجموعة كما ادى الى رفع  
نسبة العزلات لهذا النوع الى ٣١٪ من مجموع العزلات بعد ان كانت هذا النسبة لا تتجاوز ٢٢٪  
<sup>(٢٤)</sup> وبرهنت هذه النسبة لعزلات النوع *A. irakense* على تردد وانتشار هذا النوع من الاراضي  
العراقية الخاصة بزراعة الرز مما يعزز الدراسات السابقة<sup>(٢٤,٧)</sup>.

جدول (٢) توزيع اعداد من العزلات المشخصة التابعة لجنس *Azospirillum* والموافق  
البيانية المقرر منها واعداد الانواع ضمن الجنس والمقرر من عدة محافظات.

عدد العزلات المشخصة التابعة لبكتيريا <i>Azospirillum</i>			عدد العزلات في الموقع الليبي		عدد العزلات لكل محافظة	اسم المحافظة
<i>A. irakense</i>	<i>A. lipoferum</i>	<i>A. brasiliense</i>	منطقة الجذر المسقعة	ترابة الرايز و سفير		

النحو	٤٠	٢١	١٩	٢٤	٤	١٢
ديالي	٥٢	٢٣	٢٩	٣١	٥	١٦
القادسية	٥٩	٣٥	٢٤	٣٣	٧	١٩
المجموع	١٥١	٧٩	٧٢	(٨٨) ٨٨	(١٦) ١٦	(٤٧) ٤٧

(a) = ٨٨ عزلة تابعة للنوع *A. brasiliense* (منها ٦ عزلة من تربة الرايزوسفير و ٢٣ من الجذر)

(b) = ١٦ عزلة تابعة للنوع *A. lipoferum* (منها ١٢ عزلة من تربة الرايزوسفير و ٤ من الجذر)

(c) = ٤٧ عزلة تابعة للنوع *A. irakense* (منها ٢ عزلة من تربة الرايزوسفير و ٤٧ من الجذر)

ومن ملاحظة اعداد العزلات ظهر ان النوع *A. brasiliense* هو المسائد في التربة العراقية مقارنة بالأنواع الأخرى (جدول ٢) وهي نفس الملاحظات التي وردت في دراسات سابقة (٢٤,٢٧) وهي منسجمة مع النتائج التي نوصل لها (٣٣) لتربي حقول الرز في مصر وفي مالي (١) وفي اليونان (٢١) وفي مناطق أخرى في العالم.

يستنتج من هذه الدراسة ان صبغة الكوينغو الحمراء ممكن استخدامها بكفاءة عالية للتسرير في تمييز الانواع التابعة لجنس *Azospirillum* اضافة الى ضرورة اجراء بعض الاختبارات الكيمويوية والظاهرية الاساسية التفرíقية بين الانواع وعدم اضاعة الوقت باجراء الكثير من تلك الفحوصات فضلا عن ان هذه الطريقة (استخدام الصبغة) قد استبعدت مجاميع كبيرة من البكتيريا المثبتة للنتروجين المصاحبة مما يدل على فعاليتها ومتماشيا مع التأكيدات السابقة لاستخدام هذه الصبغة (١٤,٢١,٢٠,١٢).

## references

- 1- Day, J.M and Dobereiner, J. Physiological aspects of N<sub>2</sub> fixation by a sporillum from *Digitaria* roots. Soil Biol. Biochem. 8: 45-50. (1976).
- 2- Broek, A.V. and Vanderleyden, J. Review : Genetics of *Azospirillum*-plant root association. Critical Review in Plant Sciences. 14:445-466. (1995).

استخدام صبغة الكونغو الحمراء في الوسط الزرعي لتصريح عزل وتنمية وتشخيص الانواع التابعة لجنس *Azospirillum*  
خليل مصطفى خماس وجماعته

- 3- Bashan, Y. *Azospirillum*-Plant promoting strains and nonpathogenic on tomato, pepper, cotton and wheat. Can. J. Microbiol. 44: 168-174. 1998.
- 4- Dobereiner, J. Baldani, V.L. D. and Reis, V.M. Endophytic occurrence of diazotrophic bacteria in non -Leguminous crop. In: *Azospirillum* VI and related microorganisms. I. Fendrik, M. de Gallo, J. Vanderleyden and M. de Zamaroczy (eds) p:3-14. Springer-verlag. Berlin. (1995).
- 5- Reinhold, B. Hurek, T. Fendrik, I. Pot, B. Gillis, M. Kerster, K. Thielemanns, S. and De Ley, J. *Azospirillum halopraeferans* sp. nov., a nitrogen fixing bacterium associated with roots of Kallar grass (*Leptochloa fusca*) (L. Kunth). Int. J. Syst. Bacteriol. 37:43-51(1987).
- 6- Krieg, N.R. and Dobereiner, J. Genus *Azospirillum* Tarrand , Krieg and Dobereiner 1979, In:Bergey's Manual of Systematic Bacteriology, "vol.I" (N. Krieg and I.G. Holt) pp. 94-104 Williams and Wilkins, Baltimor. (1984).
- 7- Khammas, K.M. Ageron, E. Grimont, P.A.D and Kaiser, P. *Azospirillum irakense* sp. nov., a nitrogen- fixing bacterium associated with rice roots and rhizosphere soil. Res. Microbiol.140:679-693. (1989).
- 8- Tarrand, J. Krieg, N.R. and Dobereiner, J. A taxonomic study of *Spirillum lipoferum* with description of a new genus, *Azospirillum* gen.nov. and two species, *Azospirillum lipoferum* (Beijerinck) comb. nov. and *Azospirillum brasiliense* sp. nov. Can. J. Microbiol. 24:967-980 (1978) .
- 9- Kabir, M. and Faure, D. Identification of *Azospirillum* by Oligonucleotide probes after isolation from a soil and Sorghum rhizoplane contaminated or not by parasitic plant: *Striga*. In : *Azospirillum* VI and related microorg-amisms. I. fendrik, M. de Gallo, J. Vanderleyden, and M. de Zamaroczy. (eds). P:479-485. Springer- Verlag Berlin. (1995).
- 10- Khammas, K.M. Interactions nutritionnelles entre bactéries fixatrices d'azote et bactéries pectinolytiques. Thesis of doctorate. University of Paris7 France. (1991)
- 11- Vlassak, K.K. and Reynders, L. Associative dinitrogen fixation in temperate region. p:71. In: Isotopes in biological dinitrogen fixation. (proceeding of the Advisory Group, Vienna, Novomber. (1977).
- 12- Rodrigues- Caceres, E.A. Improved medium for isolation of *Azospirillum* spp. Appl. Environ. Microbiol. 44:990-991 (1982).
- 13- Lenthbridge, G. and Lynch, J.M. The microbiology of soil. In: Essay Agricultural and Food Microbiology. Norris, J.R. and Pettiphen, J.I. (eds). pp. 1-4 John Wiley and Sons. Chichester, New York. (1987).

- 14- Hegazi, N.A. and Monib, M. Enumeration of nitrogen fixing spirilla. *Soil Biol. Biochem.* 11:437-438. (1979).
- 15- Tyler, M.E Milam,J.R. Smith, R.L. Sahank, S.C and Zuberer, D.A. Isolation of *Azospirillum* from divers geographic regions. *Can. J. Microbiol.* 25:693-697. (1979).
- 16- Ogran, A. and Feng, X. Methods of soil community analysis. pp:422-430. In: *Manual of Environmental Microbiology*. C.J.Hurst,G.R. Knudsen, M. J. McInerney, L.D. Stetzenbach, and M.V. Walter(eds). American Society of Microbiology. Washington. (1997).
- 17- Swatek, F.E. *Textbook of Microbiology*. The C.V Mosby Company. (1967).
- 18- Heden, C. and Illeni, T. New approaches to the identification of microorganisms A Wiley Biomedical- Health Publications (1975).
- 19- Surgall, M.T. and Beesley, E.D Congo Red- Agar plating medium for detection pigmentation in *Pasteurella pestis*. *Appl. Microbiol.* 18:834-837. (1969).
- ٢٠ - اللامي سندس هادي. دور الصباغ الحيوية والأشعة فوق البنفسجية في تشخيص افراد العائلة المعاوية. رسالة ماجستير - كلية الطب / جامعة بغداد (١٩٩٣) .
- 21-Fred. E.B. and Waksman. S.A. *Laboratory manual of microbiology* p. 33 and 96. McGraw-Hill Book Co. New York. (1928).
- 22-Kefalogianni, I. Flouri, F. and Balis, C. Occurance, isolation and identification of *Azospirillum* strains in Greece. In: *Azospirillum V1* and related microorganisms. I. Fendrik, M. de Gallo, J. Vanderleyden, and M. de Zamaroczy. (eds). p:461-465. (1995).
- 23- Bashan, Y. and Levanony, H. An improved selection technique and medium for the isolation and enumeration of *Azospirillum brasiliense*. *Can. J. Microbiol.* 31:947-952. (1985).
- ٤٢ مهدي، ندى زكي . عزل وتشخيص وكثافة بكتيريا *Azospirillum* في المنطقة الجذرية لنبات الرز في محافظة دينارى. رسالة ماجستير . كلية العلوم - الجامعة المستنصرية (١٩٩٥) .
- 25- Patriquin, D.G. and Dobereiner, J. Light microscopy observations of tetrazolium-reducing bacteria in the endorhizosphere of maize and other grasses in Brazil. *Can. J. Microbiol.* 24:734-742.(1978).
- 26- Turner, G.L. and Gibson, A.H. Measurment of nitrogen fixation by indirect means. p.111-138. In: *Methods for evaluating biological nitrogen fixation*, F.J. Bergersen (ed). John Wiley and Sons Ltd. Chichester, England.(1980).

استخدام صبغة الكونفوجرام في الوسط الزراعي لتصريح عزل وتنمية وتشخيص الانواع التابعة لجنس *Azospirillum*  
خليل مصطفى خمامس وجماعته

- 27- Thompson, J.A. Gemell, L.G. Roughly, R.J. and Evans, J. Nitrogenase activity associated with pasture grasses in nothern New South Wales. *Soil.Biol. Biochem.* . 66:217-222(1984).
- 28- Holt, J.G. Krieg, N.R. Sneath, P.H.A. Staley, J.T. and Williams S.T. Bergeys Manual of Determinative Bacteriology . 9<sup>th</sup> (ed) Williams and Wilkins. (1994).
- 29- Khammas, K.M., Ageron, E. Grimont , P.A.D. and Kaiser, P. The nitrogen-fixing bacteria from Iraqi rice- field soils. *Eur.J. Soil Biol.* 30:101-106. (1994).
- 30- AL-Maadhdidi, J.F. Isolation and characteriztion of *Azospirillum* spp. from Iraqi wheat cultivars. *J. University of Kuwait (science)*. 16:343-348. (1989) .
- ٣١ - خمامس، خليل مصطفى . تحلل السليلوز وثبت النتروجين بواسطة بكتيريا *Azospirillum irakense* .  
مجلة علوم المستنصرية. المجلد ١٣ . العدد (١). ١٠-١ . (٢٠٠٢)
- 32-Omar, A.M, Richard, C. Weinhar, P. and Balandreau, J. Using the spermosphere model technique to describe the dominant nitrogen-fixing microflora associated with wetland rice in two Egyptian soil. *Biol. Fertil. Soil.* 7:156-163. (1989).

# التحليل المناعي الأشعاعي بـاستخدام الطور الصلب للهرمون الذكري في مصل دم الذكور

فلاح ح. الداعي

مركز المستحضرات الطبية والصيدلانية، منظمة الطاقة الذرية العراقية، بغداد  
العراق، ص. 765.

## ABSTRACT

The measurements of testosterone level in serum have used in diagnosis of many pathological cases like delayed puberty ,infertility in male ,hyperandrogenicity in children. We have developed radioimmunoassay for testosterone in male serum using solid phase (acivated cellulose) binding to anti testosterone antiserum. The antibodies were raised in rabbits against testosterone -3-carboxy methyl oxime -Bovine serum albumin.

The antibodies were purified by gel filtration ( Sephadex G-200) and ion exchange(DEAE- Sepharose-4B).After purification the cross-reactions with (5-DHT) fell to level that did not interfere with testosterone measurements in male serum .Iodination was carried out by the chloramine -T- method using testosterone -3-carboxymethyl oxime-histamine which is used in radioimmunoassay of testosterone. The tracer had long time stability and high immuno activity of iodinated testosterone. The withinassay coefficient of variation was estimated by measuring three serum samples 20 times and gave amean assay results of 0.46,2.69 and 8.93 ng/ml with CV' s of 8.10, 5.66 and 5.31% respectively. Results obtained for serum samples are correlated with those using commercially available kits (n=40 samples) ( $r=0.98$ ). The assay proved to be suitable for routine clinical assessment of testosterone disorders.

## خلاصة

أن قياس تركيز الهرمون الذكري في مصل الدم يستفاد منه في تشخيص العديد من الحالات المرضية مثل تأخر النضج الجنسي والعقم عند الذكور وزيادة إنتاج الهرمون الذكري في النساء والأطفال وغيرها من الأمراض الأخرى. لقد تم تطوير طريقة التحليل المناعي الأشعاعي

## فلاح ح. الدفاعي

لقياس الهرمون الذكري في مصل دم الذكور وذلك باستخدام الطور الصلب (جزيئات السيلولوز المنشطة) المرتبطة بالأجسام المضادة للهرمون الذكري المنتجة في الأرانب الممنوعة بمركب الهرمون الذكري المرتبط بأبيومين مصل الدم البقري في موقع ذرة الكربون رقم (3)، لأن عملية ربط الأجسام المضادة بالطور الصلب بعد تيقنها باستعمال الترشيح الهلامي والمبادلات الأيونية حسنت من مواصفات الأجسام المضادة بحيث أخفقت الفعالية العرضية مع مادة (5-DHT) إلى المقدار الذي لا يؤثر في نتائج التحليل المناعي الأشعاعي للهرمون الذكري في مصل الدم إذ كان بمواصفات عالية الدقة حيث كان مقدار معامل الاختلاف داخل التحليل وبين التحاليل لا يتجاوز (10%) . لقد تم قياس معامل الارتباط بين التحليل المناعي الأشعاعي باستخدام الطور الصلب للهرمون الذكري والعدة التجارية المستخدمة في المستشفيات إذ كان معامل الارتباط فيما بينها 0.98 ( عدد النماذج 40 ) . أن هذه النتائج توضح امكانية استخدام التحليل المناعي الأشعاعي باستخدام الطور الصلب في التحاليل الروتينية في المختبرات والمستشفيات .

## المقدمة

يستدل من قياس الهرمون الذكري Testosterone على العديد من الحالات المرضية مثل تأخر النضج الجنسي (1) والعمق في الذكور (2) وزيادة إفرازه في النساء (3) والأطفال (4) وغيرها من الأمراض . ولقياس تركيز الهرمون الذكري في مصل دم الذكور باستعمال طريقة التحليل المناعي الأشعاعي البالشر (من دون استخلاص الهرمون الذكري بالمعذيات العضوية )، أن هذه الطريقة تحتاج إلى أجسام مضادة ذات خصوصية وحساسية عالية جداً والتي يتم الحصول عليها عن طريق تعبيع الأرانب بمركب الهرمون الذكري المرتبط بأبيومين مصل الدم البقري (Bovine Serum Albumin) وبالنسبة (1:30) ومن خلال الارتباط بذرة الكربون رقم 3- من جزيء الهرمون الذكري . غير أن هذه الطريقة تحتاج إلى وقت وجهد كبير لذا فإن هذه الدراسة تهدف إلى تطوير هذه الطريقة وجعلها أقل جهداً ووقتاً من خلال محاولة ربط الأجسام المضادة الناتجة بجزيئات السيلولوز المطحونة والمنشطة بمادة سيانوجين بروميد (CnBr) .

## المواد والطرائق

جلبت المذيبات العضوية من شركة (Merk) الألمانية، السيليلوز من شركة (Sigma) استخدمت طريقة هنتر و كرين وود (6) في وسم مشتق الهرمون الذكري وذلك باستخدام مادة (Chloramine-T) تم إيقاف التفاعل بإضافة مادة Sodium Meta Bisulphite (SMBS) بتركيز 125 ملغرام/250 ملغرام من داري الفوسفات، وضع مزيج التفاعل على عمود الترشيح الهلامي (Gel filtration) المعيناً بمادة الهلام نوع (Sephadex G-25) وبالأبعاد (25x1) سم ومرر داري الفوسفات وجمعت الأجزاء النازلة (2 مل/جزء)، وتم قياس الفعالية الإشعاعية وحددت الأجزاء التي تحوي الهرمون الذكري المرتبط بالهستامين المعلم بنظير اليود المشع ( $^{125}\text{I}$ ) وخزنت على  $4^{\circ}\text{C}$  لحين تقدير الفعالية المناعية (Specific activity) و الفعالية النوعية (Immuno activity).

### ٢- تحضير الأجسام المضادة للهرمون الذكري :

استخدم الممنع الذي هو مركب الهرمون الذكري المرتبط بالبومين مصل الدم البقرى في موقع ذرة الكربون رقم -3- في تمنع الأرانب النيوزلندية البيضاء أذ حقن أربعة أرانب بمعدل عمر ستة أشهر وبوزن تقربياً خمس كيلو غرامات (200 ملغرام/أرنب) بعد أذابته في محلول الملح الفسيولوجي المعقق ومزجه مع مساعد فرويد الكامل (Complete Freunds Adjuvant) ليكون مستحلب لا ينتشر على سطح الماء . حقن الأرانب الأربع تحت الجلد في أماكن مختلفة من الظهر، وبعد أربعة أسابيع حقن الأرانب كما في المرة السابقة ولكن باستخدام مساعد فرويد غير الكامل، وتم الحقن في عضلة الفخذ للأرانب الأربع . وجمع الدم من الأرانب بعد 10 أيام من الحقن الشهي للممنع (Immunogen) عن طريق الوريد الأذنی للأرنب . فصل مصل الدم الحاوي على الأجسام المضادة والتي تم الكشف عنها وتقديرها وتنقيتها بعد ترسيبها بمحلول مشبع بكبريتات الأمونيوم 35% وتم تنقيتها باستعمال المبادات الأيونية -4- (DEAE-Sepharose) وبعدها تم ربط الأجسام المضادة بجزئيات السيليلوز المنشطة بمادة السيلانوجين بروميد (CnBr) وفقاً لطريقة Wide (7).

### 3-طرق أجراء التحليل المناعي الأشعاعي للهرمون الذكري:

بعد أن حضرت المحاليل القياسية (standards) للهرمون الذكري في مصل الدم البشري الخلالي من الهرمونات والتي كانت تركيزها 0.5,1.0,0.5,2.5,10.0 نانوغرام/مل، تتلخص خطوات أجراء التحليل المناعي الأشعاعي للهرمون الذكري التي تم الوصول إليها بعد دراسة العوامل المؤثرة في التحليل مثل حجم المحاليل، والمحلول الداري Buffer ودرجة التحضين ٠٠٠ السخ بمراحل:

أ- 50 مايكروليتر من المحاليل القياسية للهرمون الذكري أو نماذج مصل دم الذكور.

ب- 500 مايكروليتر من مركب الهرمون الذكري المعلم بنظير اليود المشع.

ج- 500 مايكروليتر من الطور الصلب للأجسام المضادة للهرمون الذكري.

حضرت أنبيب التحليل على درجة حرارة الغرفة لمدة ساعة واحدة ثم تفصل بجهاز الطرد المركزي 2500 دورة / دقيقة، أذ تترسب الأجسام المضادة في قاع الأنبوية ويستبعد الراشح، وتنتم قراءة الفعالية الأشعاعية (CPM) لها بجهاز قياس أشعة كاما (LKB Gamma-Counter) حيث يمثل ذلك مقدار المقتني المرتبط بالأجسام المضادة، والذي يتاسب تابياً عكسيًا مع تركيز الهرمون الذكري في كل من المحاليل القياسية (غير المرفقة) والتي تعطي علاقة يمكن تمثيلها بالمنحنى القياسي والتي يستفاد منها في معرفة تركيز الهرمون الذكري في نماذج مصلول دم الذكور (3).

## النتائج والمناقشة

### ١-الحساسية والخصوصية

كانت الحساسية (Sensitivity) لطريقة التحليل 0.03 نانوغرام/مايكروليتر وفقاً لطريقة (8)، أما الخصوصية فقد حسبت وفقاً لطريقة Abraham (9) والموضحة في الجدول ١ والذي يشير إلى أن الأجسام المضادة للهرمون الذكري بالرغم من ربطها بجزيئات السيلوز فإن الفعالية العرضية مع بقية الهرمونات والستيرويدات المختلفة كانت قليلة بحيث لا تؤثر في نتائج التحليل، أذ أن أعلى فعالية عرضية كانت مع مادة 5-dihydrotestosterone ٢٪، وبما أن تركيز هذه المادة لا يزيد عن 10% من تركيز الهرمون الذكري في مصل دم الذكور فإن تأثيرها محدود (10).

جدول ١:- الفعالية العرضية للأجسام المضادة المرتبطة بجزيئات السليلوز

الفعالية العرضية%	المواد
100	الهرمون الذكري Testosterone
1.80	Dihydrotestosterone
0.26	4-Androstene 3-17-dion
0.28	5-Androstene 3-17-dion
0.50	Androsterone
0.31	17-Estradiol
0.001	17-Epitestosterone
0.001	Estriol
0.001	Estrone
0.001	Progesterone
0.001	Cortisone
0.001	Deoxycortisone
0.001	11-Hydroxyprogesterone

## -الدقة :

من خلال قياس تركيز الهرمون الذكري في 20 نموذج من مصل دم الذكور تراكيزها 0.48, 2.69, 8.93 نانوغرام/مل، كان معامل الاختلاف coefficient of variation للتراكيز الثلاثة 5.31, 5.66, 8.11 % على التوالي وهذا يوضح مقدار الدقة داخل التحليل within-assay، ومن قياس الهرمون الذكري لنماذج مصل دم الذكور بالتراكيز 1.96, 3.97, 8.46 نانوغرام/مل في 25 يوماً كان معامل الاختلاف فيما بين التحاليل لها 8.14, 5.26, 6.73 % على التوالي.

## -معامل الارتباط

من خلال مقارنة نتائج قياس 40 نموذجاً من نماذج مصل دم الذكور والتي تعطي القيم الطبيعية والمرضية للهرمون الذكري باستخدام العدة المحضراء مع عدة القياس التجارية من شركة Cis الفرنسية (Testo-SB-kit) وجد أن العدة المحضراء لا تقل جودة وحساسية عن العدة التجارية، حيث كان معامل الارتباط بينهما 0.98 وهذا يوضح أمكانية الاستفادة من طريقة التحليل المناعي

التحليل المناعي الأشعاعي باستخدام الطور الصلب للهرمون الذكري في مصل دم الذكور  
فلاح ح. الدفاعي

الأشعاعي بأسعمال الطور الصلب (جزيئات السيلولوز) في قياس تركيز الهرمون الذكري في  
مصل دم الذكور في المختبرات والمستشفيات

### المصادر

- (1) Deveto,E;Madariga,M;Lioi,X;Rev.Med.Chil.128(2).184-192.(2000)
- (2) Burger,H. and D.M.Kreter (Eds).The testis .Paven Press,New York , 75-84; (1991).
- (3) Timothy,J.W.and J.U. darid.Clin.Chem,42 (8),1373-1378; (1997).
- (4) Winter,J.S. Faimm,C.and F.I.Reys,Clin.Chem,44(3),560-564; (1998).
- (5) Erlanger,B.F.:Besier,S.M.and S.Lieberman.Biol.Chem,228;713-718; (1957).
- (6) Hunter,W.N. and F.C.Greenwood,Nature(london),194,495-497;(1962).
- (7) Wide,L.,Acta Endocr,63,207-221; (1990).
- (8) Rodbard,D.Anal.Biochem,90,1-12; (1968).
- (9) Abraham,G.E.J.clin.Endocr.Metab,29,866-873;(1989).
- (10 )Ogura,T,Tobe,K;Mimura,Y;Ostuka,F;J.Endocrinol.Invest.23(4):246-250.(2000).

## تأثير الأشعة السينية على بعض مكونات دم المصورين الشعاعيين

فلاح حسن. الدفاعي<sup>١</sup> ، محمد شمخي جبر<sup>٢</sup>.

١ منظمة الطاقة الذرية العراقية .ص.ب. ٧٦٥

٢ كلية التقنيات الطبية والصحية ، قسم الاشعة .

## ABSTRACT

The aim of this study is to investigate the risk of occupational exposure to x-rays in blood of radiographers. The data obtained on hematological levels revealed insignificant changes in erythrocytic counts, platelet and hemoglobin concentration due to occupational exposure of x-rays. Significant decrease was recorded in packed cell volume(PCV) due to exposure of x-rays. The data obtained revealed that exposure to x-rays caused significant increase in serum creatinine, uric acid and bilirubin concentrations.

## المقدمة

يتعرض الإنسان إلى مصادر مختلفة من الأشعاعات بعضها طبيعية مثل الأشعة الكونية وبعضها صناعية (1) ويمكن حالياً اعتبار الطب من أكبر المصادر التي تعرض الإنسان للأشعة الصناعي حيث يستخدم الأشعة لأغراض التسخيص والعلاج لأنواع مختلفة من الأمراض (2). أن جهاز الأشعة السينية أحد أكثر الأجهزة فائدة لخدمة المرضى والأطباء وأن المصورين الشعاعيين يشكلون مجموعة ذات أهمية خاصة نظراً لعرضهم للأشعة السينية يومياً وطوال سنوات العمر المهني ولكن أنه لم يسبق أن أجريت دراسة لمعرفة التأثير البيولوجي المتراكم للأشعة السينية على المصورين الشعاعيين العاملين في مستشفيات بغداد فقد تمت هذه الدراسة على مجموعة من المصورين الشعاعيين (N=48) وذلك بقياس عدد كريات الدم الحمراء(RBC)، عدد الأقراص الدموية (platelets)، حجم الخلايا المنضغطة (PCV)، تركيز خصاب الدم (Hb)، تركيز حامض البوريك (Uric acid)، تركيز الكرياتينين (Creatinine) والبيلوروبين (Bilirubin) في الدم وأيجاد

## تأثير الأشعة السينية على بعض مكونات دم المصورين الشعاعيين

فلاح حسن. النفاعي ، محمد شيخ جبر

تأثير العمر المبني (1-20 عام ) على بعض مكونات الدم لمجموعة المصورين الشعاعيين مقارنة  
بمجموعة السيطرة (N=22)

### المواد وطرق العمل

#### ١-نماذج الدم

تم سحب الدم من الوريد العضدي وزع على مجموعتين من الأنابيب الأولى تحتوي مانع التخثر (EDTA) والثانية تسمح بتخثر الدم . أجريت عملية سحب الدم من مجموعة السيطرة (N=22) (معدل أعمارهم 45±17) ومجموعة المصورين الشعاعيين (N=48) (معدل أعمارهم 42±15) عام وجميعهم من بغداد .

#### ٢-طرق القياس

تم قياس عدد كريات الدم الحمراء، عدد الصفائح الدموية ،حجم الخلايا المضغوطة وفقاً للطرق القياسية المتبعة في المختبرات الطبية (3.4) وتم قياس خضاب الدم ،الكرياتين والبيلوروبين باستخدام الطريقة اللونية (5) أما قياس تركيز حامض اليوريك فقد تم باستخدام الطريقة الأنزيمية(6) .

### النتائج والمناقشة

أظهرت النتائج أن عدد كريات الدم الحمراء (RBC) وتركيز خضاب الدم (Hb) وعدد الأفراص الدموية (platelets) لم تختلف معنوياً بين مجموعة المصورين الشعاعيين ومجموعة السيطرة (جدول رقم-1-) وأن ذلك ربما يعود إلى أن كمية الجرعة المستلمة يومياً من قبل المصورين الشعاعيين قليلة بحيث لا تؤثر على عملية تصنيع مكونات الدم المختلفة والتي تتأثر بالجرع العالية من الأشعاع . أما النسبة المئوية لحجم الخلايا المنضغطة (PCV) فقد كانت في مجموعة المصورين الشعاعيين (36.8±2.6) وهي أقل معنوياً من مجموعة السيطرة (46.2±1.5) وأذا كانت هذه الصفة تغير عن تركيز كريات الدم الحمراء فإنه ربما هذا الاختلاف بين المجموعتين كان بسبب اختلاف حجم وشكل كريات الدم الحمراء في المجموعتين .

أن تركيز حامض اليوريك والكرياتينين مؤشران مهمان لأداء الكلية في الجسم (7) وأن تركيز حامض اليوريك كان أعلى معنوياً في مجموعة المصورين الشعاعيين ( $7.2 \pm 1.0$ ) ملغم / 100 مل مقارنة بمجموعة السيطرة ( $6.15 \pm 0.96$ ) وأن تركيز الكرياتينين في مصل الدم لمجموعة المصورين الشعاعيين كان ( $1.68 \pm 0.31$ ) ملغم / 100 مل وهو أعلى معنوياً من مجموعة السيطرة ( $0.94 \pm 0.26$ ) ملغم / 100 مل من هذا يتضح التأثير الضار للتعرض اليومي للأشعة السينية على أداء وظيفة الكلى على الرغم من أن المستويات التي ظهرت بها تركيز حامض اليوريك والكرياتينين هي ضمن المستويات الطبيعية إلا أنها تشكل المستويات الأعلى للحدود الطبيعية أي أنها الأقرب للوصول إلى المستويات المرضية التي تعبر عن الخلل في أداء الكلى التي تميز بمقاومتها للأشعة المؤينة وهي تتطابق مع النتائج التي حصل عليها عبد السلام وجماعته (1990)(8) .

أظهرت نتائج قياس تركيز البيلوروبين الكلي (Total bilirubin) في مصل دم المصورين الشعاعيين أنه أعلى معنويًا ( $P < 0.01$ ) مقارنة بمجموعة السيطرة حيث كان تركيز ( $0.98 \pm 0.11$ ) ملغم / 100 مل في مجموعة المصورين الشعاعيين و ( $0.67 \pm 0.08$ ) ملغم / 100 مل في مجموعة السيطرة وأن ذلك ربما يعود إلى تأثير التعرض المهني للأشعة السينية على وظيفة الكبد لدى المصورين الشعاعيين حيث أنه مركز الفعالities الحيوية المهمة في الجسم إذ يعتبر من الأعضاء الحساسة للأشعة (9)

أن النتائج التي تم الحصول عليها تشير إلى تأثير التعرض المهني للأشعة السينية على وظائف الكلى والكبد وذلك من خلال التغيرات التي سجلت في مصل دم المصورين الشعاعيين لحامض اليوريك والكرياتينين فيما يخص الكلى وأرتفاع تركيز البيلوروبين المرتبط بأداء الكبد وان ذلك ربما نتج عن عدم الالتزام بالمصورين الشعاعيين بقواعد وأصول الوقاية من الأشعاع أو بسبب الأجهزة والمعدات المستخدمة في التصوير الشعاعي أو ربما لعدم وجود السيطرة النوعية المستمرة في المراكز والمستشفيات الصحية

تأثير الأشعة السينية على بعض مكونات دم المصورين الشعاعيين

فلاح حسن. الداعي ، محمد شمعي جبر

جدول رقم (١) مقارنة بعض مكونات الدم لمجموعة المصورين الشعاعيين مع مجموعة السيطرة

مجموعة المصورين الشعاعيين $N = 48$		مجموعة السيطرة $N = 22$		المجاميع	Mكونات الدم
Mean	S.D.	Mean	S.D.		
6.19	1.05	6.33	1.6		RBC ( $10^6 / \text{ml}$ )
284	122	311	116		Platleate ( $10^3 \times \text{ml}$ )
36.8 *	2.6	46.2	1.5		PCV (%)
11.88	2.8	10.24	1.8		Hb (G / dI)
7.20 *	1.0	6.15	0.96		Uric Acid (mg / dI)
1.68 *	0.31	0.94	0.26		Creatinine (mg / dI)
0.98 *	0.11	0.67	0.08		Total Bilirubin (mg / dI)

استخدم مربع كاي لمقارنة النتائج وعند مستوى معنوية ( $P < 0.01$ )

\* وجود فروقات معنوية بين المجموعتين

### المصادر

- 1- Peter,M.B.;Pavlicek,W;Owen,J.M. Radiology.216(3),810-819. (2000).
- 2-Ng-KH,Abdullah,B.J.,Rassiah,P;Sivalingam,S.Med.J.Malaysia.54(2):185-191. (1999).
- 3- Dacie ,J.V.,Lewis ,M.S (Eds).In "Practical Hematology" 6 th ed .Churchill Living ston ,London. (1984)
- 4-Vankampen,E.J;Zijlstra,W.G., Clin ,Chem.Acta.,6:538-544. (1961).
- 5-Sherlock,S.p.204 in Liver Disease, chunchill. London. (Randox.U.K.kits). (1951)
- 6-Krieg,M.Fossati,P.;Prencipe,L., J.Clin.chem.clin Biochem.24,863-869. (1986).
- 7-Roushdy,H.M.,Fatma,M.Abdel-Hamid;Abu Ghadir. A.r.. Sec. Arab. conf. the. Peacefuluses of atomic energy.Part2 653-664. (1995) .
- 8-Abdel-Salum,S.,Roushdy,H.M.,Slam,T., J.Biol.Med.Sci.Ther.6(1),86. (1990).
- 9-Zauner,C;Schneeweiss,B;Schneider,B. Er.J.Gastroenterol-Hepatol.12(5):517-522. (2000).

## استخلاص وتنقية إنزيم البنسيلينينيز من بكتيريا *E. coli* المعزولة محلياً

سعود رشيد العاني\*، سوسن ساجد الجبوري\*\*، ايلاف اسمامة المقدادي\*

\*منظمة الطاقة الذرية، دائرة البحوث الزراعية والبيولوجية، ص. ب. ٧٦٥ بغداد - العراق

\*\*كلية العلوم، قسم علوم الحياة، الجامعة المستنصرية

### ABSTRACT

One isolate selected from 12 isolates all of them gave positive reaction of penicillinase production test. Penicillinase was purified by using Ammonium Sulfate 25%, DEAE-Cellulose, linear gradient of Nacl, the enzyme recovered 0.2-0.3 Molar of Nacl, 51.52% while the fold of purification was 33.20, the enzyme recovered 48.16% when Sephaeryl S-200 was used. The results showed that the optimum activity pH was 7.0 and the optimum activity temperature was at range of 30-37C°.

### الخلاصة

انتُخبت عزلة بكتيرية واحدة تعود لجنس *E.coli* من مجموع ١٢ عزلة بكتيرية كانت قد اعطت جميعها نتيجة موجبة في فحص التحرير عن انتاج إنزيم البنسيلينينيز. استُخدمت كبريتات الامونيوم في تنقية إنزيم البنسيلينينيز وصولاً إلى ٢٥٪ اشباع وقد استُخدم عمود المبادل الايوني السالب DEAE-cellulose والتدرج الملحي الخطى من كلوريد الصوديوم لتنقية الإنزيم ، فقد استرد الإنزيم بتركيز ٠.٣-٠.٢ مولار من الملح وبحمضية مقدارها ٥١.٥٪ ، في حين بلغ عدد مرات التنقية ٣٣.٢٠ وباسترداد إنزيمي مقداره ٤٨.١٦٪ عند استخدام هلام *Sephacryl S-200*. بينت نتائج توصيف الإنزيم ان الرقم الهيدروجيني الامثل لعمل الإنزيم المنقى هو ٧.٠ ودرجة الحرارية المثلث هي في المدى الحراري ٣٧-٣٠.

### المقدمة

تعد إنزيمات البيتالاكتاميز بنوعيها (البنسيلينينيز والسيفالوسبورينينيز) من أكثر مسببات المشاكل الصحية التي تهدد المجتمعات البشرية في كافة أنحاء العالم، فهي احدى الطرائق الدفاعية التي استطاعت الاحياء المجهرية ان تطورها لصالحها لعرض التخلص من التأثير القاتل

سعورد رشيد العاتي وجماعته

لجزيئات المضادات الحيوية. تعمل هذه الانزيمات على اصرة الاميد Cyclic amid bond حفقة البيتا لاكتام المكونة لجزيئه المضاد الحيوي (البنسلين والسيفالوسبيورين) مما يؤدي الى جعل جزيئه المضاد مركب فاقد الفعالية (1).

يختلف انتاج إنزيم البنسيلينينيز في البكتيريا الموجبة لغرام عنده في السالبة منها فهي انزيمات خارج خلوية Extracellular في النوع الاول تقرز الى الوسط الزرعي الذي تنمو فيه البكتيريا كما هو الحال في بكتيريا *Bacillus* و *Staph* (2,1). اما في البكتيريا السالبة لغرام فان الإنزيم يكون داخل خلوي Endocellular او من النوع المرتبط بالخلية Cell-bound (3). Enzyme. لقد استخدم الباحثون عدة طرائق لاستخلاص إنزيم البنسيلينينيز من البكتيريا السالبة لغرام تتضمن اغلبها خطوة تحطيم الجدار الخارجي للخلية البكتيرية مما يؤدي الى تحرير الإنزيم المرتبط بالخلية الى خارج الغشاء السايتوبلازمي. (5,4) ومن هذه الطرائق طريقة التجميد والذابة ويعرض النموذج فيها الى تجميد وذابة بعد غمره في التتروجين السائل، وطريقة سحق الخلايا بوساطة الرمل وبسبة ١:٥، واحياناً اخرى تستخدم محاليل سكرية وبفرات ذات تراكيز مختلفة وبدرجات حرارة مختلفة وذلك لعرض تعريض الخلايا الى صدمة ازموزية مؤدية بذلك الى تحطم جدار الخلية ومن ثم تحرير إنزيم البنسيلينينيز وتعتبر الاخيرة من اكثر الطرق ملائمة واستخداماً من قبل الباحثين لانها غير مكلفة ويتم اجراؤها بوقت قصير (7,6).

لقد دأب الباحثون الى استخدام تقنيات عديدة في تنقية انزيمات البيتا لاكتاميز ومنها انزيم البنسيلينينيز وذلك من خلال استخدام سرع طرد مركزية عالية وفي درجات حرارية منخفضة حيث ان لها اهمية في ازالة الرواسب او الجزيئات غير الذائية في العالق البكتيري العيش اضافة الى استخدام كبريتات الامونيوم او كبريتات الستربوتومايسين (9,8)، اضافة الى استخدام اعمدة كروماتوغرافية الترشيح الهلامي gel filtration واعمدة المبادلات الايونية - Ion exchange chromatography ذات الاحجام المختلفة ويتم انتقاء المادة البلازمية (gel) في التقنية اعتماداً على عدة اسس منها الوزن الحربي للانزيم المراد تنقيته فضلاً عن شكل الجزيئه (12,11,10).

ان الهدف من تنقية إنزيم البنسيلينينيز هو لدراسة خواصه الحركية وافيزائية وبالتالي استخدامه في تطبيقات مبتكرة في مجال الصناعات الغذائية وفي المجال الطبي. (13,8).

## المواد وطرق العمل

١. استخلاص إنزيم البنسيلينيز: - اختيرت عزلة بكتيرية واحدة كفواة في إنتاج إنزيم البنسيلينيز (٤) من مجموع العزلات التي كانت قد أعطت نتيجة موجبة في فحص التحربي عن إنتاج إنزيم البنسيلينيز وتم استخلاص المحلول الإنزيمي الخام من بكتيريا *E.coli* Luria Bertony broth باستخدام الطرد المركزي للمزروع البكتيري في الوسط الانتاجي وبسرعة ٦٠٠٠ دورة / دقيقة ولمدة ٢٠ دقيقة وبدرجة ٤م ، عرض بعدها عالق الخلايا إلى جهاز التكسير بالامواج فوق الصوتية لتحطيم الخلايا لمدة ٥ دقائق (بواقع ٣٠ ثانية تعریض للامواج فوق الصوتية و ٣٠ ثانية ايقاف التعریض)، قيست بعدها الفعالية الإنزيمية وباتباع طريقة (١٥) و تم تقدير تركيز البروتين المستخلص الإنزيمي وباتباع طريقة (١٦) خلال جميع مراحل الاستخلاص والتقطية. أجري بعدها طرد مركزي لعالق الخلايا المحطم وبسرعة ١٣٠٠ rpm ولمدة ٢٠ دقيقة وبدرجة ٤م، اهمل الراسب وأخذ الرائق الحاوي على فعالية إنزيمية.
٢. تنقية إنزيم البنسيلينيز: - تمت تنقية المستخلص الإنزيمي الخام تنقية جزئية وباتباع الطرق التالية وقد تم قياس تركيز البروتين و الفعالية الإنزيمية بعد كل خطوة من خطوات التركيز والتنقية.
  - الترسيب بواسطة كبريتات الأمونيوم: - أضيفت كبريتات الأمونيوم إلى المستخلص الإنزيمي الخام وصولاً إلى ٢٥% اشبع وبدرجة حرارة ٤م.
  - الديلازة: - تم ديلازة المستخلص الإنزيمي المرسب بواسطة أنبوب الديلازة ضد دارى الفوسفات (٥٠٠٥ مولاري ورقم هيدروجيني ٧) لمدة ٢ ساعه وبدرجة ٤م.
  - تركيز المستخلص الإنزيمي: - جمع المستخلص الإنزيمي بعد عملية الديلازة ورکز باستخدام مادة PEG 6000 وبدرجة ٤م لمدة ٤ ساعات.
  - الفصل باستخدام عمود المبادل الأيوني ثانوي اثيل ثانوي مثيل سيليلوز - (DEAE Cellulose): - استخدم عمود المبادل الأيوني السالب (DEAE-Cellulose) بابعاد ٠٠٥ × ١٥ سم تنقية إنزيم البنسيلينيز المستخلص من العزلة المحلية (Eu6) حيث تمت الموازنة باستخدام محلول دارى الفوسفات ذو التركيز ٥٠٠٥ مولار ورقم الهيدروجيني ٧ وبسوعة

سعود رشيد العتي وجماعته

- جريان ٥٠ مل/ دقيقة، تم استرداد الإنزيم بواسطة التدرج الملحي الخطى (٥٠-٥٠ مل) من كلوريد الصوديوم وبسرعة جريان ٥٠ مل / دقيقة وبواقع ٤ مل لكل جزء.
- ٥- الترشيح البلاجي باستخدام عمود Sephadryl S-200:- استخدم العمود ذو الابعاد ١,٥ × ٨٥ سم لغرض تنقية الإنزيم، تمت الموازننة للعمود باستخدام محلول دارئ الفوسفات ذو التركيز ٠٠٥ مolar والرقم البيدروجيني ٧ وبسرعة جريان ٥٠ مل/ دقيقة وهي تمثل نفس السرعة التي جمعت فيها الأجزاء وبواقع ٤ مل لكل جزء.
٣. تعين الرقم البيدروجيني الامثل والدرجة الحرارية المثلى لعمل الإنزيم: تم قياس فعالية الإنزيم في قيم مختلفة من الرقم البيدروجيني تراوحت ما بين (٩-٣) وكذلك تعين الدرجة الحرارية المثلى وذلك بمحض الإنزيم في درجات حرارة مختلفة (٤، ١٠، ٢٢، ٣٠، ٣٧، ٤٠، ٥٠).

## النتائج والمناقشة

بيّنت نتائج غربنة العزلات البكتيرية كفاءة العزلة EU6 في إنتاج إنزيم البنسيلينيز وذلك بتغيير لون الكاشف اليود - النشا من الأزرق الغامق إلى الأبيض خلال ثوانٍ معدودة مقارنة بباقية العزلات التي كانت قد أعطت نتيجة موجبة في الفحص إضافةً لكون العزلة قد أظهرت مقاومة عالية لمضادات البكتيريات دون السيفالوسبورينات لذا تم اختيار العزلة كأفضل عزلة منتجة للإنزيم مقارنة بباقي العزلات . إن طريقة اليود القياسية المستخدمة في الكشف عن إنزيم البيتا لاكتاميز ( البنسيلينيز ) لغرض الغربلة الأولية للعزلات المنتجة لإنزيم البيتا لاكتاميز تمتاز بسهولة اجراءها وقصر افتراضة الزمنية اللازمة للحصول على النتيجة (14,17).

يبين الجدول (١) مراحل تنقية إنزيم البنسيلينيز من العزلة المحلية EU6 حيث تبيّن النتائج احتفاظ الإنزيم بفعاليته الإنزيمية كاملة تقريباً ٢٦٢ وحدة / مل وذلك بعد معاملاته بكريات الامونيوم وصولاً إلى ٢٥٪ اشباع قياساً بما كانت عليه في المستخلص الخام حيث بلغت ٤٢٠ وحدة/مل مما يشير إلى عدم تأثير الإنزيم بكريات الامونيوم عند استخدامها بالنسبة المشار إليها وهذه النتائج تتفق مع ما أشار إليه كل من (12) عند معاملتهما لإنزيم البنسيلينيز المستخلص من بكتيريا *Klebsiella pneumoniae* حيث بلغ مقدار الاسترداد الإنزيمي ٧٢,٥٪ عند معاملة الإنزيم بكريات الامونيوم وقد أشار الباحث (9) إلى استخدام كبريتات الامونيوم في تنقية إنزيم البنسيلينيز من نوع TEM-1 و TEM-2 وصولاً إلى ٢٥٪ اشباع دون أن يتأثر الإنزيم.

جدول (١) : خطوات تنقية إنزيم البنسلينيز المستخلص من العزلة المحلية Eu6

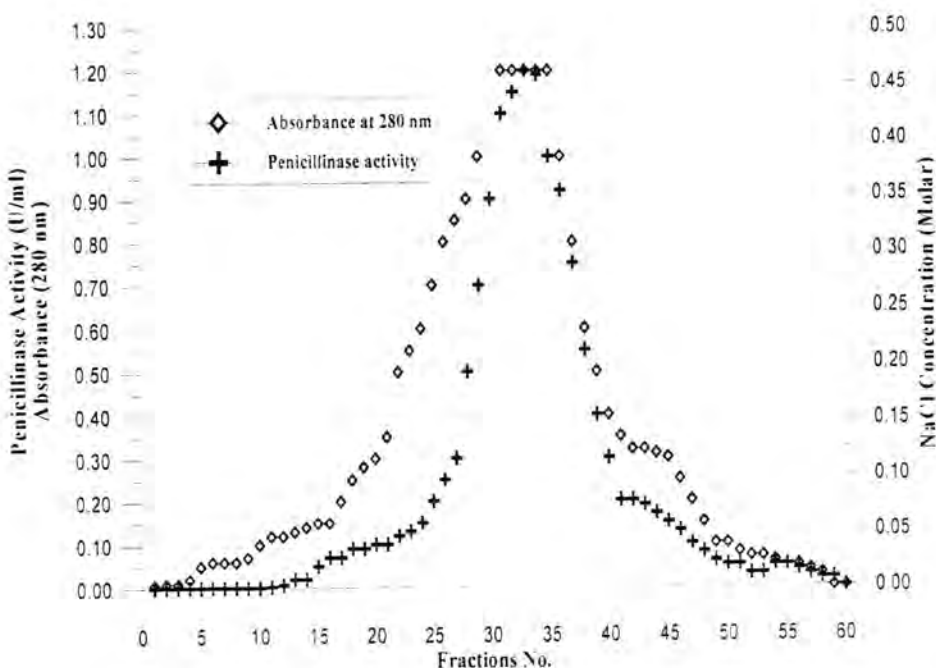
الاسترداد %	عدد مرات التنقية	الفعالية الكلية (وحدة)	الفعالية النوعية (وحدة/ملغم)	تركيز البروتين (ملغم/مل)	الفعالية الانزيمية (وحدة/مل)	الحجم ملليلتر	مراحل التنقية
١٠٠%	١,٠٠	٧٢,٠	٠,٠٥	٥٠	٢,٤٠	٣٠	المستخلص الخام
٩٨,٣%	١,٢٠	٧٠,٨٠	٠,٠٦	٣٧	٢,٣٦	٣٠	الترسيب بكبريتات الأمونيوم Saturation %25
٩٦,٧%	١,٨٠	٦٩,٦٠	٠,٠٩	٢٦	٢,٣٢	٣٠	الديزلة ضد محلول دارئ الفوسفات
٥١,٤%	٣,٠٠	٢٤,٦٠	٠,١٥	٨	١,٢٣	٢٠	التبادل الايوني باستخدام المبادل DEAE- Ecellulose
٤٨,٣%	٣٣,٢٠	٢٢,٢٠	١,٦٦	٠,٧	١,١٦	٢٠	الترشح الهلامي باستخدام عمود Sephaeryl S-200

ان استخدام المبادل الايوني السالب DEAE-cellulose في عملية تنقية إنزيم البنسلينيز قد اظهر كفاءة في عملية فصل الإنزيم وذلك من خلال ارتباط الإنزيم بالمبادل السالب عند الرقم الهيدروجيني ٧ وظهور قمة واحدة (شكل ١) حيث تشير النتائج الى ارتفاع قيمة الفعالية النوعية للإنزيم حيث بلغت ١٥٠ وحدة/ملغم عند استخدام المبادل الايوني السالب عما كانت عليه في خطوة الترسيب بالكبريتات ٦٠٠ وحدة/ملغم وكما موضح في جدول ١ وقد استخدم التدرج الملحي الخطي بواسطة كلوريد الصوديوم حيث كان استرداد الإنزيم عند التركيز ٢٠,٣٠٠ مولار من الملح المذكور (شكل ١). لقد اشار العديد من الباحثين الى استخدام كروماتوغرافيا التبادل الايوني السالب كاحدى خطوات تنقية إنزيم البنسلينيز حيث اكد الباحثان (١٨) الى استخدام المبادل الايوني السالب في تنقية إنزيم البنسلينيز المستخلص من بكتيريا *E. coli* W3310 وبازدياد في قيمة الفعالية النوعية للإنزيم الى ٩١,٧٢ وحدة/ملغم. اما

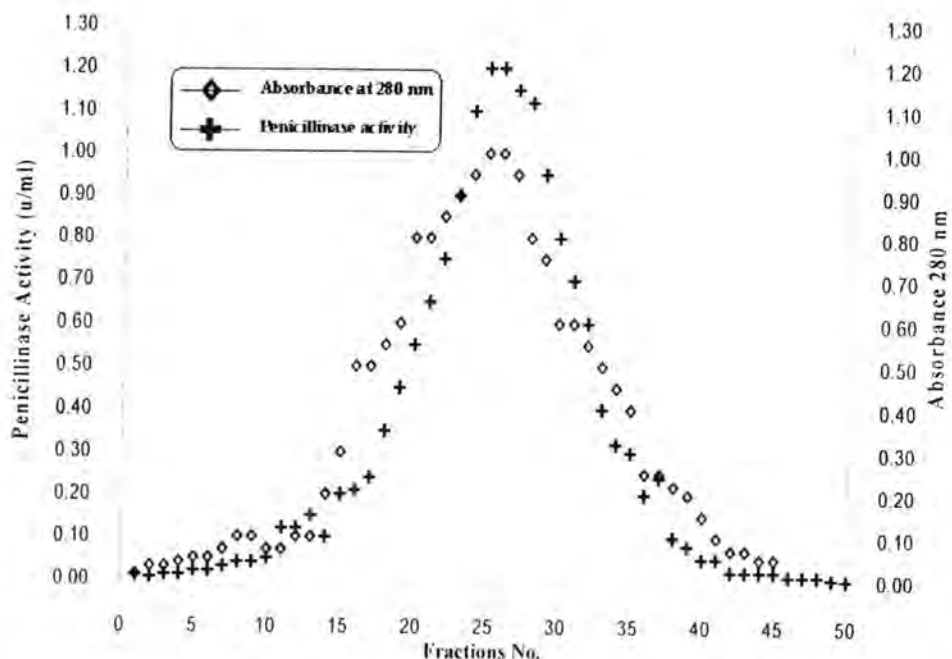
استخلاص وتنقية انزيم البنسليناز من بكتيريا *E. coil* المعزولة محلياً

سعود رشيد العاتي وجماعته

الباحثون (١٩) لقد أشاروا إلى فعالية استخدام المبادل الأيوني السالب في تنقية إنزيم البنسلينيز المعزول من بكتيريا *Clostridium butyricum* حيث كان استرداد الإنزيم عند التركيز ١ مولار من ملح كلوريد الصوديوم.



**شكل (٤) مختبر كروماتوغرافيا البيلول الابيوني السالب باستخدام المبادل DEAE-Cellulose كشبة لزيم التكثيف المستخلص من العزلة (Eu6) تست المعايرة باستخدام محلول دارى المؤسفات ذو التركيز ٠٠٥ مولان والاس تبيزوجيني ٧ ، والاسترداد بورصة التدرج التخري ٠٠٠٠٠ مولان كلوريد الصوديوم في نفس محلول الدقيق وبسرعة جريان ٠٠٢ مل/ثانية حجم المعود (cm ١٥٨) ويوضع ٤ مل على كل جزء.**



شكل (٢) منحتي كروماتوغرافيا الترشيح الهلامي باستخدام عمود الترشيح الهلامي Sephadryl S-200 بابعاد (٨٦x١,٥ cm) لتفعيل انزيم البنسيليتيرز المستخلص من العزلة ١١٦ والموازن حيال دارى الفوسفات بتركيز ٥٠٠٥ مولار ذو الاس الهيدروجيني ٧ وبسرعة جريان ٥٠ مل/ دقيقة وبوالقعة مل لكل جزء.

اما بالنسبة لکروماتوغرافيا الترشيج الهلامي فقد اجريت على القمة الحاویة على فعالیة انزیمية عالیة لانزیم البنسيليتیرز حيث تم اخذ الاجزاء الحاویة على فعالیة عالیة وهی (٣٠، ٣١، ٣٢، ٣٣، ٣٤) والنتائج من استخدام عمود المبادل الايونی السالب شکل (١) حيث بيّنت النتائج ظهور قمة واحدة رئیسیة عند استخدام هلام السفاکریل تحتوي هذه القمة على فعالیة انزیمية اضافیة الى زیادة في قيمة الفعالیة النوعیة ١,٦٦ وحدة/ملغم فیاًساً عما كانت عليه في المستخلص الخام ٥٠٠٥ وحدة/ملغم ان الارتفاع في قيمة الفعالیة النوعیة يعتبر مؤشر على مدى نقاوة المستخلص الانزیمی (شکل ٢).

سعور رشيد العاتي وجماعته

لقد اشار العديد من الباحثين الى استخدام كروماتوغرافيا الترشيح البلازمي في تنقية إنزيمات الببتاكتمايز بنوعها البنسلينيز والسيفالوسبورينيز حيث اورد الباحثان (20) استخدام عمود الترشيح البلازمي Sephadex G-75 في تنقية إنزيم البنسلينيز المستخلص من بكتيريا *E.coli* وباسترداد إنزيمي مقداره ٦٢٪. لقد اظهرت نتائج قياس الرقم البيدروجيني الامثل لنبات الإنزيم ان الإنزيم يحتفظ بفعاليته كاملة تقريباً عند الرقم البيدروجيني ٧ وكما موضح في شكل (٣) اما بالنسبة للدرجة الحرارية المثلث لعمل الإنزيم فقد كانت في المدى الحراري هي ٣٧-٣٠°C شكل (٤).

يتضح من هذه النتائج ان إنزيم البنسلينيز المنقى والمستخلص من العزلة المحلية Eu6 يتاثر كثيراً بقيمة الرقم البيدروجيني كلما ابتعدنا عن قيمة الرقم البيدروجيني المتعادل سواء بالاتجاه القاعدي او الحامضي وكذلك الحال بالنسبة للدرجات الحرارية فكلما ابتعدنا عن المدى الحراري الامثل لفعالية الإنزيم نلاحظ انخفاض في قيمة الفعالية الإنزيمية وهذا طبيعي اذ كما هو معروف عن التفاعلات الإنزيمية انها تتاثر وبشكل كبير بتغير قيمة الرقم البيدروجيني كما هو الحال مع درجات الحرارة.

#### المصادر

1. Joseph, K.M. *et al.* New microbiological method for the detection of *staphylococcal* Beta-Lactamase. Indi. J. Exper Biol. 31:653-654. (1993).
2. Medeiros, A.A. Evolution of dissemination of  $\beta$ -Lactamases accelerated by generation of  $\beta$ -Lactam antibiotics clin. Infect Dis. 24(1): 519-945. (1997).
3. Ambler, R. P. The structure of  $\beta$ -Lactamases. Philos Trans. R. Soc. London Biol. Sci. 289: 321-331. (1980) .
4. Brown, M.R. Resistane of *Pseudomonas aeruginosa*. 1<sup>st</sup> Ed. John Wiley and Sons. London. (1975).
5. Livermore, D.M..  $\beta$ -Lactamases in labrotary and clinical resistance. Clin. Microbio. Reviews. 8(4). 557-584. (1995)
6. Arstila, T.; Jacoby, G. A. and Huovinen. P. Evaluation of different methods to prepare bacterial extracts for the identification of

- $\beta$ -Lactamases by isoelectric focusing. *J. Antimicrob. Chemother.* 32: 809-816. (1993).
7. Jacoby, G.A. and Han, P. Detection of Extended spectrum  $\beta$ -Lactamase in clinical isolates of *K. pneumoniae* and *E.coli*. *J. of clinical Microbiology.* 34(4): 908-911. (1996).
  8. Paul, G., G.; Gerbaud, G.; Aune, B.; Phillipon, A.M.; Pangon, B. and Courvaline, P. TEM-4 anew plasmid. Mediated  $\beta$ -lactamase that hydrolyzes Broad-spectrum cephalosprins in clinical isolate of *E.coli*. *Antimicrob. Agents chemo ther.* 33(11): 1958-1963. (1989).
  9. Chaibi, E.B.; Sedigheh, F.; Peduzzi, J. and Labia, R. An additional ionic bond suggested by molecular modeling of TEM-2 might induce a slight discrepancy between catalytic properties of TEM-1 and TEM-2  $\beta$ -Lactamases. *FEMS. Microbiol. Lett.* 143: 121-125. (1996).
  10. Brown, S. and Horz, W. Purification and properties of *Bacillus subtilis* endoucleases. In: *Methods in Enzymology* (Eds Grossman, Land Moldave, K.) Academic press, INC Harcourt Brace Javanovick publishers. 65 p:112. (1980).
  11. Cooper, T. G. The tools of Biochemistry. John Wiley and Sons. New York. (1977).
  12. Dale, J.W. and Smith, J. T. The purification and properties of the  $\beta$ -Lactamase specified by the resistance factor R- 1818 in *E. coli* and *Proteus mirabilis*. *Biochem. J.* 123: 493-500. (1971).
  13. Christensen, H.; Martin, M.T.; Waley, S.G.  $\beta$ - lactamase as fully efficient enzymes: determination of all rate constant in the acyl-enzyme mechanism. *Biochem. J.* 266:853-61. (1990).
  14. Al-Muqdadi, Elaf U., Swsan R. Al-Jubori, Souod R. Alani, Genetic and Bacteriological study on penicillinase enzyme extracted from *E.coli* bacteria locally isolate. Accepted in Al- Mustansiriya J. of Sci. (II-388, 27.11. 2001). (2001).
  15. Bhat, K.; Hedge, B. K. and shivanda, P. G. Effect of trace metals on production of exoprotein and  $\beta$ -lactamase by *staphylococcus aureus*. *Indian J. of experimental Biology.* 32(7): 492-494. (1994).
  16. Brad ford, M. M. A rapid and sensitive method for the quantitation of microgram quantities of protein utilizing the principle of protein-dye binding. *Analyt. Biochem.* 72:248-255. (1976).
  17. Richter, S.S.; Winokur, P.L.; Brueggeman, A.B.; Huynh, H.K.; Rhomberg, P.R.; Wingert, E.M. and Doren, G.V. Molecular characterization of the  $\beta$ -lactamases from clinical isolates of

- Moraxella (Branhamella) catarrhails* obtained from 24 U.S. Medical centers during 1994-1995 and 1997-1998. Antimicrob. Agents and chemother. 44(2): 444-446. (2000).
18. Melling, J. and scott, G. K.. Preparation of gram Quantities of a purified R-Factor-Mediated penicillinase from *E. coli* strain W 3310. Biochem. J. 130 : 55-62. (1972)
19. Kesado, T.; Lindqvist, L.; Hedberg, M.; Tuner, K. and Nord, C.E. Purification and characterization of new  $\beta$ -lactamase from *Clostridium butyricum*. Antimicrob. Agents chemother. 33(8):1302-1307. (1989).
20. Mathew, M.; Smith, J.T. Types of  $\beta$ -lactamases determined by plasmid in Gram. Negative bacteria. J. OF Bacteriology. 138(3): 657-662. (1979).

**التأثير التثبيطي للسموم القاتلة المنتجة من خميرة  
عند تربيتها تحت ظروف بيئية مختلفة في نمو  
*Saccharomyces cerevisiae*  
بعض انواع البكتيريا المرضية**

عبد الواحد باقر ، زينب محمد ، رعد كاظم المصلح  
قسم علوم الحياة - كلية العلوم - الجامعة المستنصرية

### الخلاصة

اخبرت سبع عزلات منتجة للمواد المثبطة (السموم القاتلة) من الخميرة *Saccharomyces cerevisiae* لدراسة كفافتها في تثبيط نمو ستة انواع مختلفة من البكتيريا *E.coli*, *Pseudomonas aeruginosa*, *Salmonella typhimurium*, *Staphylococcus aureus*, *Bacillus subtilis*, *Klebsiella spp.* (موجبة سالبة كرام) (Vy<sub>7</sub>, Co<sub>6</sub>, Fy<sub>3</sub>, Dy<sub>2</sub>, Dy<sub>1</sub>) تأثيراً مثبطاً لنمو البكتيريا كرام). اظهرت خمس عزلات هي Yeast Extract Pepton Dextrose (YEPD), Sabouraud Dextrose Broth (SDB) الاصطناعية في كل من الوسطين الزرعيين التركيبين اكبر كميات من المواد المثبطة، والتي شملت درجة الحرارة والاس الهيدروجيني. اظهرت النتائج ان الاس الهيدروجيني الامثل لانتاج اعلى على تركيز من المواد المثبطة هو (6) والذي اثر بشكل واضح وفعال اتجاه البكتيريا الاصطناعية اما الدرجة الحرارية المثلثى لذلك فقد كانت 28° م عندما سجلت اعلى اقطار مناطق التثبيط.

### ABSTRACT

Seven isolates that produced inhibitory materials (Killer toxins) of *Saccharomyces cerevisiae* were selected and studied for their efficiency in inhibiting growth of different pathogenic bacteria included, *Escherichia coli*, *Pseudomonas aeruginosa*, *Salmonella typhimurium*, *Klebsiella spp.* (gram negative) and *Bacillus subtilis*, *Staphylococcus aureus* (gram

positive). Five isolates (Dy<sub>1</sub>, Dy<sub>2</sub>, Fy<sub>3</sub>, Co<sub>6</sub>, Vy<sub>7</sub>) exhibited inhibitory effect on the growth of tested bacteria which were grown an SDB and YEPD media. The ideal conditions to produce the largest possible quantity of inhibitory materials, were evaluated in various temperatures, pH. Results showed that the optimum pH to produced a largest amounts of inhibitory materials which have real effect against testing bacteria was 6, and the optimum temperature was 28°C when the highest inhibition zone diameters , was recorded.

## المقدمة

استخدمت خلايا الخميرة الحية في معالجة الاصابات التي تسببها البكتيريا المعاوية<sup>(1,2)</sup>. استخدمت خميرة *Saccharomyces boulardii* غير المرضية على نطاق واسع لمعالجة حالات اضطراب جهاز الهضم المحدث بسبب كثرة استخدام المضادات الحيوانية، وكذلك في معالجة الاصابات المعاوية المرافقة للأطفال حديثي الولادة التي تسببها بكتيريا *Clostridium difficile*<sup>(4,3)</sup>.

هناك عدة طرائق توضح اليات حماية المواد المثبتة اتجاه مسببات الاصابات المعاوية. اعطت نتائج الدراسات والابحاث باستخدام الحيوانات المختبرية كثير من التفسيرات والاسس والقواعد العامة في فهم اليات فعل المواد المثبتة اتجاه البكتيريا المرضية المعاوية ومسببات الاسهال الاخرى، ومن احدى هذه الفرضيات تثبيط عمل السموم البكتيرية، حيث وجد ان خميرة *Clostridium difficile* ترتبط عمل السم  $\Delta$  المنتج من *S.cerevisiae* حيث ترتبط المواد المثبتة مع السم  $\Delta$  في داخل مستقيم الجرذان<sup>(5)</sup>. ان للخمانز نفسها القدرة على تثبيط او معادلة فعل السموم المنتجة من قبل بكتيريا *E.coli* وكذلك سموم بكتيريا *Vibrio cholera*. حيث تعمل سوم هذه البكتيريا على تنشيط تكوين Cyclic Adenosine Monophosphate (cAmp) مما يؤدي الى عدم انتظام خروج ودخول الايونات وفقدان السوائل الى الامعاء،اما الدور الذي تقوم به خميرة *S.cerevisiae* فهي من خلال عملها على كبح تكوين cAmp وبذلك تمنع فعل هذه السموم<sup>(9,8,7,6)</sup>.

## المواد وطرائق العمل

### عزلات الاحياء المجهرية

استخدمت (7) عزلات من خميرة *Sacchararomyces cerevisiae* بعد ان اثبتت كفالتها في انتاج المواد المثبتة ، وقد عزلت من المصادر الآتية عزلتين من الخميرة الجافة المستوردة  $Dy_1$ ,  $Dy_2$ ,  $Fy_3$ ، واحدة عبارة عن خميرة مضغوطة  $Co_6$  ، وواحدة من كل من الخل  $Ay_{12}$  ، الفواكه المتحللة  $Vy_7$  ، احد معامل الكحول  $Ay_{12}$  اضافة الى السلالة القياسية ATCC 11305 ، والتي تم الحصول عليها من كلية تربية بنات.

اما عزلات البكتيرية الاختبارية فقد كانت *Salmonella typhimurium*, *Pseudomonas aeruginosa*, *Klebsiella sp.*, *Bacillus subtilis*, *Escherichia coli*, *Staphylococcus aureus* جمعت هذه العزلات من المختبرات التعليمية في مدينة صدام.

### الاواسط الزرعية وظروف النمو

استخدم وسط (SDB) Sabouraud Dextrose Broth المجهز من شركة Oxoid لتنمية الخميرة. ووسط (YEPD) Yeast Extract Peptone Dextrose (YEPD) الذي حضر بأذابة 15 غم مستخلص الخميرة، 25 غم بيتون، 20 غم دكستروز في لتر واحد من الماء مقطر، عقم الوسطين في الموصدة بحرارة 121 $^{\circ}\text{C}$  (15 باوند / انج) لمدة 15 دقيقة، استخدم الوسطين لتنمية عزلات الخميرة ، وسط الاكار المغذي (Oxoid) Nutrient Agar لغرض تنمية حفظ وتشييط عزلات البكتيريا.

### تقدير الفعالية التثبيطية

اتبع طريقة الحفر لتقدير الفعالية التثبيطية للخميرة بعد تهيئتها في الوسطين (YEPD, SDB) بحرارة 28 م ولفترات زمنية (24, 48, 72) ساعة، علمت حفرة بقطر 5 ملم وعمق 5 ملم بواسطه منقاب الفلين على سطح وسط الاكار المغذي المزروع بأنواع البكتيريا المستخدمة ثم ملئت الحفر ب 0.5 مل من راشح الخمازير المنتجة، تركت لمدة ساعتين في المختبر ، ثم حضنت الاطباق بحرارة 37 $^{\circ}\text{C}$  لمدة 24 ساعة، بعد ذلك اخذ قياس قطر منطقة التشبيط ( بالملم).

## تأثير بعض العوامل الفيزيائية والكيميائية في انتاج المواد المثبطة

### ١- تأثير الاس الهيدروجيني

حضر الوسط الزرعي SDB ذي قيم اس هيدروجيني (5, 6, 5.5, 5)، ولقح الوسط بعزلات الخميرة المنتجة، وختبرت رواشحها بعد فترة حضن بحرارة 28 م° ضد البكتيريا الاختبارية.

### ٢- تأثير درجات الحرارة

حضر الوسط الزرعي SDB وضبط الاس الهيدروجيني الى 5.5 ولقح بعزلات الخميرة المنتجة، وحضن بدرجات حرارية مختلفة (20, 28, 24, 30) م° ولمدة 48 ساعة ، ثم اختبرت فعالية الراسخ ضد البكتيريا الاختبارية المرضية.

## النتائج والمناقشة

اظهرت النتائج في الجدول (1) تباين تأثير عزلات الخميرة المنماة في وسط SDB بحرارة 28 م° لثلاث فترات زمنية في نمو عزلات البكتيريا الاختبارية، كما لوحظ ان هناك تباين في مدى استجابة وحساسية البكتيريا المرضية لهذه المواد تبعاً لعزلة الخميرة المستخدمة، ففي الوقت الذي لم يثبت نمو جميع انواع البكتيريا باستخدام العزلتين  $\Delta_{\text{CC}_4}$ ,  $\Delta_{\text{Y}12}$  وان العزلات  $\text{Fy}_2$ ,  $\text{Dy}_2$ ,  $\text{Dy}_1$ ,  $\text{Co}_6$ ,  $\text{Vy}_7$  قد اشتربت في التأثير على البكتيريا وكالاتي :

كان لهذه العزلات تأثير مثبط بعد فترة حضن 24 ساعة في نمو البكتيريا، وتراوح بين التأثير البسيط باقطار تثبيط (11-9) ملم في بكتيريا *Pseudomonas aeruginosa* الى التأثير الواضح جداً باقطار تثبيط عالية بلغت (30-33) ملم في بكتيريا *Salmonella typhimurium*, *E.coli*, *Bacillus subtilis* *Staphylococcus aureus* *Klebsiella sp.* بالدرجة الثانية في التأثير او الحساسية للمواد المثبطة وذلك عندما بلغت اقطار مناطق التثبيط ما بين (18-23) ملم، ولوحظ بعد حضن عزلات الخميرة لمدة 48 ساعة تسجيل اعلى تأثير سجل حيث تراوحت اقطار مناطق التثبيط بين (31-35) ملم لكل من بكتيريا *Salmonella*

فيما تراوحت اقطار مناطق التثبيط ضد بكتيريا *typhimurium*, *Staphylococcus aureus*, *Klebsiella sp.* (20-25) ملم فيما انخفض تاثير عزلات الخميرة بعد فترة الحضن هذه في تثبيط نمو بكتيريا *Bacillus subtilis*, *E.coli* عن اليوم الاول. اما بعد فترة حضن عزلات الخميرة لمدة 72 ساعة فقد كان تاثير جميع العزلات بسيطاً (ان لم يكن سلبياً في بعض الاحيان) وذلك عندما انخفضت اقطار مناطق التثبيط بشكل واضح ضد جميع انواع البكتيريا الاختبارية.

اما التاثير التثبيطي لعزلات الخميرة المنماة في وسط (YEFD) فقد بينت النتائج في الجدول (2) ان هناك تاثير واضح في تثبيط نمو البكتيريا بعد حضن عزلات الخميرة في هذا الوسط لمدة 24, 48, 72 ساعة فقد كان التاثير واضحاً بعد حضنها لمدة 24 ساعة، ويلاحظ زيادة التاثير بعد فترة 48 ساعة حيث بلغت (32-30) ملم لكل من العزلات ( $Dy_1$ ,  $Fy_3$ ,  $Co_6$ ) فيما كانت اقطار مناطق التثبيط 24 ملم لكل من العزلتين ( $Dy_2$ ,  $Vy_7$ ).

اما عند دراسة تاثير الاس الهيدروجيني في تحفيز عزلات الخميرة المنتجة للمواد المثبتة المنماة SDB ضد البكتيريا الاختبارية فقد بينت النتائج في جدول (3) ان الاس الهيدروجيني الامثل لانتاج اعلى تركيز من المواد المثبتة والذي اثر بشكل واضح وفعال اتجاه البكتيريا الاختبارية هو (6)، حيث وصل قطر منطقة تثبيط بكتيريا *Staphylococcus* 35 ملم و *Klebsiella spp* 32 ملم. اما الاس الهيدروجيني 5.5 فيلي الاس الهيدروجيني 6 في تحفيز الخمائر لانتاج المواد المثبتة حيث تراوحت اقطار مناطق

**جدول (١) معدلات اقطار مناطق التثبيط (ملم) التي احدثتها خميرة *Saccharomyces cerevisiae***

الممنمة في وسط SDB ضد بكتيريا الاختبارية المستخدمة

<i>P.aerugmosa</i>	<i>Klebsiella spp</i>	<i>Staphyl-occoc aureus</i>	<i>Salmanella typhinurium</i>	<i>E.coli</i>	<i>Bacillus subtilis</i>	مدة الحضن (ساعة)	عزلة الخميرة
10	30	31	32	20	20	24	Dy <sub>1</sub>
9	31	32	34	22	22	48	
7	11	11	17	12	17	72	
11	31	30	30	22	18	24	Dy <sub>2</sub>
9	32	33	32	22	20	48	
-	11	13	11	10	12	72	
9	30	33	32	23	20	24	Fy <sub>3</sub>
8	32	35	34	25	24	48	
-	12	16	13	14	16	72	
10	32	33	33	20	21	24	CO <sub>6</sub>
8	35	35	35	22	23	48	
7	14	16	15	11	16	72	
11	32	32	30	20	21	24	Vy <sub>7</sub>
9	33	34	31	22	22	48	
7	15	13	12	10	13	72	
-	-	-	-	-	-	24	Acc <sub>4</sub>
-	-	-	-	-	-	48	
-	-	-	-	-	-	72	
-	-	-	-	-	-	24	Ay <sub>12</sub>
-	-	-	-	-	-	48	
-	-	-	-	-	-	72	

• ملاحظة لم يظهر تأثير لعزلتي Acc<sub>4</sub> و Ay<sub>12</sub> في تثبيط نمو البكتيريا الاختبارية

جدول (2) معدلات اقطار التثبيط لعزلات الخميرة في المنعة في وسط (YEPD) ضد البكتيريا الاختبارية (مقرة بالملم)

<i>P.aeruginosa</i>	<i>Klebsiella spp</i>	<i>Salmonella typhimurium</i>	<i>Staphylococcus aureus</i>	<i>E.coli</i>	<i>B. subtilis</i>	مدة الحصن	رقم العزلات
١٥	٢٧	٢٠	٢٨	٢٣	٢٣	٢٤	Dy <sub>١</sub>
١٨	٣٠	٢٥	٣٢	٢٣	٢٣	٤٨	
١٨	٢٧	٢٥	٣٠	٢٣	٢٢	٧٢	
١٨	٢٧	٢٣	٢٠	٢٥	١٨	٢٤	Dy <sub>٢</sub>
٢٣	٣٠	٢٨	٢٤	٢٦	١٩	٤٨	
٢٠	٢٥	٢٣	٢٤	٢١	١٩	٧٢	
٢٠	٢٣	٢٥	٢٤	٢٠	٢٠	٢٤	Fy <sub>٢</sub>
٢٢	٢٥	٢٨	٣٢	٢٢	٢٢	٤٨	
٢١	٢٠	٢٨	٢٦	١٩	٢٠	٧٢	
١٨	٢٥	٢٢	٢٨	٢٠	٢٠	٢٤	Co <sub>٦</sub>
٢٠	٣١	٢٨	٣٠	٢٠	٢٢	٤٨	
٢٠	٢٨	٢٨	٢٨	٢٠	٢٠	٧٢	
١٦	٢٠	٢١	٢٠	٢٥	٢٠	٢٤	VY <sub>٢</sub>
١٧	٢٥	٢٥	٢٤	٢٥	٢٥	٤٨	
١٧	٢٥	٢٤	٢٤	٢٤	٢١	٧٢	

جدول (3) تأثير الاس الهيدروجيني في معدلات اقطار مناطق التثبيط (ملم) للعزلات الخميرة المنعة في وسط (SDB) ضد البكتيريا الاختبارية

<i>P.aeruginosa</i>	<i>Klebsiella spp</i>	<i>Salmonella typhimurium</i>	<i>Staphylococcus aureus</i>	<i>E.coli</i>	<i>B. subtilis</i>	الاس الهيدروجيني	عزلة الخميرة
٧	١٠	٨	٨	٨	٨	٥	Dy <sub>١</sub>
٩	٢٠	١٣	١٥	١٢	١٥	٥.٥	
١٢	٣١	٢٨	٣٠	٢٠	١٩	٦	
٧	١٢	١٢	١٢	١٠	١٠	٦.٥	Dy <sub>٢</sub>
٧	١٢	٨.٥	٨	٩	١٠	٥	
٩	٢١	١٥	١٤	١٤	١٧	٥.٥	
١٣	٣٢	٣٠	٣٢	٢٣	٢٣	٦	Fy <sub>١</sub>
٨	١٢	١٢	١٢	١١	١٢	٦.٥	
٧	١٢	٩	٧	٩	١٠	٥	
١٠	٢٠	١٥	١٢	١٣	١٤	٥.٥	Co <sub>٦</sub>
١٣	٣٠	٣٢	٣٠	٢٠	٢١	٦	
٧	١٠	١٠	١٠	١٠	١٠	٦.٥	
٧	١٠	٧.٥	٩	٧.٥	٩	٥	VY <sub>٢</sub>
١٠	٢٢	١٣	١٨	١١	١٥	٥.٥	
١٤	٣٢	٢٨	٣٥	٢١	٢٢	٦	
٨	١٢	١٠	١٠	١٠	١١	٦.٥	
٧	٨	٧	٩	٨	٩	٥	
٩	٢	١٢	١٧	١٢	١٦	٥.٥	
١١	٢٨	٢٤	٢٨	٢٠	٢٠	٦	
٨	١٢	١١	١٢	١٠	١٠	٦.٥	

ملاحظة : لم تظهر أي منطقة تثبيط عند اس (٤ و ٧).

جدول (4) تأثير درجات الحرارة في معدلات اقطار مناطق التثبيط (بالملم) لعزلات الخميرة

**المنامة في وسط SDB السائل ضد البكتيريا الاختبارية**

<i>P.aeruginosa</i>	<i>Salmonella typhimurium</i>	<i>Klebsiella spp</i>	<i>Staphylococcus aureus</i>	<i>E.coli</i>	<i>B. subtilis</i>	درجة حرارة الحضن (°)	عزلة خميرة
10	12	17	20	12	11	20	Dy <sub>1</sub>
11	23	25	25	18	15	24	
12	30	30	30	23	20	28	
7	9	13	15	17	18	30	
10	14	16	18	16	12	20	Dy <sub>2</sub>
12	22	20	20	18	16	24	
13	31	32	35	25	25	28	
7	11	16	18	10	12	30	
10	17	16	21	12	12	20	Fy <sub>1</sub>
12	22	21	25	18	15	24	
13	32	30	35	23	20	28	
9	13	15	16	17	13	30	
9	17	17	20	10	15	20	Cu <sub>1</sub>
11	22	22	23	18	13	24	
14	27	32	28	22	22	28	
7	11	13	16	10	14	30	
9	15	14	18	11	12	20	Vy <sub>1</sub>
10	20	19	21	18	15	24	
11	23	24	25	22	20	28	
7	9	10	14	10	11	30	

التأثير بين (20-12) ملم ضد جميع البكتيريا الاختبارية باستثناء بكتيريا *Pseudomonas aeruginosa* التي كانت أقل تأثيراً . وادي الاس الهيدروجيني 4 و 7 الى عدم قدرة عزلات الخميرة على انتاج اي مواد مثبطة.

اما عن تأثير درجة الحرارة فقد كانت الدرجة الحرارية المثلثى هي 28 م° وذلك عندما سجل اعلى قطر منطقة التثبيط 35 ملم (جدول 4) ضد بكتيريا *Staphylococcus aureus* و 32 ملم ضد بكتيريا كل من *Klebsiella sp.*, *Staphylococcus aureus*, *Klebsiella sp.*, *Salmonella typhimurium*.

اكتت الدراسات ان الخميرة *S. cerevisiae* القدرة على تثبيط او معادلة السموم المنتجة من قبل بكتيريا *E.coli* وتشابه خميرة *S.cerevisiae* المنتجة للمواد المثبطة مع خميرة *Clostridium boulardii* في قدرتها على تثبيط سموم بكتيريا *Vibrio cholerae* وكذلك *S.boulardii* <sup>(9,10)</sup> ، اذ ان الفعل العلاجي لهذه الخمائر قد قسم ضمن ثلاثة فرضيات :

- أ. التأثير المضاد المباشر : و فسرت هذه الفرضية من خلال تأثير راشح الوسط الزرعي الذي تتمى فيه هذه الخمائير في نمو بكتيريا *Salmonella, Shigella, E.coli*, *Clostridium difficile*<sup>(10)</sup>.
- ب. تأثير غذائي مع تحفيز انزيمي و ميكانيكي دفاع معوي : فسرت هذه الفرضية على اساس ان خلايا الخميرة القدرة على تثبيط ارتباط السموم بمستقبلاتها في جدار الامعاء و ارتباطها بتلك المستقبلات<sup>(4,11)</sup>.
- ج. تأثير افرازي ضدي : عند ربط هذه السموم البكتيرية مع مستقبلاتها في الامعاء تعمل الخميرة على تقليل افراز السوائل و نصوحها الى الخارج، و فسرت هذه الحالة على اساس انتاج انزيمات محللة بروتينية ذات وزن جزيئي عالي تعمل على هضم كلام من السم البكتيري و مستقبله<sup>(7)</sup> ، وكذلك يمكن لخلايا الخميرة ان تنتج بروتينات ذات اوزان جزيئية مختلفة تعمل على تقليل تكون cAMP من قبل خلايا الامعاء و نصوح الايونات والسوائل الاخرى الى الخارج عند وجود خلايا الخميرة مع البكتيريا المعاوية المسيبة للاسهال او التسمم الغذائي<sup>(12)</sup>.

و جد ان هناك فرضية اخرى هي ان السموم البكتيرية ربما تلتصق بسطح خلايا الخمائير، حيث انها ربما تكون مشابهة في التركيب والوظيفة الى مستقبل هذه السموم في الامعاء والتي هي Gangelio Mono Cyte (GM)<sup>(3)</sup>.

## REFERENCES

1. Schellenberg, D., Bonington, C., Champion, R. Treatment of *clostridium difficile* diarrhea with brewers yeast. Lancet 343: 171. (1994).
2. Chia, J., Chan. S.M.,Goldstein, H., Baker's yeast as adjunctive therapy for retapses of *clostridium difficile* diarrhea. Clin. Infect. Dis. 20:1581. (1995)
3. Branda, R., Gostro, I., Bambirra, E. and Amaral, S. Intracellular signal triggered by cholera toxin in *Saccharomyces boulardii* and *Saccharomyces cerevisiae*. App. Env. Micr. Feb - 564. (1998).
4. Buts, J., Corthier, G., Delmee, M. *Saccharomyces boulardii* for *cbstridium difficile*. Associated enteropathies in infants. J. pediatr. Gastroen. Nutr. 16:419. (1993)

5. Surawicz, C., Elmer, G., Speelman, P., Prevention of antibiotic associated diarrhea by *Saccharomyces boulardii* : prospective study. Gastroenterology. 96: 981. (1989)
6. Vidon, N., Huchet, T., and Rambaud. J. Influence de *Saccharomyces boulardii* secretion induite chez le rat par la toxine cholera (Abst). Gastroenterol-Clin Biol. 10:13-16. (1986)
7. Pauthoulakis, C., Kelly, M., Jpsh, N., Gao, C., Okeane, I., *Saccharomyces boulardii* inhibits clostridium difficile toxin A binding and enterotoxicity in rat ileum-Gastroenterology 104: 1108. (1993)
8. Massot, J., Desconclois, M., Astoin, J., Protection par *Saccharomyces boulardii* de la diarrhoe a *Escherichia coli* du souriceau (Abst). Ann. Pharm. Fr. 40:13. (1982)
9. Dias, R., Bambirra, E., Silva, M., Nicole J.R., Protective effect of *Saccharomyces boulardii* against the cholera toxin rats. Bra2. J. Med. Biol. Res. 28:323. (1995).
10. Rodrigues, A. Navdij R., Bambirra, E., Vieira, C., Nicole, J.R. Effect of *Saccharomyces* against expirmantal oral. Infection with *Salmonella typhimurium* and *shigella flexneri* in conventional and gnolobiotic Mice. J. App. Bact. 81:251. (1996)
11. Peret, E., Bambirra, E., and Nicole, J.R. Dose effect of oral. *Saccharomyces boulardii* treatments on morbidity and morllatity immunosu pressed mic. J. Med. Micro. (1998)
12. Czerucka, D., Roux, I., and Rampale, P. *Saccharomyces boulardii* inhibit Secretagogue mediated adenosine 3,5-cyclemono phosphate induction in intestinal cells. Gastroneterology 106:65. (1994)

## دراسة تحليلية للاعراض المرضية لداء التوكارديا الرئوي

ابراهيم اسماعيل الشهد \* أمال حسين سلمان التميمي وناهية عبد الحسين علي \*\*

قسم صحة المجتمع / كلية التقنيات الطبية والصحية

\* شعبة الاحياء المجهرية / مستشفى الرشيد العسكري

\*\* معهد الهندسة الوراثية والتكنولوجيا الاحيائية للدراسات العليا / جامعة بغداد

### ABSTRACT

The isolate of *Nocardia* were recovered from sputum samples of 813 patients at tuberculosis and chest Diseases Institute in Baghdad. The result showed that 84% of the cases infected by *Nocardia* were accompanied by infection with *Mycobacterium*. Also it has been found that patients of ages between 21-30 years were the most susceptible to infection with *Nocardia* and *Mycobacterium* and the rate of infection was higher in males than in females. There was reduction in the rate of pulmonary nocardiosis infection in patient who was vaccinated with BCG vaccine.

### الخلاصة

عزلت بكتيريا *Nocardia* من عينات السputum لـ 813 مريضاً من المرجعيين لمعهد التدرن والامراض الصدرية في بغداد. وبينت النتائج ان 84% من حالات الاصابة بالتوکارديا كانت مترافقه مع الاصابة ببكتيريا التوكارديا والمايكوبكتيريا. وان نسبة الاصابة في الذكور اكثـر من الاناث وانخفضت نسبة الاصابة بداء التوكارديا والتدرن الرئوي في الاشخاص الملحقين بلقاح BCG مقارنة بالاشخاص غير الملحقين.

### المقدمة

عرف داء التوكارديا منذ اكثـر من قرن ونصف، ففي عام ١٨٢٩ وصف الباحث Sorillon المرض وصفاً دقيقاً في الاقمار في مقاطعة Anjou الفرنسية الا ان عزل التوكارديا لأول مرة باعتبارها البكتيريا المسئولة للمرض لم يتم حتى سنة (١٨٨٨)، اذ استطاع الطبيب الفرنسي Edmond Nocard من عزلها من بقرة مصابة بالرعاعي bovine Farcy في

ابراهيم اسماعيل الشهد وجماعته

جزء كوادلوب الفرنسية Guadeloupe Island (1) وفي سنة ١٨٨٩ تمكن الباحث Trevisan من عزل بكتيريا تعود الى جنس التوكارديا من بقرة مصابة بالرعام البكري سميت Nocardia farcinica وفي عام ١٨٩٠ استطاع الباحث Eppinger عزل بكتيريا اطلق عليها Cladotherix asteroides تغير فيما بعد الى Nocardia asteroides من دماغ انسان توفي بسبب حدوث خراج في الدماغ كان يعتقد بأنه السل. ومن الجدير بالذكر انه في عام ١٨٩٨ سجل الباحث Flexner اول اصابة بداء التوكارديا الرئوي في الانسان حدثت في الولايات المتحدة الامريكية (2).

تتوارد بكتيريا التوكارديا بصورة طبيعية في التربة والماء والنباتات (3) لذا فانها يمكن ان تنتقل بالهواء مع ذرات الغبار وتدخل الى الرئة عن طريق التنفس او الاستنشاق فتحدث الاصابة بداء التوكارديا (4;5). وقد تحدث الاصابة عن طريق انتشار البكتيريا عبر التجويف الفموي (6) والجهاز الهضمي نتيجة لتناول الاغذية الملوثة (7) يكون المرض بشكل افرازات قيحية Suppurative او ورم حبيبي Granulomatous او الاثنين معاً (8;9;10) وقد يكون المرض بشكل خراج او موت موضعي للنسيج (11;12). لقد اوضحت الدراسات عدم وجود علامات سريرية خاصة يمكن من خلالها تشخيص داء التوكارديا الرئوي الا ان الامراض السريرية التي تميز المرض هي : اصابة الرئة الحاد او المزمن وقد يظهر بشكل ذات الرئة او تكون خراج في الرئة abscess او الاثنين معاً. وقد تظهر اعراض السريرية Pneumonia الحبيبي المشابهة لتلك التي تظهر في التدمن الرئوي (السل) (١٠,١١). ان التشخيص الوحيد والدقيق للمرض يكون عن طريق اثبات وجود بكتيريا التوكارديا داخل النسيج وعزلها من مكان الضرر بصورة ندية (12;13;14). تؤكد الدراسات الى أن داء التوكارديا من الامراض الانتهازية ويرتبط مع الاصابة بالتدرن الرئوي (السل) وكذلك يصيب المضائق المكبوتة مناعياً نتيجة الاصابة بالامراض المختلفة مثل الربو وتوسيع القصبات وامراض نقص المناعة المكتسب (الايدز) وكذلك تزيد الاصابة عند المرضى الذين يستعملون علاج الكورتيزون وحالات نقل الاعضاء والادمان على الكحول وغيرها (١٤).

ونظراً لأهمية المرض من ناحية الصحة العامة ولعدم توفر دراسات معمقة ومستفيضة في العراق حول الاعراض المرضية لداء التوكارديا الرئوي لذا تم اعداد دراسة تحليلية للمرض من حيث (الاعراض المرضية، الجنس، الفئات العمرية، وتاثير لقاح BCG) ومدى تشابها مع بعض امراض والتهابات الجهاز التنفسي وبالاخص التدمن الرئوي (السل).

## المواد وطرق العمل

تم اعتماد استماره الاستبيان جدول (١) لتسجيل البيانات والمعلومات والاعراض المرضية لـ 813 مريضا من المراجعين لمعهد التدرن والامراض الصدرية التابع لوزارة الصحة ومن كلا الجنسين وبمختلف الاعمر المشكوك باصابتهم بالتدern الرئوي (السل) والذين يعانون من امراض والتهابات الجهاز التنفسى والمحتمل اصابتهم بداء التوكارديا وذلك عن طريق السؤال المباشر للمرضى وفقا لاستماره الاستبيان.

## الفحص المباشر للعينات

تم عمل مسحات على شرائح زجاجية للعينات جميعها وصبغت بصبغة غرام Gram والصبغة الحامضية الصامدة Acid fast للكشف من وجود بكتيريا التوكارديا *Nocardia spp* (موجبة لصبغة غرام وصامدة جزئياً للحمضة) وعصيات السل *Mycobacterium spp* (صامدة للحمضة).

## عزل التوكارديا

زرعت عينات القشع باستعمال اوساط زرعية مختلفة ودرجات حرارة حضن مختلفة، اذ زرعت العينات على وسط اكار البارفين وحضنت بدرجة حرارة (٢٥، ٣٧، ٤٥)° م لمدة ٣ اسابيع، كذلك زرعت العينات على وسط L.A الصلب وحضنت القابين بدرجة (٢٥، ٣٧، ٤٥)° م لمدة ٣ اسابيع . كما زرعت العينات على الاوساط الزرعية اكار نقع القلب والدماغ BHI و اكار الدم وحضنت الاطباق بدرجة حرارة (٢٥، ٣٧، ٤٥)° م لمدة ٧ ايام (١٥).

## النتائج والمناقشة

اعتمد الفحص المباشر لـ 813 عينة من القشع للمرضى المشمولين بالبحث على التصبغ بصبغة غرام Gram والصبغة الحامضية الصامدة Acid fasr كفحص تشخيصي اولى للكشف عن وجود *Nocardia spp* و *Mycobacterium spp* وظهرت النتائج كما موضح في الجدول (٤) تظهر نتائج الفحص المباشر ان ٢١ مريضاً (٨٤%) من مجموع ٢٥ مريضاً من المصابين بداء التوكارديا الرئوي كانوا مصابين ايضاً بالتدern الرئوي وهذا يؤكّد ان

ابراهيم اسماعيل الشهد وجماعته

هناك ارتباطاً وثيقاً بين الاصابة بداء التوكارديا والتدرب الرئوي. اذ تشير عدد من الدراسات الى ان داء التوكارديا هو مرض انتهازي (ثانوي) يحصل غالباً بعد الاصابة بالتدرب الرئوي، اذ يعد التدرب الرئوي احد عوامل الخطورة التي قد تسهل الاصابة بداء التوكارديا (4;12;16;14). في حين بينت دراسات اخرى الى ان الاصابة بداء التوكارديا قد يسهل حصول الاصابة بالتدرب الرئوي والذي يعد من الامراض الانتهازية<sup>(١٧)</sup>. ومن خلال دراسة وتحليل المعلومات والبيانات المدونة في استمارة الاستبيان للمرضى المشمولين بالبحث ظهرت الاعراض المرضية كما موضح في الجدول (٢) وبلغ المرضى الملتحين بلقاح Bacilli-Calmette Guerin (BCG) ٤٨٣ مريضاً (٤٥٩,٤%) وكانت الفئات العمرية للمرضى الذين شملهم البحث تتراوح بين (٨٠-٤٠) سنة موزعة كما موضح في جدول (٣) وكان عدد الذكور ٤٧٥ (٤٥٨,٤%) اما عدد الاناث فكان ٣٣٨ (٤١,٦%). واستناداً الى هذه المعلومات تم التوصل الى النتائج الآتية:

#### - علاقة الاعراض المرضية بنوع الاصابة

يبين الجدول (٥) الاعراض المرضية المصابين بالتدرب الرئوي والبالغ عددهم ٢٤٠ مريضاً وكذلك للمرضى المصابين بداء التوكارديا (٤ مرضى) والاعراض المرضية التي ظهرت على ٢١ مريضاً الذين يعانون من الاصابة بداء التوكارديا والتدرب الرئوي معاً. يتضح من جدول (٥) ان الاعراض المرضية التي ظهرت على المصابين بداء التوكارديا تشبه الاعراض المرضية التي ظهرت على المصابين بالتدرب الرئوي وبذلك لا يمكن الاعتماد على العلامات والاعراض المرضية في تشخيص الاصابة بداء التوكارديا وتمييزها عن التدرب الرئوي والحالات المرضية المشابهة الاخرى وهذا يتفق مع ما ذكره (16;18;14).

#### ب - علاقة جنس المريض بنوع الاصابة

للحظ ان نسبة الاصابة بداء التوكارديا في الذكور من الاناث سواء كانت الاصابة بشكل مستقل او مرتبطة بالتدرب الرئوي وكما موضح في الجدول (٦) اذ كان عدد المصابين من الذكور ٢٠ (٨٠%) والاناث ٥ (٢٠%) وهذا يتفق مع ما ذكره<sup>(٤)</sup> وكذلك الحال بالنسبة للاصابة بالتدرب الرئوي اذ كان عدد المصابين من الذكور ١٨٥ (٧٠,٩%) والاناث ٧٦ (٢٩,١%) وهذا يتفق مع ما ذكره<sup>(١٩)</sup> اما الاصابة بامراض الجهاز التنفسى الاخرى فكانت ٢٨٧ (٥٢,٤%) و ٢٦١ (٤٧,٦%) في الذكور والاناث على التوالي. وقد يعزى السبب الى طبيعة

ونوع العمل والجهد الذي يقوم به الذكور وكذلك الاحتكاك بشرائح مختلفة من المجتمع وتواجدهم في التجمعات السكانية المكتظة بصورة اكبر من الإناث.

### جـ - علاقة عمر المريض بنوع الاصابة

يبين الجدول (٧) ان الفئة العمرية الاكثر تعرضاً للإصابة بامراض والتهابات الجهاز التنفسي او الاصابة بداء التوكارديا او داء التدرن الرئوي معاً كانت تتراوح اعمارهم بين (٢١-٣٠) سنة وهذا يتفق مع ما ذكره (١٩،٤) وربما يعود السبب الى طبيعة التغذية والجهد المبذول في هذه المرحلة من العمر وكذلك عدم وعيهم الصحي.

### تأثير لقاح BCG على نوع الاصابة

يبين الجدول (٨) ان لقاح BCG قد اثر بشكل ملحوظ في خفض نسبة الاصابة بداء التوكارديا والتدرن الرئوي، اذ تشير اكثـر الدراسات ان لقاحـ الـ BCG يلعب دوراً كبيراً في تحصينـ الفردـ وحمايتهـ منـ الاصـابةـ بالـ التـدرـنـ الرـئـويـ (١٩،٢٠)ـ وقد لاـ يؤـديـ ذلكـ الىـ قـطـعـ الـ طـرـيقـ اوـ منـعـ الـ اـصـابـةـ بـالـ جـرـاثـيمـ الـ اـنتـهـازـيـةـ مـثـلـ التـوـكـارـديـاـ وـغـيـرـهـاـ،ـ عـلـمـاـ اـنـهـ لـاـ تـوـافـرـ درـاسـاتـ تـؤـكـدـ عـلـىـ اـهـمـيـةـ لـقـاحـ الـ BCGـ فـيـ تـحـصـينـ الـ اـنـسـانـ مـنـ الـ اـصـابـةـ بـادـاءـ التـوـكـارـديـاـ.ـ فـيـ حـيـنـ لـمـ يـكـنـ لـلـقـاحـ الـ BCGـ تـأـيـرـ وـاضـحـ فـيـ منـعـ الـ اـصـابـةـ بـامـراضـ الـ جـهـازـ التـنـفـسيـ الـ اـخـرىـ.

ومن خلال الدراسة تم الحصول على ٢٥ لبكتيريا *Nocardia spp.* باستعمال وسط اكار البرافين وطريقة الاصطياد بالبرافين بدرجة حرارة ٣٧ م بعد (٧) أيام من الحضن وكذلك تم الحصول على ٢٦١ عزلة لبكتيريا *Mycobacterium spp.* باستعمال وسط LJ درجة حرارة ٣٧ م بعد ٦ اسابيع من الحضن.

ابراهيم اسماعيل الشهد وجماعته

جدول (١) : استمارة استبيان

Full name:	<input type="text"/>	Date:	<input type="text"/>	Age :	<input type="text"/>
Sex : male :	<input type="checkbox"/>	Female :	<input type="checkbox"/>		
Referred by: Hospital :	<input type="text"/>	Clinic :	<input type="text"/>	Out Patient :	<input type="text"/>
Type Of Infection:	Respiratory:	<input type="checkbox"/>	Other:	<input type="checkbox"/>	
Date Of Infection:	<input type="text"/>				
Symptom : Cough	<input type="checkbox"/>	Haemoptysis:	<input type="checkbox"/>		
Sputum :	<input type="checkbox"/>	Fever :	<input type="checkbox"/>		
Chest Pain :	<input type="checkbox"/>	Anorexia :	<input type="checkbox"/>		
Lassitude :	<input type="checkbox"/>	Weight Loss:	<input type="checkbox"/>		
B.C.G. Vaccination :	Vaccinated	<input type="checkbox"/>	Not vaccinated	<input type="checkbox"/>	
Diagnoses :	Suspected T.B.	<input type="checkbox"/>	Other	<input type="checkbox"/>	
Number of visit :	1 <sup>st</sup> .	<input type="checkbox"/>	2 <sup>nd</sup> .	<input type="checkbox"/>	Many <input type="checkbox"/>
Treatment :	Anti T.B.	<input type="checkbox"/>	Antibiotic	<input type="checkbox"/>	Sedatives <input type="checkbox"/>

جدول (٢) الاعراض المرضية التي يعاني منها المرضى المشمولين بالبحث اعتماداً على استماراة الاستبيان

النسبة المئوية (%)	عدد المرضى	الاعراض المرضية
١٠٠	٨١٣	السعال Cough
٩٠,٤	٧٣٥	القشع Sputum
٢٥,٢	٢٠٥	السعال الدموي Haemoptysis
٨٩,٩	٧٣١	ارتفاع درجة الحرارة Fever
٤٨,١	٣٩١	الام الصدر Chest pain
٦٠,٣	٤٩٠	فقدان الشهية Anorexia
٢٤,٤	١٩٨	نقص الوزن Weight loss
٣٥,٤	٢٨٨	الشعور بالضعف Lassitude

جدول (٣) : توزيع الفئات العمرية للمرضى المشمولين بالبحث ٨١٣ مريضاً اعتماداً على استماراة الاستبيان

النسبة المئوية (%)	عدد المرضى	الفئات العمرية
١٥	١٢٢	٢٠-٤٠
٢٧,٨	٢٢٦	٣٠-٤١
١٧	١٣٨	٤٠-٣١
١٥,٧	١٢٨	٥٠-٤١
١٤	١١٤	٦٠-٥١
٦,٩	٥٦	٧٠-٦١
٣,٦	٢٩	٨٠-٧١

ابراهيم اسماعيل الشهد وجماعته

جدول (٤): نتائج الفحص المباشر للعينات والماخوذة من ٨١٣ مريضاً

النسبة المئوية	الصبغة الحامضية الصامدة	صبغة غرام	نوع البكتيريا المشخصة
٠,٥	٤	٤	<i>Nocardia spp</i>
٢٩,٥	٢٤٠	٠	<i>Mycobacterium spp</i>
٢,٦	٢١	٢١	<i>Nocardia + Mycobacterium</i>
٦٧,٤	٠	٥٤٨±	Other microorganism

± موجبة او سالبة لصبغة غرام

جدول (٥): النسبة المئوية للاعراض المرضية وعلاقتها بعدد ونوع الاصابة

أمراض الجهاز التنفسى الاخرى		داء التوكارديا + التدرن الرئوي		التدرن الرئوي		داء التوكارديا		الاعراض المرضية
النسبة المئوية	العدد	النسبة المئوية	العدد	النسبة المئوية	العدد	النسبة المئوية	العدد	
١٠٠	٥٤٨	١٠٠	٢١	١٠٠	٢٤٠	١٠٠	٤	السعار
٩٢,٢	٥٠٥	٨٥,٧	١٨	٨٧,٩	٢١١	٢٥	١	القough
٧,١	٣٩	٣٨,١	٨	٦٥	١٥٦	٥٠	٢	السعال الدموي
٨٥	٤٦٦	١٠٠	٢١	١٠٠	٢٤٠	١٠٠	٤	ارتفاع الحرارة
٢٦,٦	١٤٦	٧٦,٢	١٦	٦٤,٩	٢٢٧	٥٠	٢	الام الصدر
٤٩,٥	٢٧١	٧١,٤	١٥	٨٤,٢	٢٠٢	٥٠	٢	فقدان الشهية
١٢,٢	٦٧	٤٧,٦	١٠	٥٠	١٢٠	٢٥	١	نقص الوزن
٢٣	١٢٦	٧١,٤	١٥	٦٠,٤	١٤٥	٥٠	٢	الشعور بالضعف

جدول (٦): علاقة جنس المريض بنوع الاصابة

أمراض الجهاز التنفسي الاخرى		داء التوكارديا + التدرن الرئوي		ال الدرن الرئوي		داء التوكارديا		جنس المرض
النسبة المئوية	العدد	النسبة المئوية	العدد	النسبة المئوية	العدد	النسبة المئوية	العدد	
٥٢,٦	٢٨٧	٨١	١٧	٧٠	١٦٨	٧٥	٣	ذكور
٤٧,٦	٢٦١	١٩	٤	٣٠	٧٢	٢٥	١	اناث
١٠٠	٥٤٨	١٠٠	٢١	١٠٠	٢٤٠	١٠٠	٤	المجموع

جدول (٧): علاقة الفئات العمرية بنوع الاصابة

أمراض الجهاز التنفسي الاخرى		داء التوكارديا + التدرن الرئوي		ال الدرن الرئوي		داء التوكارديا		جنس المرض
النسبة المئوية	العدد	النسبة المئوية	العدد	النسبة المئوية	العدد	النسبة المئوية	العدد	
١٤,٢	٧٨	٢٣,٨	٥	١٥,٨	٣٨	٢٥	١	٢٠-٤٠
٢٧,٦	١٥١	٣٣,٣	٧	٢٧,٥	٦٦	٥٠	٢	٣٠-٢١
١٥,١	٨٣	١٩	٤	٢١,٣	٥١	٠	٠	٤٠-٣١
١٤,١	٧٨	١٤,٣	٣	١٩,٢	٤٦	٢٥	١	٥٠-٤١
١٥,٥	٨٥	٤,٨	١	١١,٧	٢٨	٠	٠	٦٠-٥١
٨	٤٤	٤,٨	١	٤,٦	١١	٠	٠	٧٠-٦١
٥,٣	٢٩	٠	٠	٠	٠	٠	٠	٨٠-٧١
١٠٠	٥٤٨	١٠٠	٢١	١٠٠	٢٤٠	١٠٠	٤	المجموع

جدول (٨) : تأثير لقاح BCG على نوع الاصابة

أمراض الجهاز التنفسى الأخرى		داء التوكارديا التدمن الرئوى		التدمن الرئوى		داء التوكارديا		المرضى		المرصى
النسبة المئوية	العدد	النسبة المئوية	العدد	النسبة المئوية	العدد	النسبة المئوية	العدد	النسبة المئوية	العدد	
٨٥,٩	٤٧١	٣٨,١	٨	١,٢٥	٣	٢٥	١	٥٩,٤	٤٨٣	الملقحين
١٤,١	٧٧	٦١,٩	١٣	٩٨,٨	٢٣٧	٧٥	٣	٤٠,٦	٣٣٠	غير الملقحين
١٠٠	٥٤٨	١٠٠	٢١	١٠٠	٢٤٠	١٠٠	٤	١٠٠	٨١٣	المجموع

### المصادر

1. Mostafa, I.E. Studies of bovine sarcoid in the Sudan. Pathology of the disease. . Comp. Path. 77: 223-229, (1967).
2. Orchard, V.A. Nocardial infection of animal in Newzealand 1976-1978. N.Z. Vet. J. 27: 159-165, (1979).
3. Williams, S.T.; Lanning, S. and Wellington, E.M.H. Ecology of actinomycetes. P. 481-528. In: Goodfellow, M.; Mordarski, M. and Williams, S.T. (ed.). The Biology of the Actinomycetes. Academic Press Ltd. London, (1983).
4. Beaman, B.L.; Burnside, J.; Edwards, B. and Causey, W. Nocardial infection in the United States, 1972-1974. J. Infect. Dis. 134: 286-289, (1976).
5. Schaal, P. and Beaman, B.L. Clinical significance of actinomycetes, p. 389-424. In: Goodfellow, M.; Mordarski, M. and Williams, S.T. (ed.) The Biology of the Actinomycetes. Academic Press Ltd., London. (1984).
6. Terezhalmay, G.T. and Bottomely, W.K. Pulmonary nocardiosis associated with primary nocardial infection of the oral cavity. Oral Surg. 45: 200-206, (1978).
7. Burton, D.M. and Burgess, L.P.A. Nocardiosis of the upper aerodigestive tract. Ear. Nose Throat J. 69: 350-353, (1990).
8. Balikian, J.P.; Herman, P.G. and Kopit, S. Pulmonary nocardiosis. Radiology. 126: 569-573, (1978).
9. Feigin, D.S. Nocardiosis of the lung: Chestrographie Findings in 21 cases. Thorac. Radiol. 159: 9-14, (1986).
10. Kramer, M.R. and Uttamchandani, R.B. The radiographic appearance of pulmonary nocardiosis associated with AIDS. Chest 98: 382-385, (1990).

- ١١.Gonzalez-Ochoa, A. Virulence of nocardia. Can. J. Microbiol. 19:901-904, (1973).
- ١٢.Curry, W.A. Human nocardiosis: a clinical review with selected case reports. Arch. Intern. Med. 140: 818-826, (1980).
- ١٣.Anderson, R.D.; Larson, L.A. and Smith, T.F. *Mycoplasma pneumoniae* and *Nocardia asteroides* in lung biopsy tissue of an immunodeficient infant. Diag. Microbiol. Infect. Dis. 3: 175-177, (1985).
- ١٤.Jawetz, E.; Melnick, J.L. and Adelberg, E.A. Medical Microbiology (21th ed.) Lange Medical Publications, Los Altos, California, (1998).
١٥. الشهد، ابراهيم اسماعيل، أمال حسين و علي، ناهية عبد الحسين. عزل وتشخيص وانتساب الظروف المثلث لنمو بكتيريا *Nocardia asteroides* من القشع. (تحت النشر). (٢٠٠١)
- ١٦.Osoagbaka, O.U. and Njoku-obi, A.N.U. Presumptive diagnosis of pulmonary nocardiosis: value of sputum microscopy. J. Appl. Bacteriol. 63: 27-38, (1987).
- ١٧.Simpson, G.L.; Raffin, T.A. and Remington, J.S. Association of prior nocardiosis and subsequent occurrence of nontuberculous mycobacteriosis in a defined, immunosuppressed population. J. Infect. Dis. 146: 211-219, (1982).
- ١٨.Glover, R.P.; Herrell, W.E.; Heilman, F.R. and Pfuetze, K.H. Nocariosis, *Nocardia asteroides* infection simulating pulmonary tuberculosis. J.A.M.A. 136: 172-175, (1948).
- ١٩.Macleod, J.; Edwards, C. and Bouchier, I. Davidson's principle and practice of Medicine. Churchill Livingstone, Edinburgh, London and New York, (1987).

## دراسة بيئية وحياتية لذبابة البطل الزرقاء الأوروبية

نبيل عبد القادر مولود ، بشير عبد الله نصر الله ، بتول عبد الأمير باقر

\* المعهد التقني / بعقوبة / قسم صحة المجتمع

\*\* معهد الطب التقني / بغداد

\*\*\* كلية العلوم / المستنصرية / قسم علوم الحياة

### ABSTRACT

This research includes ecological and biological study of European Blue Bottle fly *Calliphora Vicina* Rob.- Desvoidy in Baquba/ Diala from the period November 1998- April 1999. High average density, 209 fly was recorded in January and lowest 63 fly was recorded in April. High average of egg incubation periods, larval stages, pre-pupal sages and pupal sauges was recorded in field condition, 36h, 276h, 132h, & 248h respectively, while the pre-pupal and the pupa don't a live on 35°C and 70% R.H.

### الخلاصة

يتضمن هذا البحث دراسة بيئية وحياتية لذبابة البطل الزرقاء الأوروبية *Calliphora Vicina* Rob.- Desvoidy في مدينة بعقوبة / ديالي وللفترة من شهر تشرين الثاني ١٩٩٨ ولغاية نيسان ١٩٩٩ . سجل أعلى معدل للكثافة العددية ٢٠٩ ذبابة في شهر كانون الثاني، كما سجل أقل معدل ٦٣ ذبابة في شهر نيسان، ودلت نتائج دراسة حياتية الحشرة عن تسجيل أعلى فترة لحضانة البيض، الدور البرقي، دور ما قبل العذراء والدور العذري في ظروف الحقل وهي ٣٦ ساعة، ٢٧٦ ساعة، ١٣٢ ساعة، و ٣٤٨ ساعة على التوالي، في حين لم نحصل على الدور ما قبل العذرائي والعذري في ظروف المختبر على درجة حرارة ٣٥ °م ورطوبة نسبية ٧٠ %.

### المقدمة

تعد ذبابة البطل الزرقاء الأوروبية من *Calliphora Vicina* Roc.-Desvoidy الحشرات الواسعة الانتشار في العالم ولها أهمية طبية لتأثيرها على صحة الإنسان وحيواناته بسبب انجذابها إلى البراز ، الجيف واللحوم المتحللة وبكونها ناقلات ميكانيكية للعديد من أنواع

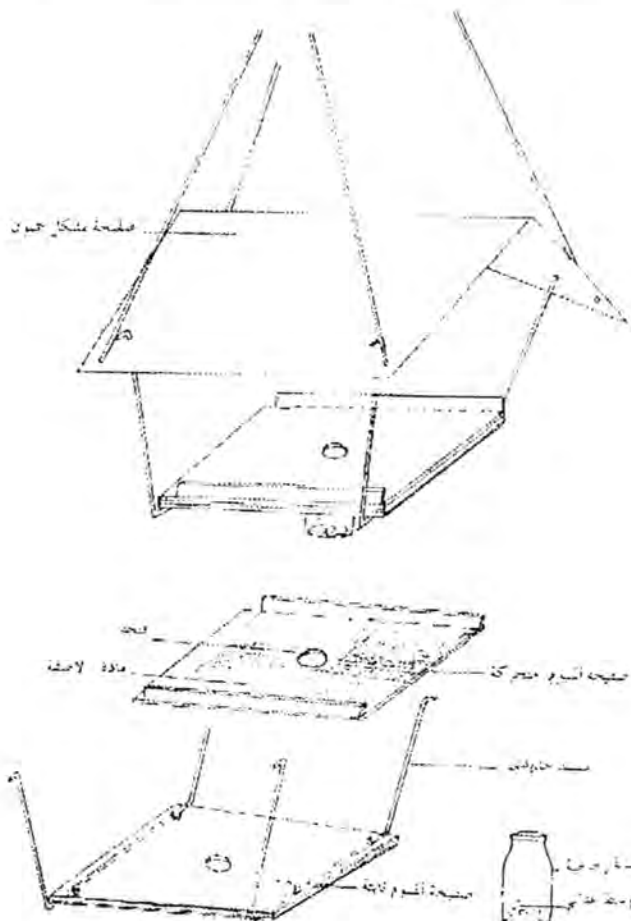
نبيل عبد القادر مولود وجماعته

الفبروسات، البكترا والطفيليات (Greenberg, 1973). تسبب بيرفات هذه الذبابة أنواعاً مختلفة من التدويد الاختياري للإنسان والحيوان، فقد سجل Onorato (1922) أربعة حالات من تدويد الجروح في الإنسان إضافة إلى عدة حالات من التدويد بين الحيوانات المختلفة في طرابلس. وذكر Leclercq (1949) حالة واحدة لاصابة شخص بالتدويد البولي في بلغاريا، كما ذكر Zumpt (1965) العديد من حالات التدويد الجلدي، المعيوي والبولي للإنسان والحيوانات المختلفة في العالم. كما ذكر Arundel و sutherland (1988) بأن بيرفاتها تسبب التدويد الجلدي للحيوانات المختلفة في استراليا وتسمانيا. وأشار Titchener و Moris (1997) بأن بيرفاتها تسبب التدويد للأغنام في اسكتلندا. وذلك Rognes (1998) أهمية هذا النوع بسبب انجذابها للبراز، النفايات، اللحوم المتحللة، الفواكه المختلفة وخاصة المجففة، إضافة إلى احداث بيرفاتها لأنواع مختلفة من التدويد في بريطانيا. لا توجد أية دراسة حياتية أو بيئية لهذا النوع في العراق، وعليه اجري هذا البحث في محافظة ديالى لدراسة هذه الجوانب.

## المواد وطرق العمل

أولاً : دراسة الكثافة العددية لنباية البطل الزرقاء الأوربية في ظروف الحقل استخدمت المصيدة الموضحة بالشكل (I) Spradberg (1991) والتي تتكون من صفيحتين من الألمنيوم طولها 35 سم وعرضها 26 سم وفيها الصفيحة السفلية ثابتة والعلوية متحركة تعطى بمادة لاصقة وتتوسط الصفيحتين فتحة صغيرة دائرة الشكل قطرها 3 سم مثبتة به من الأسفل قنينة زجاجية صغيرة، وتحتوي المصيدة من الأعلى على صفيحة كبيرة شبيهة بالجملون لوقاية المادة اللاصقة من الأمطار وهي مثبتة بأربعة مساند حديدية، وضعت داخل القنينة الزجاجية قطع صغيرة مترنة للأبقار مع ترطيبها بالدم المخفف بالماء حفاظاً عليها من الجفاف، تم تعلق المصيدة على ارتفاع 1,5 م بين قاعات تربية الدواجن في قرية الحديد/عقوبة إضافة إلى وجود اعداد كبيرة من الأغنام والأبقار في هذه القرية. أخذت العينات أسبوعياً من شهر تشرين الثاني 1998 ولغاية شهر نيسان 1999، كما تم تبديل قطع الرنة أسبوعياً بعد حفاظها.

شهر تشرين الثاني ١٩٩٨ ولغاية شهر نيسان ١٩٩٩، كما تم تبديل قطع الرئبة أسبوعياً بعد جفافها.



نبيل عبد الغادر مولود وجماعته

**ثانياً : دراسة حياتية ذبابة البطل الزرقاء الأوروبية في ظروف الحقل**  
أ. تم جمع إناث هذه الذبابة باستخدام الشبكة الهوائية وهي تحوم حول الحيوانات الميتة في قرية الحديد وفي شهر كانون الثاني ١٩٩٩ .  
ب. استخدمت طريقة جديدة لدراسة حياتية الذبابة في الحقل حيث تم تحضير ثلاثة أصص ارتفاع كل منها ١٨ سم واقطانها ٢١ سم، وضع في كل منها ولحد ثلثها تربة رملية رطبة، تم وضع في كل منها دجاجة ميتة بعد تنظيفها وتحرييرها من الريش، وتم اسقاط أنثى واحدة في داخل كل أصص وتم تغطيته بواسطة قطعة زجاجية شفافة، تم مراقبة الحشرة من فترة وضع البيض ولحين خروج الكاملة. دونت النتائج وتم حساب معدل نمو كل دور .

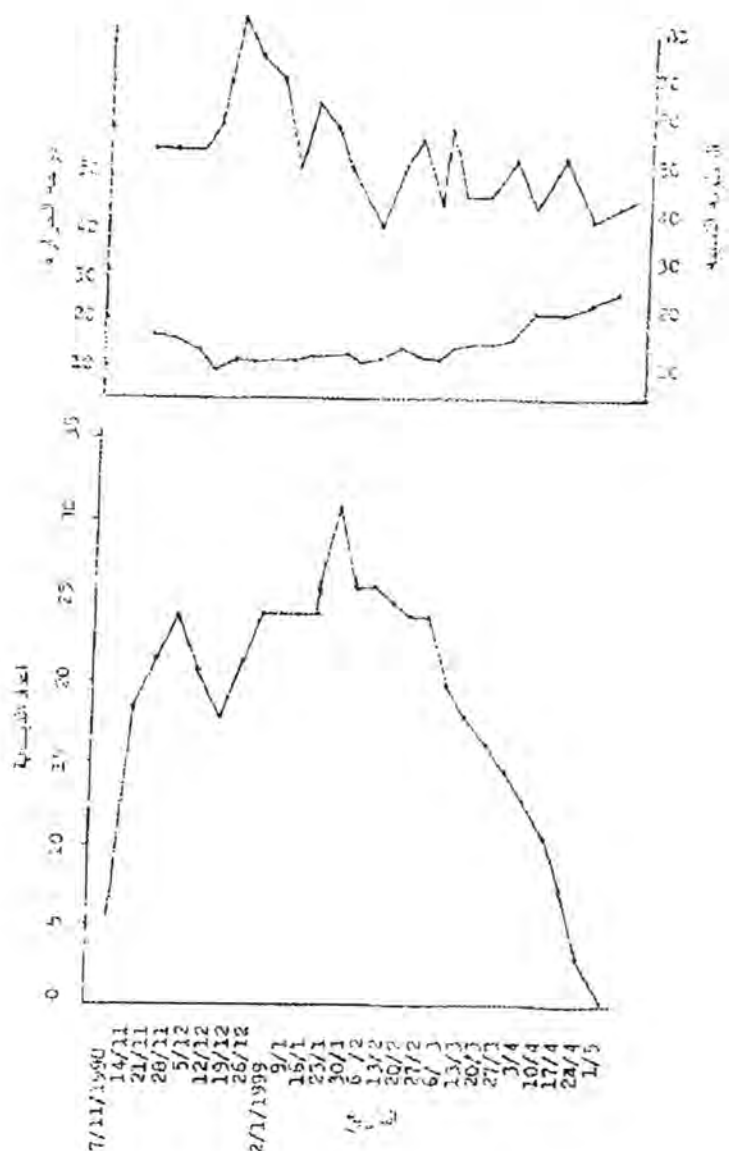
### **ثالثاً : دراسة حياتية ذبابة البطل الزرقاء الأوروبية في المختبر**

تم تحضير ثلاثة قناني زجاجية طول كل منها ١٥ سم وقطرها ٧ سم، وضعت في كل منها ولحد ثلثها تربة رملية رطبة، تم وضع في كل منها قطعة من لحم دجاج ميت بعد تنظيفها من الريش، وتم إدخال أنثى واحدة في كل قناني، وضفت القناني في حاضنات وعلى درجة  $٢٥^{\circ}\text{م}$  و  $٣٥^{\circ}\text{م}$  ورطوبة نسبية  $٧٠\%$ .  
تم مراقبة الحشرة من فترة وضع البيض ولحين خروج الكاملات. دونت النتائج وتم حساب معدل عمر كل دور .

### **النتائج والمناقشة**

**بيان الشكل (٢) ظهور الذبابة في الأسبوع الأول من شهر تشرين الثاني / ١٩٩٨**  
بمعدل ٦ حشرات / أسبوع، حيث كان معدل درجات الحرارة  $١٦,١^{\circ}\text{م}$  والرطوبة النسبية  $٤٥,٤\%$ ، وتبين بأن الذبابة ازدادت اعدادها تدريجياً ووصلت ذروتها الاولى في الأسبوع الاخير من شهر تشرين الثاني / ١٩٩٨ بمعدل ٢٦ حشرة / أسبوع، حيث كان معدل درجات الحرارة  $١١,٥^{\circ}\text{م}$  والرطوبة النسبية  $٧٣,٦\%$ ، وبعدها انخفضت اعدادها حيث وصلت معدلاتها الى ١٨ حشرة / أسبوع في الأسبوع الثاني من شهر كانون الأول حيث كان معدل درجات الحرارة  $١٢,٩^{\circ}\text{م}$  والرطوبة النسبية  $٨٣,٦\%$ ، وبعدها ازدادت اعدادها تدريجياً ووصلت ذروتها الثانية في الأسبوع الثالث من شهر كانون الثاني / ١٩٩٩، حيث كان معدل درجات الحرارة  $١١,١^{\circ}\text{م}$

والرطوبة النسبية ٦٠% وبعدها انخفضت اعدادها تدريجياً واختفت في نهاية الأسبوع الأخير من



شكل (٢): المئنة المعدية لدابة البطل اندرقة الاوروبية *Calliphora vicina*

نبيل عبد القادر مولود وجماعته

نيسان ، حيث كان معدل درجات الحرارة  $25^{\circ}\text{C}$  والرطوبة النسبية  $39\%$ ، وقد يعود سبب ظهور الحشرة في المواسم الباردة هو اختفاء او قلة كثافة منافسيه من الانواع الاخرى التابعة لنفس العائلة وخاصة *Chrysomya albiceps* و *Lucilia Sericata* و *Chrysomya megacephala* . وهذا يتفق مع ما أشار اليه كل من Zumpt (1965) و (1990) و Greenberg .

يبين الجدول (1) تسجيل اعلى كثافة لذبابة البطل الزرقاء الأوروبية في شهر كانون الثاني وهي  $20.9$  ذبابة حيث كان معدل درجات الحرارة  $10.2^{\circ}\text{C}$  والرطوبة النسبية  $56.6\%$  وهذا يتفق مع ما ذكره (Zumpt, 1965) والذي أشار الى ازدياد كثافة الذبابة عند انخفاض درجات الحرارة، كما سجل اقل كثافة في شهر نيسان وهي  $6.3$  ذبابة، حيث كان معدل درجات الحرارة  $20.4^{\circ}\text{C}$  والرطوبة النسبية  $40\%$ ، كما كان اعداد الذبابة هي  $14.0$  في شهر تشرين الثاني،  $16.1$  في شهر كانون الاول،  $19.8$  في شهر شباط و  $13.6$  في شهر اذار . وبيت نتائج التحليل الاحصائي عن وجود فروقات معنوية لكتافة الذبابة وحسب الاشهر المختلفة.

يبين الجدول (2) بأن اعلى معدل لفترة حضانة البيض كان  $36$  ساعة في ظروف الحقل  $(45\% \text{ من الوقت الكلي من مراحل النمو})$  حيث كان معدل درجات الحرارة  $10.2^{\circ}\text{C}$  والرطوبة النسبية  $56.6\%$  ، في حين كان اقل معدل لفترة الحضانة  $14$  ساعة في المختبر  $(17.5\% \text{ من الوقت الكلي من مراحل النمو})$  حيث كانت درجة الحرارة  $35^{\circ}\text{C}$  والرطوبة النسبية  $70\%$  ، كما كان معدل فترة الحضانة  $20$  ساعة  $(45\% \text{ من الوقت الكلي لمراحل النمو حيث كانت درجة الحرارة } 25^{\circ}\text{C} \text{ والرطوبة النسبية } 70\%)$  ويتفق هذا ما ذكره Greenberg و (1993) Tantwi .

ويلاحظ من نفس الجدول ان اعلى معدل لفترة الدور اليرقي هو  $27.6$  ساعة  $(34.8\% \text{ من الوقت الكلي})$  في ظروف الحقل، حيث كان معدل درجات الحرارة  $10.2^{\circ}\text{C}$  والرطوبة النسبية  $56.6\%$  ، فيما سجل اقل معدل لفترة الدور اليرقي في المختبر هو  $6.6$  ساعة  $(82.5\% \text{ من الوقت الكلي})$  وعلى درجة حرارة  $35^{\circ}\text{C}$  ورطوبة نسبية  $70\%$ ، بينما كان معدل فترة الدور اليرقي هو  $14.0$  ساعة  $(31.2\% \text{ من الوقت الكلي})$  وعلى درجة حرارة  $25^{\circ}\text{C}$  ورطوبة نسبية  $70\%$ ، ويلاحظ من نفس الجدول تسجيل معدل لفترة الدور ما قبل العذراء  $13.2$  ساعة  $(16.7\% \text{ من الوقت الكلي})$  في ظروف الحقل بينما كان معدل فترة الدور اليرقي هو  $7.2$  ساعة  $(16.1\% \text{ من الوقت الكلي})$  على درجة حرارة  $25^{\circ}\text{C}$  ورطوبة نسبية  $70\%$ ، اما عند درجة حرارة  $35^{\circ}\text{C}$

فإن جميع بيرقات الطور الثالث والتي دخلت في دور ما قبل العذراء ماتت خلال فترة ٤٨-٧٢ ساعة. ويلاحظ من الجدول ذاته تسجيل معدل عال لفترة الدور العذري وهو ٢٤٨ ساعة (٤٣٪) من الوقت الكلي) في ظروف الحقل، بينما كان معدل فترة الدور العذري هو ٢١٦ ساعة (٤٨,٢٪ من الوقت الكلي) على درجة حرارة ٢٥ م ورطوبة نسبية ٧٠٪. أما عند درجة حرارة ٣٥ م فلم يحصل على أي تعدد وذلك لموت اليرقات التي دخل دور ما قبل العذراء، وتنقق هذه النتائج مع ما ذكره (Beattie 1927) و كذلك (Tantawi 1993).

جدول (١) : أعداد ذبابة البطل الزرقاء الأوربية والنسبة المئوية لتواجدها حسب الأشهر

%	معدل الرطوبة النسبية	معدل درجات الحرارة	أعداد الذبابة	الأشهر
15.4	73.6	11.5	140	تشرين الثاني / ١٩٩٨
17.8	70.8	10.8	161	كانون الاول / ١٩٩٩
23.0	56.6	10.2	209	كانون الثاني
21.8	50.3	12.5	198	شباط
15.0	53.8	15.8	136	اذار
6.9	40.0	20.4	63	نيسان
100			907	المجموع

\* قيمة F المحسوبة لتدخل الأشهر مع أعداد الذبابة عند مستوى احتمال ٥٪ - ٢٩٪

نبيل عبد القادر مولود وجماعته

جدول (٢) : يبين نمو الأدوار غير الكاملة لذبابة البطل الزرقاء الأوروبية في مختلف الظروف

				ظروف الحقل		الدور
%	عدد الساعات	%	عدد الساعات	%	عدد الساعات	
17.5	14	4.5	20	4.5	36	البيضة
20	16	5.4	24	6.0	48	الطور البرقى الأول
16.2	13	4.5	20	7.6	60	الطور البرقى الثاني
46.2	37	21.4	96	21.2	168	الطور البرقى الثالث
82.5	66	31.2	140	34.8	276	المجموع
-	-	16.1	72	16.7	132	ما قبل العذراء
-	-	48.2	216	43.9	348	العذراء
	80		448		792	المجموع الكلى

## REFERENCES

1. Rundel, J.H. & Sutherland, A.K. Animal health in Australia, Vol. 10, Ectoparasitic diseases of sheep, goats and horses, Common-Wealths of Australia, 34-67, (1988).
2. Beattie, M.V.F. Observations of the thermal death points of the blow-fly at different relative humidities, Parasitology, 17, 397-403, (1927).
3. Greenberg, B. Files and disease, Vol. 2, Biology and disease transmission, Princeton University Press, Princeton, N.J., (1973).
4. Greenberg, B. Nocturnal oviposition behavior of blow flies (Diptera: Calliphoridae), J. Med. Ent., 27(5), 807-810, (1990).
5. Grenberg, B. & Tantawi, T.I. : Diferent development strategies in two Boreal blow flies (Diptera: Calliphoridae), J. Med. Ent., 30(2), 481-484, (1993).
6. Leclercq, M. : Premier cas de myiasis des, Voies Uninaries Par *Calliphora*, Rev. Med. Liege, 4:690 (Citid in Zumpt, 1965), (1949).

7. Morris, O.S. & Titchener, R.N.: Blow fly species composition in sheep myiasis in Scotland, Med. Vet. Ent., 11(3), 253-256, (1997).
8. Onorate, R. : Le Miasi in tripolitania, Arch. Ital. Sci. Med. Colon., 3, 14, 33, 69, 101, (Cited in Zumpt, 1965), (1992).
9. Rognes, K. : Contribution to a manual of palaeartic Diptera, Col. 3, Higher Branchycera, Published by Science Herald, 617-648, (1998).
10. Shewell, G.E.: (Chapter 106), Col2, Pages 1133-1145, in Mcalpine, J.F. et.al. (eds): Manual of Nearctix Diptera, Research Branh, Agriculture Candada, Ottawa, Agric. Can. Monograph, No.28, Vi+ 675-1332, (1987).
11. Spradberg, J.P. : A manual for the diagnosis of screw – worm fly, Commonwealth of CSIRO Division of Entomology, Australia, Canberra: 62pp. (1991).
12. Zumpt, F. : Myiasis in man and animal of the old world, A textbook for physicians, Veterinarians and Zoologists London, Butter Worths, London, Xv+ 267pp. (1965).